

İSTANBUL TEKNİK ÜNİVERSİTESİ ★ DEPREM MÜHENDİSLİĞİ VE
AFET YÖNETİMİ ENSTİTÜSÜ

BETONARME YÜKSEK YAPILARDA SÖNÜMLEYİCİ BAĞ KİRİŞLERİ

YÜKSEK LİSANS TEZİ

Serhan ALTUN

Deprem Mühendisliği Anabilim Dalı

Deprem Mühendisliği Programı

HAZİRAN 2018

İSTANBUL TEKNİK ÜNİVERSİTESİ ★ DEPREM MÜHENDİSLİĞİ VE
AFET YÖNETİMİ ENSTİTÜSÜ

BETONARME YÜKSEK YAPILARDA SÖNÜMLEYİCİ BAĞ KİRİŞLERİ

YÜKSEK LİSANS TEZİ

**Serhan ALTUN
802161221**

Deprem Mühendisliği Anabilim Dalı

Deprem Mühendisliği Programı

Tez Danışmanı: Prof. Dr. İhsan Engin BAL

HAZİRAN 2018

İTÜ, Deprem Mühendisliği ve Afet Yönetimi Enstitüsü'nün 802161221 numaralı Yüksek Lisans Öğrencisi Serhan ALTUN, ilgili yönetmeliklerin belirlediği gerekli tüm şartları yerine getirdikten sonra hazırladığı “BETONARME YÜKSEK YAPILARDA SÖNÜMLEYİCİ BAĞ KİRİŞLERİ” başlıklı tezini aşağıda imzaları olan jüri önünde başarı ile sunmuştur.

Tez Danışmanı: **Prof. Dr. İhsan Engin BAL**
Hanze Uygulamalı Bilimler Univ., Hollanda

Jüri Üyeleri: **Prof. Dr. Ercan YÜKSEL**
İstanbul Teknik Üniversitesi

Dr. Öğr. Üys. Hasan ÖZKAYNAK
Beykent Üniversitesi

Teslim Tarihi : 04 Mayıs 2018
Savunma Tarihi : 07 Haziran 2018





Babama ve Anneme,



ÖNSÖZ

Yüksek lisans öğrenimim boyunca, verdiği derslerde ve tez çalışmam sırasında bilgisini ve deneyimlerini benden esirgemeyen değerli danışman hocam Prof. Dr. İhsan Engin BAL'a teşekkür eder, saygılarımı sunarım.

Yaşamım boyunca maddi ve manevi desteklerini her zaman gördüğüm aileme en içten teşekkürlerimi sunarım.

Haziran 2018

Serhan ALTUN
İnşaat Mühendisi



İÇİNDEKİLER

Sayfa

| | |
|--|-------|
| ÖNSÖZ | vii |
| İÇİNDEKİLER | ix |
| KISALTMALAR | xi |
| SEMBOLLER | xiii |
| ÇİZELGE LİSTESİ | xv |
| ŞEKLİ LİSTESİ | xix |
| ÖZET | xxvii |
| SUMMARY | xxix |
| 1. GİRİŞ..... | 1 |
| 1.1 Konu | 1 |
| 1.2 Çalışmanın Amacı ve Kapsamı | 1 |
| 2. LİTERATÜRDEKİ TANIMLAR | 3 |
| 2.1 Bağ Kırışı ve Boşluklu Perde Tanımı | 3 |
| 2.2 Bağ Kırışı Katkı Oranı Tanımı | 4 |
| 2.3 Donatıllandırma | 4 |
| 2.4 Modelleme Yöntemleri | 5 |
| 3. SÖNÜMLEYİCİLER | 7 |
| 3.1 Çelik Yastıkların Kullanım Alanları ve Geometrisi | 7 |
| 3.2 Çelik Yastıklarla Yapılan Deneyler | 8 |
| 3.3 Deney Sonuçlarının Grafikle Gösterimi ve Yorumlar | 9 |
| 3.3.1 Yumuşak çelikte eksenel yükleme deneyi sonuçları | 9 |
| 3.3.2 Yumuşak çelikte kesme deneyi sonuçları | 10 |
| 3.3.3 Paslanmaz çelikte kesme deneyi sonuçları | 11 |
| 3.3.4 Deneylerden çıkarılan sonuçlar | 13 |
| 4. SAYISAL İNCELEMELER | 15 |
| 4.1 Modellerde Kullanılacak Bağ Kıraklı Perde ve Kat Planı | 15 |
| 4.2 Bağ Kıraklı Perdenin Kesiti ve Özellikleri | 16 |
| 4.3 Seismostruct Programında Modellerin Oluşturulması | 17 |
| 4.3.1 Malzemeler sekmesi | 17 |
| 4.3.1.1 Betonun özellikleri | 17 |
| 4.3.1.2 Donatı çeliğinin özellikleri | 18 |
| 4.3.1.3 Elastik fiktif çubuğu özellikler | 19 |
| 4.3.2 Kesitler sekmesi | 19 |
| 4.3.2.1 Perde kesiti | 19 |
| 4.3.2.2 Bağ kıraklı (fiktif eleman) kesiti | 20 |
| 4.3.3 Eleman sınıfları sekmesi | 20 |
| 4.3.3.1 Kolon – kırış eleman sınıfları | 20 |
| 4.3.3.2 Bağlantı eleman sınıfları | 21 |
| 4.3.3.3 Kütle ve sönümlü eleman sınıfları | 28 |

| | |
|---|------------|
| 4.3.4 Düğümler sekmesi | 29 |
| 4.3.5 Eleman bağlantıları sekmesi..... | 29 |
| 4.3.6 Mesnetler sekmesi | 29 |
| 4.3.7 Zaman tanım alanı eğrileri sekmesi | 29 |
| 4.3.8 Uygulanan yükler sekmesi | 29 |
| 4.4 Yapının Dinamik Özellikleri | 30 |
| 4.5 Seismostruct Programında İncelenen Veriler ve Kullanılan Deprem Kayıtları ... | 33 |
| 4.6 Seismostruct Programında Modellerin Görüntüsü ve Verilerin Toplanması ... | 34 |
| 5. SONUÇLAR VE ÖNERİLER..... | 37 |
| KAYNAKLAR..... | 39 |
| EKLER | 41 |
| ÖZGEÇMİŞ..... | 181 |

KISALTMALAR

| | |
|--------------------|--|
| ACI | : American Concrete Institute |
| ASCE | : American Society of Civil Engineers |
| bl_sym | : İki Doğrulu Simetrik Eğri |
| BO - D | : Bağ Oranı Düşük |
| BO - N | : Bağ Oranı Normal |
| BO - Y | : Bağ Oranı Yüksek |
| elfrm | : Elastik Çerçeve Elemanları |
| EIY | : Esas ve İlave Yüklerin Toplamı |
| G. K. Ö. O. | : Elastik Olmayan Kuvvete Dayalı Çerçeve Elemanları |
| lin_sym | : Doğrusal Simetrik Eğri |
| lmass | : Lumped Mass |
| r. c | : Reinforced Concrete |
| SF | : Scale Factor |
| SST8WC-S1 | : Merkezden Kaynaklanmış 8 mm Çapında Paslanmaz Çelik Yastık |
| SST8WE-S2 | : Üstten Kaynaklanmış 8 mm Çapında Paslanmaz Çelik Yastık |
| SST8WM-S3 | : Ortadan Kaynaklanmış 8 mm Çapında Paslanmaz Çelik Yastık |



SEMBOLLER

- a** : Bağ kirişindeki çapraz donatılar ile kiriş yatay çizgisi arasındaki açı
a : Çelik yastığın düz kısmının yarı uzunluğu
A_{cw} : Kiriş kesitinin alanı
A_{vd} : Kiriş kesitinde kullanılan donatı çeliğinin alanı
b : Çelik yastığın genişliği
C_y : Kiriş kesitinin eksenel basınç kapasitesi
d₁ : Mafsaldaki akma dönmesi
d₂ : Mafsalda akma dayanımı kaybından önceki dönme
d₃ : Mafsalda akma dayanımı kaybından sonraki dönme
d₄ : Mafsaldaki maksimum dönme
E : Elastisite modülü
E_c : Betonun elastisite modülü
E_s : Donatı çeliğinin elastisite modülü
F : Eleman doğrultusunda oluşan kuvvet
f'c : Betonun 28 günlük basınç dayanımı
f'cc : Sınırlırmış beton basınç dayanımı
f_y : Donatı çeliğinin akma dayanımı
F_y : Çelik yastığın akma dayanımı
f_t : St52 çeliği EIY yüklemesi için akma tasarım dayanımı
F₁ : 1 nolu lokal eksendeki kuvvet
F₂ : 2 nolu lokal eksendeki kuvvet
F₃ : 3 nolu lokal eksendeki kuvvet
g : Yerçekimi ivmesi
G : Kayma modülü, katlara etkiyen sismik ölü yük, katın ölü ağırlığı
h : Çelik yastığın yüksekliği
I : Kiriş kesitinin atalet momenti
k₀ : Bağlantı elemanındaki başlangıç rıjitliği
k₁ : Bağlantı elemanındaki ikinci rıjitlik
k₂ : Bağlantı elemanındaki üçüncü rıjitlik
L : Kirişin net boyu
M : Bağ kirişinde oluşan moment
M_n : Kiriş kesitinde hesaplanan moment
M_t : Eleman doğrultusunda oluşan moment
M_x : Genel (sistem) eksen takımında x yönündeki kütle
M_y : Genel (sistem) eksen takımında y yönündeki kütle
M_z : Genel (sistem) eksen takımında z yönündeki kütle
M_{2(A)} : Elemanın ilk düğüm noktasında 2 nolu lokal eksende oluşan moment
M_{2(B)} : Elemanın ikinci düğüm noktasında 2 nolu lokal eksende oluşan moment
M_{3(A)} : Elemanın ilk düğüm noktasında 3 nolu lokal eksende oluşan moment
M_{3(B)} : Elemanın ikinci düğüm noktasında 3 nolu lokal eksende oluşan moment
N : Bağ kirişinde oluşan normal kuvvet
P : Çelik yastıkta oluşan kesme kuvveti

P_{gerekken}: Çelik yastığın kesme kapasitesinin olması gereken alt limiti

P_{kapasite}: Çelik yastığın taşıyabileceği maksimum kesme kapasitesi

Q : Katlara etkiyen sismik hareketli yük, Katın hareketli yük ağırlığı

r : Çelik yastığın yarı daire yarıçapı, akma sonrası pekleşme oranı

t : Çelik yastığın et kalınlığı

T_y : Kiriş kesitinin eksenel çekme kapasitesi

V : Bağ kirişinde oluşan kesme kuvveti

V_n : Kiriş kesitinde hesaplanan kesme kuvveti

V_{2(A)} : Elemanın ilk düğüm noktasında 2 nolu lokal eksende oluşan kesme kuvveti

V_{2(B)} : Elemanın ikinci düğüm noktasında 3 nolu lokal eksende oluşan kesme kuvveti

V_{3(A)} : Elemanın ilk düğüm noktasında 2 nolu lokal eksende oluşan kesme kuvveti

V_{3(B)} : Elemanın ikinci düğüm noktasında 3 nolu lokal eksende oluşan kesme kuvveti

μ : poisson oranı

δ_h : çelik yastıktaki akma dönmesi

δ_u : çelik yastıktaki maksimum dönme

ÇİZELGE LİSTESİ

| | <u>Sayfa</u> |
|--|--------------|
| Çizelge 4.1 : 24 katlı sistemlerin geometrik özellikleri..... | 16 |
| Çizelge 4.2 : Çapraz donatılı 24-BO-D kırışının kapasite eğrisi..... | 24 |
| Çizelge 4.3 : Çelik yastıklı kırış kapasite dönme eğrisi..... | 27 |
| Çizelge 4.4 : Modellerde özdeğer analizi sonucunda oluşan modal deplasmanlar.. | 30 |
| Çizelge 4.5 : Modellerde özdeğer analizi sonucunda oluşan normalize edilmiş deplasmanlar..... | 31 |
| Çizelge 4.6 : Analizlerde kullanılan deprem kayıtları..... | 33 |
| Çizelge A.1 : SF_0,9096_CHICHI_TCU139-E.AT2 deprem analizinde mafsallı modelde oluşan deplasman ve kesme kuvvetleri..... | 41 |
| Çizelge A.2 : SF_0,9096_CHICHI_TCU139-E.AT2 deprem analizinde mafsallı modelde çıkan sonuçlar..... | 42 |
| Çizelge A.3 : SF_0,9096_CHICHI_TCU139-E.AT2 deprem analizinde çelik yastıklı modelde oluşan deplasman ve kesme kuvvetleri..... | 43 |
| Çizelge A.4 : SF_0,9096_CHICHI_TCU139-E.AT2 deprem analizinde çelik yastıklı modelde çıkan sonuçlar..... | 44 |
| Çizelge A.5 : SF_0,9134_IMPVALL_F-WSM180.AT2 deprem analizinde mafsallı modelde oluşan deplasman ve kesme kuvvetleri..... | 45 |
| Çizelge A.6 : SF_0,9134_IMPVALL_F-WSM180.AT2 deprem analizinde mafsallı modelde çıkan sonuçlar..... | 46 |
| Çizelge A.7 : SF_0,9134_IMPVALL_F-WSM180.AT2 deprem analizinde çelik yastıklı modelde oluşan deplasman ve kesme kuvvetleri..... | 47 |
| Çizelge A.8 : SF_0,9134_IMPVALL_F-WSM180.AT2 deprem analizinde çelik yastıklı modelde çıkan sonuçlar..... | 48 |
| Çizelge A.9 : SF_0,60116_NORTHR_SMV180.AT2 deprem analizinde mafsallı modelde oluşan deplasman ve kesme kuvvetleri..... | 49 |
| Çizelge A.10 : SF_0,60116_NORTHR_SMV180.AT2 deprem analizinde mafsallı modelde çıkan sonuçlar..... | 50 |
| Çizelge A.11 : SF_0,60116_NORTHR_SMV180.AT2 deprem analizinde çelik yastıklı modelde oluşan deplasman ve kesme kuvvetleri..... | 51 |
| Çizelge A.12 : SF_0,60116_NORTHR_SMV180.AT2 deprem analizinde çelik yastıklı modelde çıkan sonuçlar..... | 52 |
| Çizelge A.13 : SF_0,77259_CHICHI02_TTN027-N.AT2 deprem analizinde mafsallı modelde oluşan deplasman ve kesme kuvvetleri..... | 53 |
| Çizelge A.14 : SF_0,77259_CHICHI02_TTN027-N.AT2 deprem analizinde mafsallı modelde çıkan sonuçlar..... | 54 |
| Çizelge A.15 : SF_0,77259_CHICHI02_TTN027-N.AT2 deprem analizinde çelik yastıklı modelde oluşan deplasman ve kesme kuvvetleri..... | 55 |
| Çizelge A.16 : SF_0,77259_CHICHI02_TTN027-N.AT2 deprem analizinde çelik yastıklı modelde çıkan sonuçlar..... | 56 |
| Çizelge A.17 : SF_0,79704_ITALY_A-MER000.AT2 deprem analizinde mafsallı modelde oluşan deplasman ve kesme kuvvetleri..... | 57 |

| | |
|--|-----------|
| Çizelge A.18 : SF_0,79704_ITALY_A-MER000.AT2 deprem analizinde mafsallı modelde çıkan sonuçlar..... | 58 |
| Çizelge A.19 : SF_0,79704_ITALY_A-MER000.AT2 deprem analizinde çelik yastıklı modelde oluşan deplasman ve kesme kuvvetleri. | 59 |
| Çizelge A.20 : SF_0,79704_ITALY_A-MER000.AT2 deprem analizinde çelik yastıklı modelde çıkan sonuçlar..... | 60 |
| Çizelge A.21 : SF_0,80771_LIVERMOR_B-DVD156.AT2 deprem analizinde mafsallı modelde oluşan deplasman ve kesme kuvvetleri. | 61 |
| Çizelge A.22 : SF_0,80771_LIVERMOR_B-DVD156.AT2 deprem analizinde mafsallı modelde çıkan sonuçlar..... | 62 |
| Çizelge A.23 : SF_0,80771_LIVERMOR_B-DVD156.AT2 deprem analizinde çelik yastıklı modelde oluşan deplasman ve kesme kuvvetleri. | 63 |
| Çizelge A.24 : SF_0,80771_LIVERMOR_B-DVD156.AT2 deprem analizinde çelik yastıklı modelde çıkan sonuçlar..... | 64 |
| Çizelge A.25 : SF_0,83335_CHICHI06_TCU119-E.AT2 deprem analizinde mafsallı modelde oluşan deplasman ve kesme kuvvetleri. | 65 |
| Çizelge A.26 : SF_0,83335_CHICHI06_TCU119-E.AT2 deprem analizinde mafsallı modelde çıkan sonuçlar..... | 66 |
| Çizelge A.27 : SF_0,83335_CHICHI06_TCU119-E.AT2 deprem analizinde çelik yastıklı modelde oluşan deplasman ve kesme kuvvetleri. | 67 |
| Çizelge A.28 : SF_0,83335_CHICHI06_TCU119-E.AT2 deprem analizinde çelik yastıklı modelde çıkan sonuçlar..... | 68 |
| Çizelge A.29 : SF_0,84063_MAMMOTH_H-MGE000.AT2 deprem analizinde mafsallı modelde oluşan deplasman ve kesme kuvvetleri. | 69 |
| Çizelge A.30 : SF_0,84063_MAMMOTH_H-MGE000.AT2 deprem analizinde mafsallı modelde çıkan sonuçlar..... | 70 |
| Çizelge A.31 : SF_0,84063_MAMMOTH_H-MGE000.AT2 deprem analizinde çelik yastıklı modelde oluşan deplasman ve kesme kuvvetleri. | 71 |
| Çizelge A.32 : SF_0,84063_MAMMOTH_H-MGE000.AT2 deprem analizinde çelik yastıklı modelde çıkan sonuçlar..... | 72 |
| Çizelge A.33 : SF_0,85377_NORTH392_TEMPL000.AT2 deprem analizinde mafsallı modelde oluşan deplasman ve kesme kuvvetleri. | 73 |
| Çizelge A.34 : SF_0,85377_NORTH392_TEMPL000.AT2 deprem analizinde mafsallı modelde çıkan sonuçlar..... | 74 |
| Çizelge A.35 : SF_0,85377_NORTH392_TEMPL000.AT2 deprem analizinde çelik yastıklı modelde oluşan deplasman ve kesme kuvvetleri. | 75 |
| Çizelge A.36 : SF_0,85377_NORTH392_TEMPL000.AT2 deprem analizinde çelik yastıklı modelde çıkan sonuçlar..... | 76 |
| Çizelge A.37 : SF_0,87729_KOZANI_FLR--L.AT2 deprem analizinde mafsallı modelde oluşan deplasman ve kesme kuvvetleri. | 77 |
| Çizelge A.38 : SF_0,87729_KOZANI_FLR--L.AT2 deprem analizinde mafsallı modelde çıkan sonuçlar..... | 78 |
| Çizelge A.39 : SF_0,87729_KOZANI_FLR--L.AT2 deprem analizinde çelik yastıklı modelde oluşan deplasman ve kesme kuvvetleri. | 79 |
| Çizelge A.40 : SF_0,87729_KOZANI_FLR--L.AT2 deprem analizinde çelik yastıklı modelde çıkan sonuçlar..... | 80 |
| Çizelge A.41 : SF_0,93555_NORTHR_ATB090.AT2 deprem analizinde mafsallı modelde oluşan deplasman ve kesme kuvvetleri. | 81 |
| Çizelge A.42 : SF_0,93555_NORTHR_ATB090.AT2 deprem analizinde mafsallı modelde çıkan sonuçlar..... | 82 |

| | |
|---|------------|
| Çizelge A.43 : SF_0,93555_NORTHR_ATB090.AT2 deprem analizinde çelik yastıklı modelde oluşan deplasman ve kesme kuvvetleri..... | 83 |
| Çizelge A.44 : SF_0,93555_NORTHR_ATB090.AT2 deprem analizinde çelik yastıklı modelde çıkan sonuçlar..... | 84 |
| Çizelge A.45 : SF_0,95038_CHICHI_TAI1-E.AT2 deprem analizinde mafsallı modelde oluşan deplasman ve kesme kuvvetleri..... | 85 |
| Çizelge A.46 : SF_0,95038_CHICHI_TAI1-E.AT2 deprem analizinde mafsallı modelde çıkan sonuçlar..... | 86 |
| Çizelge A.47 : SF_0,95038_CHICHI_TAI1-E.AT2 deprem analizinde çelik yastıklı modelde oluşan deplasman ve kesme kuvvetleri..... | 87 |
| Çizelge A.48 : SF_0,95038_CHICHI_TAI1-E.AT2 deprem analizinde çelik yastıklı modelde çıkan sonuçlar..... | 88 |
| Çizelge A.49 : SF_0,69161_CHICHI03_CHY070-E.AT2 deprem analizinde mafsallı modelde oluşan deplasman ve kesme kuvvetleri..... | 89 |
| Çizelge A.50 : SF_0,69161_CHICHI03_CHY070-E.AT2 deprem analizinde mafsallı modelde çıkan sonuçlar..... | 90 |
| Çizelge A.51 : SF_0,69161_CHICHI03_CHY070-E.AT2 deprem analizinde çelik yastıklı modelde oluşan deplasman ve kesme kuvvetleri..... | 91 |
| Çizelge A.52 : SF_0,69161_CHICHI03_CHY070-E.AT2 deprem analizinde çelik yastıklı modelde çıkan sonuçlar..... | 92 |
| Çizelge A.53 : SF_1,094_COALINGA_C-SKH360.AT2 deprem analizinde mafsallı modelde oluşan deplasman ve kesme kuvvetleri..... | 93 |
| Çizelge A.54 : SF_1,094_COALINGA_C-SKH360.AT2 deprem analizinde mafsallı modelde çıkan sonuçlar..... | 94 |
| Çizelge A.55 : SF_1,094_COALINGA_C-SKH360.AT2 deprem analizinde çelik yastıklı modelde oluşan deplasman ve kesme kuvvetleri..... | 95 |
| Çizelge A.56 : SF_1,094_COALINGA_C-SKH360.AT2 deprem analizinde çelik yastıklı modelde çıkan sonuçlar..... | 96 |
| Çizelge A.57 : SF_1,266_BORAH_MS_TAN260.AT2 deprem analizinde mafsallı modelde oluşan deplasman ve kesme kuvvetleri..... | 97 |
| Çizelge A.58 : SF_1,266_BORAH_MS_TAN260.AT2 deprem analizinde mafsallı modelde çıkan sonuçlar..... | 98 |
| Çizelge A.59 : SF_1,266_BORAH_MS_TAN260.AT2 deprem analizinde çelik yastıklı modelde oluşan deplasman ve kesme kuvvetleri..... | 99 |
| Çizelge A.60 : SF_1,266_BORAH_MS_TAN260.AT2 deprem analizinde çelik yastıklı modelde çıkan sonuçlar..... | 100 |
| Çizelge A.61 : SF_1,0421_CHICHI03_TCU087-N.AT2 deprem analizinde mafsallı modelde oluşan deplasman ve kesme kuvvetleri..... | 101 |
| Çizelge A.62 : SF_1,0421_CHICHI03_TCU087-N.AT2 deprem analizinde mafsallı modelde çıkan sonuçlar..... | 102 |
| Çizelge A.63 : SF_1,0421_CHICHI03_TCU087-N.AT2 deprem analizinde çelik yastıklı modelde oluşan deplasman ve kesme kuvvetleri..... | 103 |
| Çizelge A.64 : SF_1,0421_CHICHI03_TCU087-N.AT2 deprem analizinde çelik yastıklı modelde çıkan sonuçlar..... | 104 |
| Çizelge A.65 : SF_1,0453_CHICHI05_TTN002-N.AT2 deprem analizinde mafsallı modelde oluşan deplasman ve kesme kuvvetleri..... | 105 |
| Çizelge A.66 : SF_1,0453_CHICHI05_TTN002-N.AT2 deprem analizinde mafsallı modelde çıkan sonuçlar..... | 106 |
| Çizelge A.67 : SF_1,0453_CHICHI05_TTN002-N.AT2 deprem analizinde çelik yastıklı modelde oluşan deplasman ve kesme kuvvetleri..... | 107 |

| | |
|---|------------|
| Çizelge A.68 : SF_1,0453_CHICHI05_TTN002-N.AT2 deprem analizinde çelik yastıklı modelde çıkan sonuçlar..... | 108 |
| Çizelge A.69 : SF_1,0521_CHICHI05_TTN002-W.AT2 deprem analizinde mafsallı modelde oluşan deplasman ve kesme kuvvetleri. | 109 |
| Çizelge A.70 : SF_1,0521_CHICHI05_TTN002-W.AT2 deprem analizinde mafsallı modelde çıkan sonuçlar..... | 110 |
| Çizelge A.71 : SF_1,0521_CHICHI05_TTN002-W.AT2 deprem analizinde çelik yastıklı modelde oluşan deplasman ve kesme kuvvetleri. | 111 |
| Çizelge A.72 : SF_1,0521_CHICHI05_TTN002-W.AT2 deprem analizinde çelik yastıklı modelde çıkan sonuçlar..... | 112 |
| Çizelge A.73 : SF_1,1641_ITALY_A-AUL000.AT2 deprem analizinde mafsallı modelde oluşan deplasman ve kesme kuvvetleri. | 113 |
| Çizelge A.74 : SF_1,1641_ITALY_A-AUL000.AT2 deprem analizinde mafsallı modelde çıkan sonuçlar..... | 114 |
| Çizelge A.75 : SF_1,1641_ITALY_A-AUL000.AT2 deprem analizinde çelik yastıklı modelde oluşan deplasman ve kesme kuvvetleri. | 115 |
| Çizelge A.76 : SF_1,1641_ITALY_A-AUL000.AT2 deprem analizinde çelik yastıklı modelde çıkan sonuçlar..... | 116 |
| Çizelge A.77 : SF_1,1993_LANDERS_PLC090.AT2 deprem analizinde mafsallı modelde oluşan deplasman ve kesme kuvvetleri. | 117 |
| Çizelge A.78 : SF_1,1993_LANDERS_PLC090.AT2 deprem analizinde mafsallı modelde çıkan sonuçlar..... | 118 |
| Çizelge A.79 : SF_1,1993_LANDERS_PLC090.AT2 deprem analizinde çelik yastıklı modelde oluşan deplasman ve kesme kuvvetleri. | 119 |
| Çizelge A.80 : SF_1,1993_LANDERS_PLC090.AT2 deprem analizinde çelik yastıklı modelde çıkan sonuçlar..... | 120 |

ŞEKİL LİSTESİ

| | <u>Sayfa</u> |
|--|--------------|
| Şekil 2.1 : Boşluklu perde ve boşluklu perdeye etkiyen yatay yükler..... | 3 |
| Şekil 2.2 : Deprem etkisinde bağ kırışında oluşan iç kuvvetler. | 4 |
| Şekil 2.3 : Perdeler arası bağ kırışlarının göçme biçimleri..... | 5 |
| Şekil 2.4 : Bağ elemanı donatı düzeni. | 5 |
| Şekil 2.5 : Boşluklu perde ve eşdeğer çerçeve. | 6 |
| Şekil 3.1 : 8 mm kalınlığındaki çelik yastığın üstten ve önden görünüşü. | 7 |
| Şekil 3.2 : Eksenal (solda) ve kesme (sağda) deneylerinin genel görünüşü. | 8 |
| Şekil 3.3 : Çelik yastığın modeldeki 3 boyutlu görünüşü. | 8 |
| Şekil 3.4 : 3 farklı et kalınlığındaki çelik yastıklarda yapılan eksenal yükleme deneyi. | 9 |
| Şekil 3.5 : Yumuşak çeliğin eksenal yükleme altındaki birikmiş gecikmeli enerji sökümleme kapasitesi. | 9 |
| Şekil 3.6 : Çelik yastıkların et kalınlıklarına göre kesme deneyinde karşılaştırılması.... | 10 |
| Şekil 3.7 : Yumuşak çeliğin kesme etkisi altında birikmiş gecikmeli enerji sökümleme kapasitesi. | 10 |
| Şekil 3.8 : Merkezden kaynaklanmış paslanmaz çelikli çelik yastığın kuvvet – yer değiştirme ilişkisi. | 11 |
| Şekil 3.9 : Üstten kaynaklanmış paslanmaz çelikli çelik yastığın kuvvet – yer değiştirme ilişkisi. | 11 |
| Şekil 3.10 : Ortadan kaynaklanmış paslanmaz çelikli çelik yastığın kuvvet – yer değiştirme ilişkisi. | 12 |
| Şekil 3.11 : Farklı noktalarda kaynaklanmış paslanmaz çeliklerin birikmiş gecikmeli enerji sökümleme kapasiteleri. | 12 |
| Şekil 3.12 : Yumuşak çeliğin ve paslanmaz çeliğin davranışlarının karşılaştırılması.... | 13 |
| Şekil 4.1 : 24 katlı bağ kıraklı perdenin önden görünüsü ve kat planı. | 15 |
| Şekil 4.2 : C-40 betonun gerilme-birim şekil değiştirme grafiği. | 18 |
| Şekil 4.3 : S-420 donatı çeliğinin gerilme-birim şekil değiştirme grafiği. | 18 |
| Şekil 4.4 : Fiktif çubugun gerilme-şekil değiştirme grafiği. | 19 |
| Şekil 4.5 : Perde kesiti. | 19 |
| Şekil 4.6 : Bağ kırışı kesiti. | 20 |
| Şekil 4.7 : infrmFB elemanları için lokal eksenler ve çıktı gösterimi. | 21 |
| Şekil 4.8 : Genel ve lokal eksen takımlarının çelik yastıklı modeldeki görüntüsü. .. | 21 |
| Şekil 4.9 : Mafsal tanımlaması için kullanılan eğri parametreleri. | 22 |
| Şekil 4.10 : Kırış kesiti ve programda kullanılan değerler. | 23 |
| Şekil 4.11 : Bağlantı elemanlarının programdaki moment – dönme grafiği ve lokal eksenlerin çıktı gösterimi. | 23 |
| Şekil 4.12 : Yapılan hesaplar sonucunda oluşan moment-dönme grafiği. | 24 |

| | |
|--|------------|
| Şekil 4.13 : Çelik yastığın tanımlanması için kullanılan eğri parametreleri..... | 25 |
| Şekil 4.14 : Çelik yastık için önerilen genel etkileşim eğrisi | 25 |
| Şekil 4.15 : Çelik Yastığın üstten ve yandan görünüşü..... | 26 |
| Şekil 4.16 : Programda kullanılan değerler. | 27 |
| Şekil 4.17 : Çelik yastıklı ve çapraz donatılı kirişin moment-dönme grafiği..... | 27 |
| Şekil 4.18 : Genel (sistem) eksen takımındaki kütleler. | 28 |
| Şekil 4.19 : Modellerin 1. periyodunda oluşan mod şekilleri..... | 32 |
| Şekil 4.20 : Modellerin 2. periyodunda oluşan mod şekilleri..... | 32 |
| Şekil 4.21 : Seçilen deprem kayıtlarının ortalama spektral ivme ve deplasman grafikleri..... | 34 |
| Şekil 4.22 : Mafsallı (solda) ve çelik yastıklı (sağda) modelin programdaki görüntüsü. | 35 |
| Şekil B.1 : SF_0,9096_CHICHI06_TCU139-E-AT2 deprem analizinde modellerde oluşan kat deplasmanları..... | 121 |
| Şekil B.2 : SF_0,9096_CHICHI06_TCU139-E-AT2 deprem analizinde modellerde oluşan bağlantı elemanı deplasmanları. | 121 |
| Şekil B.3 : SF_0,9096_CHICHI06_TCU139-E-AT2 deprem analizinde modellerde oluşan bağlantı elemanı kesme kuvvetleri. | 122 |
| Şekil B.4 : SF_0,9096_CHICHI06_TCU139-E-AT2 deprem analizinde modellerde oluşan görelî kat ötelenme oranları..... | 122 |
| Şekil B.5 : SF_0,9096_CHICHI06_TCU139-E-AT2 deprem analizinde modellerde oluşan kat kesme kuvvetleri..... | 123 |
| Şekil B.6 : SF_0,9096_CHICHI06_TCU139-E-AT2 deprem analizinde modellerde oluşan perde momentleri..... | 123 |
| Şekil B.7 : SF_0,9134_IMPVALL_F-WSM180.AT2 deprem analizinde modellerde oluşan kat deplasmanları..... | 124 |
| Şekil B.8 : SF_0,9134_IMPVALL_F-WSM180.AT2 deprem analizinde modellerde oluşan bağlantı elemanı deplasmanları. | 124 |
| Şekil B.9 : SF_0,9134_IMPVALL_F-WSM180.AT2 deprem analizinde modellerde oluşan bağlantı elemanı kesme kuvvetleri. | 125 |
| Şekil B.10 : SF_0,9134_IMPVALL_F-WSM180.AT2 deprem analizinde modellerde oluşan görelî kat ötelenme oranları..... | 125 |
| Şekil B.11 : SF_0,9134_IMPVALL_F-WSM180.AT2 deprem analizinde modellerde oluşan kat kesme kuvvetleri. | 126 |
| Şekil B.12 : SF_0,9134_IMPVALL_F-WSM180.AT2 deprem analizinde modellerde oluşan perde momentleri..... | 126 |
| Şekil B.13 : SF_0,60116_NORTHR_SMV180.AT2 deprem analizinde modellerde oluşan kat deplasmanları..... | 127 |
| Şekil B.14 : SF_0,60116_NORTHR_SMV180.AT2 deprem analizinde modellerde oluşan bağlantı elemanı deplasmanları. | 127 |
| Şekil B.15 : SF_0,60116_NORTHR_SMV180.AT2 deprem analizinde modellerde oluşan bağlantı elemanı kesme kuvvetleri. | 128 |
| Şekil B.16 : SF_0,60116_NORTHR_SMV180.AT2 deprem analizinde modellerde oluşan görelî kat ötelenme oranları..... | 128 |

| | |
|--|------------|
| Şekil B.17 : SF_0,60116_NORTHR_SMV180.AT2 deprem analizinde modellerde oluşan kat kesme kuvvetleri..... | 129 |
| Şekil B.18 : SF_0,60116_NORTHR_SMV180.AT2 deprem analizinde modellerde oluşan perde momentleri..... | 129 |
| Şekil B.19 : SF_0,77259_CHICHI02_TTN027-N.AT2 deprem analizinde modellerde oluşan kat deplasmanları..... | 130 |
| Şekil B.20 : SF_0,77259_CHICHI02_TTN027-N.AT2 deprem analizinde modellerde oluşan bağlantı elemanı deplasmanları..... | 130 |
| Şekil B.21 : SF_0,77259_CHICHI02_TTN027-N.AT2 deprem analizinde modellerde oluşan bağlantı elemanı kesme kuvvetleri. | 131 |
| Şekil B.22 : SF_0,77259_CHICHI02_TTN027-N.AT2 deprem analizinde modellerde oluşan görelî kat ötelenme oranları..... | 131 |
| Şekil B.23 : SF_0,77259_CHICHI02_TTN027-N.AT2 deprem analizinde modellerde oluşan kat kesme kuvvetleri..... | 132 |
| Şekil B.24 : SF_0,77259_CHICHI02_TTN027-N.AT2 deprem analizinde modellerde oluşan perde momentleri..... | 132 |
| Şekil B.25 : SF_0,79704_ITALY_A-MER000.AT2 deprem analizinde modellerde oluşan kat deplasmanları..... | 133 |
| Şekil B.26 : SF_0,79704_ITALY_A-MER000.AT2 deprem analizinde modellerde oluşan bağlantı elemanı deplasmanları. | 133 |
| Şekil B.27 : SF_0,79704_ITALY_A-MER000.AT2 deprem analizinde modellerde oluşan bağlantı elemanı kesme kuvvetleri. | 134 |
| Şekil B.28 : SF_0,79704_ITALY_A-MER000.AT2 deprem analizinde modellerde oluşan görelî kat ötelenme oranları..... | 134 |
| Şekil B.29 : SF_0,79704_ITALY_A-MER000.AT2 deprem analizinde modellerde oluşan kat kesme kuvvetleri..... | 135 |
| Şekil B.30 : SF_0,79704_ITALY_A-MER000.AT2 deprem analizinde modellerde oluşan perde momentleri..... | 135 |
| Şekil B.31 : SF_0,80771_LIVERMOR_B-DVD156.AT2 deprem analizinde modellerde oluşan kat deplasmanları..... | 136 |
| Şekil B.32 : SF_0,80771_LIVERMOR_B-DVD156.AT2 deprem analizinde modellerde oluşan bağlantı elemanı deplasmanları. | 136 |
| Şekil B.33 : SF_0,80771_LIVERMOR_B-DVD156.AT2 deprem analizinde modellerde oluşan bağlantı elemanı kesme kuvvetleri. | 137 |
| Şekil B.34 : SF_0,80771_LIVERMOR_B-DVD156.AT2 deprem analizinde modellerde oluşan görelî kat ötelenme oranları..... | 137 |
| Şekil B.35 : SF_0,80771_LIVERMOR_B-DVD156.AT2 deprem analizinde modellerde oluşan kat kesme kuvvetleri..... | 138 |
| Şekil B.36 : SF_0,80771_LIVERMOR_B-DVD156.AT2 deprem analizinde modellerde oluşan perde momentleri..... | 138 |
| Şekil B.37 : SF_0,83335_CHICHI06_TCU119-E.AT2 deprem analizinde modellerde oluşan kat deplasmanları..... | 139 |
| Şekil B.38 : SF_0,83335_CHICHI06_TCU119-E.AT2 deprem analizinde modellerde oluşan bağlantı elemanı deplasmanları. | 139 |
| Şekil B.39 : SF_0,83335_CHICHI06_TCU119-E.AT2 deprem analizinde modellerde oluşan bağlantı elemanı kesme kuvvetleri. | 140 |
| Şekil B.40 : SF_0,83335_CHICHI06_TCU119-E.AT2 deprem analizinde modellerde oluşan görelî kat ötelenme oranları..... | 140 |
| Şekil B.41 : SF_0,83335_CHICHI06_TCU119-E.AT2 deprem analizinde modellerde oluşan kat kesme kuvvetleri..... | 141 |

| | |
|--|------------|
| Şekil B.42 : SF_0,83335_CHICHI06_TCU119-E.AT2 deprem analizinde modellerde oluşan perde momentleri..... | 141 |
| Şekil B.43 : SF_0,84063_MAMMOTH_H-MGE000.AT2 deprem analizinde modellerde oluşan kat deplasmanları..... | 142 |
| Şekil B.44 : SF_0,84063_MAMMOTH_H-MGE000.AT2 deprem analizinde modellerde oluşan bağlantı elemanı deplasmanları..... | 142 |
| Şekil B.45 : SF_0,84063_MAMMOTH_H-MGE000.AT2 deprem analizinde modellerde oluşan bağlantı elemanı kesme kuvvetleri. | 143 |
| Şekil B.46 : SF_0,84063_MAMMOTH_H-MGE000.AT2 deprem analizinde modellerde oluşan görelî kat ötelenme oranları..... | 143 |
| Şekil B.47 : SF_0,84063_MAMMOTH_H-MGE000.AT2 deprem analizinde modellerde oluşan kat kesme kuvvetleri..... | 144 |
| Şekil B.48 : SF_0,84063_MAMMOTH_H-MGE000.AT2 deprem analizinde modellerde oluşan perde momentleri..... | 144 |
| Şekil B.49 : SF_0,85377_NORTH392_TEMPL000.AT2 deprem analizinde modellerde oluşan kat deplasmanları..... | 145 |
| Şekil B.50 : SF_0,85377_NORTH392_TEMPL000.AT2 deprem analizinde modellerde oluşan bağlantı elemanı deplasmanları..... | 145 |
| Şekil B.51 : SF_0,85377_NORTH392_TEMPL000.AT2 deprem analizinde modellerde oluşan bağlantı elemanı kesme kuvvetleri. | 146 |
| Şekil B.52 : SF_0,85377_NORTH392_TEMPL000.AT2 deprem analizinde modellerde oluşan görelî kat ötelenme oranları..... | 146 |
| Şekil B.53 : SF_0,85377_NORTH392_TEMPL000.AT2 deprem analizinde modellerde oluşan kat kesme kuvvetleri..... | 147 |
| Şekil B.54 : SF_0,85377_NORTH392_TEMPL000.AT2 deprem analizinde modellerde oluşan perde momentleri..... | 147 |
| Şekil B.55 : SF_0,87729_KOZANI_FLR--L.AT2 deprem analizinde modellerde oluşan kat deplasmanları..... | 148 |
| Şekil B.56 : SF_0,87729_KOZANI_FLR--L.AT2 deprem analizinde modellerde oluşan bağlantı elemanı deplasmanları. | 148 |
| Şekil B.57 : SF_0,87729_KOZANI_FLR--L.AT2 deprem analizinde modellerde oluşan bağlantı elemanı kesme kuvvetleri. | 149 |
| Şekil B.58 : SF_0,87729_KOZANI_FLR--L.AT2 deprem analizinde modellerde oluşan görelî kat ötelenme oranları..... | 149 |
| Şekil B.59 : SF_0,87729_KOZANI_FLR--L.AT2 deprem analizinde modellerde oluşan kat kesme kuvvetleri. | 150 |
| Şekil B.60 : SF_0,87729_KOZANI_FLR--L.AT2 deprem analizinde modellerde oluşan perde momentleri..... | 150 |
| Şekil B.61 : SF_0,93555_NORTHR_ATB090.AT2 deprem analizinde modellerde oluşan kat deplasmanları..... | 151 |
| Şekil B.62 : SF_0,93555_NORTHR_ATB090.AT2 deprem analizinde modellerde oluşan bağlantı elemanı deplasmanları. | 151 |
| Şekil B.63 : SF_0,93555_NORTHR_ATB090.AT2 deprem analizinde modellerde oluşan bağlantı elemanı kesme kuvvetleri. | 152 |
| Şekil B.64 : SF_0,93555_NORTHR_ATB090.AT2 deprem analizinde modellerde oluşan görelî kat ötelenme oranları. | 152 |
| Şekil B.65 : SF_0,93555_NORTHR_ATB090.AT2 deprem analizinde modellerde oluşan kat kesme kuvvetleri. | 153 |
| Şekil B.66 : SF_0,93555_NORTHR_ATB090.AT2 deprem analizinde modellerde oluşan perde momentleri. | 153 |

| | |
|---|------------|
| Şekil B.67 : SF_0,95038_CHICHI_TAI1-E.AT2 deprem analizinde modellerde oluşan kat deplasmanları..... | 154 |
| Şekil B.68 : SF_0,95038_CHICHI_TAI1-E.AT2 deprem analizinde modellerde oluşan bağlantı elemanı deplasmanları | 154 |
| Şekil B.69: SF_0,95038_CHICHI_TAI1-E.AT2 deprem analizinde modellerde oluşan bağlantı elemanı kesme kuvvetleri. | 155 |
| Şekil B.70 : SF_0,95038_CHICHI_TAI1-E.AT2 deprem analizinde modellerde oluşan görelî kat ötelenme oranları..... | 155 |
| Şekil B.71 : SF_0,95038_CHICHI_TAI1-E.AT2 deprem analizinde modellerde oluşan kat kesme kuvvetleri..... | 156 |
| Şekil B.72 : SF_0,95038_CHICHI_TAI1-E.AT2 deprem analizinde modellerde oluşan perde momentleri..... | 156 |
| Şekil B.73 : SF_0,69161_CHICHI03_CHY070-E.AT2 deprem analizinde modellerde oluşan kat deplasmanları..... | 157 |
| Şekil B.74 : SF_0,69161_CHICHI03_CHY070-E.AT2 deprem analizinde modellerde oluşan bağlantı elemanı deplasmanları. | 157 |
| Şekil B.75: SF_0,69161_CHICHI03_CHY070-E.AT2 deprem analizinde modellerde oluşan bağlantı elemanı kesme kuvvetleri. | 158 |
| Şekil B.76 : SF_0,69161_CHICHI03_CHY070-E.AT2 deprem analizinde modellerde oluşan görelî kat ötelenme oranları..... | 158 |
| Şekil B.77 : SF_0,69161_CHICHI03_CHY070-E.AT2 deprem analizinde modellerde oluşan kat kesme kuvvetleri..... | 159 |
| Şekil B.78 : SF_0,69161_CHICHI03_CHY070-E.AT2 deprem analizinde modellerde oluşan perde momentleri..... | 159 |
| Şekil B.79 : SF_1,094_COALINGA_C-SKH360.AT2 deprem analizinde modellerde oluşan kat deplasmanları..... | 160 |
| Şekil B.80 : SF_1,094_COALINGA_C-SKH360.AT2 deprem analizinde modellerde oluşan bağlantı elemanı deplasmanları. | 160 |
| Şekil B.81: SF_1,094_COALINGA_C-SKH360.AT2 deprem analizinde modellerde oluşan bağlantı elemanı kesme kuvvetleri. | 161 |
| Şekil B.82 : SF_1,094_COALINGA_C-SKH360.AT2 deprem analizinde modellerde oluşan görelî kat ötelenme oranları..... | 161 |
| Şekil B.83 : SF_1,094_COALINGA_C-SKH360.AT2 deprem analizinde modellerde oluşan kat kesme kuvvetleri..... | 162 |
| Şekil B.84 : SF_1,094_COALINGA_C-SKH360.AT2 deprem analizinde modellerde oluşan perde momentleri..... | 162 |
| Şekil B.85 : SF_1,266_BORAH_MS_TAN260.AT2 deprem analizinde modellerde oluşan kat deplasmanları..... | 163 |
| Şekil B.86: SF_1,266_BORAH_MS_TAN260.AT2 deprem analizinde modellerde oluşan bağlantı elemanı deplasmanları. | 163 |
| Şekil B.87: SF_1,266_BORAH_MS_TAN260.AT2 deprem analizinde modellerde oluşan bağlantı elemanı kesme kuvvetleri. | 164 |
| Şekil B.88 : SF_1,266_BORAH_MS_TAN260.AT2 deprem analizinde modellerde oluşan görelî kat ötelenme oranları..... | 164 |
| Şekil B.89 : SF_1,266_BORAH_MS_TAN260.AT2 deprem analizinde modellerde oluşan kat kesme kuvvetleri..... | 165 |
| Şekil B.90 : SF_1,266_BORAH_MS_TAN260.AT2 deprem analizinde modellerde oluşan perde momentleri..... | 165 |
| Şekil B.91 : SF_1,0421_CHICHI03_TCU087-N.AT2 deprem analizinde modellerde oluşan kat deplasmanları..... | 166 |

| | |
|--|------------|
| Şekil B.92: SF_1,0421_CHICHI03_TCU087-N.AT2 deprem analizinde modellerde oluşan bağlantı elemanı deplasmanları..... | 166 |
| Şekil B.93: SF_1,0421_CHICHI03_TCU087-N.AT2 deprem analizinde modellerde oluşan bağlantı elemanı kesme kuvvetleri..... | 167 |
| Şekil B.94 : SF_1,0421_CHICHI03_TCU087-N.AT2 deprem analizinde modellerde oluşan görelî kat ötelenme oranları..... | 167 |
| Şekil B.95 : SF_1,0421_CHICHI03_TCU087-N.AT2 deprem analizinde modellerde oluşan kat kesme kuvvetleri..... | 168 |
| Şekil B.96 : SF_1,0421_CHICHI03_TCU087-N.AT2 deprem analizinde modellerde oluşan perde momentleri..... | 168 |
| Şekil B.97 : SF_1,0453_CHICHI05_TTN002-N.AT2 deprem analizinde modellerde oluşan kat deplasmanları..... | 169 |
| Şekil B.98: SF_1,0453_CHICHI05_TTN002-N.AT2 deprem analizinde modellerde oluşan bağlantı elemanı deplasmanları..... | 169 |
| Şekil B.99: SF_1,0453_CHICHI05_TTN002-N.AT2 deprem analizinde modellerde oluşan bağlantı elemanı kesme kuvvetleri..... | 170 |
| Şekil B.100 : SF_1,0453_CHICHI05_TTN002-N.AT2 deprem analizinde modellerde oluşan görelî kat ötelenme oranları..... | 170 |
| Şekil B.101 : SF_1,0453_CHICHI05_TTN002-N.AT2 deprem analizinde modellerde oluşan kat kesme kuvvetleri..... | 171 |
| Şekil B.102 : SF_1,0453_CHICHI05_TTN002-N.AT2 deprem analizinde modellerde oluşan perde momentleri..... | 171 |
| Şekil B.103 : SF_1,0521_CHICHI05_TTN002-W.AT2 deprem analizinde modellerde oluşan kat deplasmanları..... | 172 |
| Şekil B.104: SF_1,0521_CHICHI05_TTN002-W.AT2 deprem analizinde modellerde oluşan bağlantı elemanı deplasmanları..... | 172 |
| Şekil B.105: SF_1,0521_CHICHI05_TTN002-W.AT2 deprem analizinde modellerde oluşan bağlantı elemanı kesme kuvvetleri..... | 173 |
| Şekil B.106 : SF_1,0521_CHICHI05_TTN002-W.AT2 deprem analizinde modellerde oluşan görelî kat ötelenme oranları..... | 173 |
| Şekil B.107 : SF_1,0521_CHICHI05_TTN002-W.AT2 deprem analizinde modellerde oluşan kat kesme kuvvetleri..... | 174 |
| Şekil B.108 : SF_1,0521_CHICHI05_TTN002-W.AT2 deprem analizinde modellerde oluşan perde momentleri..... | 174 |
| Şekil B.109 : SF_1,1641_ITALY_A-AUL000.AT2 deprem analizinde modellerde oluşan kat deplasmanları..... | 175 |
| Şekil B.110: SF_1,1641_ITALY_A-AUL000.AT2 deprem analizinde modellerde oluşan bağlantı elemanı deplasmanları..... | 175 |
| Şekil B.111: SF_1,1641_ITALY_A-AUL000.AT2 deprem analizinde modellerde oluşan bağlantı elemanı kesme kuvvetleri..... | 176 |
| Şekil B.112 : SF_1,1641_ITALY_A-AUL000.AT2 deprem analizinde modellerde oluşan görelî kat ötelenme oranları..... | 176 |
| Şekil B.113 : SF_1,1641_ITALY_A-AUL000.AT2 deprem analizinde modellerde oluşan kat kesme kuvvetleri..... | 177 |
| Şekil B.114 : SF_1,1641_ITALY_A-AUL000.AT2 deprem analizinde modellerde oluşan perde momentleri..... | 177 |
| Şekil B.115 : SF_1,1993_LANDERS_PLC090.AT2 deprem analizinde modellerde oluşan kat deplasmanları..... | 178 |
| Şekil B.116: SF_1,1993_LANDERS_PLC090.AT2 deprem analizinde modellerde oluşan bağlantı elemanı deplasmanları..... | 178 |

| | |
|---|------------|
| Şekil B.117: SF_1,1993_LANDERS_PLC090.AT2 deprem analizinde modellerde oluşan bağlantı elemanı kesme kuvvetleri. | 179 |
| Şekil B.118 : SF_1,1993_LANDERS_PLC090.AT2 deprem analizinde modellerde oluşan göreli kat ötelenme oranları..... | 179 |
| Şekil B.119 : SF_1,1993_LANDERS_PLC090.AT2 deprem analizinde modellerde oluşan kat kesme kuvvetleri..... | 180 |
| Şekil B.120 : SF_1,1993_LANDERS_PLC090.AT2 deprem analizinde modellerde oluşan perde momentleri..... | 180 |





BETONARME YÜKSEK YAPILARDA SÖNÜMLEYİCİ BAĞ KİRİŞLERİ ÖZET

Yüksek katlı yapı sistemlerinde, yapı içerisinde bulunan bazı boşluklardan dolayı (kapı, pencere vb.) bağ kıraklı boşluklu perde kullanımı oldukça yaygındır. Ancak depremlerden sonra bu bağ kırışları ciddi ölçüde hasar alabileceğinin, söz konusu bağlantı elemanlarının onarımı gerekebilir. Tasarımda genel olarak bu elemanların zaten çok yüksek deformasyonlara ulaşacağı ve hasar alacağı öngörlür. Bu durumda yapılacak onarım, belirli bir maliyete ve binanın bir süre kullanım dışı kalmasına sebep olacaktır. Bu tez çalışmasında, betonarme bağ kırışlarının orta noktasına düşey doğrultuda çift yönlü çalışan çelik bir sönümleyici konulduğu takdirde, perde ve bağ kırışları ile bağlı tüm sistemde deprem davranışının nasıl değişeceğini izlenmiştir. Çelik yastık elemanlar kullanıldığından bağ kırışlarında depremden sonra açığa çıkacak enerjinin sökümlenip sökümlenmeyeceğini, bunun toplam yapı davranışına etkileri incelenmiştir.

Beş bölümden oluşan yüksek lisans tezimin birinci bölümü, konunun açıklanmasına ve tezin amaç ve kapsamına ayrılmıştır.

İkinci bölümde, literatür taraması yapıldıktan sonra tez konusuna katkı sağlayacak faydalı birtakım bilgiler verilmiştir.

Tezin üçüncü bölümünde, kullanılacak olan çelik yastığın özellikleri detaylı bir şekilde incelenmiştir.

Dördüncü bölümde, kullanılan sonlu elemanlar programında iki farklı modelin zaman tanım alanında doğrusal olmayan analizleri yapılmış olup, sonuçlar karşılaştırılmıştır. Bu modellerin birinde sönümleyiciler varken diğer model ise bilinen normal bağ kıraklı şekilde modellenmiştir. Bu modellerde çerçeve elemanlar ihmali edilmiş olup sadece boşluklu perdeler iki boyutlu (x-z) olarak tasarılanmıştır.

Beşinci bölümde ise, yukarıda da belirtildiği gibi tezin amacına yönelik sorulan soruya cevap verilmiştir. Tez çalışmasının sonunda, çelik yastık kullanılması durumunda yapıya enerji sökütleme kapasitesi katıldığı, depremden sonra kolayca değiştirilecek çelik yastık elemanları ile yapısal davranışın iyileştirildiği tespit edilmiştir.



DAMPER COUPLING BEAMS IN HIGE RISE REINFORCED CONCRETE STRUCTURES

SUMMARY

In hige-rise building systems, the use of shear walls with coupling beam is widespread due to some gaps through the structures (doors, windows etc.). However, since these coupling beams can take seriously damage after the earthquakes, it may be necessary to repair the connection elements. In design, it is generally anticipated that these elements will already reach very high deformations and damages. Repairing in this case will cause a certain financial cost and building to be out of use for some time. In this thesis study, it was observed that how to change the behaviour of earthquake in the whole system connected with shear walls and coupling beams, if a steel damper working bidirectional in vertical direction to the midpoint of reinforced concrete coupling beams. When the steel cushion elements are used, the effect on the total building behaviour is investigated whether that the energy damped which will be released after the earthquake in the coupling beams.

The first part of master's thesis, which consist of five parts, is given for descriptions of the subject and the purpose and scope of the thesis.

In the second part, useful information has been given to contribute to the topic of thesis after literature review.

In the third part of the thesis, the properties of the steel cushion to be used are examined in detail.

In the fourth part, the nonlinear time history analysis of two different models is performed in the finite element program used and the results are compared. One of these models has a damper, while the other model is designed with a known normal coupling beam. In these models, the frame elements are neglected and only the shear walls with coupling beam are designed to be two dimensional (x-z).

In the fifth part, the question asked for the purpose of the thesis has been answered as mentioned above. At the end of the thesis study, it has been determined that steel cushion improves the structural behaviour of the steel cushion elements which can be easily replaced after the earthquake when the structure participates in energy damping capacity.



XXX

1. GİRİŞ

1.1. Konu

Yapı sistemlerinde kat sayısı arttıkça, depremden dolayı yapıya etkiyen yatay kuvvetler artmaktadır. Yatay kuvvetlerin artması yapıda yatay yerdeğiştirmelerin artmasına sebep olmaktadır. Bu yüzden yüksek yapılarda gerekli yatay rıjitliği sağlayacak eleman kullanımı şarttır. Sadece kolon ve kirişlerden oluşan çerçeve sistemler, yatay yükleri karşılamada yetersiz kaldığı için bu tür yapılarda perde kullanımı zorunludur. Ancak mimari gereklilikler yüzünden oluşan boşluklardan dolayı boşluklu perde kullanımı gerekebilmektedir.

1.2. Çalışmanın Amacı ve Kapsamı

Bu çalışmanın amacı, yüksek binaların depremden sonra geçici süreliğine de olsa servis dışı kalmasını engellemek ve onarım işiyle uğraşmamak için sönümler kullanılarak boşluklu perdelerde oluşacak ciddi hasarların engellenmesidir. Bu amaçla 24 katlı, iki boyutlu, bağ kiriş katılım oranı düşük olan iki farklı model kurulmuş ve zaman tanım alanında doğrusal olmayan analizler yapılarak sonuçlar karşılaştırılmıştır.

Bir sonraki bölüm olan ikinci kısımda, literatür taramasında alınan bilgilerde adım adım şu konulara değinilmiştir:

- Bağ kiriş - boşluklu perde tanımı
- Bağ kiriş katkı oranı tanımı
- Donatılardırma (Buna bağlı olarak gerçekleşen göçme şekilleri)
- Literatürde mevcut olan modelleme yöntemleri (Tez konusu kapsamında olmadığı için bu konu detaylı bir şekilde sayısal olarak araştırılmamıştır)

Üçüncü kısımda sönümler ve dördüncü kısımda modellerden elde edilen sonuçlar gösterilip yorumlanırken, son kısımda ise varılan sonuçlar açıklanmıştır.

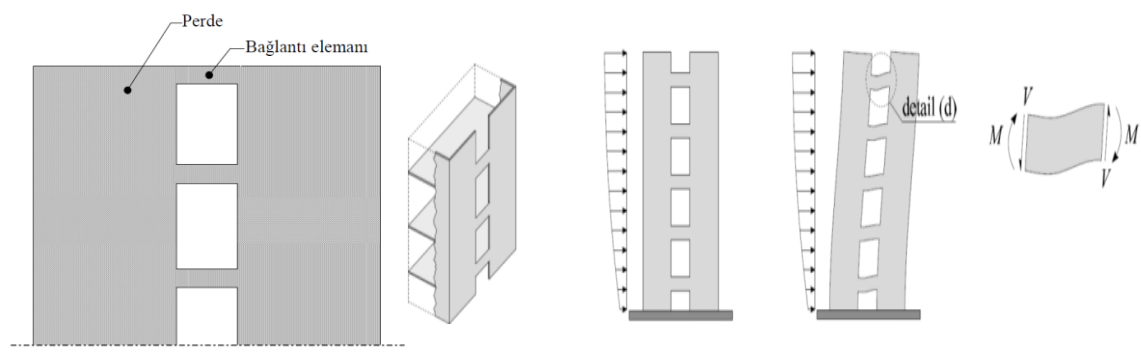
2. LİTERATÜRDEKİ TANIMLAR

Bu bölümde, bağ kirişleri ve boşluklu perdelerle ilgili tanımlar verilmiş ve literatürde daha önce yer almış bilgilerden alıntılar yapılmış olup bunlar üzerine yorumlar yapılmıştır.

2.1. Bağ Kirişi ve Boşluklu Perde Tanımı

Binaların betonarme perde elemanında genellikle binanın kullanım amacına veya mimari gereksinimlere göre kapı veya pencere boşlukları bırakılması gerekmektedir. Bırakılan boşlukların düşeyde sürekli ve düzgün olması durumunda aralarında kalan her iki perde parçasını birbirine bağlayan yatay elemanlara **bağ kirişi**, perde sistemin geneline ise **bağ kıraklı boşluklu perde** denir.

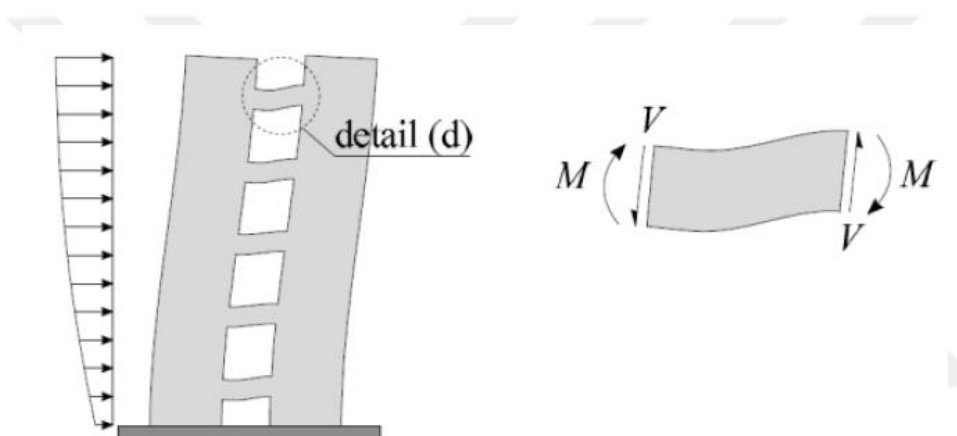
Boşluklu perdeli sistemlerin tasarımda, bağ kirişleri plastik şekil değiştirmesi beklenen şekilde tasarlanır. Yani depremden sonra bu bağ elemanlarının hasar alınmasına belirli ölçülerde izin verilir. Bu yaklaşım boşluklu perdelerin sünekliğini ve enerji yutma kapasitesini artırarak, yapının iç kuvvetlerini küçültür. Bu şekilde boşluklu perdeler, yüksek katlı yapılarda yatay yüklerle karşı yeterli dayanım ve rıjilik sağlama beklenen performansı sağlar.



Şekil 2.1 : Boşluklu perde ve boşluklu perdeye etkiyen yatay yükler (Bezalga, J. M. D., 2015).

2.2. Bağ Kırışı Katkı Oranı Tanımı

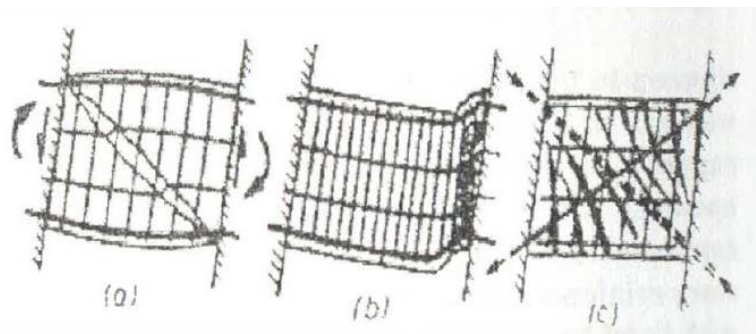
Bağ kırışlarının asıl görevi kesme kuvvetinin perdeler arası geçişini sağlamaktır. Boşluklu perde sisteminin yatay yükler altında davranışı sırasında bağ kırışlarında oluşan kesme kuvvetleri bağlandığı perdelerin birine eksenel basınç kuvveti olarak aktarılırken, diğerine eksenel çekme kuvveti olarak aktarılır. Böylece sisteme dış yükler tarafından aktarılan devrilme momentinin bir kısmı bağ kırışlarının iki ucundaki kesme kuvvetlerinin toplamından oluşan perde normal kuvvetlerinin momenti ile karşılanmış olur. Karşılanan bu momentin yapıya etkiyen toplam devrilme momentine oranına, **bağ kırışı katkı oranı** denir (Toprak, 2015).



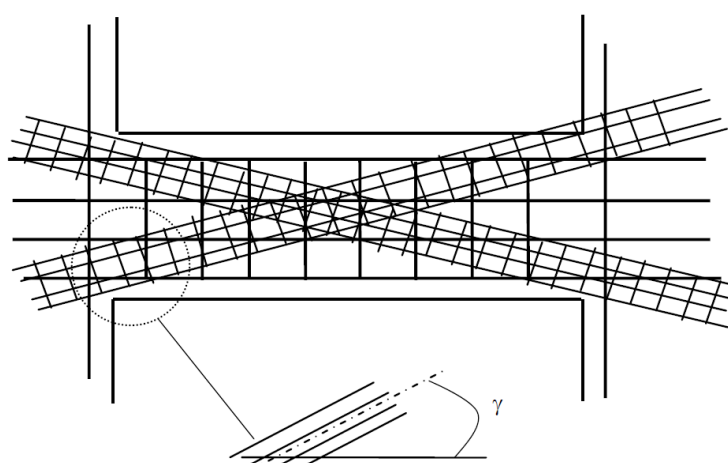
Şekil 2.2 : Deprem etkisinde bağ kırışında oluşan iç kuvvetler
(Bezalga, J. M. D., 2015).

2.3. Donatlandırma

Normal kırış gibi donatıldırılan kısa açıklıklı bağ kırışları Şekil 2.3.a'da gösterildiği gibi, kesitin eğilme kapasitesine ulaşılmadan, eğik çekme gerilmeleri nedeni ile göçme durumuna gelir. Etryelerin uygun biçimde düzenlenmesi ile kesme kuvveti kapasitesi yüksek tutulabilir ise de yön değiştiren yüklerde aderansın zayıflaması, Şekil 2.3.b'de görüldüğü gibi eğilme çatlaklarının iki tarafta birleşmesine neden olabilir. Özellikle kısa açıklıklı bağ kırışlarında, Şekil 2.3.c'de görüldüğü gibi, köşegen doğrultusunda donatıların yerleştirilmesi uygun sonuç verir. (Tama ve Kaplan, 2002)



Şekil 2.3 : Perdeler arası bağ kırışlarının göçme biçimleri
(Tama, Y. S., Kaplan, H., 2002).



Şekil 2.4 : Bağ elemanı donatı düzeni (Doran, B.).

2.4. Modelleme Yöntemleri

Modelleme yöntemleri makro ve mikro modelleme olmak üzere ikiye ayrılır. Mikro modelleme bir çok paket programın arka planında çalışan sonlu elemanlar yöntemi üzerine kuruludur. Makro modelleme ise literatürde eşdeğer çerçeve yöntemi olarak isim almış ve kendi arasında üçe ayrılan (Naish model, Lu and Chen model, Barbachyn model) basitleştirilmiş bir yöntemdir.

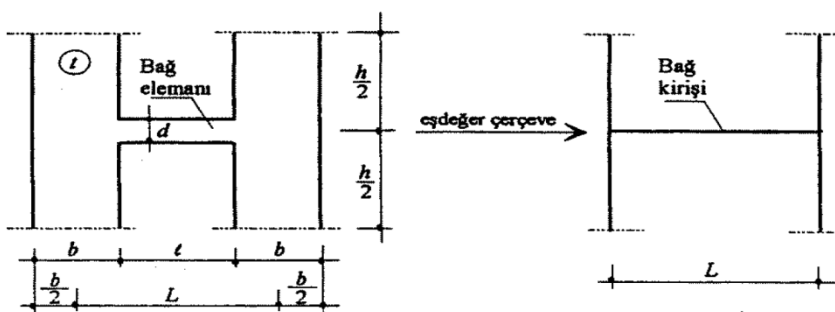
Sonlu Elemanlar Yöntemi, fiziksel bir sistemin matematiksel olarak ifade edilmesidir. Düzensiz ve karmaşık geometriye, malzemeye ve yükleme özelliklerine sahip sistemlerin incelenmesine olanak sağlar.

Eşdeğer Çerçeve Yönteminin ana fikri ise, duvarların katlar arasında kalan parçalarını ve duvarları bağlayan kırışları çubuk eleman ve sonsuz rijit olarak modellermektir.

Bu iki yöntem arasındaki farklar şunlardır:

Boşlukların her katta düzenli olduğu durumlarda eşdeğer çerçeveye yönetiminin kullanılması tavsiye edilirken, boşlukların düzensiz olduğu durumlarda sonlu elemanlar yönteminin kullanılması önerilir.

Sonlu elemanlar yöntemi analiz süresi ve sonuçların değerlendirilmesi uzun sürer. Eşdeğer çerçeveye yöntemi ise oldukça pratiktir. Ancak bu yöntemde en önemli husus bağ elamanlarının çubuk olarak eşdeğerin yeterli doğrulukta tahmin edilebilmesidir. Genel olarak d , b , h , l , L , t geometrik büyüklüklerinin (Şekil 2.5) yanında malzeme davranış parametrelerinin de (E (elastisite modülü), G (kayma modülü) ve μ (poisson oranı)) dikkate alınması gereklidir. (Doran ve Polat, 1999)



Şekil 2.5 : Boşluklu perde ve eşdeğer çerçeveye (Doran, B., Polat, Z., 1998).

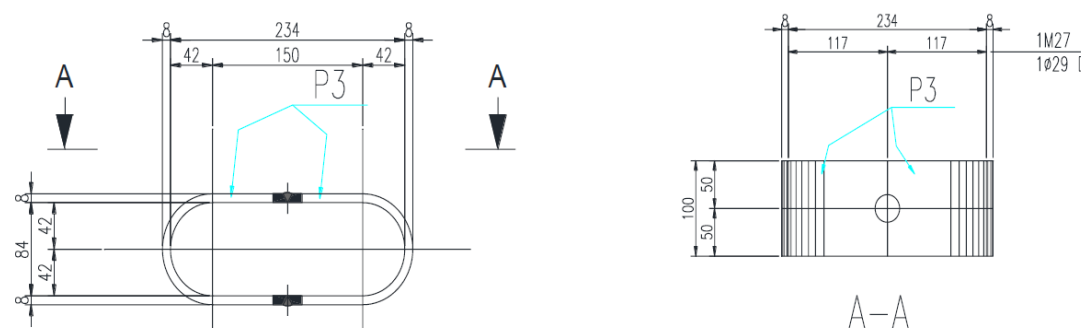
3. SÖNÜMLEYİCİLER

Bu bölümde, deneylerde ve analizde kullanılan sönümleyicilerin mühendislik özellikleri tanımlanmış olup bu bağlamda İstanbul Teknik Üniversitesi Yapı ve Deprem Mühendisliği Labaratuvarında gerçekleştirilen deneyler ve sonuçları irdelenmiştir. Bu deneylerden çıkan sonuçlar bu tezin konusuna ilham vermiştir.

3.1. Çelik Yastıkların Kullanı Alanları ve Geometrisi

Enerji sönümlerme, yapıları depreme karşı korumada çok önemli bir rol oynar. Bu sebeple son yıllarda bir çok enerji sönümlerme cihazları geliştirildi ve bunlar çeşitli yapılara uygulandı (Özkaynak, 2018). Bunların başında prefabrik yapılara uygulanan "çelik yastık" adıyla bilinen 3, 5 ve 8 mm kalınlıklarında olan sönümleyicilerdir. Söz konusu çelik yastıklar, üretiminde yüksek teknoloji gerektirmeyen, prefabrik elemanlara kolayca birleştirilebilen ve deprem sonrasında değiştirilebilen sönümleyicilerdir.

Aşağıdaki şekilde örnek bir sönümleyicinin boyutları ve A-A kesiti verilmiştir.



Şekil 3.1 : 8 mm kalınlığındaki çelik yastığın üstten ve önden görünüşü
(Ozkaynak et al., 2015).

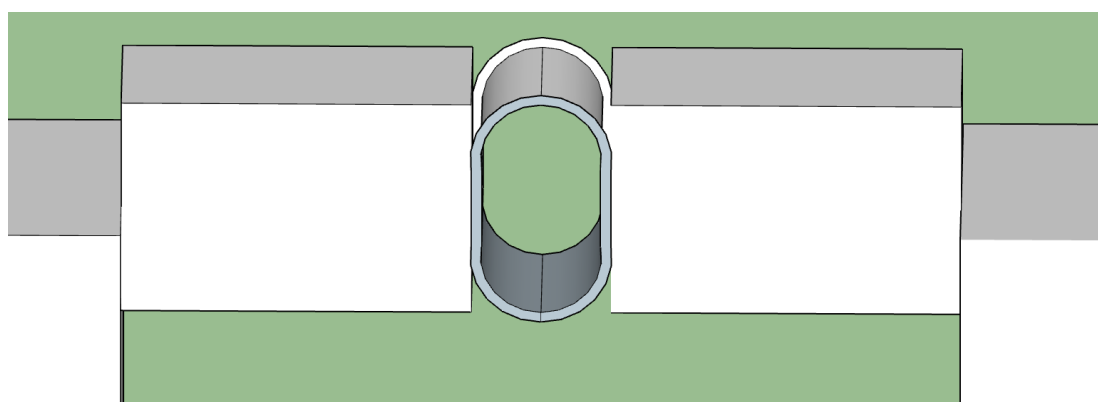
3.2. Çelik Yastıklarla Yapılan Deneyler

Deneylelerde kullanılan çelik yastıklar iki ana gruba ayrılmıştır.

Birinci grup yumuşak çelikten oluşan 3 farklı geometride (3 mm, 5mm ve 8 mm) çelik yastıklardır. Her bir geometri için eksenel kuvvet ve kesme deneyleri yapılarak toplam 6 deney sonucu elde edilmiştir. İkinci grup ise paslanmaz çelikten oluşan, tek geometriye sahip (8 mm) ancak çelik yastıkların kaynaklanma noktası 3 farklı yerde olan (üstte, ortada ve merkezde) çelik yastıklardan oluşan 3 farklı deney sonucu elde edilmiştir (Özkaynak ve diğ, 2014).



Şekil 3.2 : Eksenel (solda) ve kesme (sağda) deneylerinin genel görünüsü
(Ozkaynak et al., 2015).

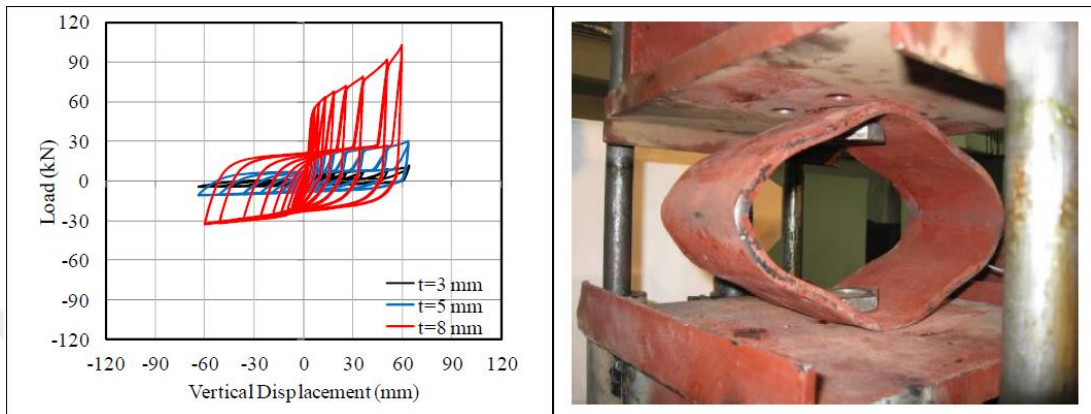


Şekil 3.3 : Çelik yastığın modeldeki 3 boyutlu görünüsü.

3.3.Deney Sonuçlarının Grafikle Gösterimi ve Yorumlar

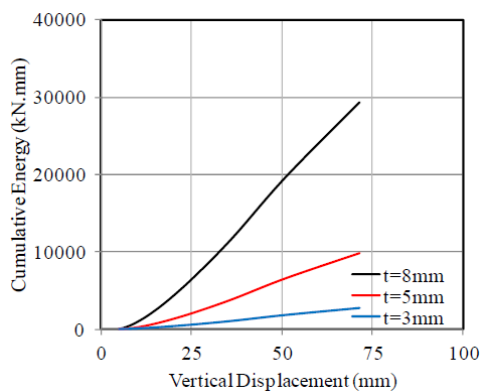
Bu bölümdeki grafikler yukarıda belirtilen makaleden alınmış olup deney sonuçları yorumlanmıştır.

3.3.1. Yumuşak çelikte eksenel yükleme deneyi sonuçları



Şekil 3.4 : 3 farklı et kalınlığındaki çelik yastıklarda yapılan eksenel yükleme deneyi (Ozkaynak et al., 2015).

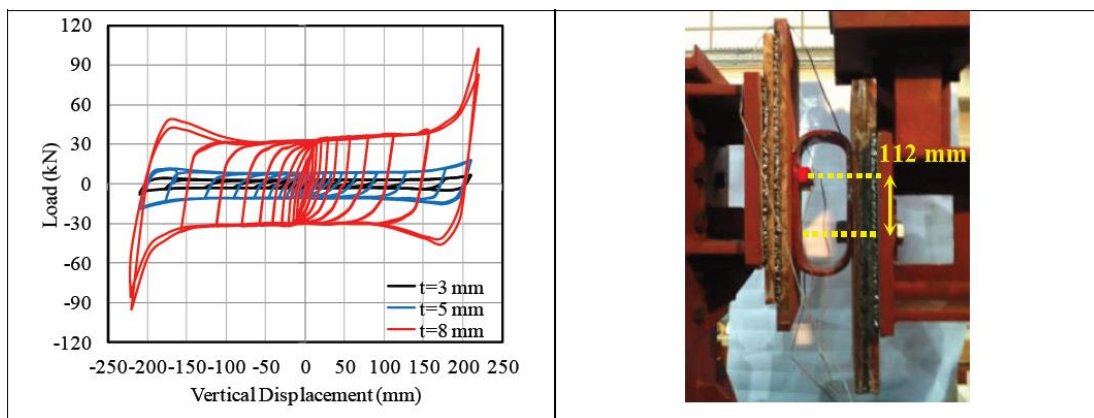
Yukarıdaki şekilde soldaki grafik bize kuvvet-yerdeğiştirme ilişkisini gösterirken, sağdaki fotoğraf deformasyona uğramış çelik yastığı göstermektedir. 3, 5 ve 8 mm'lik et kalınlıkları için sırasıyla 10, 30 ve 100 kN basınç dayanımı grafikten okunmaktadır.



Şekil 3.5 : Yumuşak çeliğin eksenel yükleme altındaki birikmiş gecikmeli enerji sökümleme kapasitesi (Ozkaynak et al., 2015).

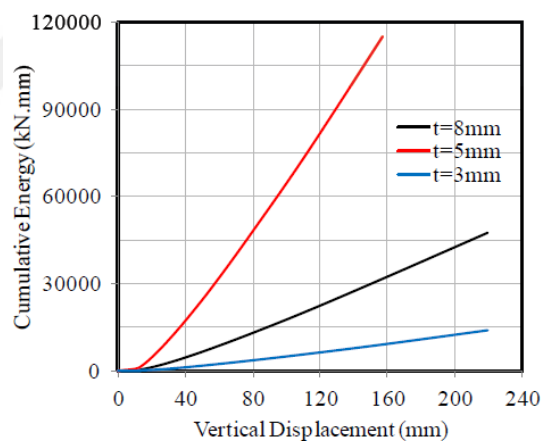
Şekil 3.5'te ise et kalınlıklarına göre toplam sökümlenen enerji değerleri okunmaktadır. 50 mm'lik bir deplasmanda et kalınlığı 8 mm olan bir çelik yastık, et kalınlığı 5 mm olan çelik yastıktan 4 kat daha fazla enerji sökümeye bilmektedir.

3.3.2. Yumuşak çelikte kesme deneyi sonuçları



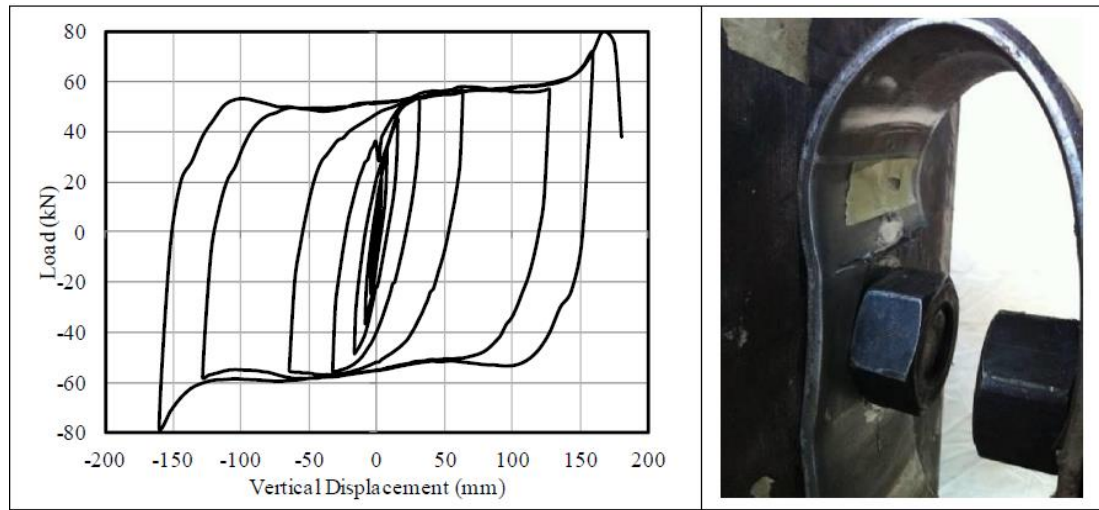
Şekil 3.6 : Çelik yastıkların et kalınlıklarına göre kesme deneyinde karşılaştırılması (Ozkaynak et al., 2015).

Yukarıdaki şekilde soldaki grafik bize yine kuvvet-yer değiştirmeye ilişkisini gösterirken sağ taraftaki fotoğraf ise kesme etkisinde deformasyona uğramış çelik yastığı göstermektedir.



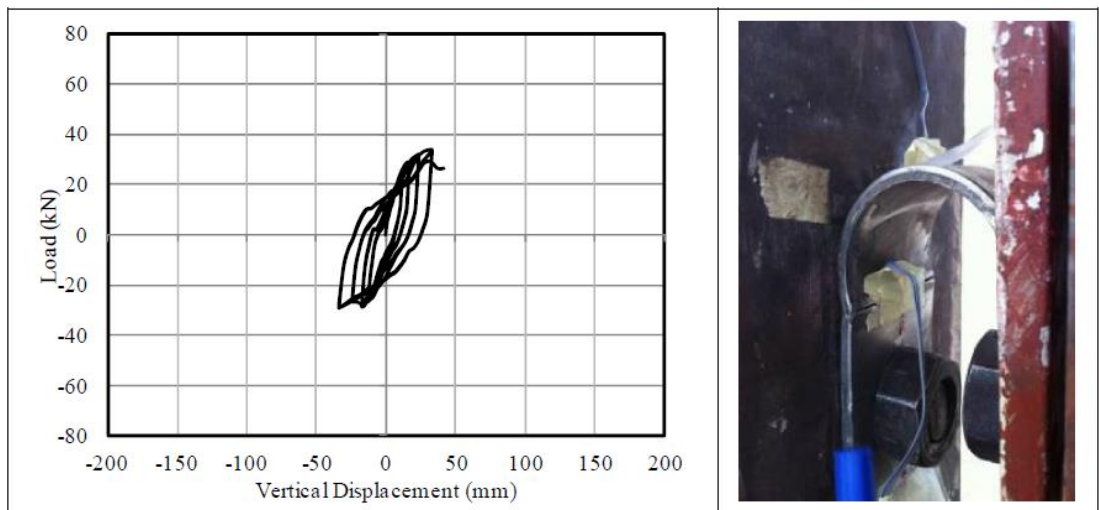
Şekil 3.7 : Yumuşak çeliğin kesme etkisi altında birikmiş gecikmeli enerji sökümlüleme kapasitesi (Ozkaynak et al., 2015).

3.3.3. Paslanmaz çelikte kesme deneyi sonuçları



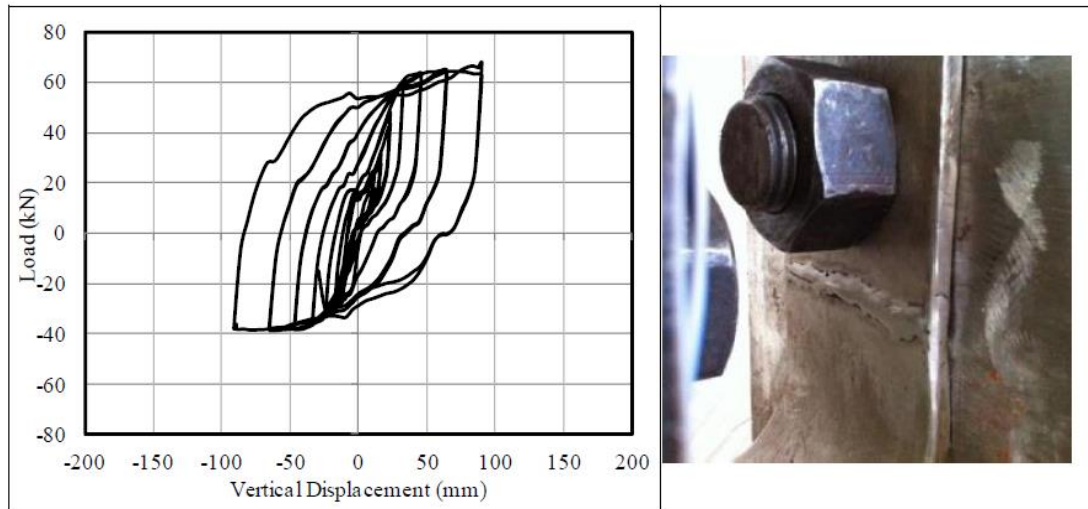
Şekil 3.8 : Merkezden kaynaklanmış paslanmaz çelikli çelik yastığın kuvvet-yer değiştirme ilişkisi (Ozkaynak et al., 2015).

Yukarıdaki şekilde merkezden kaynaklanmış çelik yastığın kuvvet-yer değiştirme döngüsü ve çelik yastığın deformasyonu gösterilmiştir. Grafikteki çizgilerin kapladığı alan ne kadar fazlaysa depremde o kadar fazla enerji sönümleneceği anlamına gelmektedir ve bu grafik bize göstermektedir ki merkezden kaynaklanan çelik yastıklar sünek davranışa sahip olmakla birlikte dayanımda azalma göstermemektedir.



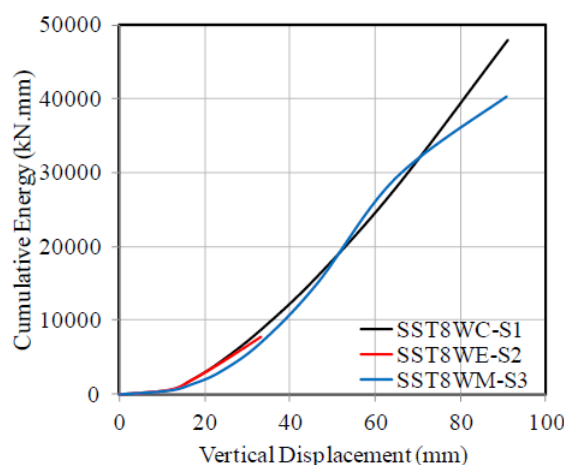
Şekil 3.9 : Üstten kaynaklanmış paslanmaz çelikli çelik yastığın kuvvet-yer değiştirme ilişkisi (Ozkaynak et al., 2015).

Şekil 3.9'da üstten kaynaklanmış çelik yastığın maksimum dayanımı grafikten 34 kN olarak okunmaktadır. Oldukça küçük bir alanı kaplayan grafik bize bu davranışın sünek olmadığını gösteriyor.



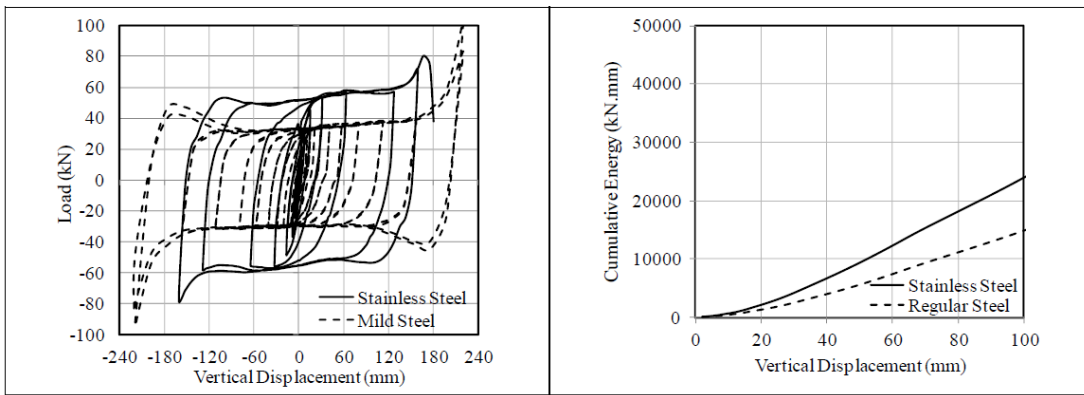
Şekil 3.10 : Ortadan kaynaklanmış paslanmaz çelikli çelik yastığın kuvvet-yer değiştirme ilişkisi (Ozkaynak et al., 2015).

Yukarıdaki şekilde ortadan kaynaklanmış çelik yastığın maksimum dayanımı 67-68 kN civarında okunmakta ve kaynak noktasındaki ilk çatlak 46,5 mm deplasmanda görülmektedir. Ayrıca kaynak noktaları düzensiz olduğu için çekme ve basınç bölgeleri asimetrik bir biçimde dağılmıştır. Sonuç olarak istenilen sünek davranış sergilenmemiştir.



Şekil 3.11 : Farklı noktalarda kaynaklanmış paslanmaz çeliklerin birikmiş gecikmeli enerji sökümlüme kapasiteleri (Ozkaynak et al., 2015).

Şekil 3.11'de görüldüğü üzere kaynaklanma noktasına göre en fazla enerji sönümleneyen çelik yastıklar merkezden kaynaklanan çelik yastıklardır.



Şekil 3.12 : Yumuşak çeliğin ve paslanmaz çeliğin davranışlarının karşılaştırılması (Ozkaynak et al., 2015).

Şekil 3.12'de sol taraftaki grafikte yumuşak çelik ve paslanmaz çelik arasındaki kuvvet-yer değiştirme ilişkisi verilirken sağ taraftaki grafikte ise enerji sönümleme konusunda bir kıyas yapılmıştır.

3.3.4. Deneylerden çıkarılan sonuçlar

- Yumuşak çelik, paslanmaz çelikten daha sünek davranışmıştır.
- Çelik yastığın et kalınlığı arttıkça sönümlenen enerji de buna bağlı olarak doğru orantılı bir şekilde artmaktadır.
- Paslanmaz çelikteki kaynak noktası, çelik yastığın davranışını ciddi bir biçimde etkilemektedir. Merkezde kaynaklanan çelik yastık enerji sönümlemesinde en iyi sonucu vermektedir.
- Yumuşak çelik, paslanmaz çeliğe göre daha az dayanım ve daha az enerji sönümlemesine rağmen, paslanmaz çelikten daha ekonomiktir.

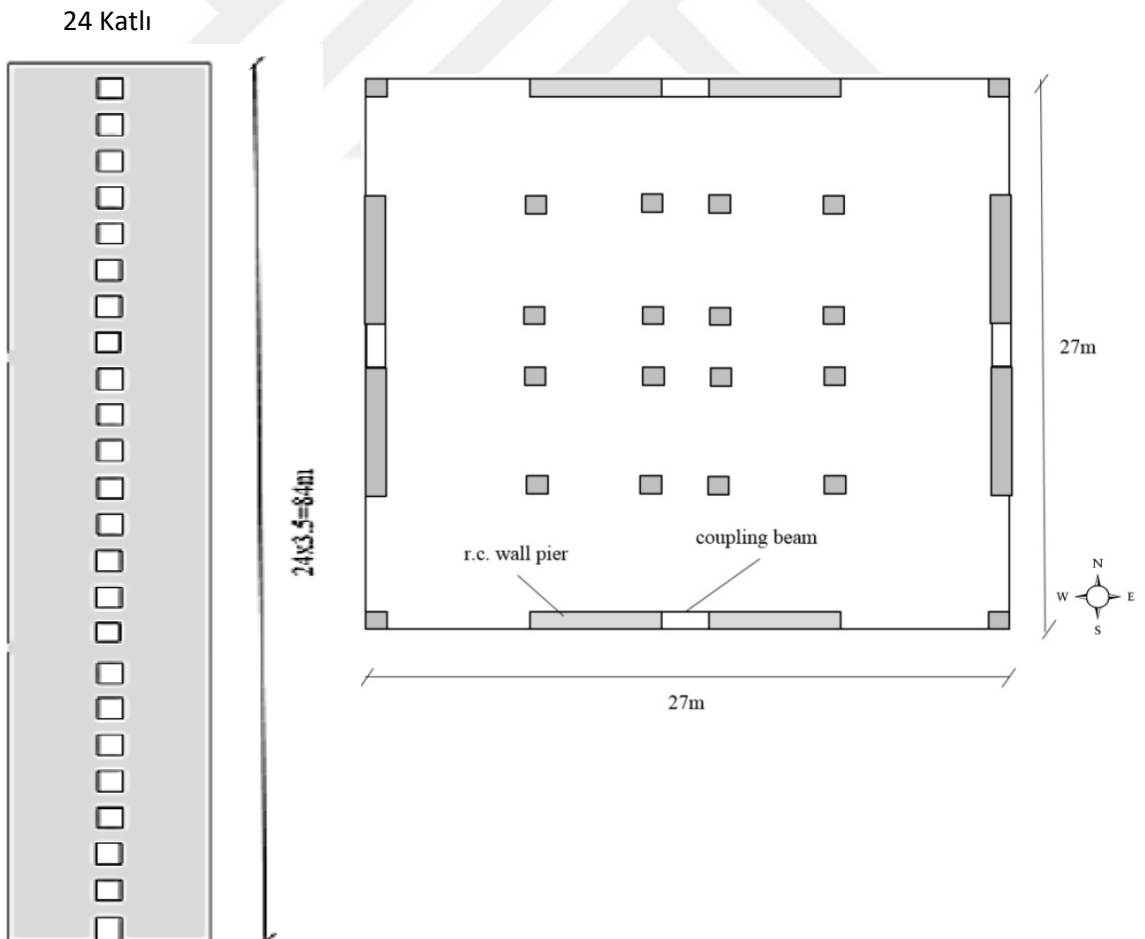


4. SAYISAL İNCELEMELER

Tezin bu bölümünde, iki farklı model kurulmuş ve 20 farklı deprem her bir modele etkilerek zaman tanım alanında doğrusal olmayan analizleri yapılmıştır. Ayrıca modellerde kullanılan malzemeler, kesitler, hesaplanıp modele sonradan katılan ölü ve hareketli yükler ve modeldeki püf noktaları anlatılmış ve sonuçlar karşılaştırılmıştır.

4.1. Modellerde Kullanılacak Bağ Kıraklı Perde ve Kat Planı

Modellenecek olan bağ kıraklı perde, daha önce yapılmış bir doktora tezinden seçilmiştir. Aşağıdaki görseller de bahsi geçen doktora tezinden alınmıştır.



Şekil 4.1 : 24 katlı bağ kıraklı perdenin önden görünüşü ve kat planı (Toprak, A. E., 2015).

4.2. Bağ Kırıslı Perdenin Kesiti ve Özellikleri

Aşağıdaki tabloda perdenin ve bağ kırışının kesitleri gösterilmiştir. Bu tablo yine yukarıda bahsi geçen tezden alınmıştır.

Çizelge 4.1 : 24 katlı sistemlerin geometrik özelliklerini.

| | 24-BO-D | 24-BO-N | 24-BO-Y |
|---------------------------|-------------|-------------|-------------|
| Kat Sayısı | 24 | 24 | 24 |
| Perde Duvar Uzunluğu(m) | 7 | 7 | 7 |
| Perde Duvar Kalınlığı (m) | 0,8 | 0,8 | 0,8 |
| Kiriş Genişliği (m) | 0,25 | 0,4 | 0,4 |
| Kiriş Derinliği (m) | 0,5 | 0,65 | 1 |
| Kiriş Uzunluğu (m) | 2 | 2 | 2 |
| Kiriş Katılım Oranı | 4 | 3,08 | 2 |
| Bağ Oranı | 0,35 | 0,55 | 0,69 |

Bu tezde iki modelde de bağ kiriş katkı oranı düşük olan perde modellendiği için bizi ilgilendiren veriler soldaki sütunda bulunmaktadır. Orta sütun bağ kiriş katkı oranı normal, sağ sütun ise bağ kiriş katkı oranı yüksek perdenin kesitlerini göstermektedir. Modellerde çerçeveye elemanlar ihmali edilip sadece boşluklu perdeler 2 boyutlu (x-z) olarak tasarlanmıştır. Bu şekilde basitleştirme yapmamızın sebebi analizin çok uzun sürmesini engellemek ve gerçeğe daha yakın sonuçlar elde etmek içindir. Bunun teknik açıklamasını ise şöyle yapabiliriz. Yüksek katlı yapılarda kolonların deprem sırasında yatay yük taşıymaya fazla bir katkısı olmamaktadır. Toplam yatay yükün %80-90 civarı perdelerle taşınır. Literatürde de bu tür yüksek yapılardaki arada bulunan kolonlara "gravity column" denir. Bunun sebebi de bu kolonların tasarımında daha çok düşey yükü taşımaları için oraya yerleştirilmiş olmalarıdır. Bu yüzden de modelde basitlik sağlama açısından sadece birbirlerine bağ kırışı ile bağlı perdeleri modellemek yanlış bir yaklaşım olmayacağıdır.

4.3. Seismostruct Programında Modellerin Oluşturulması

Programı açtığımızda ilk yapmamız gereken şey ayarlar kısmından yerçekimi - kütle sekmesine girmek ve burada modeldeki kütlelerin ve uygulanacak yüklerin programda nasıl tanımlanacağını belirlemektir.

Kütle, çerçeveyi oluşturan elamanların kendi ağırlıkları ve asılı yüklerden alınmıştır (From Frame Elements and Mass Elements). Yükler ise, mevcut kütleyi düşey yüze çevirmeyerek ayrı bir şekilde modele dahil edilmiştir. (Loads are not derived from Masses)

Yerçekimini ifade eden g değeri -z yönünde $9,81 \text{ m/s}^2$ olarak alınmıştır.

4.3.1. Malzemeler sekmesi

Bu sekmede, modelde kullanılacak olan beton (C-40), demir (S-420) ve bağ kırışı için elastik bir malzeme tanımlanmıştır. Bu malzemelerin özellikleri aşağıda verilmiştir.

4.3.1.1. Betonun özelliklerı

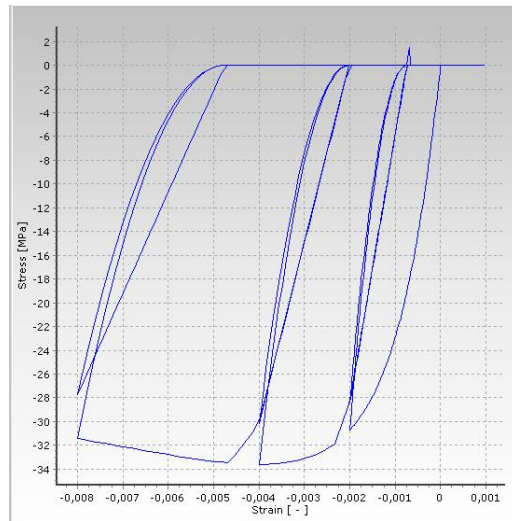
Ortalama basınç dayanımı = 40 MPa

Ortalama çekme dayanımı = 2.2 MPa

$E_c = 34000 \text{ MPa}$

En büyük gerilmedeki birim şekil değiştirme = 0,002 m/m

Özağırlık = 24 kN/m^3



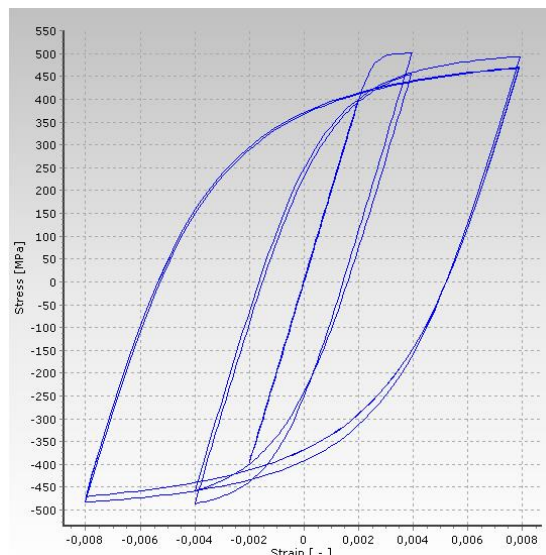
Şekil 4.2 : C-40 betonun gerilme-birim şekil değiştirme grafiği.

4.3.1.2. Donatı çeliğinin özelliklerini

$$E_s = 20000 \text{ MPa} = 20000000 \text{ kPa}$$

$$f_y = 420 \text{ MPa} = 420000 \text{ kPa}$$

$$\text{Özağırlık} = 78 \text{ kN/m}^3$$

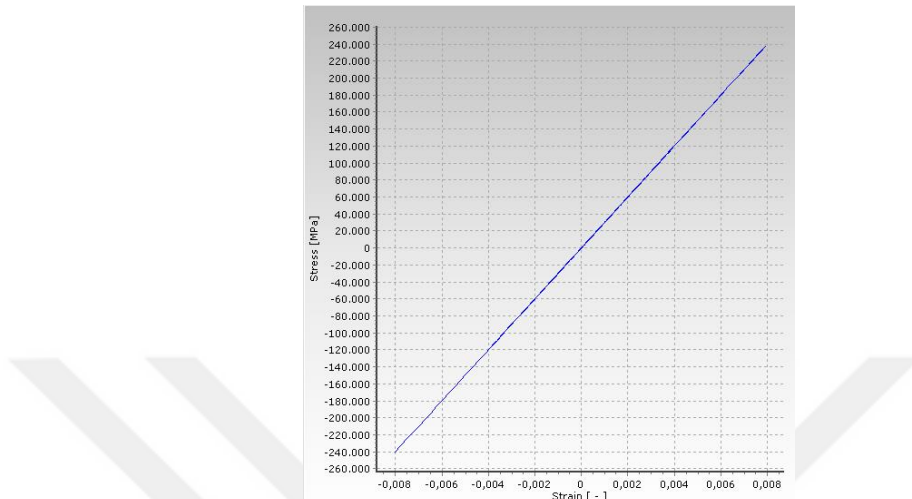


Şekil 4.3 : S-420 donatı çeliğinin gerilme-birim şekil değiştirme grafiği.

4.3.1.3. Elastik fiktif çubuğun özellikleri

Elastisite Modülü = 3000000000 kPa

Özağırlık = 0 kN/m³



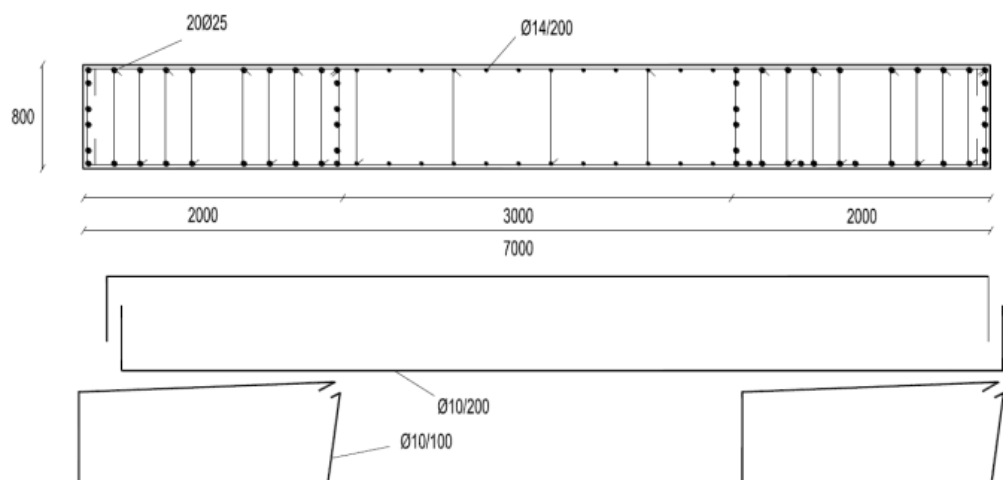
Şekil 4.4 : Fiktif çubuğun gerilme-şekil değiştirmeye grafiği.

4.3.2. Kesitler sekmesi

Bu sekmede perde duvar ve bağ kırışı tanımlanmıştır.

4.3.2.1. Perde kesiti

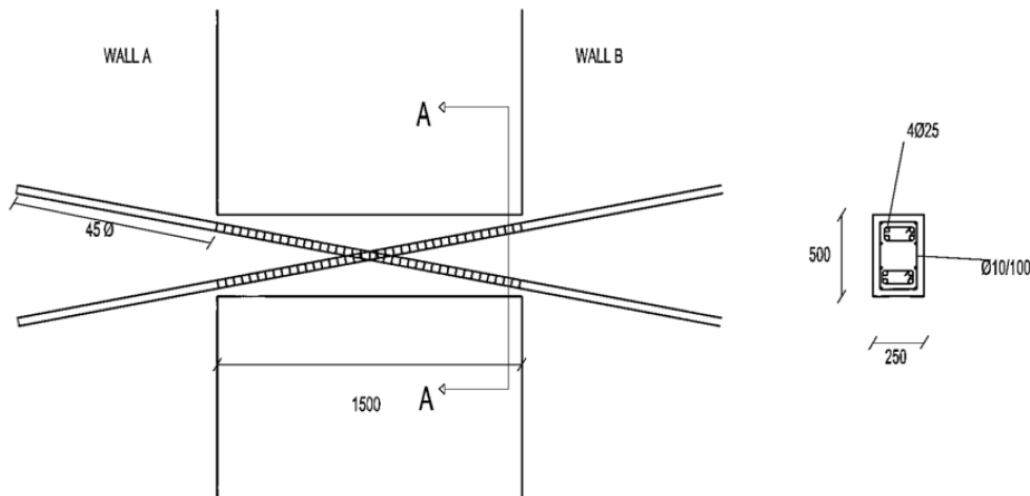
Perdenin uzunluğu 7 m, genişliği 80 cm'dir. Perde kesiti aşağıda verilmiştir. Perdeler fiber olarak modellendiği için çatlamış kesit özelliği vermeye gerek kalmamıştır.



Şekil 4.5 : Perde kesiti (Toprak, A. E., 2015.).

4.3.2.2. Bağ kırışı (fiktif eleman) kesiti

Bağ kırışı genişliği 0,25 m, derinliği 0,5 m'dir. Fiktif bir eleman olduğu için ağırlıksız ve donatsızdır. Yapı elemanlarını birbirine bağlamak için kullanılır. Modelde bağ kırışları mafsal olarak modellendiği için çatlamış kesit ($0,3EI$) özelliği verilmiştir.



Şekil 4.6 : Bağ kırışı kesiti (Toprak, A. E., 2015).

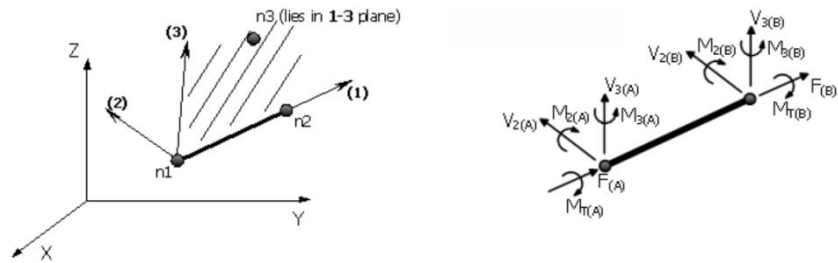
4.3.3. Eleman sınıfları sekmesi

Bu sekmede perde, fiktif eleman, çelik yastık ve deprem hesabından gelen sismik kütle tanımlanmıştır.

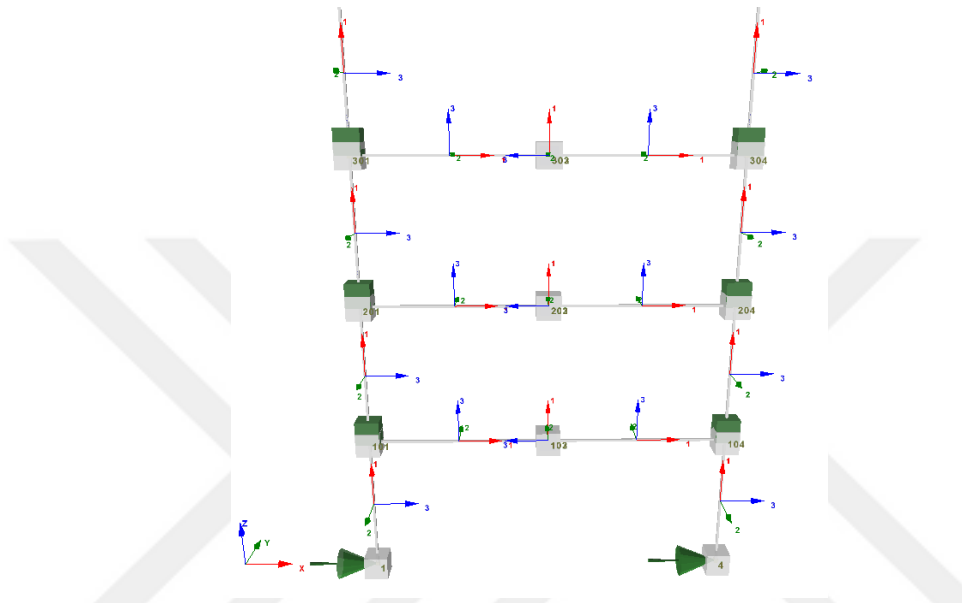
4.3.3.1. Kolon – kiriş eleman sınıfları

Kolon - kiriş eleman sınıfları kullanılarak perde ve fiktif eleman tanımlanmıştır.

- ✓ Perde duvar, elastik olmayan çerçeve eleman olarak tanımlanmıştır.
(infrmFB)
- ✓ Fiktif eleman, elastik çerçeve eleman olarak tanımlanmıştır. (elfrm)



Şekil 4.7 : infrmFB elemanları için lokal eksenler ve çıktı gösterimi.



Şekil 4.8 : Genel ve lokal eksen takımlarının çelik yastıklı modeldeki görüntüsü.

4.3.3.2. Bağlantı eleman sınıfları

Bağlantı elemanı sınıfları kullanılarak mafsal ve çelik yastık tanımlanmıştır.

Mafsalın tanımlanması

Bağlantı eleman sınıflarında mafsalı tanımlamak için programın eğri tipleri kısmında bizden istediği F_1 , F_2 , F_3 ve M_1 , M_2 , M_3 değerlerini girmemiz gerekmektedir. Bu değerler mafsalda hangi doğrultuda hareket beklenip beklenmediğine bağlı olarak değişmektedir.

| Curve Parameters |
|--|
| F1 Parameter(s) |
| 100000,00 |
| F2 Parameter(s) |
| 100000,00 |
| F3 Parameter(s) |
| 100000,00 |
| M1 Parameter(s) |
| 0,01 |
| M2 Parameter(s) |
| 53125,00 0,0077 7088,40 0,0577 1816,80 |
| M3 Parameter(s) |
| 0,01 |

Şekil 4.9 : Mafsal tanımlaması için kullanılan eğri parametreleri.

F1(lin_sym), F2(lin_sym), F3(lin_sym): F1, F2 ve F3 doğrusal hareketleri aynı özelliklere sahiptir. Sayısal olarak rıjiliklerinin çok büyük (100000 kN/m) verilmelerinin sebebi mafsalların bütün yönlerde doğrusal hareketi engelleyici olmasındandır.

M1(lin_sym), M3(lin_sym): Tanımlanan mafsalların 1 ve 3 doğrultusunda dönmeleri serbest olduğu için bu iki dönme hareketinin sayısal değeri çok küçük (0,01 kN/m) verilmiştir.

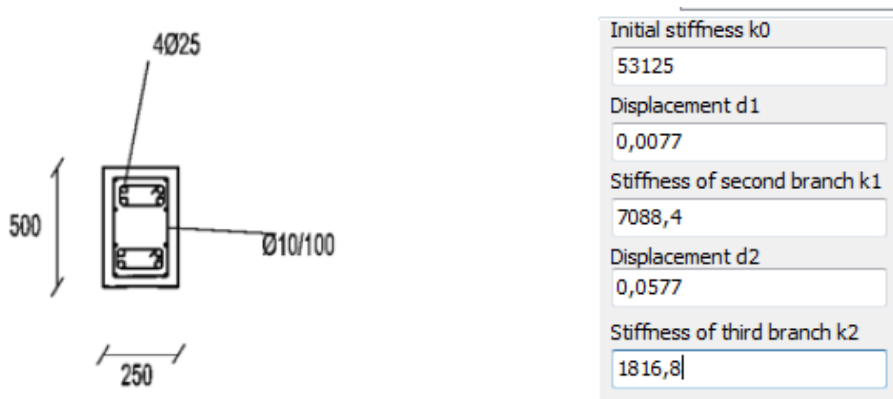
M2(trl_sym): Bu dönme hareketinde başlangıç rıjittiği (k_0), ikinci rıjilik (k_1), üçüncü rıjilik (k_2) ile ilk rıjilik kısmının deplasman değeri (d_1) ve ikinci rıjilik kısmının deplasman değeri (d_2) hesaplanmıştır. Bu değerleri hesaplayıp programın işleyebilmek için öncelikle kırışın kesme ve moment kapasitesinin hesaplanması gerekmektedir. Bu hesaplamlar "Toprak, A. E. (2015). The Effect of Coupling Ratio on Nonlinear Behaviour of Coupled Shear Walls" isimli doktora tezinde hesaplandığı için burada sadece sonuçlara hangi formüllerden ulaşıldığı anlatılmıştır.

Kirişteki kesme kuvveti için ACI318 (2011)'de $V_n = 2A_{vd} f_y \sin\alpha \leq 0,83A_{cw}\sqrt{f_c}$ [MPa] formülü önerilmiştir. Ancak bahsi geçen tezde aşağıdaki üç formül önerilmiştir ve bu formüllere göre kesme hesabı yapılmıştır.

$$T_y = A_{vd} * f_y$$

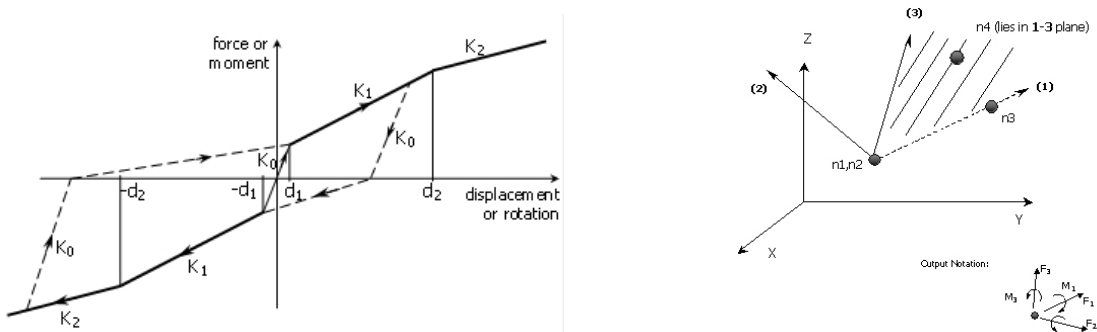
$$C_y = A_{vd} * f_y + A_c * f_{cc}$$

$$V_n = T_y \sin\alpha + C_y \sin\alpha$$



Şekil 4.10 : Kiriş kesiti ve programda kullanılan değerler.

Bu formüller ve yukarıdaki kiriş kesiti kullanılarak $V_n = 371$ kN bulunmuştur. Kapasite tasarımlı kuralı gereği moment hesaplanırken bu değer 1,1 ile çarpılırak $M_n = 409$ kNm bulunmuştur. Kirişin çatlamamış eğilme rıjitliği aynı zamanda modeldeki k_0 'a karşılık gelmektedir ve aşağıdaki gibi (EI/L) hesaplanmıştır. Bulunan moment değeri bu rıjitleğe bölündüğünde akma dayanımındaki dönme (d_1) radyan cinsinden elde edilir.



Şekil 4.11 : Bağlantı elemanın programdaki moment - dönme grafiği ve lokal eksenlerin çıktı gösterimi.

$$k_0 = EI/L = 53125 \text{ kNm}$$

$$d_1 = 409 / 53125 = 0,0077 \text{ radyan}$$

Bundan sonraki dönme değerleri d_1 'in üzerine ekleme yapılarak bulunmaktadır. Bu ekleme işlemi ASCE dökümanından gelmektedir. Buna göre akma dönmesi (d_1) bulunduktan sonra buna 0,05 radyan eklenince en yüksek dönme değerine ulaşılır.

Bu dönme kapasitesinden sonra ise kırışın hasar aldığı ve kapasitesinin %70'ini kaybettiği varsayılmaktadır.

$$d_2 = d_1 + 0,05 = 0,0077 + 0,05 = 0,0577 \text{ radyan}$$

$$d_3 = d_1 + 0,06 = 0,0077 + 0,06 = 0,0677 \text{ radyan}$$

$$d_4 = d_1 + 0,07 = 0,0077 + 0,07 = 0,0777 \text{ radyan}$$

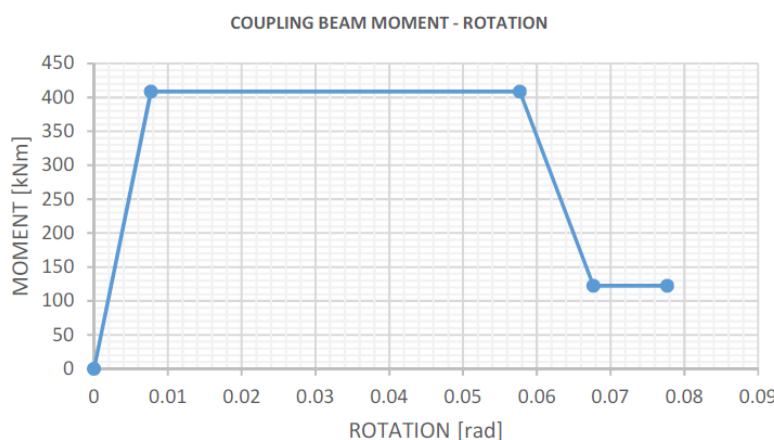
$$k_1 = 409 / 0,0577 = 7088,4 \text{ kNm}$$

$$k_2 = 123 / 0,0677 = 1816,8 \text{ kNm}$$

Dönme ve moment değerleri bir tablo haline getirilirse sonuç olarak aşağıdaki tablo ve grafik elde edilir.

Çizelge 4.2 : Çapraz donatılı 24-BO-D kırışının kapasite eğrisi.

| Dönme(radyan) | Moment(kNm) |
|---------------|-------------|
| 0 | 0 |
| 0,0077 | 409 |
| 0,0577 | 409 |
| 0,0677 | 123 |
| 0,0777 | 123 |



Şekil 4.12 : Yapılan hesaplar sonucunda oluşan moment-dönme grafiği.

Çelik yastığın tanımlanması

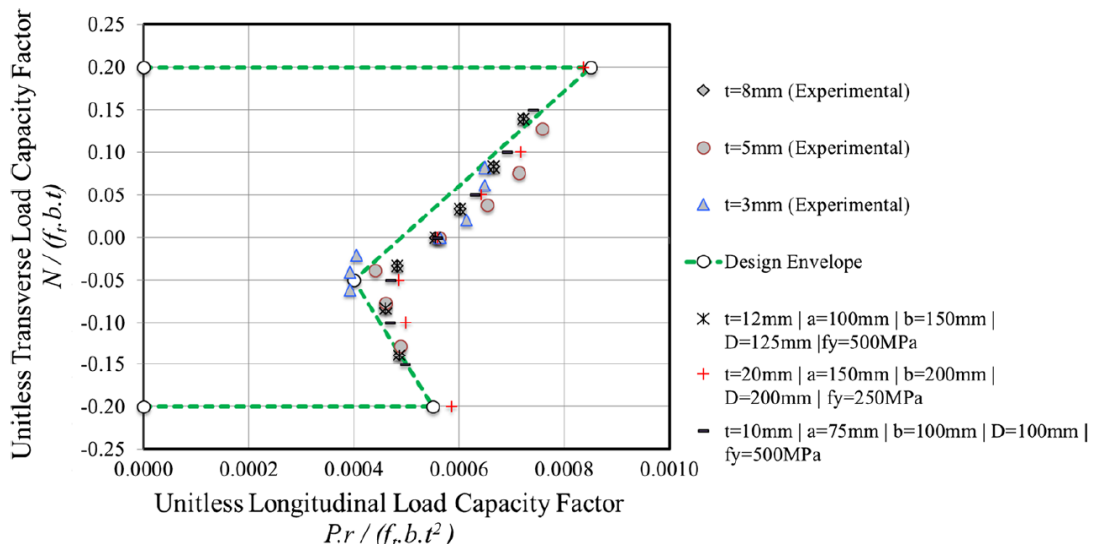
Bağlantı eleman sınıflarında çelik yastığı tanımlamak için programın eğri tipleri kısmında bizden istediği F1, F2, F3 ve M1, M2, M3 değerlerini girmemiz gerekmektedir. Bu değerler çelik yastığın fiziksel özelliklerine ve hangi doğrultuda hareket beklenip beklenmediğine bağlı olarak değişmektedir.

| |
|----------------------|
| F1 Parameter(s) |
| 11479,17 418,77 0,00 |
| F2 Parameter(s) |
| 0,01 |
| F3 Parameter(s) |
| 0,01 |
| M1 Parameter(s) |
| 0,01 |
| M2 Parameter(s) |
| 0,01 |
| M3 Parameter(s) |
| 0,01 |

Şekil 4.13 : Çelik yastığın tanımlanması için kullanılan eğri parametreleri.

F1(bl_sym): Çelik yastığın kesme hareketidir. Başlangıç rıjitliği(k_0), akma dayanımı (F_y) ve akma sonrası pekleşme oranının hesaplanması programa girilmesi gerekmektedir. Özkaraynak (2018)'e göre analizlerde akma sonrası pekleşme 0 alınmalıdır. Çünkü akma dayanımında ve en yüksek dönmeye her ikisinin kapasitesi aynı olacaktır.

Programda istenen değerlerin girilebilmesi için çelik yastığın tasarlanması ve fiziksel özelliklerinin belirlenmesi gereklidir.



Şekil 4.14 : Çelik yastık için önerilen genel etkileşim eğrisi (Yüksel et al, 2018).

Öncelikle bir önceki sayfada bulunan grafik yardımıyla çelik yastığın kesme kapasitesi hesaplanmıştır. $N = 0$ için x eksenindeki $P.r / (f_r.b.t^2) = 0,00048$ bulunur. $N = 0$ alınmasının sebebi bağ kırışlarında iki taraftaki perde aynı şekilde hareket edecekinden, bağ kırışı üzerinde normal kuvvet oluşmaz veya oluşursa da ihmali edilebilcek düzeyde olmasındandır.

Bir sonraki adımda formülde de kullanacağımız r , b , t ve h tasarım değerleri seçilmiş ve buradan P çekilerek çelik yastığın kesme kapasitesi hesaplanmıştır.

$$r = 205 \text{ mm}$$

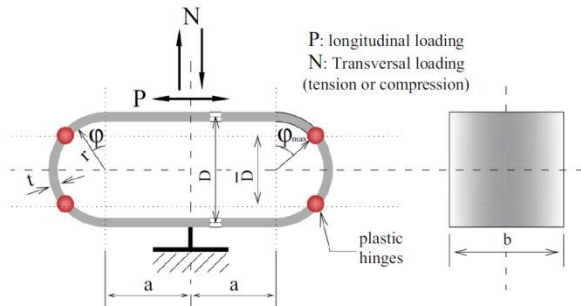
$$f_t = 248,4 \text{ MPa}$$

$$b = 400 \text{ mm}$$

$$t = 30 \text{ mm}$$

$$h = 650 \text{ mm}$$

$$a = (h - (2 * r)) / 2 = 120 \text{ mm}$$



Şekil 4.15 : Çelik Yastığın üstten ve yandan görünüşü (Yüksel et al, 2018).

Buna göre $P.r / (f_t.b.t^2) = 0,00048$ kullanılarak $P_{\text{kapasite}} = 209,38 \text{ kN}$ olarak hesaplanır.

$$P_{\text{gerekken}} = 409 \text{ kNm} / 2 \text{ m} = 204,5 \text{ kN}$$

$P_{\text{kapasite}} > P_{\text{gerekken}}$ olduğu için tasarım yeterlidir.

Çelik yastığın akma deplasmanının hesaplanması için yine bahsi geçen makaledeki bir formül kullanılmıştır.

$$\delta_h = \frac{Pr^2}{EI} \left(\frac{5a^4 + 9\pi a^3 r + (36 + 1.5\pi^2)a^2 r^2 + 12\pi a r^3 + (2.25\pi^2 - 12)r^4}{4a^3 + 6\pi a^2 r + 24a r^2 + 3\pi r^3} \right) \quad (8)$$

$$E = 200000 \text{ MPa}$$

$$I = bt^3/12 = 900000 \text{ mm}^4$$

Bulunan P değeri $209,38 \text{ kN} = 209383,02 \text{ N}$ idi. Bu değerler formüle konulduğu zaman akma deplasmanı (δ_h) = 18,24 mm olarak bulunur. Akma dayanımı ise kesme kapasitesiyle kiriş uzunluğun çarpılmasıyla elde edilir.

$$209,38 \text{ kN} * 2 \text{ m} = 418,77 \text{ kNm}$$

Programın bizden istediği başlangıç rıjitliği,

$$k_0 = P_{\text{kapasite}}/\delta_h = 209,38 \text{ kN} / 0,01824 \text{ m}$$

$$k_0 = 11479,17 \text{ kN/m}$$

$$\delta_u = r = 205 \text{ mm}$$

$$\delta_h / 2000 = 18,24 \text{ mm} / 2000 = 0,00912 \text{ radyan}$$

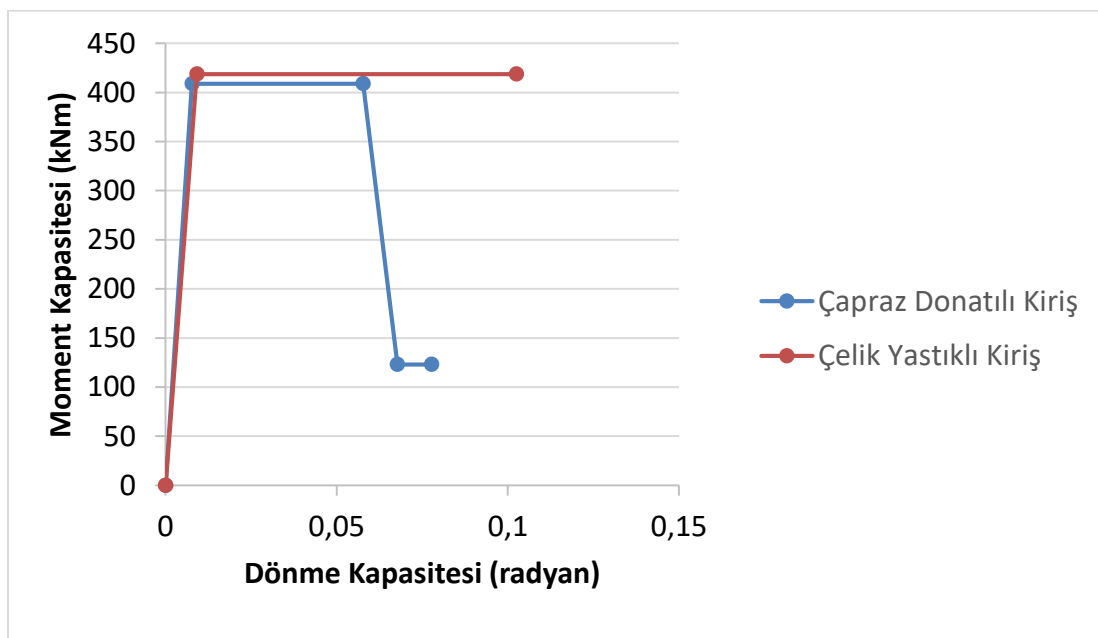
$$\delta_u / 2000 = 205 \text{ mm} / 2000 = 0,1025 \text{ radyan}$$

| |
|------------------------------|
| Initial Stiffness K0 |
| 11479,17 |
| Yield Force Fy |
| 418,77 |
| Post-Yield Hardening Ratio r |
| 0 |

Şekil 4.16 : Programda
kullanılan değerler.

Çizelge 4.3 : Çelik yastıklı kiriş kapasite dönme eğrisi.

| Dönme (radyan) | Moment (kNm) |
|----------------|--------------|
| 0 | 0 |
| 0,00912 | 418,77 |
| 0,1025 | 418,77 |



Şekil 4.17 : Çelik yastıklı ve çapraz donatılı kirişin moment-dönme grafiği.

F2(lin_sym): İki perdenin düzleme dik doğrultuda farklı deplasman yapmasıdır. Küçük değer (0,01 kN/m) vermemizin sebebi düzlem analiz yaptığımız için böyle bir şeyin gerçekleşmeyecek olmasındandır.

F3(lin_sym): İki perde arasında bağ kırışının uzama veya kısalmasını temsil eder. Kırışte donatı akınca kırış uzamaya çalışır ve duvarları yana doğru iter. Ancak modelde donatının boyu uzayınca düğüm noktalarının arası açılmadığı için geometri değişmemektedir. Modelleri kurarken kullandığımız program sonlu elemanlar yöntemi ile çalıştığı için kullandığımız model kırış uzamasını dikkate alacak özelliklere sahip değildir. Gerçeğe yakın sonuç elde etmek için 0,01 kN/m girilmiştir.

M1(lin_sym), M2(lin_sym), M3(lin_sym): M1, M2 ve M3 dönme hareketleri aynı özelliklere sahiptir. Sayısal olarak rıgitliklerinin çok küçük (0,01 kN/m) verilmelerinin sebebi çelik yastıkların dönme hareketlerinin serbest olmasındandır.

4.3.3.3. Kütle ve sönüüm eleman sınıfları

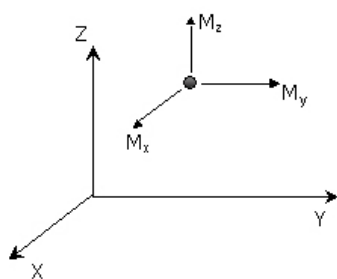
Kütle eleman sınıflarından lmass (lumped mass) kullanılarak deprem hesabından gelen perdenin sismik ağırlığı (ölü ve hareketli yükler) kütleye çevrilip bağ kırışlı perdenin ilgili noktalarına asılmıştır.

$$G = (27 * 27/2) * (5 + 1,5) = 2369,25 \text{ kN/kat}$$

$$Q = (27 * 27/2) * 3,5 = 1275,75 \text{ kN/kat}$$

$$m_{\text{sismik}} = (2369,25 / 9,81) + (0,3 * 1275,75 / 9,81) = 280,5 \text{ ton/kat} / 2 = 140,25 \text{ ton/kat}$$

(Her katta 2 perde parçası olduğu için aynı katta 2 farklı noktaya bu yük asılmıştır).



Şekil 4.18 : Genel (sistem) eksen takımındaki kütleler.

Yukarıdaki şekilde M_x düzlem içi hareketi, M_y düzleme dik doğrultuda hareketi, M_z ise rıgitliği yüksek olduğu için hareket beklenmeyen düşey doğrultudaki hareketi ifade etmektedir.

4.3.4. Düğümler sekmesi

Bu sekmede yapının geometrisini programda görsel olarak oluşturabilmek için düğüm noktaları programa tanıtılmıştır. Düğümler yapısal ve yapısal olmayan düğümler olmak üzere ikiye ayrılır. Modellerde yapısal olmayan düğüm noktaları, çelik yastıkların lokal eksenlerinin konumlandırılması için kullanılmaktadır.

4.3.5. Eleman bağlantıları sekmesi

Bu sekme, daha önce malzemeleriyle birlikte tanımlanmış olan elemanları düğüm noktalarıyla bağlamak için kullanıldı.

4.3.6. Mesnetler sekmesi

İki perde parçasının zemine bağlanan düğüm noktaları ankastre olarak mesnetlendi. Diğer yapısal düğüm noktalarında y yönünde düzleme dik doğrultuda mesnet hareketi engellendi.

4.3.7. Zaman tanım alanı eğrileri sekmesi

Bu sekmede zaman tanım alanında kullanılacak deprem kayıtları ve kayıtta belirtilen zaman tanım aralığı seçilerek analizin kaç adımda biteceği belirtilir.

4.3.8. Uygulanan yükler sekmesi

Bu sekmede, G+0,9Q yüklemesi kullanılmıştır. Bu şekilde en kötü senaryoya göre etkili kesme alanı kullanılarak perdelerin ağırlıkları hesaplanıp noktasal yük olarak ilgili noktalara etkililmiştir.

$$G = 21,5 * 2,75 * (5+1,5) = 384,31 \text{ kN / kat}$$

$$Q = 21,5 * 2,75 * 3,5 = 206,93 \text{ kN / kat}$$

$$G + 0,9Q = 384,31 + (0,9 * 206,93) = 570,54 \text{ kN / 2} = 285,27 \text{ kN} \text{ (Modelde her katta iki noktasal yük yeri olduğu için 2'ye bölünmüştür).}$$

Burada 5 kN ve 1,5 kN döşeme ve kaplamadan gelen ölü yük iken, 3,5 kN hareketli yük olarak alınmıştır.

Bir önceki sekmede belirtilen deprem kayıtlarının burada yük olarak modele eklenmesi gereklidir. Bunun için zaman tanım alanında kullanılacak deprem kayıtları,

modelin sadece mesnetlerine x yönünde ivme olarak etkitilir. Bu etkitme işlemi sırasında her deprem kaydının ölçek katsayısı yerçekimi ivmesi ($9,81 \text{ m/s}^2$) ile çarpılarak eğri çarpanı kısmına yazılır. Daha sonra ilgili deprem kaydı seçilerek yükleme işlemi tamamlanır.

4.4. Yapının Dinamik Özellikleri

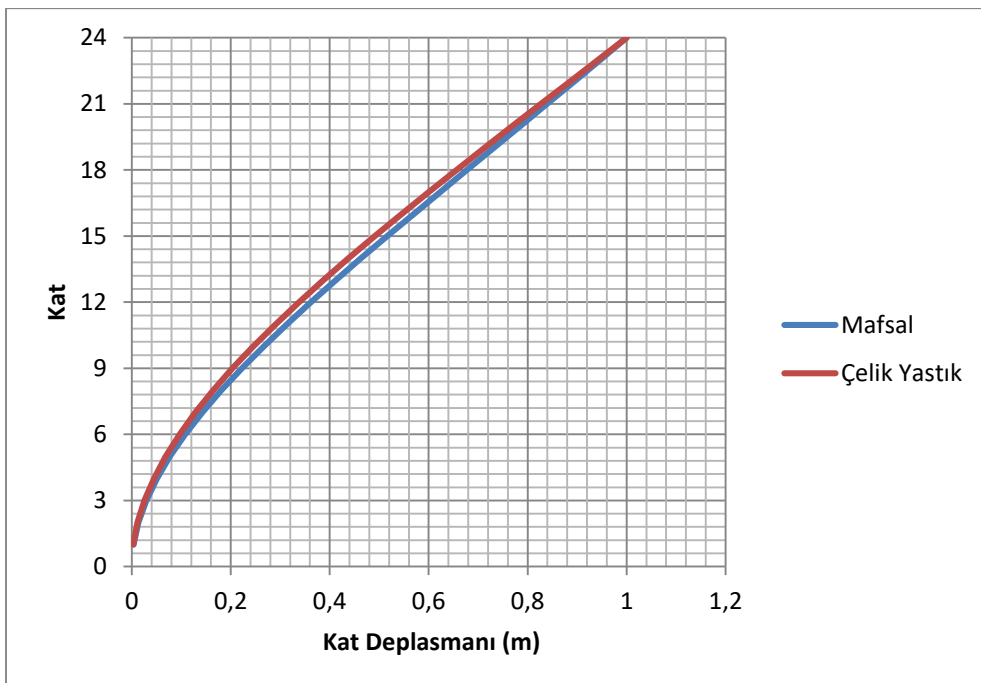
Yapının dinamik özellikleri hakkında bilgi sahibi olmak için oluşturulan modellerde özdeğer analizleri yapılmış olup, yapının periyotları ve mod şekilleri verilmiştir.

Çizelge 4.4 : Modellerde özdeğer analizi sonucunda oluşan modal deplasmanlar.

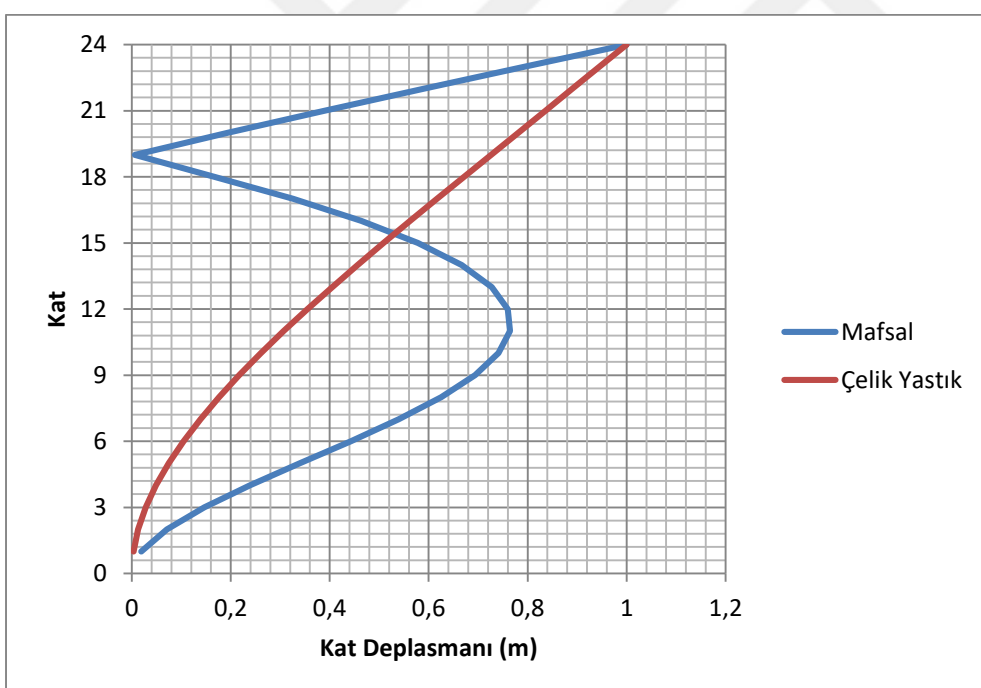
| Kat | Mafsallı modelde kat deplasmanları (m) | | Çelik Yastıklı modelde kat deplasmanları (m) | |
|-----|--|----------------------------------|--|----------------------------------|
| | 1.mod ($T_1 = 2,69 \text{ s}$) | 2.mod ($T_2 = 0,59 \text{ s}$) | 1.mod ($T_1 = 3,38 \text{ s}$) | 2.mod ($T_2 = 2,85 \text{ s}$) |
| 24 | 0,00001994 | 0,000019503 | 0,00002042 | 0,000020075 |
| 23 | 0,000018875 | 0,000015509 | 0,000019242 | 0,000018978 |
| 22 | 0,000017807 | 0,000011528 | 0,000018065 | 0,00001788 |
| 21 | 0,000016735 | 0,0000075984 | 0,00001689 | 0,000016779 |
| 20 | 0,00001566 | 0,0000037747 | 0,000015718 | 0,000015677 |
| 19 | 0,000014582 | 0,0000001248 | 0,000014554 | 0,000014575 |
| 18 | 0,000013503 | 0,0000032777 | 0,000013398 | 0,000013475 |
| 17 | 0,000012426 | 0,0000063578 | 0,000012256 | 0,00001238 |
| 16 | 0,000011355 | 0,0000090449 | 0,000011131 | 0,000011294 |
| 15 | 0,000010294 | 0,000011277 | 0,000010027 | 0,00001022 |
| 14 | 0,0000092471 | 0,000013003 | 0,0000089505 | 0,000009165 |
| 13 | 0,0000082201 | 0,00001419 | 0,0000079053 | 0,0000081327 |
| 12 | 0,000007219 | 0,000014822 | 0,0000068973 | 0,0000071295 |
| 11 | 0,0000062502 | 0,000014902 | 0,0000059323 | 0,0000061615 |
| 10 | 0,0000053206 | 0,000014456 | 0,0000050164 | 0,0000052356 |
| 9 | 0,0000044378 | 0,000013529 | 0,0000041559 | 0,0000043588 |
| 8 | 0,0000036094 | 0,000012188 | 0,0000033572 | 0,0000035386 |
| 7 | 0,0000028437 | 0,00001052 | 0,0000026268 | 0,0000027826 |
| 6 | 0,0000021492 | 0,00000862710 | 0,0000019715 | 0,000002099 |
| 5 | 0,0000015348 | 0,00000662950 | 0,0000013981 | 0,0000014961 |
| 4 | 0,0000010098 | 0,000004659 | 0,0000009133 | 0,0000009824 |
| 3 | 0,0000005838 | 0,00000285820 | 0,0000005242 | 0,0000005668 |
| 2 | 0,0000002666 | 0,000001377 | 0,0000002376 | 0,0000002583 |
| 1 | 0,0000000685 | 0,00000037116 | 0,0000000606 | 0,0000000662 |

Çizelge 4.5 : Modellerde özdeğer analizi sonucunda oluşan normalize edilmiş deplasmanlar.

| Kat | Mafsallı modelde kat deplasmanları (m) | | Çelik Yastıklı modelde kat deplasmanları (m) | |
|-----|--|--------------------------|--|--------------------------|
| | 1.mod ($T_1 = 2,69$ s) | 2.mod ($T_2 = 0,59$ s) | 1.mod ($T_1 = 3,38$ s) | 2.mod ($T_2 = 2,85$ s) |
| 24 | 1 | 1 | 1 | 1 |
| 23 | 0,946589769 | 0,795210993 | 0,942311459 | 0,945354919 |
| 22 | 0,893029087 | 0,59108855 | 0,88467189 | 0,890660025 |
| 21 | 0,839267803 | 0,3896016 | 0,827130264 | 0,835815691 |
| 20 | 0,785356068 | 0,193544583 | 0,769735553 | 0,780921544 |
| 19 | 0,731293882 | 0,006396452 | 0,712732615 | 0,726027397 |
| 18 | 0,677181545 | 0,168061324 | 0,65612145 | 0,671232877 |
| 17 | 0,623169509 | 0,325990873 | 0,600195886 | 0,616687422 |
| 16 | 0,569458375 | 0,463769676 | 0,54510284 | 0,562590286 |
| 15 | 0,516248746 | 0,578218736 | 0,491038198 | 0,509090909 |
| 14 | 0,463746239 | 0,666717941 | 0,438320274 | 0,456537983 |
| 13 | 0,412241725 | 0,727580372 | 0,387135162 | 0,405115816 |
| 12 | 0,362036108 | 0,759985643 | 0,337771792 | 0,355143213 |
| 11 | 0,313450351 | 0,764087576 | 0,290514202 | 0,306924035 |
| 10 | 0,266830491 | 0,7412193 | 0,245661117 | 0,260801993 |
| 9 | 0,222557673 | 0,693688151 | 0,203521058 | 0,217125778 |
| 8 | 0,181013039 | 0,624929498 | 0,164407444 | 0,176268991 |
| 7 | 0,142612839 | 0,539404194 | 0,12863859 | 0,138610212 |
| 6 | 0,10778335 | 0,442347331 | 0,096547502 | 0,104557908 |
| 5 | 0,076970913 | 0,339922063 | 0,068467189 | 0,074525529 |
| 4 | 0,050641926 | 0,238886325 | 0,044726738 | 0,048936986 |
| 3 | 0,029276329 | 0,146551813 | 0,025670421 | 0,028234122 |
| 2 | 0,013368606 | 0,070604522 | 0,011636631 | 0,01286675 |
| 1 | 0,003432949 | 0,019030918 | 0,002966063 | 0,003297186 |



Şekil 4.19 : Modellerin 1. periyodunda oluşan mod şekilleri.



Şekil 4.20 : Modellerin 2. periyodunda oluşan mod şekilleri.

4.5. Seismostruct Programında İncelenen Veriler ve Kullanılan Deprem Kayıtları

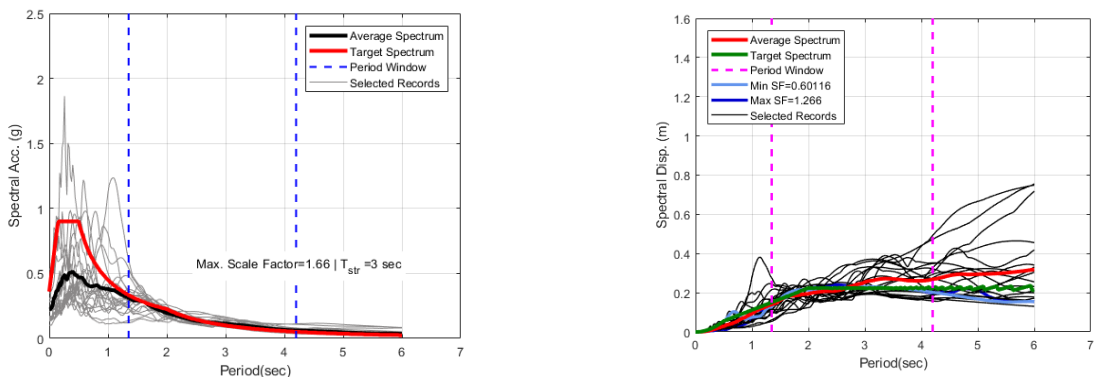
Analizlerin sonucunda incelenmesi gereken veriler aşağıda verilmiştir.

- ✓ Her katın deplasmanı
- ✓ Görelİ Kat Ötelenme Oranları
- ✓ Kat Kesme Kuvvetleri
- ✓ Eleman (Perde) Momentleri
- ✓ Mafsal ve çelik yastıkta oluşan deplasman ve kesme kuvvetleri

Bu veriler 2 farklı modelin 20 tane deprem kaydı kullanılarak zaman tanım alanında doğrusal olmayan analizi ile elde edilmiştir. Deprem kayıtları seçilirken seçilen kayıtların ortalama spektral ivme ve deplasman grafikleri hedef spektrumla örtüşmek zorundadır. Bu örtüşme %90'ın altına düşmemelidir. Bu sayfada kullanılan depremler tablo halinde, bir sonraki sayfada ise spektral ivme ve deplasmanlar grafikle verilmiştir.

| | |
|------------------------------|------------------------------|
| SF_0,9096_CHICHI06_TCU139 | SF_0,93555_NORTHR_ATB090 |
| SF_0,9134_IMPVALL_F-WSM180 | SF_0,95038_CHICHI_TAI1-E |
| SF_0,60116_NORTHR_SMV180 | SF_0,69161_CHICHI03_CHY070-E |
| SF_0,77259_CHICHI02_TTN027-N | SF_1,094_COALINGA_C-SKH360 |
| SF_0,79704_ITALY_A-MER000 | SF_1,266_BORAH_MS_TAN260 |
| SF_0,80771_LIVERMOR_B-DVD156 | SF_1,0421_CHICHI03_TCU087-N |
| SF_0,83335_CHICHI06_TCU119-E | SF_1,0453_CHICHI05_TTN002-N |
| SF_0,84063_MAMMOTH_H-MGE000 | SF_1,0521_CHICHI05_TTN002-W |
| SF_0,85377_NORTH392_TEMPL000 | SF_1,1641_ITALY_A-AUL000 |
| SF_0,87729_KOZANI_FLR--L | SF_1,1993_LANDERS_PL090 |

Cizelge 4.6 : Analizlerde kullanılan deprem kayıtları.



Şekil 4.21 : Seçilen deprem kayıtlarının ortalama spektral ivme ve deplasman grafikleri.

4.6. Seismostruct Programında Modellerin Görüntüsü ve Verilerin Toplanması

Bu aşamada zaman tanım alanında doğrusal olmayan analiz sonuçlarına göre önceki sayfada belirtilen ilgili veriler toplanmıştır. Bu veriler Ek-A'da tablo halinde verilmiş olup ilgili grafikler Ek-B'de verilmiştir. Ayrıca modellerin programdaki görüntüsü de bir sonraki sayfada verilmiştir.



Şekil 4.22 : Mafsallı (solda) ve çelik yastıklı (sağda) modelin programdaki görüntüsü.



5. SONUÇLAR VE ÖNERİLER

- 1) Bu çalışma kapsamında, yüksek katlı betonarme bir yapının 20 farklı deprem kaydı kullanılarak zaman tanım alanında doğrusal olmayan analizi yapılmış, daha sonra aynı yapının çelik yastıklı modeli oluşturulmuştur. Bu kapsamda oluşturulan iki modelde, yapının doğrusal olmayan davranışları incelenmiştir. Bunun yanında, doğrusal olmayan analizlerde kullanılan deprem kayıtlarının seçimi ile ilgili bilgi verilmiştir.
- 2) Bu bilgiler doğrultusunda, seçilen 24 katlı bağ kıraklı boşluklu perde modeli Seismostruct programında boyutlandırılmıştır. Daha sonra aynı modelin çelik yastıklı hali, hesaplanan sayısal veriler kullanılarak boyutlandırılmıştır. Böylece, her iki modelin sonuçlarının karşılaştırılması sağlanmıştır.
- 3) Bu çalışmanın sayısal incelemelerinde elde edilen başlıca sonuçlar aşağıda özetlenmiştir.
 - a) Çelik yastıkların, bağ kırışları arasında boyutsuz ve doğrusal olmayan davranışa sahip elemanlar olarak modellenmesine yönelik bilgiler verilmiştir.
 - b) Çelik yastık boyutlandırılırken, çelik yastığın kesme kapasitesi hesaba katıldığı için söz konusu bağlantı elemanın et kalınlığı, deneylerdeki numunelere kıyasla büyük ölçüde artmasına neden olmuştur.
 - c) Çelik yastıklı modellerde, betonarme (mafsallı) modele kıyasla yapının ve bağlantı elemanlarının deprem sırasında daha az kat kesme kuvvetine maruz kaldığı tespit edilmiştir. Bununla birlikte çelik yastıkların moment taşıma kapasitesinin mafsallara kıyasla bazı katlarda daha yüksek olduğu gözlenmiştir. Bu durum çelik yastıklarda beklenen deplasmanların daha büyük olmasına sebep olmuştur.
 - d) Her iki modelde de yapının kat deplasmanları ve görelî katarası ötelenme oranlarında kayda değer bir farklılık görülmemiştir.

- e) Çelik yastıklar uygulaması kolay olmasının yanısıra, tasarım deprem seviyesi altında akmaya ulaşan, ancak kalıcı hasar almayan davranış sergilemektedir. Bu özellikler, yüksek katlı yapılarda kullanılmalarını kolaylaştıracaktır. Ayrıca şiddetli bir deprem sonrası bu yastıklardan gerekli olanların değiştirilmesi hızlı ve basit olacağından, klasik betonarme bağ kırışlarına nazaran avantajları vardır.
- f) Çelik yastıklar hasar olmadan, sadece akmaya maruz kalarak bir çok çevrimde başarı ile çalışıklarından, toplam çevrimsel enerji tüketimi açısından da avantajlı oldukları görülmüştür.

4) Bu incelemenin sonuçlarına dayanarak belirlenen başlıca öneriler şunlardır.

- a) Yüksek yapılarda kesme kuvveti ve moment değerleri gibi parametreler hesaplanırken uluslararası yönetmelikler esas alınabilir.
- b) Zaman tanım alanında doğrusal olmayan analizlererde, bağ kırışlı boşluklu perdeli modellerde çerçeve elemanlarının ihmal edilmesi analizlerin süresini önemli ölçüde kısaltabilmektedir.
- c) Bazı depremlerde çelik yastığın akma dayanımı, deprem sırasında oluşacak kesme kuvvetini karşılayamayabilir. Çelik yastığın akma dayanımının yetersiz kaldığı durumlarda çelik yastığın boyutlarını artırmak çözüm olabilir.
- d) Çelik yastıklar kullanılarak oluşturulan modellerde, bütün depremlerdeki bütün modeller için söz konusu bağlantı elemanlarında P- Δ grafikleri elde edilerek tüketilen enerji hakkında bilgi sahibi olunabilir.
- e) Analizlerde kullanılan ve deprem kayıtlarını oluşturan depremler hakkında detaylı bir inceleme yapılabilir.
- f) Labaratuvar ortamında deneysel yöntemlerle bir çalışma yapılrsa, bu çalışmanın sonuçları ile paket programlardaki çıkan sonuçlar arasında bir karşılaştırma yapılabilir.

KAYNAKLAR

- ACI Committee 318.** (2011). Building Code Requirements for Structural Concrete (ACI 318-11) and Commentary (318R-11R), *American Concrete Institute*, Farmington Hills, Mich.
- ASCE/SEI 41-06** (2007). Seismic Rehabilitation of Existing Buildings. American Society of Civil Engineers, Reston, VA, 507 pp.
- ASCE/SEI 41-13** (2014). Seismic Evaluation and Rehabilitation of Existing Buildings. American Society of Civil Engineers, Reston, VA, 428 pp.
- Bezalga, J. M. D.** (2015) Coupling Beams of Shear Walls – Modelling Procedure for the Seismic Analysis of RC Structures
- Doran, B., Polat, Z.** (1998) Boşluklu Perde Analizinde Bağ Kırışı Hesabı İçin Yeni Bir Formül, pp.1974
- Doran, B.** Perdeli Sistemler – Statik ve Betonarme kesit hesapları
- Özkaynak, H.** (2018) Earthquake Behaviour of Steel Cushion – Implemented Reinforced Concrete Frames
- Özkaynak, H., Güllü, A., Gökçe, T., Khajehdehi, A., Mahdavi, M., Azizisales, F., Bal, İ. E., Smyrou, E., Yüksel, E., Karadoğan, F.** (2015) Energy Dissipator Steel Cushions
- Özsoy, A.E., Özgen, K.** (2005) Perdelerdeki Boşlukların Yatay Ötelenmeye Etkisi
- Tama, Y.S., Kaplan, H.** (2002) B.A. Boşluklu Perdelerde Üst Kat Bağ Kırışı Yükseklüğinin Sistem Davranışına Etkisinin Deneysel Araştırılması, pp.210
- Toprak, A. E., Bal, İ. E., Gülay, F.G.** (2015) Review on the Macro-Modeling Alternatives and a Proposal for Modeling Coupling Beams in Tall Buildings
- Toprak, A. E.** (2015). The Effect of Coupling Ratio on Nonlinear Behaviour of Coupled Shear Walls
- Yüksel, E., Karadoğan, F., Özkaynak, H., Khajehdehi, A., Güllü, A., Smyrou, E., Bal, İ. E.** (2018) Behaviour of Steel Cushions Subjected to Combined Actions



EKLER

EK A: Deprem Analizi Sonuçları

Çizelge A.1 : SF_0,9096_CHICHI06_TCU139-E.AT2 deprem analizinde mafsallı modelde oluşan deplasman ve kesme kuvvetleri.

| Kat | Kat deplasmanları (m) | Mafsal Deplasmanları (m) | Mafsal Kesme Kuvvetleri (kN) |
|-----|-----------------------|--------------------------|------------------------------|
| | x doğrultusu | z doğrultusu | z doğrultusu |
| 24 | 0,215712 | 0,00372859 | 372,8594 |
| 23 | 0,20416779 | 0,00373857 | 373,8569 |
| 22 | 0,19264509 | 0,00375185 | 375,185 |
| 21 | 0,1812051 | 0,00376368 | 376,3675 |
| 20 | 0,16986868 | 0,00377249 | 377,2492 |
| 19 | 0,15878207 | 0,00377596 | 377,5963 |
| 18 | 0,14775597 | 0,00377254 | 377,2535 |
| 17 | 0,13671682 | 0,00379607 | 379,6075 |
| 16 | 0,12844539 | 0,00382605 | 382,6048 |
| 15 | 0,12010131 | 0,00382885 | 382,885 |
| 14 | 0,11156095 | 0,00383473 | 383,4726 |
| 13 | 0,10239632 | 0,00387672 | 387,6716 |
| 12 | 0,09282728 | 0,00393258 | 393,2578 |
| 11 | 0,08424556 | 0,00394514 | 394,5136 |
| 10 | 0,07921092 | 0,00391718 | 391,7181 |
| 9 | 0,07401207 | 0,0038508 | 385,0801 |
| 8 | 0,06870266 | 0,00379169 | 379,1687 |
| 7 | 0,0633612 | 0,00366503 | 366,5032 |
| 6 | 0,05805745 | 0,0035028 | 350,2804 |
| 5 | 0,05280744 | 0,00334416 | 334,416 |
| 4 | 0,04768785 | 0,00314372 | 314,3721 |
| 3 | 0,04287643 | 0,00283471 | 283,4714 |
| 2 | 0,04234016 | 0,00235879 | 235,8794 |
| 1 | 0,04400896 | 0,00151829 | 151,8288 |

Çizelge A.2 : SF_0,9096_CHICHI06_TCU139-E.AT2 deprem analizinde mafsallı modelde çıkan sonuçlar.

| Kat | | Göreli Katarası Ötelenme Oranı (%) | Kat Kesme Kuvvetleri (kN) | Perde Momentleri (kNm) |
|-----|-----|---------------------------------------|------------------------------|------------------------|
| 0 | alt | 0,065645714 | 3288,733 | 53231,15 |
| 1 | üst | 0,065645714 | 3288,733 | 45669,355 |
| 1 | alt | 0,162434286 | 4597,765 | 53231,15 |
| 2 | üst | 0,162434286 | 4597,765 | 39175,657 |
| 2 | alt | 0,210329714 | 2646,709 | 45669,355 |
| 3 | üst | 0,210329714 | 2646,709 | 37142,43 |
| 3 | alt | 0,232570286 | 2410,951 | 39175,657 |
| 4 | üst | 0,232570286 | 2410,951 | 35466,09 |
| 4 | alt | 0,257348571 | 2259,974 | 37142,43 |
| 5 | üst | 0,257348571 | 2259,974 | 34266,955 |
| 5 | alt | 0,278194571 | 2461,178 | 35466,09 |
| 6 | üst | 0,278194571 | 2461,178 | 32916,183 |
| 6 | alt | 0,294430571 | 2322,636 | 34266,955 |
| 7 | üst | 0,294430571 | 2322,636 | 31393,39 |
| 7 | alt | 0,306443714 | 1955,894 | 32916,183 |
| 8 | üst | 0,306443714 | 1955,894 | 28987,68 |
| 8 | alt | 0,314648857 | 2020,313 | 31393,39 |
| 9 | üst | 0,314648857 | 2020,313 | 27614,07 |
| 9 | alt | 0,321621714 | 1859,092 | 28987,68 |
| 10 | üst | 0,321621714 | 1859,092 | 25876,144 |
| 10 | alt | 0,326222 | 2109,985 | 27614,07 |
| 11 | üst | 0,326222 | 2109,985 | 24762,786 |
| 11 | alt | 0,338116857 | 1812,88 | 25876,144 |
| 12 | üst | 0,338116857 | 1812,88 | 24419,891 |
| 12 | alt | 0,344455143 | 1942,479 | 24762,786 |
| 13 | üst | 0,344455143 | 1942,479 | 22259,499 |
| 13 | alt | 0,350410857 | 1871,958 | 24419,891 |
| 14 | üst | 0,350410857 | 1871,958 | 19984,241 |
| 14 | alt | 0,352154857 | 1773,963 | 22259,499 |
| 15 | üst | 0,352154857 | 1773,963 | 18674,726 |
| 15 | alt | 0,352274 | 1551,97 | 19984,241 |
| 16 | üst | 0,352274 | 1551,97 | 17772,085 |
| 16 | alt | 0,351885143 | 1625,222 | 18674,726 |
| 17 | üst | 0,351885143 | 1625,222 | 17348,856 |
| 17 | alt | 0,351924286 | 1770,014 | 17772,085 |
| 18 | üst | 0,351924286 | 1770,014 | 16525,644 |
| 18 | alt | 0,353999143 | 1984,018 | 17348,856 |
| 19 | üst | 0,353999143 | 1984,018 | 15282,449 |
| 19 | alt | 0,354275143 | 2092,708 | 16525,644 |
| 20 | üst | 0,354275143 | 2092,708 | 14246,331 |
| 20 | alt | 0,354149429 | 1488,068 | 15282,449 |
| 21 | üst | 0,354149429 | 1488,068 | 11089,005 |
| 21 | alt | 0,354200571 | 1407,209 | 14246,331 |
| 22 | üst | 0,354200571 | 1407,209 | 8587,103 |
| 22 | alt | 0,353918857 | 1282,464 | 11089,005 |
| 23 | üst | 0,353918857 | 1282,464 | 4098,263 |
| 23 | alt | 0,353435429 | 1239,082 | 8587,103 |
| 24 | üst | 0,353435429 | 1239,082 | 4098,263 |

Çizelge A.3 : SF_0,9096_CHICHI06_TCU139-E.AT2 deprem analizinde çelik yastıklı modelde oluşan deplasman ve kesme kuvvetleri.

| Kat | Kat deplasmanları (m) | Çelik Yastık Deplasmanları (m) | Çelik Y. Kesme Kuvvetleri (kN) |
|-----|-----------------------|--------------------------------|--------------------------------|
| | x doğrultusu | z doğrultusu | z doğrultusu |
| 24 | 0,19330686 | 0,02129861 | 244,4904 |
| 23 | 0,18275336 | 0,02134272 | 244,9967 |
| 22 | 0,17229167 | 0,02141819 | 245,863 |
| 21 | 0,16201809 | 0,02150655 | 246,8773 |
| 20 | 0,15198028 | 0,02153569 | 247,2118 |
| 19 | 0,14236223 | 0,02154357 | 247,3023 |
| 18 | 0,13501455 | 0,02152769 | 247,1201 |
| 17 | 0,12869485 | 0,02091124 | 240,0437 |
| 16 | 0,12230731 | 0,02078183 | 238,5581 |
| 15 | 0,11561874 | 0,02031863 | 233,241 |
| 14 | 0,10855148 | 0,01893827 | 217,3957 |
| 13 | 0,10093963 | 0,01759495 | 201,9754 |
| 12 | 0,09284061 | 0,01711487 | 196,4645 |
| 11 | 0,0843084 | 0,01641669 | 188,4499 |
| 10 | 0,07554122 | 0,01513968 | 173,7909 |
| 9 | 0,06660751 | 0,01492135 | 171,2847 |
| 8 | 0,0575777 | 0,0147309 | 169,0985 |
| 7 | 0,0484838 | 0,014443 | 165,7937 |
| 6 | 0,04489572 | 0,01420565 | 163,0691 |
| 5 | 0,0425214 | 0,01375658 | 157,9141 |
| 4 | 0,04323725 | 0,01320892 | 151,6275 |
| 3 | 0,0438071 | 0,01234819 | 141,747 |
| 2 | 0,04421847 | 0,01048993 | 120,4157 |
| 1 | 0,04457214 | 0,00689053 | 79,09761 |

**Çizelge A.4 : SF_0,9096_CHICHI06_TCU139-E.AT2 deprem analizinde
çelik yastıklı modelde çıkan sonuçlar.**

| Kat | Göreli Katarası Ötelenme Oranı (%) | Kat Kesme Kuvvetleri (kN) | Perde Momentleri (kNm) |
|-----|---------------------------------------|------------------------------|------------------------|
| 0 | alt | 0,061622857 | 3660,75 |
| 1 | üst | 0,061622857 | 3660,75 |
| 1 | alt | 0,161711714 | 3240,963 |
| 2 | üst | 0,161711714 | 3240,963 |
| 2 | alt | 0,232183429 | 3319,178 |
| 3 | üst | 0,232183429 | 3319,178 |
| 3 | alt | 0,253178286 | 2362,832 |
| 4 | üst | 0,253178286 | 2362,832 |
| 4 | alt | 0,258172571 | 2118,97 |
| 5 | üst | 0,258172571 | 2118,97 |
| 5 | alt | 0,261070857 | 2493,628 |
| 6 | üst | 0,261070857 | 2493,628 |
| 6 | alt | 0,262581143 | 1967,286 |
| 7 | üst | 0,262581143 | 1967,286 |
| 7 | alt | 0,263153143 | 1819,732 |
| 8 | üst | 0,263153143 | 1819,732 |
| 8 | alt | 0,262382 | 1897,185 |
| 9 | üst | 0,262382 | 1897,185 |
| 9 | alt | 0,260190857 | 1826,004 |
| 10 | üst | 0,260190857 | 1826,004 |
| 10 | alt | 0,254762286 | 1998,1 |
| 11 | üst | 0,254762286 | 1998,1 |
| 11 | alt | 0,262868571 | 1781,924 |
| 12 | üst | 0,262868571 | 1781,924 |
| 12 | alt | 0,271478286 | 1656,305 |
| 13 | üst | 0,271478286 | 1656,305 |
| 13 | alt | 0,282603429 | 1921,717 |
| 14 | üst | 0,282603429 | 1921,717 |
| 14 | alt | 0,297269143 | 1576,812 |
| 15 | üst | 0,297269143 | 1576,812 |
| 15 | alt | 0,303254857 | 1596,41 |
| 16 | üst | 0,303254857 | 1596,41 |
| 16 | alt | 0,307031143 | 2444,469 |
| 17 | üst | 0,307031143 | 2444,469 |
| 17 | alt | 0,313635143 | 1771,598 |
| 18 | üst | 0,313635143 | 1771,598 |
| 18 | alt | 0,316594857 | 1511,62 |
| 19 | üst | 0,316594857 | 1511,62 |
| 19 | alt | 0,318232857 | 1507,811 |
| 20 | üst | 0,318232857 | 1507,811 |
| 20 | alt | 0,319222571 | 1276,019 |
| 21 | üst | 0,319222571 | 1276,019 |
| 21 | alt | 0,320102571 | 1362,715 |
| 22 | üst | 0,320102571 | 1362,715 |
| 22 | alt | 0,320808286 | 1418,138 |
| 23 | üst | 0,320808286 | 1418,138 |
| 23 | alt | 0,321062286 | 1179,198 |
| 24 | üst | 0,321062286 | 1179,198 |

Çizelge A.5 : SF_0,9134_IMPVAL_F-WSM180.AT2 deprem analizinde mafsallı modelde oluşan deplasman ve kesme kuvvetleri.

| Kat | Kat deplasmanları (m) | Mafsal Deplasmanları (m) | Mafsal Kesme Kuvvetleri (kN) |
|-----|-----------------------|--------------------------|------------------------------|
| | x doğrultusu | z doğrultusu | z doğrultusu |
| 24 | 0,01381492 | 0,000373 | 37,30045 |
| 23 | 0,01297893 | 0,00037079 | 37,07921 |
| 22 | 0,0121522 | 0,00036044 | 36,04365 |
| 21 | 0,01135221 | 0,00033889 | 33,88872 |
| 20 | 0,01075075 | 0,00030811 | 30,81093 |
| 19 | 0,01082335 | 0,00027568 | 27,56753 |
| 18 | 0,010921 | 0,00024465 | 24,46478 |
| 17 | 0,01102424 | 0,00021211 | 21,21107 |
| 16 | 0,01120599 | 0,00020554 | 20,55383 |
| 15 | 0,01145655 | 0,00019674 | 19,67394 |
| 14 | 0,01159682 | 0,00017975 | 17,975 |
| 13 | 0,01162923 | 0,0001514 | 15,14021 |
| 12 | 0,01156344 | 0,00011214 | 11,2141 |
| 11 | 0,01141227 | 0,00010992 | 10,99206 |
| 10 | 0,01119911 | 0,00012853 | 12,85282 |
| 9 | 0,01107078 | 0,00014788 | 14,78768 |
| 8 | 0,01092879 | 0,00015525 | 15,52537 |
| 7 | 0,01077541 | 0,00015825 | 15,82471 |
| 6 | 0,01059452 | 0,00018288 | 18,28764 |
| 5 | 0,01037869 | 0,00019648 | 19,64837 |
| 4 | 0,01012613 | 0,00019693 | 19,69341 |
| 3 | 0,00986059 | 0,0001802 | 18,01982 |
| 2 | 0,00982604 | 0,00014641 | 14,64087 |
| 1 | 0,00981578 | 8,80495E-05 | 8,80495 |

Çizelge A.6 : SF_0,9134_IMPVALL_F-WSM180.AT2 deprem analizinde mafsallı modelde çıkan sonuçlar.

| Kat | | Göreli Katarası Öteleme Oranı (%) | Kat Kesme Kuvvetleri (kN) | Perde Momentleri (kNm) |
|-----|-----|-----------------------------------|---------------------------|------------------------|
| 0 | alt | 0,002972857 | 1401,449 | 14985,913 |
| 1 | üst | 0,002972857 | 1401,449 | 10574,623 |
| 1 | alt | 0,007629714 | 1275,937 | 14985,913 |
| 2 | üst | 0,007629714 | 1275,937 | 7101,702 |
| 2 | alt | 0,010463429 | 1156,844 | 10574,623 |
| 3 | üst | 0,010463429 | 1156,844 | 4628,091 |
| 3 | alt | 0,012118857 | 997,5088 | 7101,702 |
| 4 | üst | 0,012118857 | 997,5088 | 4184,877 |
| 4 | alt | 0,012497429 | 820,7468 | 4628,091 |
| 5 | üst | 0,012497429 | 820,7468 | 4194,762 |
| 5 | alt | 0,012051714 | 774,2152 | 4184,877 |
| 6 | üst | 0,012051714 | 774,2152 | 5190,296 |
| 6 | alt | 0,010692 | 696,7186 | 4194,762 |
| 7 | üst | 0,010692 | 696,7186 | 6041,206 |
| 7 | alt | 0,009647714 | 667,5626 | 5190,296 |
| 8 | üst | 0,009647714 | 667,5626 | 7240,517 |
| 8 | alt | 0,009322286 | 693,4614 | 6041,206 |
| 9 | üst | 0,009322286 | 693,4614 | 8215,762 |
| 9 | alt | 0,008379429 | 562,4246 | 7240,517 |
| 10 | üst | 0,008379429 | 562,4246 | 8530,228 |
| 10 | alt | 0,006779143 | 580,0017 | 8215,762 |
| 11 | üst | 0,006779143 | 580,0017 | 8012,754 |
| 11 | alt | 0,006493714 | 564,4227 | 8530,228 |
| 12 | üst | 0,006493714 | 564,4227 | 7437,337 |
| 12 | alt | 0,009399429 | 531,012 | 8012,754 |
| 13 | üst | 0,009399429 | 531,012 | 7697,018 |
| 13 | alt | 0,011672857 | 542,8273 | 7437,337 |
| 14 | üst | 0,011672857 | 542,8273 | 8242,756 |
| 14 | alt | 0,013199714 | 521,5638 | 7697,018 |
| 15 | üst | 0,013199714 | 521,5638 | 8331,678 |
| 15 | alt | 0,014084 | 605,2002 | 8242,756 |
| 16 | üst | 0,014084 | 605,2002 | 8157,403 |
| 16 | alt | 0,014641104 | 595,7593 | 8331,678 |
| 17 | üst | 0,014641104 | 595,7593 | 8040,644 |
| 17 | alt | 0,016048893 | 546,927 | 8157,403 |
| 18 | üst | 0,016048893 | 546,927 | 7860,913 |
| 18 | alt | 0,018210263 | 584,8007 | 8040,644 |
| 19 | üst | 0,018210263 | 584,8007 | 7569,33 |
| 19 | alt | 0,020539143 | 605,9604 | 7860,913 |
| 20 | üst | 0,020539143 | 605,9604 | 6595,697 |
| 20 | alt | 0,022641429 | 542,4375 | 7569,33 |
| 21 | üst | 0,022641429 | 542,4375 | 5009,184 |
| 21 | alt | 0,024399429 | 611,7718 | 6595,697 |
| 22 | üst | 0,024399429 | 611,7718 | 3166,129 |
| 22 | alt | 0,025456 | 585,2315 | 5009,184 |
| 23 | üst | 0,025456 | 585,2315 | 1402,037 |
| 23 | alt | 0,025858 | 411,0614 | 3166,129 |
| 24 | üst | 0,025858 | 411,0614 | 1402,037 |

Çizelge A.7 : SF_0,9134_IMPVALL_F-WSM180.AT2 deprem analizinde çelik yastıklı modelde oluşan deplasman ve kesme kuvvetleri.

| Kat | Kat deplasmanları (m) | Çelik Yastık Deplasmanları (m) | Çelik Y. Kesme Kuvvetleri (kN) |
|-----|-----------------------|--------------------------------|--------------------------------|
| | x doğrultusu | z doğrultusu | z doğrultusu |
| 24 | 0,01333865 | 0,0023269 | 26,71086 |
| 23 | 0,01249821 | 0,00231402 | 26,56304 |
| 22 | 0,01168308 | 0,00226248 | 25,97139 |
| 21 | 0,01106588 | 0,0021714 | 24,92586 |
| 20 | 0,01065245 | 0,0020736 | 23,8032 |
| 19 | 0,01030095 | 0,00195204 | 22,40779 |
| 18 | 0,00992965 | 0,00176415 | 20,25103 |
| 17 | 0,01017392 | 0,0015071 | 17,3003 |
| 16 | 0,01058985 | 0,00128346 | 14,73301 |
| 15 | 0,01092295 | 0,00117537 | 13,49228 |
| 14 | 0,01118481 | 0,00101601 | 11,663 |
| 13 | 0,01139657 | 0,00080406 | 9,2299 |
| 12 | 0,01155107 | 0,00061787 | 7,09268 |
| 11 | 0,01172968 | 0,00059631 | 6,84513 |
| 10 | 0,01182169 | 0,00073426 | 8,42865 |
| 9 | 0,01181042 | 0,0008743 | 10,03626 |
| 8 | 0,01169999 | 0,00098214 | 11,27416 |
| 7 | 0,01149175 | 0,00102187 | 11,73024 |
| 6 | 0,01120009 | 0,00107028 | 12,28594 |
| 5 | 0,0108496 | 0,00113558 | 13,03553 |
| 4 | 0,01046236 | 0,00118065 | 13,55293 |
| 3 | 0,01007589 | 0,00112545 | 12,91925 |
| 2 | 0,00973526 | 0,0009217 | 10,58036 |
| 1 | 0,00974982 | 0,00054962 | 6,30914 |

Çizelge A.8 : SF_0,9134_IMPVALL_F-WSM180.AT2 deprem analizinde çelik yastıklı modelde çıkan sonuçlar.

| Kat | Göreli Katarası Ötelenme Oranı (%) | Kat Kesme Kuvvetleri (kN) | Perde Momentleri (kNm) |
|-----|------------------------------------|---------------------------|------------------------|
| 0 | alt | 0,003217714 | 1314,121 |
| 1 | üst | 0,003217714 | 1314,121 |
| 1 | alt | 0,008325429 | 1280,765 |
| 2 | üst | 0,008325429 | 1280,765 |
| 2 | alt | 0,011493143 | 1183,079 |
| 3 | üst | 0,011493143 | 1183,079 |
| 3 | alt | 0,012880286 | 1003,004 |
| 4 | üst | 0,012880286 | 1003,004 |
| 4 | alt | 0,012762857 | 811,3209 |
| 5 | üst | 0,012762857 | 811,3209 |
| 5 | alt | 0,012018286 | 694,2494 |
| 6 | üst | 0,012018286 | 694,2494 |
| 6 | alt | 0,011354 | 672,9505 |
| 7 | üst | 0,011354 | 672,9505 |
| 7 | alt | 0,010892571 | 648,3801 |
| 8 | üst | 0,010892571 | 648,3801 |
| 8 | alt | 0,009948571 | 691,6129 |
| 9 | üst | 0,009948571 | 691,6129 |
| 9 | alt | 0,00844 | 589,9853 |
| 10 | üst | 0,00844 | 589,9853 |
| 10 | alt | 0,006868 | 581,6588 |
| 11 | üst | 0,006868 | 581,6588 |
| 11 | alt | 0,006035143 | 555,7727 |
| 12 | üst | 0,006035143 | 555,7727 |
| 12 | alt | 0,008141429 | 546,1792 |
| 13 | üst | 0,008141429 | 546,1792 |
| 13 | alt | 0,010847714 | 536,7937 |
| 14 | üst | 0,010847714 | 536,7937 |
| 14 | alt | 0,012993714 | 492,3266 |
| 15 | üst | 0,012993714 | 492,3266 |
| 15 | alt | 0,014582857 | 620,4052 |
| 16 | üst | 0,014582857 | 620,4052 |
| 16 | alt | 0,016127429 | 591,4811 |
| 17 | üst | 0,016127429 | 591,4811 |
| 17 | alt | 0,019434286 | 557,9899 |
| 18 | üst | 0,019434286 | 557,9899 |
| 18 | alt | 0,021942857 | 585,7366 |
| 19 | üst | 0,021942857 | 585,7366 |
| 19 | alt | 0,023732 | 597,89 |
| 20 | üst | 0,023732 | 597,89 |
| 20 | alt | 0,024915714 | 530,9649 |
| 21 | üst | 0,024915714 | 530,9649 |
| 21 | alt | 0,026123714 | 560,8755 |
| 22 | üst | 0,026123714 | 560,8755 |
| 22 | alt | 0,026980286 | 542,6312 |
| 23 | üst | 0,026980286 | 542,6312 |
| 23 | alt | 0,027357714 | 411,3172 |
| 24 | üst | 0,027357714 | 411,3172 |

**Çizelge A.9 : SF_0,60116_NORTHR_SMV180.AT2 deprem analizinde
mafsallı modelde oluşan deplasman ve kesme kuvvetleri.**

| Kat | Kat deplasmanları (m) | Mafsal Deplasmanları (m) | Mafsal Kesme Kuvvetleri (kN) |
|-----|-----------------------|--------------------------|------------------------------|
| | x doğrultusu | z doğrultusu | z doğrultusu |
| 24 | 0,02588381 | 0,00159542 | 159,542 |
| 23 | 0,02177001 | 0,00159607 | 159,6071 |
| 22 | 0,01812804 | 0,00158722 | 158,7223 |
| 21 | 0,01457943 | 0,00156073 | 156,0733 |
| 20 | 0,01135613 | 0,00151211 | 151,2106 |
| 19 | 0,01018393 | 0,00144099 | 144,0992 |
| 18 | 0,01288289 | 0,00135499 | 135,4988 |
| 17 | 0,01519096 | 0,00117024 | 117,0238 |
| 16 | 0,01659633 | 0,00105249 | 105,2486 |
| 15 | 0,01734108 | 0,000936 | 93,59993 |
| 14 | 0,01691897 | 0,00085468 | 85,46845 |
| 13 | 0,0162108 | 0,00075798 | 75,79756 |
| 12 | 0,01527613 | 0,00071713 | 71,71324 |
| 11 | 0,01436607 | 0,00074959 | 74,95891 |
| 10 | 0,01427098 | 0,00079514 | 79,51422 |
| 9 | 0,0134713 | 0,00085433 | 85,43284 |
| 8 | 0,01238895 | 0,00088333 | 88,33289 |
| 7 | 0,01111701 | 0,00087894 | 87,89434 |
| 6 | 0,00978431 | 0,00084122 | 84,12234 |
| 5 | 0,00836032 | 0,00078782 | 78,78221 |
| 4 | 0,00704098 | 0,00075659 | 75,65912 |
| 3 | 0,00663461 | 0,00069808 | 69,80756 |
| 2 | 0,00639175 | 0,00062053 | 62,05252 |
| 1 | 0,0062852 | 0,00052243 | 52,24292 |

**Çizelge A.10 : SF_0,60116_NORTHR_SMV180.AT2 deprem analizinde
mafsallı modelde çıkan sonuçlar.**

| Kat | Göreli Katarası Ötelenme Oranı (%) | Kat Kesme Kuvvetleri (kN) | Perde Momentleri (kNm) |
|-----|---------------------------------------|---------------------------|------------------------|
| 0 | alt | 0,024250286 | 4318,511 |
| 1 | üst | 0,024250286 | 4318,511 |
| 1 | alt | 0,040734571 | 2611,154 |
| 2 | üst | 0,040734571 | 2611,154 |
| 2 | alt | 0,046676286 | 2378,837 |
| 3 | üst | 0,046676286 | 2378,837 |
| 3 | alt | 0,049837143 | 2235,244 |
| 4 | üst | 0,049837143 | 2235,244 |
| 4 | alt | 0,050418857 | 1996,884 |
| 5 | üst | 0,050418857 | 1996,884 |
| 5 | alt | 0,050575429 | 1823,483 |
| 6 | üst | 0,050575429 | 1823,483 |
| 6 | alt | 0,052737714 | 1743,877 |
| 7 | üst | 0,052737714 | 1743,877 |
| 7 | alt | 0,054415429 | 1525,929 |
| 8 | üst | 0,054415429 | 1525,929 |
| 8 | alt | 0,054018857 | 1620,075 |
| 9 | üst | 0,054018857 | 1620,075 |
| 9 | alt | 0,052518857 | 1716,246 |
| 10 | üst | 0,052518857 | 1716,246 |
| 10 | alt | 0,050112571 | 1713,433 |
| 11 | üst | 0,050112571 | 1713,433 |
| 11 | alt | 0,047189714 | 1477,318 |
| 12 | üst | 0,047189714 | 1477,318 |
| 12 | alt | 0,051582571 | 2028,265 |
| 13 | üst | 0,051582571 | 2028,265 |
| 13 | alt | 0,05489913 | 2844,571 |
| 14 | üst | 0,05489913 | 2844,571 |
| 14 | alt | 0,057046571 | 1410,676 |
| 15 | üst | 0,057046571 | 1410,676 |
| 15 | alt | 0,077583714 | 1347,974 |
| 16 | üst | 0,077583714 | 1347,974 |
| 16 | alt | 0,090339143 | 1411,79 |
| 17 | üst | 0,090339143 | 1411,79 |
| 17 | alt | 0,096161714 | 1995,783 |
| 18 | üst | 0,096161714 | 1995,783 |
| 18 | alt | 0,105101714 | 3457,154 |
| 19 | üst | 0,105101714 | 3457,154 |
| 19 | alt | 0,110123714 | 1429,824 |
| 20 | üst | 0,110123714 | 1429,824 |
| 20 | alt | 0,113924286 | 1530,896 |
| 21 | üst | 0,113924286 | 1530,896 |
| 21 | alt | 0,116348857 | 1576,785 |
| 22 | üst | 0,116348857 | 1576,785 |
| 22 | alt | 0,117511143 | 1263,385 |
| 23 | üst | 0,117511143 | 1263,385 |
| 23 | alt | 0,117783429 | 1010,924 |
| 24 | üst | 0,117783429 | 1010,924 |

**Çizelge A.11 : SF_0,60116_NORTHR_SMV180.AT2 deprem analizinde
çelik yastıklı modelde oluşan deplasman ve kesme kuvvetleri.**

| Kat | Kat deplasmanları (m) | Çelik Yastık Deplasmanları (m) | Çelik Y. Kesme Kuvvetleri (kN) |
|-----|-----------------------|--------------------------------|--------------------------------|
| | x doğrultusu | z doğrultusu | z doğrultusu |
| 24 | 0,02751131 | 0,01031998 | 118,4648 |
| 23 | 0,02333564 | 0,01030684 | 118,3139 |
| 22 | 0,01916527 | 0,01021754 | 117,2889 |
| 21 | 0,01503489 | 0,01001742 | 114,9917 |
| 20 | 0,01093366 | 0,00969946 | 111,3417 |
| 19 | 0,00948362 | 0,00927543 | 106,4743 |
| 18 | 0,00937741 | 0,00876763 | 100,6451 |
| 17 | 0,01132438 | 0,00823953 | 94,58294 |
| 16 | 0,01432247 | 0,0068893 | 79,08348 |
| 15 | 0,01677932 | 0,00485821 | 55,76824 |
| 14 | 0,01819281 | 0,00369858 | 42,45661 |
| 13 | 0,01812751 | 0,00381054 | 43,7418 |
| 12 | 0,01755262 | 0,00435882 | 50,0356 |
| 11 | 0,01635301 | 0,00464302 | 53,29803 |
| 10 | 0,01459904 | 0,00488463 | 56,07151 |
| 9 | 0,01285923 | 0,00502623 | 57,69697 |
| 8 | 0,01221332 | 0,00503373 | 57,78299 |
| 7 | 0,01149109 | 0,00495499 | 56,87913 |
| 6 | 0,01060461 | 0,00518538 | 59,52391 |
| 5 | 0,00948909 | 0,00526032 | 60,38408 |
| 4 | 0,00827615 | 0,00515256 | 59,14712 |
| 3 | 0,00694718 | 0,00483087 | 55,4544 |
| 2 | 0,00643796 | 0,0042917 | 49,26515 |
| 1 | 0,00630563 | 0,00357136 | 40,99626 |

**Çizelge A.12 : SF_0,60116_NORTHR_SMV180.AT2 deprem analizinde
çelik yastıklı modelde çıkan sonuçlar.**

| Kat | | Görelî Katarası Ötelenme Oranı (%) | Kat Kesme Kuvvetleri (kN) | Perde Momentleri (kNm) |
|-----|-----|---------------------------------------|---------------------------|------------------------|
| 0 | alt | 0,027066 | 3469,703 | 30741,602 |
| 1 | üst | 0,027066 | 3469,703 | 23888,151 |
| 1 | alt | 0,044399429 | 2763,605 | 30741,602 |
| 2 | üst | 0,044399429 | 2763,605 | 20295,685 |
| 2 | alt | 0,049422 | 2432,286 | 23888,151 |
| 3 | üst | 0,049422 | 2432,286 | 18140,469 |
| 3 | alt | 0,052355714 | 2185,748 | 20295,685 |
| 4 | üst | 0,052355714 | 2185,748 | 15035,902 |
| 4 | alt | 0,055956571 | 2025,414 | 18140,469 |
| 5 | üst | 0,055956571 | 2025,414 | 13904,503 |
| 5 | alt | 0,058907143 | 1981,143 | 15035,902 |
| 6 | üst | 0,058907143 | 1981,143 | 16137,873 |
| 6 | alt | 0,060459429 | 1753,63 | 13904,503 |
| 7 | üst | 0,060459429 | 1753,63 | 18299,211 |
| 7 | alt | 0,062398286 | 1599,041 | 16137,873 |
| 8 | üst | 0,062398286 | 1599,041 | 19699,277 |
| 8 | alt | 0,061837429 | 1669,302 | 18299,211 |
| 9 | üst | 0,061837429 | 1669,302 | 20362,159 |
| 9 | alt | 0,058512857 | 1523,983 | 19699,277 |
| 10 | üst | 0,058512857 | 1523,983 | 19898,662 |
| 10 | alt | 0,054806286 | 1387,908 | 20362,159 |
| 11 | üst | 0,054806286 | 1387,908 | 20350,963 |
| 11 | alt | 0,051656857 | 1454,394 | 19898,662 |
| 12 | üst | 0,051656857 | 1454,394 | 20577,629 |
| 12 | alt | 0,048468571 | 1654,791 | 20350,963 |
| 13 | üst | 0,048468571 | 1654,791 | 21042,596 |
| 13 | alt | 0,043440286 | 1667,76 | 20577,629 |
| 14 | üst | 0,043440286 | 1667,76 | 20998,87 |
| 14 | alt | 0,066512286 | 1438,581 | 21042,596 |
| 15 | üst | 0,066512286 | 1438,581 | 21042,137 |
| 15 | alt | 0,089004857 | 1734,366 | 20998,87 |
| 16 | üst | 0,089004857 | 1734,366 | 20108,836 |
| 16 | alt | 0,102143429 | 3328,072 | 21042,137 |
| 17 | üst | 0,102143429 | 3328,072 | 17640,578 |
| 17 | alt | 0,109694286 | 1756,356 | 20108,836 |
| 18 | üst | 0,109694286 | 1756,356 | 17317,321 |
| 18 | alt | 0,116569714 | 1449,294 | 17640,578 |
| 19 | üst | 0,116569714 | 1449,294 | 16460,125 |
| 19 | alt | 0,121923429 | 1773,206 | 17317,321 |
| 20 | üst | 0,121923429 | 1773,206 | 14841,98 |
| 20 | alt | 0,126052286 | 1306,477 | 16460,125 |
| 21 | üst | 0,126052286 | 1306,477 | 13365,436 |
| 21 | alt | 0,128805143 | 1299,1 | 14841,98 |
| 22 | üst | 0,128805143 | 1299,1 | 9744,885 |
| 22 | alt | 0,130257429 | 1556,068 | 13365,436 |
| 23 | üst | 0,130257429 | 1556,068 | 4381,598 |
| 23 | alt | 0,130718571 | 1276,798 | 9744,885 |
| 24 | üst | 0,130718571 | 1276,798 | 4381,598 |

Çizelge A.13 : SF_0,77259_CHICHI02_TTN027-N.AT2 deprem analizinde mafsallı modelde oluşan deplasman ve kesme kuvvetleri.

| Kat | Kat deplasmanları (m) | Mafsal Deplasmanları (m) | Mafsal Kesme Kuvvetleri (kN) |
|-----|-----------------------|--------------------------|------------------------------|
| | x doğrultusu | z doğrultusu | z doğrultusu |
| 24 | 0,00028464 | 2,77636E-05 | 2,77636 |
| 23 | 0,00029218 | 2,75979E-05 | 2,75979 |
| 22 | 0,00022731 | 2,68165E-05 | 2,68165 |
| 21 | 0,00016585 | 2,52107E-05 | 2,52107 |
| 20 | 0,00011575 | 2,30225E-05 | 2,30225 |
| 19 | 7,27029E-05 | 2,16754E-05 | 2,16754 |
| 18 | 4,24015E-05 | 2,00859E-05 | 2,00859 |
| 17 | 6,81582E-05 | 1,82701E-05 | 1,82701 |
| 16 | 0,00010793 | 1,70358E-05 | 1,70358 |
| 15 | 0,00014083 | 1,52202E-05 | 1,52202 |
| 14 | 0,00016946 | 1,2833E-05 | 1,2833 |
| 13 | 0,00019103 | 9,6453E-06 | 0,96453001 |
| 12 | 0,0002194 | 7,96571E-06 | 0,79657146 |
| 11 | 0,00022781 | 7,97917E-06 | 0,79791662 |
| 10 | 0,0002271 | 9,55206E-06 | 0,95520631 |
| 9 | 0,00021628 | 1,17546E-05 | 1,17546 |
| 8 | 0,00019639 | 1,29765E-05 | 1,29765 |
| 7 | 0,00017033 | 1,3734E-05 | 1,3734 |
| 6 | 0,00014244 | 1,51214E-05 | 1,51214 |
| 5 | 0,00011145 | 1,56191E-05 | 1,56191 |
| 4 | 8,17865E-05 | 1,52517E-05 | 1,52517 |
| 3 | 5,50907E-05 | 1,39696E-05 | 1,39696 |
| 2 | 4,15813E-05 | 1,13157E-05 | 1,13157 |
| 1 | 4,2614E-05 | 6,71625E-06 | 0,67162512 |

**Çizelge A.14 : SF_0,77259_CHICHI02_TTN027-N.AT2 deprem analizinde
mafsallı modelde çıkan sonuçlar.**

| Kat | | Göreli Katarası Öteleme Oranı (%) | Kat Kesme Kuvvetleri (kN) | Perde Momentleri (kNm) |
|-----|-----|--------------------------------------|---------------------------|------------------------|
| 0 | alt | 0,000226507 | 94,21169 | 1142,874 |
| 1 | üst | 0,000226507 | 94,21169 | 819,7762 |
| 1 | alt | 0,000584714 | 92,75717 | 1142,874 |
| 2 | üst | 0,000584714 | 92,75717 | 549,712 |
| 2 | alt | 0,000814224 | 84,82261 | 819,7762 |
| 3 | üst | 0,000814224 | 84,82261 | 395,7511 |
| 3 | alt | 0,000928922 | 71,765 | 549,712 |
| 4 | üst | 0,000928922 | 71,765 | 337,0433 |
| 4 | alt | 0,000969139 | 61,94872 | 395,7511 |
| 5 | üst | 0,000969139 | 61,94872 | 281,0828 |
| 5 | alt | 0,000959714 | 56,08303 | 337,0433 |
| 6 | üst | 0,000959714 | 56,08303 | 335,5126 |
| 6 | alt | 0,00091 | 56,48345 | 281,0828 |
| 7 | üst | 0,00091 | 56,48345 | 436,4186 |
| 7 | alt | 0,000793429 | 50,47788 | 335,5126 |
| 8 | üst | 0,000793429 | 50,47788 | 523,629 |
| 8 | alt | 0,000740857 | 46,23906 | 436,4186 |
| 9 | üst | 0,000740857 | 46,23906 | 605,3776 |
| 9 | alt | 0,000621714 | 41,65368 | 523,629 |
| 10 | üst | 0,000621714 | 41,65368 | 679,3275 |
| 10 | alt | 0,000498571 | 38,73461 | 605,3776 |
| 11 | üst | 0,000498571 | 38,73461 | 686,278 |
| 11 | alt | 0,000474456 | 38,22544 | 679,3275 |
| 12 | üst | 0,000474456 | 38,22544 | 632,0082 |
| 12 | alt | 0,001332571 | 34,68471 | 686,278 |
| 13 | üst | 0,001332571 | 34,68471 | 635,9598 |
| 13 | alt | 0,000964 | 37,97802 | 632,0082 |
| 14 | üst | 0,000964 | 37,97802 | 644,1459 |
| 14 | alt | 0,001098286 | 40,62445 | 635,9598 |
| 15 | üst | 0,001098286 | 40,62445 | 614,5086 |
| 15 | alt | 0,001198325 | 35,27771 | 644,1459 |
| 16 | üst | 0,001198325 | 35,27771 | 602,0034 |
| 16 | alt | 0,001334079 | 39,87149 | 614,5086 |
| 17 | üst | 0,001334079 | 39,87149 | 573,0666 |
| 17 | alt | 0,001451802 | 43,73842 | 602,0034 |
| 18 | üst | 0,001451802 | 43,73842 | 524,6721 |
| 18 | alt | 0,001567936 | 40,36542 | 573,0666 |
| 19 | üst | 0,001567936 | 40,36542 | 495,9952 |
| 19 | alt | 0,001706075 | 34,02024 | 524,6721 |
| 20 | üst | 0,001706075 | 34,02024 | 427,6313 |
| 20 | alt | 0,001804353 | 35,13381 | 495,9952 |
| 21 | üst | 0,001804353 | 35,13381 | 318,0346 |
| 21 | alt | 0,001872857 | 40,27837 | 427,6313 |
| 22 | üst | 0,001872857 | 40,27837 | 188,8539 |
| 22 | alt | 0,001903429 | 37,48131 | 318,0346 |
| 23 | üst | 0,001903429 | 37,48131 | 69,96078 |
| 23 | alt | 0,004699006 | 24,7733 | 188,8539 |
| 24 | üst | 0,004699006 | 24,7733 | 69,96078 |

Çizelge A.15 : SF_0,77259_CHICHI02_TTN027-N.AT2 deprem analizinde çelik yastıklı modelde oluşan deplasman ve kesme kuvvetleri.

| Kat | Kat deplasmanları (m) | Çelik Yastık Deplasmanları (m) | Çelik Y. Kesme Kuvvetleri (kN) |
|-----|-----------------------|--------------------------------|--------------------------------|
| | x doğrultusu | z doğrultusu | z doğrultusu |
| 24 | 0,00028464 | 0,00015994 | 1,83599 |
| 23 | 0,0002192 | 0,0001595 | 1,83097 |
| 22 | 0,00015434 | 0,00015704 | 1,80264 |
| 21 | 9,89811E-05 | 0,00015132 | 1,73706 |
| 20 | 6,01507E-05 | 0,00014153 | 1,62463 |
| 19 | 4,46468E-05 | 0,00012736 | 1,46201 |
| 18 | 7,58837E-05 | 0,00010896 | 1,25082 |
| 17 | 0,00011645 | 9,69186E-05 | 1,11254 |
| 16 | 0,00014808 | 8,65872E-05 | 0,99394861 |
| 15 | 0,00016988 | 7,52079E-05 | 0,86332436 |
| 14 | 0,0001826 | 6,51328E-05 | 0,74767042 |
| 13 | 0,00018801 | 5,22659E-05 | 0,59996924 |
| 12 | 0,00019295 | 4,35969E-05 | 0,500456 |
| 11 | 0,00019637 | 5,11945E-05 | 0,58766999 |
| 10 | 0,00019738 | 5,97582E-05 | 0,68597425 |
| 9 | 0,0001904 | 6,29338E-05 | 0,72242781 |
| 8 | 0,00017715 | 6,95363E-05 | 0,79821948 |
| 7 | 0,00015878 | 7,14176E-05 | 0,81981531 |
| 6 | 0,00013596 | 7,48997E-05 | 0,85978647 |
| 5 | 0,00010892 | 8,1876E-05 | 0,93986882 |
| 4 | 7,97141E-05 | 8,38806E-05 | 0,96287913 |
| 3 | 5,06947E-05 | 7,73092E-05 | 0,88744502 |
| 2 | 4,12473E-05 | 6,16778E-05 | 0,70801 |
| 1 | 4,24754E-05 | 3,70678E-05 | 0,4255078 |

Çizelge A.16 : SF_0,77259_CHICHI02_TTN027-N.AT2 deprem analizinde çelik yastıklı modelde çıkan sonuçlar.

| Kat | Göreli Katarası Öteleme Oranı (%) | Kat Kesme Kuvvetleri (kN) | Perde Momentleri (kNm) |
|-----|-----------------------------------|---------------------------|------------------------|
| 0 | alt | 0,000218439 | 92,10592 |
| 1 | üst | 0,000218439 | 92,10592 |
| 1 | alt | 0,000560252 | 90,29544 |
| 2 | üst | 0,000560252 | 90,29544 |
| 2 | alt | 0,000777092 | 83,61161 |
| 3 | üst | 0,000777092 | 83,61161 |
| 3 | alt | 0,000898582 | 75,8449 |
| 4 | üst | 0,000898582 | 75,8449 |
| 4 | alt | 0,000920818 | 60,19499 |
| 5 | üst | 0,000920818 | 60,19499 |
| 5 | alt | 0,000853143 | 50,8197 |
| 6 | üst | 0,000853143 | 50,8197 |
| 6 | alt | 0,000786 | 47,39281 |
| 7 | üst | 0,000786 | 47,39281 |
| 7 | alt | 0,00076 | 44,57526 |
| 8 | üst | 0,00076 | 44,57526 |
| 8 | alt | 0,000701143 | 41,35634 |
| 9 | üst | 0,000701143 | 41,35634 |
| 9 | alt | 0,000666559 | 45,03195 |
| 10 | üst | 0,000666559 | 45,03195 |
| 10 | alt | 0,000595429 | 44,56943 |
| 11 | üst | 0,000595429 | 44,56943 |
| 11 | alt | 0,000492857 | 42,16739 |
| 12 | üst | 0,000492857 | 42,16739 |
| 12 | alt | 0,00055 | 37,54133 |
| 13 | üst | 0,00055 | 37,54133 |
| 13 | alt | 0,000686571 | 42,48259 |
| 14 | üst | 0,000686571 | 42,48259 |
| 14 | alt | 0,000828571 | 44,11734 |
| 15 | üst | 0,000828571 | 44,11734 |
| 15 | alt | 0,000936 | 37,63605 |
| 16 | üst | 0,000936 | 37,63605 |
| 16 | alt | 0,001073973 | 38,05772 |
| 17 | üst | 0,001073973 | 38,05772 |
| 17 | alt | 0,001177782 | 38,29565 |
| 18 | üst | 0,001177782 | 38,29565 |
| 18 | alt | 0,001404904 | 34,97662 |
| 19 | üst | 0,001404904 | 34,97662 |
| 19 | alt | 0,001590015 | 36,34028 |
| 20 | üst | 0,001590015 | 36,34028 |
| 20 | alt | 0,001725886 | 36,50466 |
| 21 | üst | 0,001725886 | 36,50466 |
| 21 | alt | 0,001813731 | 42,09351 |
| 22 | üst | 0,001813731 | 42,09351 |
| 22 | alt | 0,00186 | 39,08691 |
| 23 | üst | 0,00186 | 39,08691 |
| 23 | alt | 0,001875714 | 24,95594 |
| 24 | üst | 0,001875714 | 24,95594 |
| | | | 80,70383 |

Çizelge A.17 : SF_0,79704_ITALY_A-MER000.AT2 deprem analizinde mafsallı modelde oluşan deplasman ve kesme kuvvetleri.

| Kat | Kat deplasmanları (m) | Mafsal Deplasmanları (m) | Mafsal Kesme Kuvvetleri (kN) |
|-----|-----------------------|--------------------------|------------------------------|
| | x doğrultusu | z doğrultusu | z doğrultusu |
| 24 | 0,05762384 | 0,00179614 | 179,6139 |
| 23 | 0,0528219 | 0,00179644 | 179,6438 |
| 22 | 0,04807261 | 0,00178998 | 178,9984 |
| 21 | 0,04348486 | 0,00177615 | 177,6153 |
| 20 | 0,0388091 | 0,00175018 | 175,0177 |
| 19 | 0,03406751 | 0,00170561 | 170,5615 |
| 18 | 0,03097409 | 0,00168423 | 168,4228 |
| 17 | 0,02889093 | 0,00165283 | 165,2832 |
| 16 | 0,02764726 | 0,00160493 | 160,4928 |
| 15 | 0,02726014 | 0,00154077 | 154,0775 |
| 14 | 0,026678 | 0,001434 | 143,4003 |
| 13 | 0,02618174 | 0,00135136 | 135,1362 |
| 12 | 0,02544823 | 0,00120406 | 120,4064 |
| 11 | 0,02438952 | 0,00099844 | 99,84405 |
| 10 | 0,02310286 | 0,00099353 | 99,35348 |
| 9 | 0,02137594 | 0,00103087 | 103,0873 |
| 8 | 0,01939836 | 0,00107247 | 107,2471 |
| 7 | 0,0172703 | 0,00109638 | 109,638 |
| 6 | 0,01505053 | 0,00110831 | 110,8306 |
| 5 | 0,01282471 | 0,00108739 | 108,7394 |
| 4 | 0,01065783 | 0,00103613 | 103,6126 |
| 3 | 0,01024797 | 0,0009757 | 97,57043 |
| 2 | 0,01037533 | 0,00089656 | 89,65618 |
| 1 | 0,01043792 | 0,00074074 | 74,07358 |

Çizelge A.18 : SF_0,79704_ITALY_A-MER000.AT2 deprem analizinde mafsallı modelde çıkan sonuçlar.

| Kat | Göreli Katarası Ötelenme Oranı (%) | Kat Kesme Kuvvetleri (kN) | Perde Momentleri (kNm) |
|-----|------------------------------------|---------------------------|------------------------|
| 0 | alt | 0,033629714 | 4793,149 |
| 1 | üst | 0,033629714 | 4793,149 |
| 1 | alt | 0,060065714 | 3065,022 |
| 2 | üst | 0,060065714 | 3065,022 |
| 2 | alt | 0,066010571 | 2454,116 |
| 3 | üst | 0,066010571 | 2454,116 |
| 3 | alt | 0,069039143 | 2234,577 |
| 4 | üst | 0,069039143 | 2234,577 |
| 4 | alt | 0,072061429 | 2563,165 |
| 5 | üst | 0,072061429 | 2563,165 |
| 5 | alt | 0,073568571 | 2657,685 |
| 6 | üst | 0,073568571 | 2657,685 |
| 6 | alt | 0,074229143 | 2407,453 |
| 7 | üst | 0,074229143 | 2407,453 |
| 7 | alt | 0,073717143 | 2252,587 |
| 8 | üst | 0,073717143 | 2252,587 |
| 8 | alt | 0,071800286 | 2099,859 |
| 9 | üst | 0,071800286 | 2099,859 |
| 9 | alt | 0,070906286 | 2104,242 |
| 10 | üst | 0,070906286 | 2104,242 |
| 10 | alt | 0,082131429 | 2198,705 |
| 11 | üst | 0,082131429 | 2198,705 |
| 11 | alt | 0,093986286 | 1708,151 |
| 12 | üst | 0,093986286 | 1708,151 |
| 12 | alt | 0,115184 | 1822,978 |
| 13 | üst | 0,115184 | 1822,978 |
| 13 | alt | 0,121749143 | 1735,442 |
| 14 | üst | 0,121749143 | 1735,442 |
| 14 | alt | 0,124603714 | 1937,294 |
| 15 | üst | 0,124603714 | 1937,294 |
| 15 | alt | 0,129046286 | 2256,368 |
| 16 | üst | 0,129046286 | 2256,368 |
| 16 | alt | 0,131862286 | 1855,655 |
| 17 | üst | 0,131862286 | 1855,655 |
| 17 | alt | 0,135324857 | 2003,864 |
| 18 | üst | 0,135324857 | 2003,864 |
| 18 | alt | 0,136580286 | 2171,34 |
| 19 | üst | 0,136580286 | 2171,34 |
| 19 | alt | 0,136068286 | 1840,19 |
| 20 | üst | 0,136068286 | 1840,19 |
| 20 | alt | 0,137824 | 1889,694 |
| 21 | üst | 0,137824 | 1889,694 |
| 21 | alt | 0,139122 | 1674,221 |
| 22 | üst | 0,139122 | 1674,221 |
| 22 | alt | 0,140477143 | 1550,614 |
| 23 | üst | 0,140477143 | 1550,614 |
| 23 | alt | 0,140996857 | 1887,747 |
| 24 | üst | 0,140996857 | 1887,747 |

**Çizelge A.19 : SF_0,79704_ITALY_A-MER000.AT2 deprem analizinde
çelik yastıklı modelde oluşan deplasman ve kesme kuvvetleri.**

| Kat | Kat deplasmanları (m) | Çelik Yastık Deplasmanları (m) | Çelik Y. Kesme Kuvvetleri (kN) |
|-----|-----------------------|--------------------------------|--------------------------------|
| | x doğrultusu | z doğrultusu | z doğrultusu |
| 24 | 0,07278219 | 0,01472494 | 169,0301 |
| 23 | 0,06368332 | 0,01470806 | 168,8363 |
| 22 | 0,05457235 | 0,01460391 | 167,6407 |
| 21 | 0,04556972 | 0,01437315 | 164,9918 |
| 20 | 0,03858599 | 0,01402537 | 160,9996 |
| 19 | 0,03400156 | 0,01356443 | 155,7084 |
| 18 | 0,03658255 | 0,01254655 | 144,0239 |
| 17 | 0,03892305 | 0,01203982 | 138,2071 |
| 16 | 0,04069966 | 0,01156978 | 132,8114 |
| 15 | 0,04175548 | 0,01076702 | 123,5965 |
| 14 | 0,04177178 | 0,00768604 | 88,22933 |
| 13 | 0,04127144 | 0,00679736 | 78,02802 |
| 12 | 0,03918258 | 0,00605754 | 69,53556 |
| 11 | 0,036408 | 0,00616619 | 70,78273 |
| 10 | 0,03295888 | 0,00660855 | 75,8607 |
| 9 | 0,02931134 | 0,00681421 | 78,22152 |
| 8 | 0,0255024 | 0,00713105 | 81,8585 |
| 7 | 0,02162219 | 0,00734583 | 84,32403 |
| 6 | 0,01765649 | 0,00736887 | 84,58847 |
| 5 | 0,01368718 | 0,00720246 | 82,67821 |
| 4 | 0,01131789 | 0,00683864 | 78,50195 |
| 3 | 0,0100337 | 0,00626188 | 71,8812 |
| 2 | 0,01026709 | 0,00568369 | 65,24403 |
| 1 | 0,01040663 | 0,00474232 | 54,43792 |

**Çizelge A.20 : SF_0,79704_ITALY_A-MER000.AT2 deprem analizinde
çelik yastıklı modelde çıkan sonuçlar.**

| Kat | | Göreli Katarası Öteleme Oranı (%) | Kat Kesme Kuvvetleri (kN) | Perde Momentleri (kNm) |
|-----|-----|--------------------------------------|---------------------------|------------------------|
| 0 | alt | 0,044602857 | 4392,913 | 36509,668 |
| 1 | üst | 0,044602857 | 4392,913 | 31361,733 |
| 1 | alt | 0,091996571 | 3329,94 | 36509,668 |
| 2 | üst | 0,091996571 | 3329,94 | 26920,631 |
| 2 | alt | 0,103966286 | 3165,081 | 31361,733 |
| 3 | üst | 0,103966286 | 3165,081 | 23824,891 |
| 3 | alt | 0,109125714 | 3034,909 | 26920,631 |
| 4 | üst | 0,109125714 | 3034,909 | 21749,103 |
| 4 | alt | 0,112785714 | 3065,65 | 23824,891 |
| 5 | üst | 0,112785714 | 3065,65 | 21740,102 |
| 5 | alt | 0,114357714 | 2799,852 | 21749,103 |
| 6 | üst | 0,114357714 | 2799,852 | 22208,079 |
| 6 | alt | 0,114028 | 3151,107 | 21740,102 |
| 7 | üst | 0,114028 | 3151,107 | 22799,138 |
| 7 | alt | 0,112839429 | 2724,804 | 22208,079 |
| 8 | üst | 0,112839429 | 2724,804 | 24292,842 |
| 8 | alt | 0,111809429 | 2462,848 | 22799,138 |
| 9 | üst | 0,111809429 | 2462,848 | 24276,186 |
| 9 | alt | 0,108890286 | 2874,906 | 24292,842 |
| 10 | üst | 0,108890286 | 2874,906 | 25477,239 |
| 10 | alt | 0,098708857 | 2686,215 | 24276,186 |
| 11 | üst | 0,098708857 | 2686,215 | 24210,57 |
| 11 | alt | 0,092265429 | 2890,751 | 25477,239 |
| 12 | üst | 0,092265429 | 2890,751 | 23663,83 |
| 12 | alt | 0,093842571 | 2463,956 | 24210,57 |
| 13 | üst | 0,093842571 | 2463,956 | 22432,892 |
| 13 | alt | 0,10363 | 2271,14 | 23663,83 |
| 14 | üst | 0,10363 | 2271,14 | 21791,32 |
| 14 | alt | 0,149060286 | 2723,838 | 22432,892 |
| 15 | üst | 0,149060286 | 2723,838 | 22562,405 |
| 15 | alt | 0,190922857 | 2385,874 | 21791,32 |
| 16 | üst | 0,190922857 | 2385,874 | 21852,869 |
| 16 | alt | 0,202573143 | 3029,282 | 22562,405 |
| 17 | üst | 0,202573143 | 3029,282 | 19161,396 |
| 17 | alt | 0,242880857 | 2854,011 | 21852,869 |
| 18 | üst | 0,242880857 | 2854,011 | 20156,392 |
| 18 | alt | 0,254957429 | 3399,828 | 19161,396 |
| 19 | üst | 0,254957429 | 3399,828 | 20068,846 |
| 19 | alt | 0,259738286 | 2774,985 | 20156,392 |
| 20 | üst | 0,259738286 | 2774,985 | 18799,559 |
| 20 | alt | 0,261827429 | 2373,501 | 20068,846 |
| 21 | üst | 0,261827429 | 2373,501 | 15562,802 |
| 21 | alt | 0,263718857 | 2136,195 | 18799,559 |
| 22 | üst | 0,263718857 | 2136,195 | 14495,632 |
| 22 | alt | 0,265274286 | 2126,818 | 15562,802 |
| 23 | üst | 0,265274286 | 2126,818 | 9750,063 |
| 23 | alt | 0,26608 | 2720,92 | 14495,632 |
| 24 | üst | 0,26608 | 2720,92 | 9750,063 |

Çizelge A.21 : SF_0,80771_LIVERMOR_B-DVD156.AT2 deprem analizinde mafsallı modelde oluşan deplasman ve kesme kuvvetleri.

| Kat | Kat deplasmanları (m) | Mafsal Deplasmanları (m) | Mafsal Kesme Kuvvetleri (kN) |
|-----|-----------------------|--------------------------|------------------------------|
| | x doğrultusu | z doğrultusu | z doğrultusu |
| 24 | 0,0054541 | 0,00042498 | 42,49794 |
| 23 | 0,00453339 | 0,00042336 | 42,33556 |
| 22 | 0,00362351 | 0,0004145 | 41,45026 |
| 21 | 0,00305542 | 0,00039481 | 39,48122 |
| 20 | 0,00272039 | 0,00036298 | 36,29811 |
| 19 | 0,00234377 | 0,00031972 | 31,97159 |
| 18 | 0,00247185 | 0,00027108 | 27,10757 |
| 17 | 0,00287226 | 0,00024651 | 24,65141 |
| 16 | 0,0031273 | 0,00024695 | 24,69468 |
| 15 | 0,0032492 | 0,00024437 | 24,43669 |
| 14 | 0,00325943 | 0,00022927 | 22,92701 |
| 13 | 0,00318092 | 0,00020095 | 20,09518 |
| 12 | 0,00304784 | 0,00017203 | 17,20321 |
| 11 | 0,00302898 | 0,00016196 | 16,1955 |
| 10 | 0,00317341 | 0,00017546 | 17,5459 |
| 9 | 0,0032002 | 0,00018178 | 18,17778 |
| 8 | 0,00310028 | 0,0001814 | 18,14011 |
| 7 | 0,00287749 | 0,00017608 | 17,60824 |
| 6 | 0,0025821 | 0,00018468 | 18,46777 |
| 5 | 0,00224415 | 0,00021168 | 21,16758 |
| 4 | 0,00192166 | 0,0002218 | 22,17971 |
| 3 | 0,00159091 | 0,0002094 | 20,93967 |
| 2 | 0,00130975 | 0,00016975 | 16,97455 |
| 1 | 0,00119415 | 0,00010036 | 10,03555 |

Çizelge A.22 : SF_0,80771_LIVERMOR_B-DVD156.AT2 deprem analizinde mafsallı modelde çıkan sonuçlar.

| Kat | | Göreli Katarası Ötelenme Oranı (%) | Kat Kesme Kuvvetleri (kN) | Perde Momentleri (kNm) |
|-----|-----|------------------------------------|---------------------------|------------------------|
| 0 | alt | 0,003386 | 1334,057 | 16908,871 |
| 1 | üst | 0,003386 | 1334,057 | 12356,371 |
| 1 | alt | 0,008820857 | 1306,84 | 16908,871 |
| 2 | üst | 0,008820857 | 1306,84 | 7906,802 |
| 2 | alt | 0,012293429 | 1235,837 | 12356,371 |
| 3 | üst | 0,012293429 | 1235,837 | 4366,031 |
| 3 | alt | 0,013917429 | 1107,903 | 7906,802 |
| 4 | üst | 0,013917429 | 1107,903 | 4080,055 |
| 4 | alt | 0,013940286 | 923,7998 | 4366,031 |
| 5 | üst | 0,013940286 | 923,7998 | 4748,838 |
| 5 | alt | 0,012645143 | 720,3553 | 4080,055 |
| 6 | üst | 0,012645143 | 720,3553 | 5869,427 |
| 6 | alt | 0,010956857 | 578,8065 | 4748,838 |
| 7 | üst | 0,010956857 | 578,8065 | 7244,405 |
| 7 | alt | 0,011276571 | 472,1899 | 5869,427 |
| 8 | üst | 0,011276571 | 472,1899 | 8084,354 |
| 8 | alt | 0,011373714 | 559,5579 | 7244,405 |
| 9 | üst | 0,011373714 | 559,5579 | 8511,977 |
| 9 | alt | 0,011042857 | 627,8403 | 8084,354 |
| 10 | üst | 0,011042857 | 627,8403 | 8632,326 |
| 10 | alt | 0,010408 | 629,7559 | 8511,977 |
| 11 | üst | 0,010408 | 629,7559 | 8178,1 |
| 11 | alt | 0,010807143 | 565,2448 | 8632,326 |
| 12 | üst | 0,010807143 | 565,2448 | 7314,443 |
| 12 | alt | 0,013015143 | 514,1042 | 8178,1 |
| 13 | üst | 0,013015143 | 514,1042 | 8227,641 |
| 13 | alt | 0,014968857 | 581,4589 | 7314,443 |
| 14 | üst | 0,014968857 | 581,4589 | 9224,183 |
| 14 | alt | 0,016461478 | 608,201 | 8227,641 |
| 15 | üst | 0,016461478 | 608,201 | 9604,692 |
| 15 | alt | 0,01710338 | 567,2353 | 9224,183 |
| 16 | üst | 0,01710338 | 567,2353 | 9718,633 |
| 16 | alt | 0,017266286 | 462,8452 | 9604,692 |
| 17 | üst | 0,017266286 | 462,8452 | 9858,201 |
| 17 | alt | 0,017763429 | 385,8397 | 9718,633 |
| 18 | üst | 0,017763429 | 385,8397 | 9379,54 |
| 18 | alt | 0,021070121 | 470,1564 | 9858,201 |
| 19 | üst | 0,021070121 | 470,1564 | 8239,02 |
| 19 | alt | 0,024254 | 520,8087 | 9379,54 |
| 20 | üst | 0,024254 | 520,8087 | 6558,222 |
| 20 | alt | 0,026755143 | 613,6452 | 8239,02 |
| 21 | üst | 0,026755143 | 613,6452 | 4557,203 |
| 21 | alt | 0,028472 | 620,5627 | 6558,222 |
| 22 | üst | 0,028472 | 620,5627 | 2549,446 |
| 22 | alt | 0,029421143 | 519,7473 | 4557,203 |
| 23 | üst | 0,029421143 | 519,7473 | 891,585 |
| 23 | alt | 0,029758571 | 300,4566 | 2549,446 |
| 24 | üst | 0,029758571 | 300,4566 | 891,585 |

Çizelge A.23 : SF_0,80771_LIVERMOR_B-DVD156.AT2 deprem analizinde çelik yastıklı modelde oluşan deplasman ve kesme kuvvetleri.

| Kat | Kat deplasmanları (m) | Çelik Yastık Deplasmanları (m) | Çelik Y. Kesme Kuvvetleri (kN) |
|-----|-----------------------|--------------------------------|--------------------------------|
| | x doğrultusu | z doğrultusu | z doğrultusu |
| 24 | 0,00751534 | 0,00317307 | 36,42416 |
| 23 | 0,00621994 | 0,00316532 | 36,33525 |
| 22 | 0,00494282 | 0,00312411 | 35,86215 |
| 21 | 0,00371024 | 0,00303016 | 34,7837 |
| 20 | 0,00299999 | 0,00287261 | 32,97521 |
| 19 | 0,00251001 | 0,00265044 | 30,42483 |
| 18 | 0,00311487 | 0,00236993 | 27,20486 |
| 17 | 0,00365004 | 0,00203605 | 23,37222 |
| 16 | 0,00402491 | 0,00182254 | 20,92125 |
| 15 | 0,00422937 | 0,00172809 | 19,83707 |
| 14 | 0,00428046 | 0,00154863 | 17,77703 |
| 13 | 0,00422857 | 0,00128568 | 14,75853 |
| 12 | 0,00433846 | 0,00098532 | 11,31063 |
| 11 | 0,00436002 | 0,00100189 | 11,50083 |
| 10 | 0,00427736 | 0,00113711 | 13,05303 |
| 9 | 0,00408902 | 0,00125799 | 14,4407 |
| 8 | 0,00379296 | 0,00128815 | 14,78691 |
| 7 | 0,00346115 | 0,00137082 | 15,7359 |
| 6 | 0,00303703 | 0,00149777 | 17,19312 |
| 5 | 0,00251447 | 0,0016001 | 18,36778 |
| 4 | 0,00201511 | 0,00161505 | 18,53948 |
| 3 | 0,00164189 | 0,00148931 | 17,09609 |
| 2 | 0,00135366 | 0,00118595 | 13,61371 |
| 1 | 0,00121198 | 0,00069351 | 7,96097 |

Çizelge A.24 : SF_0,80771_LIVERMOR_B-DVD156.AT2 deprem analizinde çelik yastıklı modelde çıkan sonuçlar.

| Kat | | Göreli Katarası Öteleme Oranı (%) | Kat Kesme Kuvvetleri (kN) | Perde Momentleri (kNm) |
|-----|-----|-----------------------------------|---------------------------|------------------------|
| 0 | alt | 0,004044571 | 1531,049 | 20107,732 |
| 1 | üst | 0,004044571 | 1531,049 | 14966,584 |
| 1 | alt | 0,010622571 | 1505,82 | 20107,732 |
| 2 | üst | 0,010622571 | 1505,82 | 10036,948 |
| 2 | alt | 0,015026 | 1428,049 | 14966,584 |
| 3 | üst | 0,015026 | 1428,049 | 6184,148 |
| 3 | alt | 0,017370857 | 1284,627 | 10036,948 |
| 4 | üst | 0,017370857 | 1284,627 | 5105,593 |
| 4 | alt | 0,017917143 | 1078,091 | 6184,148 |
| 5 | üst | 0,017917143 | 1078,091 | 5050,562 |
| 5 | alt | 0,017133143 | 861,3114 | 5105,593 |
| 6 | üst | 0,017133143 | 861,3114 | 6553,271 |
| 6 | alt | 0,015768 | 720,6805 | 5050,562 |
| 7 | üst | 0,015768 | 720,6805 | 8379,784 |
| 7 | alt | 0,014199143 | 623,6112 | 6553,271 |
| 8 | üst | 0,014199143 | 623,6112 | 9280,915 |
| 8 | alt | 0,013834571 | 671,1776 | 8379,784 |
| 9 | üst | 0,013834571 | 671,1776 | 10439,934 |
| 9 | alt | 0,012923714 | 697,869 | 9280,915 |
| 10 | üst | 0,012923714 | 697,869 | 10893,44 |
| 10 | alt | 0,011529429 | 673,3036 | 10439,934 |
| 11 | üst | 0,011529429 | 673,3036 | 10571,334 |
| 11 | alt | 0,010306571 | 598,6811 | 10893,44 |
| 12 | üst | 0,010306571 | 598,6811 | 9872,396 |
| 12 | alt | 0,013437714 | 510,9098 | 10571,334 |
| 13 | üst | 0,013437714 | 510,9098 | 11094,125 |
| 13 | alt | 0,016864857 | 605,1748 | 9872,396 |
| 14 | üst | 0,016864857 | 605,1748 | 11768,673 |
| 14 | alt | 0,01940408 | 655,5787 | 11094,125 |
| 15 | üst | 0,01940408 | 655,5787 | 11881,475 |
| 15 | alt | 0,020996286 | 633,1567 | 11768,673 |
| 16 | üst | 0,020996286 | 633,1567 | 11604,472 |
| 16 | alt | 0,022342286 | 543,372 | 11881,475 |
| 17 | üst | 0,022342286 | 543,372 | 11391,317 |
| 17 | alt | 0,026365714 | 491,2469 | 11604,472 |
| 18 | üst | 0,026365714 | 491,2469 | 10745,478 |
| 18 | alt | 0,029892571 | 560,5774 | 11391,317 |
| 19 | üst | 0,029892571 | 560,5774 | 9391,107 |
| 19 | alt | 0,032769143 | 598,9441 | 10745,478 |
| 20 | üst | 0,032769143 | 598,9441 | 7456,319 |
| 20 | alt | 0,034924571 | 689,7903 | 9391,107 |
| 21 | üst | 0,034924571 | 689,7903 | 5179,988 |
| 21 | alt | 0,036392571 | 694,1484 | 7456,319 |
| 22 | üst | 0,036392571 | 694,1484 | 2896,555 |
| 22 | alt | 0,037156 | 579,7502 | 5179,988 |
| 23 | üst | 0,037156 | 579,7502 | 1017,501 |
| 23 | alt | 0,037442571 | 333,9481 | 2896,555 |
| 24 | üst | 0,037442571 | 333,9481 | 1017,501 |

Çizelge A.25 : SF_0,83335_CHICHI06_TCU119-E.AT2 deprem analizinde mafsallı modelde oluşan deplasman ve kesme kuvvetleri.

| Kat | Kat deplasmanları (m) | Mafsal Deplasmanları (m) | Mafsal Kesme Kuvvetleri (kN) |
|-----|-----------------------|--------------------------|------------------------------|
| | x doğrultusu | z doğrultusu | z doğrultusu |
| 24 | 0,16611539 | 0,0029107 | 291,0703 |
| 23 | 0,15747565 | 0,00291871 | 291,8711 |
| 22 | 0,14982011 | 0,00292993 | 292,9932 |
| 21 | 0,14237048 | 0,00294088 | 294,0882 |
| 20 | 0,13519566 | 0,00294881 | 294,881 |
| 19 | 0,12809514 | 0,00295236 | 295,2363 |
| 18 | 0,12095413 | 0,00294823 | 294,8231 |
| 17 | 0,11381759 | 0,00293423 | 293,4229 |
| 16 | 0,10671078 | 0,00291107 | 291,1075 |
| 15 | 0,09955654 | 0,00289737 | 289,7371 |
| 14 | 0,09232883 | 0,002872 | 287,1997 |
| 13 | 0,085028 | 0,00283443 | 283,4435 |
| 12 | 0,07767869 | 0,00278482 | 278,4815 |
| 11 | 0,07030106 | 0,00276725 | 276,7253 |
| 10 | 0,06288831 | 0,00276696 | 276,6965 |
| 9 | 0,05545124 | 0,00275447 | 275,4467 |
| 8 | 0,04800904 | 0,00274054 | 274,0543 |
| 7 | 0,04059837 | 0,0027128 | 271,2799 |
| 6 | 0,03528197 | 0,00268539 | 268,5385 |
| 5 | 0,03048567 | 0,00262565 | 262,5649 |
| 4 | 0,025784 | 0,0024728 | 247,2802 |
| 3 | 0,02205223 | 0,00226908 | 226,9083 |
| 2 | 0,02068979 | 0,0019432 | 194,3205 |
| 1 | 0,0215561 | 0,00126237 | 126,2369 |

Çizelge A.26 : SF_0,83335_CHICHI06_TCU119-E.AT2 deprem analizinde mafsallı modelde çıkan sonuçlar.

| Kat | Göreli Katarası Ötelenme Oranı (%) | Kat Kesme Kuvvetleri (kN) | Perde Momentleri (kNm) |
|-----|------------------------------------|---------------------------|------------------------|
| 0 | alt | 0,051806 | 3039,61 |
| 1 | üst | 0,051806 | 3039,61 |
| 1 | alt | 0,132966857 | 4234,708 |
| 2 | üst | 0,132966857 | 4234,708 |
| 2 | alt | 0,160608286 | 2688,271 |
| 3 | üst | 0,160608286 | 2688,271 |
| 3 | alt | 0,181274571 | 2102,018 |
| 4 | üst | 0,181274571 | 2102,018 |
| 4 | alt | 0,196852286 | 2815,993 |
| 5 | üst | 0,196852286 | 2815,993 |
| 5 | alt | 0,205920857 | 1843,36 |
| 6 | üst | 0,205920857 | 1843,36 |
| 6 | alt | 0,212321429 | 1678,932 |
| 7 | üst | 0,212321429 | 1678,932 |
| 7 | alt | 0,217880571 | 1786,114 |
| 8 | üst | 0,217880571 | 1786,114 |
| 8 | alt | 0,222110857 | 1706,494 |
| 9 | üst | 0,222110857 | 1706,494 |
| 9 | alt | 0,224728 | 1638,614 |
| 10 | üst | 0,224728 | 1638,614 |
| 10 | alt | 0,226602571 | 1443,788 |
| 11 | üst | 0,226602571 | 1443,788 |
| 11 | alt | 0,231084571 | 1416,962 |
| 12 | üst | 0,231084571 | 1416,962 |
| 12 | alt | 0,235578571 | 1388,489 |
| 13 | üst | 0,235578571 | 1388,489 |
| 13 | alt | 0,239435714 | 1392,81 |
| 14 | üst | 0,239435714 | 1392,81 |
| 14 | alt | 0,243042857 | 1368,98 |
| 15 | üst | 0,243042857 | 1368,98 |
| 15 | alt | 0,24673 | 1311,235 |
| 16 | üst | 0,24673 | 1311,235 |
| 16 | alt | 0,249458857 | 1350,568 |
| 17 | üst | 0,249458857 | 1350,568 |
| 17 | alt | 0,252168286 | 1280,922 |
| 18 | üst | 0,252168286 | 1280,922 |
| 18 | alt | 0,254065429 | 1140,173 |
| 19 | üst | 0,254065429 | 1140,173 |
| 19 | alt | 0,255171143 | 1063,475 |
| 20 | üst | 0,255171143 | 1063,475 |
| 20 | alt | 0,255579429 | 1212,852 |
| 21 | üst | 0,255579429 | 1212,852 |
| 21 | alt | 0,255474 | 1111,805 |
| 22 | üst | 0,255474 | 1111,805 |
| 22 | alt | 0,255044571 | 1086,718 |
| 23 | üst | 0,255044571 | 1086,718 |
| 23 | alt | 0,254559429 | 768,6512 |
| 24 | üst | 0,254559429 | 768,6512 |

Çizelge A.27 : SF_0,83335_CHICHI06_TCU119-E.AT2 deprem analizinde çelik yastıklı modelde oluşan deplasman ve kesme kuvvetleri.

| Kat | Kat deplasmanları (m) | Çelik Yastık Deplasmanları (m) | Çelik Y. Kesme Kuvvetleri (kN) |
|-----|-----------------------|--------------------------------|--------------------------------|
| | x doğrultusu | z doğrultusu | z doğrultusu |
| 24 | 0,20868694 | 0,01775989 | 203,8688 |
| 23 | 0,19823889 | 0,01778935 | 204,207 |
| 22 | 0,18779607 | 0,01783653 | 204,7485 |
| 21 | 0,17735136 | 0,01789148 | 205,3794 |
| 20 | 0,16692188 | 0,01792971 | 205,8182 |
| 19 | 0,15654318 | 0,01793756 | 205,9082 |
| 18 | 0,14616465 | 0,01790459 | 205,5298 |
| 17 | 0,13588922 | 0,01782171 | 204,5785 |
| 16 | 0,12617978 | 0,01768053 | 202,9578 |
| 15 | 0,11654699 | 0,01749968 | 200,8818 |
| 14 | 0,10704492 | 0,01725135 | 198,0311 |
| 13 | 0,09752324 | 0,01696845 | 194,7837 |
| 12 | 0,08798658 | 0,01672703 | 192,0124 |
| 11 | 0,07933382 | 0,01639805 | 188,236 |
| 10 | 0,07273924 | 0,01639561 | 188,208 |
| 9 | 0,06608261 | 0,0162909 | 187,006 |
| 8 | 0,05937775 | 0,01610537 | 184,8763 |
| 7 | 0,05263945 | 0,01592652 | 182,8232 |
| 6 | 0,04591011 | 0,01556513 | 178,6748 |
| 5 | 0,03923825 | 0,01483455 | 170,2883 |
| 4 | 0,03266512 | 0,01376997 | 158,0679 |
| 3 | 0,02625732 | 0,01247754 | 143,2318 |
| 2 | 0,02334156 | 0,01022238 | 117,3445 |
| 1 | 0,02258734 | 0,0063475 | 72,86401 |

Çizelge A.28 : SF_0,83335_CHICHI06_TCU119-E.AT2 deprem analizinde çelik yastıklı modelde çıkan sonuçlar.

| Kat | Göreli Katarası Ötelenme Oranı (%) | Kat Kesme Kuvvetleri (kN) | Perde Momentleri (kNm) |
|-----|------------------------------------|---------------------------|------------------------|
| 0 | 0,056463429 | 2271,99 | 40032,309 |
| 1 | 0,056463429 | 2271,99 | 34942,934 |
| 1 | 0,145542 | 3332,284 | 40032,309 |
| 2 | 0,145542 | 3332,284 | 31250,83 |
| 2 | 0,210234286 | 2320,99 | 34942,934 |
| 3 | 0,210234286 | 2320,99 | 28801,021 |
| 3 | 0,238071429 | 1833,701 | 31250,83 |
| 4 | 0,238071429 | 1833,701 | 27941,422 |
| 4 | 0,245934286 | 1764,787 | 28801,021 |
| 5 | 0,245934286 | 1764,787 | 27277,062 |
| 5 | 0,252370857 | 1588,515 | 27941,422 |
| 6 | 0,252370857 | 1588,515 | 26454,883 |
| 6 | 0,258875714 | 1404,513 | 27277,062 |
| 7 | 0,258875714 | 1404,513 | 25331,977 |
| 7 | 0,267406571 | 1360,202 | 26454,883 |
| 8 | 0,267406571 | 1360,202 | 23794,841 |
| 8 | 0,270673714 | 1329,733 | 25331,977 |
| 9 | 0,270673714 | 1329,733 | 22626,126 |
| 9 | 0,272799429 | 1139,277 | 23794,841 |
| 10 | 0,272799429 | 1139,277 | 22316,586 |
| 10 | 0,275182 | 1237,005 | 22626,126 |
| 11 | 0,275182 | 1237,005 | 21694,227 |
| 11 | 0,279788 | 1235,411 | 22316,586 |
| 12 | 0,279788 | 1235,411 | 20687,301 |
| 12 | 0,283442286 | 1192,735 | 21694,227 |
| 13 | 0,283442286 | 1192,735 | 19246,183 |
| 13 | 0,287360857 | 1220,649 | 20687,301 |
| 14 | 0,287360857 | 1220,649 | 18078,382 |
| 14 | 0,290179143 | 1196,241 | 19246,183 |
| 15 | 0,290179143 | 1196,241 | 18139,105 |
| 15 | 0,291827143 | 1215,386 | 18078,382 |
| 16 | 0,291827143 | 1215,386 | 17933,302 |
| 16 | 0,294300571 | 1307,763 | 18139,105 |
| 17 | 0,294300571 | 1307,763 | 16551,49 |
| 17 | 0,295904286 | 1237,334 | 17933,302 |
| 18 | 0,295904286 | 1237,334 | 14248,965 |
| 18 | 0,296846571 | 1223,609 | 16551,49 |
| 19 | 0,296846571 | 1223,609 | 12455,86 |
| 19 | 0,298083429 | 1082,287 | 14248,965 |
| 20 | 0,298083429 | 1082,287 | 10455,973 |
| 20 | 0,298639714 | 1128,647 | 12455,86 |
| 21 | 0,298639714 | 1128,647 | 8609,381 |
| 21 | 0,298806 | 950,3867 | 10455,973 |
| 22 | 0,298806 | 950,3867 | 5561,733 |
| 22 | 0,298988 | 1001,21 | 8609,381 |
| 23 | 0,298988 | 1001,21 | 2481,007 |
| 23 | 0,298923143 | 720,2526 | 5561,733 |
| 24 | 0,298923143 | 720,2526 | 2481,007 |

Çizelge A.29 : SF_0,84063_MAMMOTH_H-MGE000.AT2 deprem analizinde mafsallı modelde oluşan deplasman ve kesme kuvvetleri.

| Kat | Kat deplasmanları (m) | Mafsal Deplasmanları (m) | Mafsal Kesme Kuvvetleri (kN) |
|-----|-----------------------|--------------------------|------------------------------|
| | x doğrultusu | z doğrultusu | z doğrultusu |
| 24 | 0,00305196 | 0,00027712 | 27,71193 |
| 23 | 0,00236573 | 0,00027553 | 27,55331 |
| 22 | 0,0017057 | 0,00026809 | 26,80942 |
| 21 | 0,00114124 | 0,00025273 | 25,27292 |
| 20 | 0,00066911 | 0,00023162 | 23,16238 |
| 19 | 0,00029816 | 0,00021781 | 21,7805 |
| 18 | 0,00065125 | 0,00020567 | 20,56736 |
| 17 | 0,00099612 | 0,00018538 | 18,53814 |
| 16 | 0,00134598 | 0,00015731 | 15,73085 |
| 15 | 0,00166022 | 0,00013345 | 13,34459 |
| 14 | 0,00189738 | 0,00011271 | 11,27132 |
| 13 | 0,00203828 | 8,37842E-05 | 8,37842 |
| 12 | 0,00208468 | 4,96233E-05 | 4,96233 |
| 11 | 0,00207182 | 7,14799E-05 | 7,14799 |
| 10 | 0,00205608 | 9,60592E-05 | 9,60592 |
| 9 | 0,00197494 | 0,00011558 | 11,55805 |
| 8 | 0,00184532 | 0,0001257 | 12,57018 |
| 7 | 0,00169985 | 0,0001301 | 13,01038 |
| 6 | 0,00156378 | 0,0001308 | 13,07995 |
| 5 | 0,0013966 | 0,00012797 | 12,79721 |
| 4 | 0,0011991 | 0,00013 | 12,99994 |
| 3 | 0,00098887 | 0,00012076 | 12,07625 |
| 2 | 0,00080357 | 0,0001011 | 10,11008 |
| 1 | 0,00072049 | 6,131E-05 | 6,131 |

Çizelge A.30 : SF_0,84063_MAMMOTH_H-MGE000.AT2 deprem analizinde mafsallı modelde çıkan sonuçlar.

| Kat | | Göreli Katarası Öteleme Oranı (%) | Kat Kesme Kuvvetleri (kN) | Perde Momentleri (kNm) |
|-----|-----|-----------------------------------|---------------------------|------------------------|
| 0 | alt | 0,002077624 | 919,84 | 10516,45 |
| 1 | üst | 0,002077624 | 919,84 | 7324,21 |
| 1 | alt | 0,005300661 | 895,4042 | 10516,45 |
| 2 | üst | 0,005300661 | 895,4042 | 4608,386 |
| 2 | alt | 0,007174286 | 815,8373 | 7324,21 |
| 3 | üst | 0,007174286 | 815,8373 | 3567,57 |
| 3 | alt | 0,007966 | 675,3618 | 4608,386 |
| 4 | üst | 0,007966 | 675,3618 | 3542,639 |
| 4 | alt | 0,008129714 | 536,3931 | 3567,57 |
| 5 | üst | 0,008129714 | 536,3931 | 3223,411 |
| 5 | alt | 0,008060571 | 452,031 | 3542,639 |
| 6 | üst | 0,008060571 | 452,031 | 3568,074 |
| 6 | alt | 0,008156571 | 490,9689 | 3223,411 |
| 7 | üst | 0,008156571 | 490,9689 | 4104,984 |
| 7 | alt | 0,007792857 | 501,9508 | 3568,074 |
| 8 | üst | 0,007792857 | 501,9508 | 4503,729 |
| 8 | alt | 0,007437714 | 519,8595 | 4104,984 |
| 9 | üst | 0,007437714 | 519,8595 | 4889,372 |
| 9 | alt | 0,006365714 | 465,6287 | 4503,729 |
| 10 | üst | 0,006365714 | 465,6287 | 5671,132 |
| 10 | alt | 0,004768 | 399,4149 | 4889,372 |
| 11 | üst | 0,004768 | 399,4149 | 5953,381 |
| 11 | alt | 0,003271714 | 310,2532 | 5671,132 |
| 12 | üst | 0,003271714 | 310,2532 | 6270,581 |
| 12 | alt | 0,004538571 | 275,7647 | 5953,381 |
| 13 | üst | 0,004538571 | 275,7647 | 6608,211 |
| 13 | alt | 0,006660286 | 335,3107 | 6270,581 |
| 14 | üst | 0,006660286 | 335,3107 | 6609,387 |
| 14 | alt | 0,008325714 | 387,5705 | 6608,211 |
| 15 | üst | 0,008325714 | 387,5705 | 6096,872 |
| 15 | alt | 0,009905714 | 400,0171 | 6609,387 |
| 16 | üst | 0,009905714 | 400,0171 | 5428,765 |
| 16 | alt | 0,011818571 | 418,0784 | 6096,872 |
| 17 | üst | 0,011818571 | 418,0784 | 5427,665 |
| 17 | alt | 0,013475429 | 432,7744 | 5428,765 |
| 18 | üst | 0,013475429 | 432,7744 | 5453,579 |
| 18 | alt | 0,014593429 | 390,3996 | 5427,665 |
| 19 | üst | 0,014593429 | 390,3996 | 5292,157 |
| 19 | alt | 0,015702286 | 308,0888 | 5453,579 |
| 20 | üst | 0,015702286 | 308,0888 | 4602,553 |
| 20 | alt | 0,017360857 | 357,0068 | 5292,157 |
| 21 | üst | 0,017360857 | 357,0068 | 3453,371 |
| 21 | alt | 0,018649143 | 429,2185 | 4602,553 |
| 22 | üst | 0,018649143 | 429,2185 | 2059,659 |
| 22 | alt | 0,019409143 | 402,3011 | 3453,371 |
| 23 | üst | 0,019409143 | 402,3011 | 764,43 |
| 23 | alt | 0,019700571 | 250,9766 | 2059,659 |
| 24 | üst | 0,019700571 | 250,9766 | 764,43 |

Çizelge A.31 : SF_0,84063_MAMMOTH_H-MGE000.AT2 deprem analizinde çelik yastıklı modelde oluşan deplasman ve kesme kuvvetleri.

| Kat | Kat deplasmanları (m) | Çelik Yastık Deplasmanları (m) | Celik Y. Kesme Kuvvetleri (kN) |
|-----|-----------------------|--------------------------------|--------------------------------|
| | x doğrultusu | z doğrultusu | z doğrultusu |
| 24 | 0,00334849 | 0,00176794 | 20,2945 |
| 23 | 0,00264273 | 0,00175709 | 20,16994 |
| 22 | 0,00194965 | 0,00171483 | 19,6848 |
| 21 | 0,00131892 | 0,00165434 | 18,9904 |
| 20 | 0,00070823 | 0,00157587 | 18,08963 |
| 19 | 0,00032705 | 0,00147609 | 16,94423 |
| 18 | 0,00076089 | 0,00140177 | 16,0912 |
| 17 | 0,00116424 | 0,00127811 | 14,67164 |
| 16 | 0,00160477 | 0,00109581 | 12,579 |
| 15 | 0,00196628 | 0,00086378 | 9,91548 |
| 14 | 0,0022364 | 0,00068809 | 7,89871 |
| 13 | 0,00242822 | 0,00050022 | 5,74215 |
| 12 | 0,00250646 | 0,00034719 | 3,9855 |
| 11 | 0,00248212 | 0,00039312 | 4,51264 |
| 10 | 0,00236975 | 0,00053426 | 6,13287 |
| 9 | 0,00219987 | 0,00068935 | 7,91317 |
| 8 | 0,00199767 | 0,00080463 | 9,23654 |
| 7 | 0,00177197 | 0,00084875 | 9,74292 |
| 6 | 0,00162429 | 0,00083401 | 9,57377 |
| 5 | 0,00143739 | 0,00081225 | 9,32401 |
| 4 | 0,00121923 | 0,0008203 | 9,41639 |
| 3 | 0,00099154 | 0,00075811 | 8,7025 |
| 2 | 0,00081013 | 0,00062045 | 7,12227 |
| 1 | 0,00072276 | 0,00037339 | 4,28616 |

Çizelge A.32 : SF_0,84063_MAMMOTH_H-MGE000.AT2 deprem analizinde çelik yastıklı modelde çıkan sonuçlar.

| Kat | | Göreli Katarası Ötelenme Oranı (%) | Kat Kesme Kuvvetleri (kN) | Perde Momentleri (kNm) |
|-----|-----|------------------------------------|---------------------------|------------------------|
| 0 | alt | 0,002185275 | 936,4932 | 11020,559 |
| 1 | üst | 0,002185275 | 936,4932 | 7775,738 |
| 1 | alt | 0,005609011 | 910,4857 | 11020,559 |
| 2 | üst | 0,005609011 | 910,4857 | 5064,781 |
| 2 | alt | 0,007659714 | 829,9719 | 7775,738 |
| 3 | üst | 0,007659714 | 829,9719 | 3953,06 |
| 3 | alt | 0,00872 | 698,9975 | 5064,781 |
| 4 | üst | 0,00872 | 698,9975 | 3611,999 |
| 4 | alt | 0,008892571 | 588,4173 | 3953,06 |
| 5 | üst | 0,008892571 | 588,4173 | 3477,21 |
| 5 | alt | 0,008981714 | 470,6883 | 3611,999 |
| 6 | üst | 0,008981714 | 470,6883 | 3581,104 |
| 6 | alt | 0,009110571 | 513,1894 | 3477,21 |
| 7 | üst | 0,009110571 | 513,1894 | 4385,506 |
| 7 | alt | 0,008955429 | 541,6394 | 3581,104 |
| 8 | üst | 0,008955429 | 541,6394 | 4898,583 |
| 8 | alt | 0,008009143 | 521,8163 | 4385,506 |
| 9 | üst | 0,008009143 | 521,8163 | 5080,049 |
| 9 | alt | 0,006486286 | 453,3797 | 4898,583 |
| 10 | üst | 0,006486286 | 453,3797 | 6151,967 |
| 10 | alt | 0,004724571 | 427,5935 | 5080,049 |
| 11 | üst | 0,004724571 | 427,5935 | 6752,007 |
| 11 | alt | 0,003711111 | 365,4081 | 6151,967 |
| 12 | üst | 0,003711111 | 365,4081 | 7148,636 |
| 12 | alt | 0,005087714 | 305,6004 | 6752,007 |
| 13 | üst | 0,005087714 | 305,6004 | 7517,029 |
| 13 | alt | 0,006991429 | 378,8319 | 7148,636 |
| 14 | üst | 0,006991429 | 378,8319 | 7380,576 |
| 14 | alt | 0,009075143 | 396,3044 | 7517,029 |
| 15 | üst | 0,009075143 | 396,3044 | 6669,687 |
| 15 | alt | 0,011586 | 453,9591 | 7380,576 |
| 16 | üst | 0,011586 | 453,9591 | 6201,694 |
| 16 | alt | 0,013965714 | 454,4196 | 6669,687 |
| 17 | üst | 0,013965714 | 454,4196 | 5999,137 |
| 17 | alt | 0,015715143 | 453,483 | 6201,694 |
| 18 | üst | 0,015715143 | 453,483 | 6175,724 |
| 18 | alt | 0,016893714 | 400,8196 | 5999,137 |
| 19 | üst | 0,016893714 | 400,8196 | 5941,807 |
| 19 | alt | 0,018217714 | 338,4135 | 6175,724 |
| 20 | üst | 0,018217714 | 338,4135 | 5136,793 |
| 20 | alt | 0,01923 | 393,7564 | 5941,807 |
| 21 | üst | 0,01923 | 393,7564 | 3841,677 |
| 21 | alt | 0,020036571 | 467,1879 | 5136,793 |
| 22 | üst | 0,020036571 | 467,1879 | 2291,373 |
| 22 | alt | 0,020539429 | 435,1724 | 3841,677 |
| 23 | üst | 0,020539429 | 435,1724 | 856,404 |
| 23 | alt | 0,020765429 | 270,1249 | 2291,373 |
| 24 | üst | 0,020765429 | 270,1249 | 856,404 |

Çizelge A.33 : SF_0,85377_NORTH392_TEMPL000.AT2 deprem analizinde mafsallı modelde oluşan deplasman ve kesme kuvvetleri.

| Kat | Kat deplasmanları (m) | Mafsal Deplasmanları (m) | Mafsal Kesme Kuvvetleri (kN) |
|-----|-----------------------|--------------------------|------------------------------|
| | x doğrultusu | z doğrultusu | z doğrultusu |
| 24 | 0,01261746 | 0,0006368 | 63,67978 |
| 23 | 0,01108604 | 0,00063695 | 63,69453 |
| 22 | 0,00956227 | 0,00063306 | 63,30629 |
| 21 | 0,00805426 | 0,00062176 | 62,17623 |
| 20 | 0,00660516 | 0,00060091 | 60,09107 |
| 19 | 0,00530687 | 0,00057017 | 57,01703 |
| 18 | 0,00588616 | 0,00052836 | 52,83636 |
| 17 | 0,00641672 | 0,00047591 | 47,59148 |
| 16 | 0,00682452 | 0,00041543 | 41,54292 |
| 15 | 0,00711015 | 0,0003508 | 35,0797 |
| 14 | 0,00733679 | 0,00028863 | 28,86308 |
| 13 | 0,00743403 | 0,0002209 | 22,08974 |
| 12 | 0,00738766 | 0,00015202 | 15,20246 |
| 11 | 0,0071868 | 0,00017876 | 17,87562 |
| 10 | 0,00688 | 0,00022756 | 22,75628 |
| 9 | 0,00644509 | 0,00026765 | 26,76541 |
| 8 | 0,00588439 | 0,00030275 | 30,27508 |
| 7 | 0,00522429 | 0,00033362 | 33,36236 |
| 6 | 0,00449811 | 0,00035181 | 35,18149 |
| 5 | 0,00374546 | 0,0003512 | 35,12015 |
| 4 | 0,003012 | 0,00032943 | 32,94303 |
| 3 | 0,00234599 | 0,00028483 | 28,48276 |
| 2 | 0,00180008 | 0,00021569 | 21,56881 |
| 1 | 0,00143106 | 0,00012096 | 12,09627 |

Çizelge A.34 : SF_0,85377_NORTH392_TEMPL000.AT2 deprem analizinde mafsallı modelde çıkan sonuçlar.

| Kat | | Görelî Katarası Ötelenme Oranı (%) | Kat Kesme Kuvvetleri (kN) | Perde Momentleri (kNm) |
|-----|-----|------------------------------------|---------------------------|------------------------|
| 0 | alt | 0,004033429 | 1114,974 | 19624,816 |
| 1 | üst | 0,004033429 | 1114,974 | 15776,01 |
| 1 | alt | 0,010967429 | 1109,968 | 19624,816 |
| 2 | üst | 0,010967429 | 1109,968 | 11989,125 |
| 2 | alt | 0,016226857 | 1090,035 | 15776,01 |
| 3 | üst | 0,016226857 | 1090,035 | 8323,466 |
| 3 | alt | 0,019860857 | 1049,033 | 11989,125 |
| 4 | üst | 0,019860857 | 1049,033 | 5268,718 |
| 4 | alt | 0,021958857 | 984,041 | 8323,466 |
| 5 | üst | 0,021958857 | 984,041 | 3061,22 |
| 5 | alt | 0,022625429 | 894,7526 | 5268,718 |
| 6 | üst | 0,022625429 | 894,7526 | 4497,954 |
| 6 | alt | 0,021989429 | 787,7546 | 3061,22 |
| 7 | üst | 0,021989429 | 787,7546 | 6635,175 |
| 7 | alt | 0,020216571 | 672,3265 | 4497,954 |
| 8 | üst | 0,020216571 | 672,3265 | 8489,91 |
| 8 | alt | 0,01799 | 592,8532 | 6635,175 |
| 9 | üst | 0,01799 | 592,8532 | 9887,52 |
| 9 | alt | 0,015648 | 508,2158 | 8489,91 |
| 10 | üst | 0,015648 | 508,2158 | 10810,458 |
| 10 | alt | 0,012720857 | 407,0373 | 9887,52 |
| 11 | üst | 0,012720857 | 407,0373 | 11420,646 |
| 11 | alt | 0,009857429 | 312,5293 | 10810,458 |
| 12 | üst | 0,009857429 | 312,5293 | 11950,987 |
| 12 | alt | 0,014529429 | 244,9188 | 11420,646 |
| 13 | üst | 0,014529429 | 244,9188 | 12131,452 |
| 13 | alt | 0,019228286 | 294,2459 | 11950,987 |
| 14 | üst | 0,019228286 | 294,2459 | 11935,929 |
| 14 | alt | 0,023634857 | 360,8574 | 12131,452 |
| 15 | üst | 0,023634857 | 360,8574 | 11373,158 |
| 15 | alt | 0,028031429 | 400,8603 | 11935,929 |
| 16 | üst | 0,028031429 | 400,8603 | 10428,186 |
| 16 | alt | 0,032322286 | 441,9382 | 11373,158 |
| 17 | üst | 0,032322286 | 441,9382 | 9189,564 |
| 17 | alt | 0,036190286 | 504,5789 | 10428,186 |
| 18 | üst | 0,036190286 | 504,5789 | 7697,18 |
| 18 | alt | 0,039386857 | 551,268 | 9189,564 |
| 19 | üst | 0,039386857 | 551,268 | 6035,725 |
| 19 | alt | 0,041859143 | 564,3582 | 7697,18 |
| 20 | üst | 0,041859143 | 564,3582 | 4373,145 |
| 20 | alt | 0,043608857 | 539,9409 | 6035,725 |
| 21 | üst | 0,043608857 | 539,9409 | 2795,533 |
| 21 | alt | 0,044729429 | 471,2823 | 4373,145 |
| 22 | üst | 0,044729429 | 471,2823 | 1423,444 |
| 22 | alt | 0,045267429 | 354,5307 | 2795,533 |
| 23 | üst | 0,045267429 | 354,5307 | 440,3839 |
| 23 | alt | 0,045404857 | 188,1878 | 1423,444 |
| 24 | üst | 0,045404857 | 188,1878 | 440,3839 |

Çizelge A.35 : SF_0,85377_NORTH392_TEMPL000.AT2 deprem analizinde çelik yastıklı modelde oluşan deplasman ve kesme kuvvetleri.

| Kat | Kat deplasmanları (m) | Çelik Yastık Deplasmanları (m) | Çelik Y. Kesme Kuvvetleri (kN) |
|-----|-----------------------|--------------------------------|--------------------------------|
| | x doğrultusu | z doğrultusu | z doğrultusu |
| 24 | 0,00824492 | 0,00273348 | 31,37808 |
| 23 | 0,0071925 | 0,00273215 | 31,36283 |
| 22 | 0,00614412 | 0,00271492 | 31,16505 |
| 21 | 0,00511594 | 0,00266823 | 30,62904 |
| 20 | 0,00411664 | 0,00258186 | 29,63758 |
| 19 | 0,00326749 | 0,00244876 | 28,10977 |
| 18 | 0,00366344 | 0,00226519 | 26,00245 |
| 17 | 0,00416412 | 0,00203074 | 23,31124 |
| 16 | 0,00457743 | 0,00175374 | 20,13152 |
| 15 | 0,00489057 | 0,00148602 | 17,0583 |
| 14 | 0,00511484 | 0,00118684 | 13,62392 |
| 13 | 0,00523843 | 0,00087978 | 10,0991 |
| 12 | 0,00524353 | 0,00058853 | 6,75582 |
| 11 | 0,0051291 | 0,00068648 | 7,88022 |
| 10 | 0,00489901 | 0,00091668 | 10,5227 |
| 9 | 0,00462889 | 0,00110936 | 12,73453 |
| 8 | 0,00426514 | 0,00125991 | 14,46276 |
| 7 | 0,00381154 | 0,00139592 | 16,02398 |
| 6 | 0,00329695 | 0,00149457 | 17,15642 |
| 5 | 0,0027632 | 0,00150295 | 17,25259 |
| 4 | 0,00226637 | 0,00141388 | 16,23012 |
| 3 | 0,00185302 | 0,00122209 | 14,0286 |
| 2 | 0,0015879 | 0,00092398 | 10,60654 |
| 1 | 0,00143725 | 0,00051718 | 5,93676 |

Çizelge A.36 : SF_0,85377_NORTH392_TEMPL000.AT2 deprem analizinde çelik yastıklı modelde çıkan sonuçlar.

| Kat | Göreli Katarası Öteleme Oranı (%) | Kat Kesme Kuvvetleri (kN) | Perde Momentleri (kNm) |
|-----|-----------------------------------|---------------------------|------------------------|
| 0 | alt | 0,002961143 | 870,0676 |
| 1 | üst | 0,002961143 | 870,0676 |
| 1 | alt | 0,008056571 | 857,7202 |
| 2 | üst | 0,008056571 | 857,7202 |
| 2 | alt | 0,011928286 | 836,5088 |
| 3 | üst | 0,011928286 | 836,5088 |
| 3 | alt | 0,014596857 | 801,3582 |
| 4 | üst | 0,014596857 | 801,3582 |
| 4 | alt | 0,016092857 | 752,5455 |
| 5 | üst | 0,016092857 | 752,5455 |
| 5 | alt | 0,016464857 | 709,2087 |
| 6 | üst | 0,016464857 | 709,2087 |
| 6 | alt | 0,015782286 | 648,5804 |
| 7 | üst | 0,015782286 | 648,5804 |
| 7 | alt | 0,014446571 | 573,3292 |
| 8 | üst | 0,014446571 | 573,3292 |
| 8 | alt | 0,013042857 | 480,99 |
| 9 | üst | 0,013042857 | 480,99 |
| 9 | alt | 0,011082286 | 381,2354 |
| 10 | üst | 0,011082286 | 381,2354 |
| 10 | alt | 0,008650857 | 281,7919 |
| 11 | üst | 0,008650857 | 281,7919 |
| 11 | alt | 0,006103143 | 253,301 |
| 12 | üst | 0,006103143 | 253,301 |
| 12 | alt | 0,009419429 | 233,2315 |
| 13 | üst | 0,009419429 | 233,2315 |
| 13 | alt | 0,012847143 | 232,7539 |
| 14 | üst | 0,012847143 | 232,7539 |
| 14 | alt | 0,016426 | 280,5886 |
| 15 | üst | 0,016426 | 280,5886 |
| 15 | alt | 0,019692 | 310,9249 |
| 16 | üst | 0,019692 | 310,9249 |
| 16 | alt | 0,022763714 | 370,5427 |
| 17 | üst | 0,022763714 | 370,5427 |
| 17 | alt | 0,025735988 | 406,5878 |
| 18 | üst | 0,025735988 | 406,5878 |
| 18 | alt | 0,028145154 | 415,9886 |
| 19 | üst | 0,028145154 | 415,9886 |
| 19 | alt | 0,029975429 | 404,8542 |
| 20 | üst | 0,029975429 | 404,8542 |
| 20 | alt | 0,03125 | 389,9448 |
| 21 | üst | 0,03125 | 389,9448 |
| 21 | alt | 0,032027714 | 352,13 |
| 22 | üst | 0,032027714 | 352,13 |
| 22 | alt | 0,032404571 | 275,0267 |
| 23 | üst | 0,032404571 | 275,0267 |
| 23 | alt | 0,032512286 | 154,0224 |
| 24 | üst | 0,032512286 | 154,0224 |

**Çizelge A.37 : SF_0,87729_KOZANI_FLR--L.AT2 deprem analizinde
mafsallı modelde oluşan deplasman ve kesme kuvvetleri.**

| Kat | Kat deplasmanları (m) | Mafsal Deplasmanları (m) | Mafsal Kesme Kuvvetleri (kN) |
|-----|-----------------------|--------------------------|------------------------------|
| | x doğrultusu | z doğrultusu | z doğrultusu |
| 24 | 0,00241955 | 0,00021447 | 21,447 |
| 23 | 0,00189461 | 0,00021407 | 21,40666 |
| 22 | 0,00137357 | 0,00021108 | 21,1078 |
| 21 | 0,00088738 | 0,00020391 | 20,3909 |
| 20 | 0,00051835 | 0,00019184 | 19,18356 |
| 19 | 0,00030045 | 0,00017477 | 17,47712 |
| 18 | 0,00056549 | 0,00015274 | 15,27395 |
| 17 | 0,00089794 | 0,00012811 | 12,81098 |
| 16 | 0,00116855 | 0,0001152 | 11,51963 |
| 15 | 0,0013773 | 0,00010054 | 10,05396 |
| 14 | 0,00151644 | 8,30307E-05 | 8,30307 |
| 13 | 0,00159456 | 6,16992E-05 | 6,16992 |
| 12 | 0,00166504 | 6,61062E-05 | 6,61062 |
| 11 | 0,00172308 | 6,9917E-05 | 6,9917 |
| 10 | 0,00172135 | 6,75591E-05 | 6,75591 |
| 9 | 0,00165981 | 8,00257E-05 | 8,00257 |
| 8 | 0,00153943 | 8,89333E-05 | 8,89333 |
| 7 | 0,00136671 | 9,70293E-05 | 9,70293 |
| 6 | 0,00115262 | 0,00010712 | 10,71185 |
| 5 | 0,00091776 | 0,00011374 | 11,37427 |
| 4 | 0,00070778 | 0,00011298 | 11,29758 |
| 3 | 0,00069269 | 0,0001021 | 10,20998 |
| 2 | 0,00071143 | 8,00406E-05 | 8,00406 |
| 1 | 0,00071815 | 4,61309E-05 | 4,61309 |

**Çizelge A.38 : SF_0,87729_KOZANI_FLR--L.AT2 deprem analizinde
mafsallı modelde çıkan sonuçlar.**

| Kat | | Görelİ Katarası Ötelenme Oranı (%) | Kat Kesme Kuvvetleri (kN) | Perde Momentleri (kNm) |
|-----|-----|---------------------------------------|------------------------------|------------------------|
| 0 | alt | 0,001535307 | 519,392 | 7583,243 |
| 1 | üst | 0,001535307 | 519,392 | 5785,841 |
| 1 | alt | 0,004078122 | 514,826 | 7583,243 |
| 2 | üst | 0,004078122 | 514,826 | 4019,997 |
| 2 | alt | 0,005842571 | 499,0171 | 5785,841 |
| 3 | üst | 0,005842571 | 499,0171 | 2485,649 |
| 3 | alt | 0,006859714 | 468,1335 | 4019,997 |
| 4 | üst | 0,006859714 | 468,1335 | 1804,529 |
| 4 | alt | 0,007186571 | 421,2288 | 2485,649 |
| 5 | üst | 0,007186571 | 421,2288 | 2208,039 |
| 5 | alt | 0,006896 | 359,4058 | 1804,529 |
| 6 | üst | 0,006896 | 359,4058 | 2530,191 |
| 6 | alt | 0,006366857 | 293,9647 | 2208,039 |
| 7 | üst | 0,006366857 | 293,9647 | 2870,523 |
| 7 | alt | 0,005562571 | 252,3962 | 2530,191 |
| 8 | üst | 0,005562571 | 252,3962 | 3562,494 |
| 8 | alt | 0,005114857 | 256,8857 | 2870,523 |
| 9 | üst | 0,005114857 | 256,8857 | 3990,178 |
| 9 | alt | 0,004300857 | 247,1872 | 3562,494 |
| 10 | üst | 0,004300857 | 247,1872 | 4205,576 |
| 10 | alt | 0,004396571 | 267,3185 | 3990,178 |
| 11 | üst | 0,004396571 | 267,3185 | 4177,542 |
| 11 | alt | 0,004336857 | 269,666 | 4205,576 |
| 12 | üst | 0,004336857 | 269,666 | 4099,956 |
| 12 | alt | 0,003882857 | 247,6179 | 4177,542 |
| 13 | üst | 0,003882857 | 247,6179 | 4406,707 |
| 13 | alt | 0,005294857 | 232,0558 | 4099,956 |
| 14 | üst | 0,005294857 | 232,0558 | 4698,783 |
| 14 | alt | 0,006598 | 205,5914 | 4406,707 |
| 15 | üst | 0,006598 | 205,5914 | 4780,092 |
| 15 | alt | 0,007732 | 196,9511 | 4698,783 |
| 16 | üst | 0,007732 | 196,9511 | 4646,559 |
| 16 | alt | 0,008694 | 182,2086 | 4780,092 |
| 17 | üst | 0,008694 | 182,2086 | 4291,765 |
| 17 | alt | 0,010010857 | 192,7337 | 4646,559 |
| 18 | üst | 0,010010857 | 192,7337 | 3747,852 |
| 18 | alt | 0,011621429 | 221,8211 | 4291,765 |
| 19 | üst | 0,011621429 | 221,8211 | 3089,566 |
| 19 | alt | 0,012928 | 248,125 | 3747,852 |
| 20 | üst | 0,012928 | 248,125 | 2388,064 |
| 20 | alt | 0,013895429 | 252,1298 | 3089,566 |
| 21 | üst | 0,013895429 | 252,1298 | 1623,08 |
| 21 | alt | 0,014544857 | 233,4451 | 2388,064 |
| 22 | üst | 0,014544857 | 233,4451 | 918,6622 |
| 22 | alt | 0,014886571 | 189,565 | 1623,08 |
| 23 | üst | 0,014886571 | 189,565 | 326,3158 |
| 23 | alt | 0,014998286 | 106,8865 | 918,6622 |
| 24 | üst | 0,014998286 | 106,8865 | 326,3158 |

Çizelge A.39 : SF_0,87729_KOZANI_FLR--L.AT2 deprem analizinde çelik yastıklı modelde oluşan deplasman ve kesme kuvvetleri.

| Kat | Kat deplasmanları (m) | Çelik Yastık Deplasmanları (m) | Çelik Y. Kesme Kuvvetleri (kN) |
|-----|-----------------------|--------------------------------|--------------------------------|
| | x doğrultusu | z doğrultusu | z doğrultusu |
| 24 | 0,00300138 | 0,00161438 | 18,53171 |
| 23 | 0,00233535 | 0,00160999 | 18,48133 |
| 22 | 0,00167482 | 0,00158588 | 18,2046 |
| 21 | 0,00105643 | 0,00153062 | 17,57024 |
| 20 | 0,00060369 | 0,00143775 | 16,50413 |
| 19 | 0,00035393 | 0,00130581 | 14,98967 |
| 18 | 0,00071787 | 0,00113708 | 13,05269 |
| 17 | 0,00112523 | 0,00094067 | 10,79811 |
| 16 | 0,00145256 | 0,00085055 | 9,76363 |
| 15 | 0,00171092 | 0,0007511 | 8,62204 |
| 14 | 0,00187697 | 0,00062134 | 7,13251 |
| 13 | 0,0019527 | 0,00048952 | 5,61933 |
| 12 | 0,00208599 | 0,00046079 | 5,28945 |
| 11 | 0,00216273 | 0,00049446 | 5,67603 |
| 10 | 0,00216603 | 0,00054996 | 6,31313 |
| 9 | 0,00209229 | 0,00058942 | 6,76607 |
| 8 | 0,00194108 | 0,00063751 | 7,31804 |
| 7 | 0,00172242 | 0,00067816 | 7,7847 |
| 6 | 0,00144677 | 0,00078708 | 9,03502 |
| 5 | 0,00113227 | 0,00085126 | 9,77175 |
| 4 | 0,00082328 | 0,00085058 | 9,76392 |
| 3 | 0,00071569 | 0,00077176 | 8,85922 |
| 2 | 0,00071623 | 0,00060657 | 6,96296 |
| 1 | 0,00072111 | 0,00035008 | 4,0186 |

**Çizelge A.40 : SF_0,87729_KOZANI_FLR--L.AT2 deprem analizinde
çelik yastıklı modelde çıkan sonuçlar.**

| Kat | Göreli Katarası Ötelenme Oranı (%) | Kat Kesme Kuvvetleri (kN) | Perde Momentleri (kNm) |
|-----|---------------------------------------|------------------------------|---------------------------|
| 0 | alt | 0,002024476 | 683,6427 |
| 1 | üst | 0,002024476 | 683,6427 |
| 1 | alt | 0,005375238 | 680,6555 |
| 2 | üst | 0,005375238 | 680,6555 |
| 2 | alt | 0,007692 | 659,7698 |
| 3 | üst | 0,007692 | 659,7698 |
| 3 | alt | 0,009012571 | 615,5426 |
| 4 | üst | 0,009012571 | 615,5426 |
| 4 | alt | 0,009408857 | 547,5726 |
| 5 | üst | 0,009408857 | 547,5726 |
| 5 | alt | 0,009000286 | 459,3879 |
| 6 | üst | 0,009000286 | 459,3879 |
| 6 | alt | 0,007945429 | 371,7663 |
| 7 | üst | 0,007945429 | 371,7663 |
| 7 | alt | 0,006936 | 314,698 |
| 8 | üst | 0,006936 | 314,698 |
| 8 | alt | 0,006579143 | 326,8878 |
| 9 | üst | 0,006579143 | 326,8878 |
| 9 | alt | 0,006146571 | 324,6644 |
| 10 | üst | 0,006146571 | 324,6644 |
| 10 | alt | 0,005724571 | 326,4819 |
| 11 | üst | 0,005724571 | 326,4819 |
| 11 | alt | 0,004882571 | 332,4022 |
| 12 | üst | 0,004882571 | 332,4022 |
| 12 | alt | 0,005437143 | 309,5761 |
| 13 | üst | 0,005437143 | 309,5761 |
| 13 | alt | 0,006582 | 293,9597 |
| 14 | üst | 0,006582 | 293,9597 |
| 14 | alt | 0,008232 | 253,3521 |
| 15 | üst | 0,008232 | 253,3521 |
| 15 | alt | 0,009549143 | 262,2705 |
| 16 | üst | 0,009549143 | 262,2705 |
| 16 | alt | 0,010687714 | 250,1862 |
| 17 | üst | 0,010687714 | 250,1862 |
| 17 | alt | 0,01245 | 232,9929 |
| 18 | üst | 0,01245 | 232,9929 |
| 18 | alt | 0,014559429 | 275,9626 |
| 19 | üst | 0,014559429 | 275,9626 |
| 19 | alt | 0,016283714 | 308,9472 |
| 20 | üst | 0,016283714 | 308,9472 |
| 20 | alt | 0,017571714 | 313,2093 |
| 21 | üst | 0,017571714 | 313,2093 |
| 21 | alt | 0,018419429 | 293,7479 |
| 22 | üst | 0,018419429 | 293,7479 |
| 22 | alt | 0,018872286 | 237,2106 |
| 23 | üst | 0,018872286 | 237,2106 |
| 23 | alt | 0,019029429 | 136,1929 |
| 24 | üst | 0,019029429 | 136,1929 |

**Çizelge A.41 : SF_0,93555_NORTHR_ATB090.AT2 deprem analizinde
mafsallı modelde oluşan deplasman ve kesme kuvvetleri.**

| Kat | Kat deplasmanları (m) | Mafsal Deplasmanları (m) | Mafsal Kesme Kuvvetleri (kN) |
|-----|-----------------------|--------------------------|------------------------------|
| | x doğrultusu | z doğrultusu | z doğrultusu |
| 24 | 0,05961966 | 0,00040871 | 40,87127 |
| 23 | 0,05887974 | 0,00040936 | 40,93611 |
| 22 | 0,0581405 | 0,00040905 | 40,90458 |
| 21 | 0,05740554 | 0,00040654 | 40,65383 |
| 20 | 0,05668007 | 0,0004024 | 40,24008 |
| 19 | 0,05603434 | 0,00039589 | 39,58873 |
| 18 | 0,05554239 | 0,00038572 | 38,57223 |
| 17 | 0,05503896 | 0,00037172 | 37,1717 |
| 16 | 0,05452934 | 0,0003588 | 35,88042 |
| 15 | 0,05399182 | 0,00034129 | 34,12896 |
| 14 | 0,05342329 | 0,00032532 | 32,53235 |
| 13 | 0,05282854 | 0,00031505 | 31,50465 |
| 12 | 0,05221453 | 0,00030123 | 30,12332 |
| 11 | 0,05158997 | 0,0002851 | 28,51007 |
| 10 | 0,05096888 | 0,00027024 | 27,02434 |
| 9 | 0,05046412 | 0,00026816 | 26,81618 |
| 8 | 0,05004319 | 0,0002623 | 26,2302 |
| 7 | 0,04968232 | 0,00025014 | 25,01363 |
| 6 | 0,04935298 | 0,00023529 | 23,52865 |
| 5 | 0,04905868 | 0,00021987 | 21,98733 |
| 4 | 0,048804 | 0,00019611 | 19,61125 |
| 3 | 0,04859443 | 0,00016295 | 16,2952 |
| 2 | 0,04843619 | 0,00011956 | 11,95603 |
| 1 | 0,04833602 | 6,53651E-05 | 6,53651 |

Çizelge A.42 : SF_0,93555_NORTHR_ATB090.AT2 deprem analizinde mafsallı modelde çıkan sonuçlar.

| Kat | | Görelî Katarası Ötelenme Oranı (%) | Kat Kesme Kuvvetleri (kN) | Perde Momentleri (kNm) |
|-----|-----|------------------------------------|---------------------------|------------------------|
| 0 | alt | 0,002254171 | 544,7565 | 10809,332 |
| 1 | üst | 0,002254171 | 544,7565 | 9153,989 |
| 1 | alt | 0,006279543 | 538,9848 | 10809,332 |
| 2 | üst | 0,006279543 | 538,9848 | 7544,809 |
| 2 | alt | 0,009593714 | 515,5719 | 9153,989 |
| 3 | üst | 0,009593714 | 515,5719 | 6157,21 |
| 3 | alt | 0,012224857 | 470,3408 | 7544,809 |
| 4 | üst | 0,012224857 | 470,3408 | 5369,404 |
| 4 | alt | 0,014216 | 404,4483 | 6157,21 |
| 5 | üst | 0,014216 | 404,4483 | 5203,22 |
| 5 | alt | 0,015626857 | 359,1031 | 5369,404 |
| 6 | üst | 0,015626857 | 359,1031 | 5427,76 |
| 6 | alt | 0,016710571 | 307,7548 | 5203,22 |
| 7 | üst | 0,016710571 | 307,7548 | 5416,762 |
| 7 | alt | 0,017796857 | 330,655 | 5427,76 |
| 8 | üst | 0,017796857 | 330,655 | 5313,444 |
| 8 | alt | 0,018510857 | 330,1196 | 5416,762 |
| 9 | üst | 0,018510857 | 330,1196 | 4963,097 |
| 9 | alt | 0,018821714 | 306,7364 | 5313,444 |
| 10 | üst | 0,018821714 | 306,7364 | 4398,365 |
| 10 | alt | 0,020029714 | 283,7426 | 4963,097 |
| 11 | üst | 0,020029714 | 283,7426 | 4369,686 |
| 11 | alt | 0,021412286 | 268,458 | 4398,365 |
| 12 | üst | 0,021412286 | 268,458 | 4473,236 |
| 12 | alt | 0,022554 | 252,9875 | 4369,686 |
| 13 | üst | 0,022554 | 252,9875 | 4358,698 |
| 13 | alt | 0,023502 | 267,8584 | 4473,236 |
| 14 | üst | 0,023502 | 267,8584 | 4113,022 |
| 14 | alt | 0,024478286 | 281,9304 | 4358,698 |
| 15 | üst | 0,024478286 | 281,9304 | 3917,652 |
| 15 | alt | 0,025667143 | 271,8532 | 4113,022 |
| 16 | üst | 0,025667143 | 271,8532 | 3578,8 |
| 16 | alt | 0,026778286 | 293,9183 | 3917,652 |
| 17 | üst | 0,026778286 | 293,9183 | 3133,645 |
| 17 | alt | 0,027887429 | 287,8943 | 3578,8 |
| 18 | üst | 0,027887429 | 287,8943 | 2962,575 |
| 18 | alt | 0,028768571 | 249,4035 | 3133,645 |
| 19 | üst | 0,028768571 | 249,4035 | 2610,834 |
| 19 | alt | 0,029391143 | 221,1552 | 2962,575 |
| 20 | üst | 0,029391143 | 221,1552 | 2085,808 |
| 20 | alt | 0,029827429 | 234,9371 | 2610,834 |
| 21 | üst | 0,029827429 | 234,9371 | 1473,496 |
| 21 | alt | 0,030138571 | 241,0374 | 2085,808 |
| 22 | üst | 0,030138571 | 241,0374 | 872,1007 |
| 22 | alt | 0,030265143 | 205,7459 | 1473,496 |
| 23 | üst | 0,030265143 | 205,7459 | 348,8851 |
| 23 | alt | 0,030270857 | 120,6217 | 872,1007 |
| 24 | üst | 0,030270857 | 120,6217 | 348,8851 |

**Cizelge A.43 : SF_0,93555_NORTHR_ATB090.AT2 deprem analizinde
çelik yastıklı modelde oluşan deplasman ve kesme kuvvetleri.**

| Kat | Kat deplasmanları (m) | Çelik Yastık Deplasmanları (m) | Çelik Y. Kesme Kuvvetleri (kN) |
|-----|-----------------------|--------------------------------|--------------------------------|
| | x doğrultusu | z doğrultusu | z doğrultusu |
| 24 | 0,06239907 | 0,00262808 | 30,16814 |
| 23 | 0,06164258 | 0,00262638 | 30,14868 |
| 22 | 0,06088597 | 0,00260918 | 29,95119 |
| 21 | 0,06013086 | 0,0025683 | 29,48195 |
| 20 | 0,05937957 | 0,00250171 | 28,71751 |
| 19 | 0,05863457 | 0,00241614 | 27,73533 |
| 18 | 0,0578981 | 0,00235885 | 27,07759 |
| 17 | 0,05717177 | 0,00231276 | 26,54858 |
| 16 | 0,05645654 | 0,00223819 | 25,69252 |
| 15 | 0,05575269 | 0,00218315 | 25,06072 |
| 14 | 0,0550601 | 0,00210109 | 24,11883 |
| 13 | 0,0543786 | 0,00199238 | 22,87082 |
| 12 | 0,05370834 | 0,00188864 | 21,68 |
| 11 | 0,05305027 | 0,00190431 | 21,85984 |
| 10 | 0,05240649 | 0,00188906 | 21,6848 |
| 9 | 0,05178057 | 0,0018502 | 21,23871 |
| 8 | 0,05117772 | 0,00177928 | 20,42468 |
| 7 | 0,05060486 | 0,00167 | 19,17016 |
| 6 | 0,05007051 | 0,00152294 | 17,48214 |
| 5 | 0,0495846 | 0,00135182 | 15,51782 |
| 4 | 0,0491583 | 0,001166 | 13,38471 |
| 3 | 0,04880369 | 0,00094686 | 10,86918 |
| 2 | 0,04853364 | 0,00068479 | 7,86086 |
| 1 | 0,04836149 | 0,0003719 | 4,26909 |

Çizelge A.44 : SF_0,93555_NORTHR_ATB090.AT2 deprem analizinde çelik yastıklı modelde çıkan sonuçlar.

| Kat | | Göreli Katarası Ötelenme Oranı (%) | Kat Kesme Kuvvetleri (kN) | Perde Momentleri (kNm) |
|-----|-----|------------------------------------|---------------------------|------------------------|
| 0 | alt | 0,002211776 | 514,7202 | 10549,037 |
| 1 | üst | 0,002211776 | 514,7202 | 9041,948 |
| 1 | alt | 0,006192795 | 502,8387 | 10549,037 |
| 2 | üst | 0,006192795 | 502,8387 | 7731,832 |
| 2 | alt | 0,009526 | 476,3784 | 9041,948 |
| 3 | üst | 0,009526 | 476,3784 | 6887,398 |
| 3 | alt | 0,012386286 | 433,4261 | 7731,832 |
| 4 | üst | 0,012386286 | 433,4261 | 6196,101 |
| 4 | alt | 0,014733714 | 369,4145 | 6887,398 |
| 5 | üst | 0,014733714 | 369,4145 | 5417,193 |
| 5 | alt | 0,016893714 | 309,8288 | 6196,101 |
| 6 | üst | 0,016893714 | 309,8288 | 5429,812 |
| 6 | alt | 0,018817429 | 317,0831 | 5417,193 |
| 7 | üst | 0,018817429 | 317,0831 | 5500,12 |
| 7 | alt | 0,020377429 | 335,8494 | 5429,812 |
| 8 | üst | 0,020377429 | 335,8494 | 5340,098 |
| 8 | alt | 0,021503714 | 331,8714 | 5500,12 |
| 9 | üst | 0,021503714 | 331,8714 | 4929,061 |
| 9 | alt | 0,022199143 | 304,1572 | 5340,098 |
| 10 | üst | 0,022199143 | 304,1572 | 4605,427 |
| 10 | alt | 0,022578 | 265,8489 | 4929,061 |
| 11 | üst | 0,022578 | 265,8489 | 4455,32 |
| 11 | alt | 0,022665143 | 256,1056 | 4605,427 |
| 12 | üst | 0,022665143 | 256,1056 | 4522,72 |
| 12 | alt | 0,023478286 | 240,5597 | 4455,32 |
| 13 | üst | 0,023478286 | 240,5597 | 4374,809 |
| 13 | alt | 0,024904 | 263,2721 | 4522,72 |
| 14 | üst | 0,024904 | 263,2721 | 3983,383 |
| 14 | alt | 0,026074857 | 286,142 | 4374,809 |
| 15 | üst | 0,026074857 | 286,142 | 3543,623 |
| 15 | alt | 0,026929714 | 282,0496 | 3983,383 |
| 16 | üst | 0,026929714 | 282,0496 | 3381,876 |
| 16 | alt | 0,027701429 | 281,901 | 3543,623 |
| 17 | üst | 0,027701429 | 281,901 | 3343,928 |
| 17 | alt | 0,028427429 | 272,9968 | 3381,876 |
| 18 | üst | 0,028427429 | 272,9968 | 3187,443 |
| 18 | alt | 0,029138286 | 232,104 | 3343,928 |
| 19 | üst | 0,029138286 | 232,104 | 2792,344 |
| 19 | alt | 0,030070286 | 205,3651 | 3187,443 |
| 20 | üst | 0,030070286 | 205,3651 | 2198,342 |
| 20 | alt | 0,030999714 | 238,1949 | 2792,344 |
| 21 | üst | 0,030999714 | 238,1949 | 1528,352 |
| 21 | alt | 0,031642 | 236,0588 | 2198,342 |
| 22 | üst | 0,031642 | 236,0588 | 894,0122 |
| 22 | alt | 0,031992 | 200,2131 | 1528,352 |
| 23 | üst | 0,031992 | 200,2131 | 340,9411 |
| 23 | alt | 0,032104857 | 118,4548 | 894,0122 |
| 24 | üst | 0,032104857 | 118,4548 | 340,9411 |

**Çizelge A.45 : SF_0,95038_CHICHI_TAI1-E.AT2 deprem analizinde
mafsallı modelde oluşan deplasman ve kesme kuvvetleri.**

| Kat | Kat deplasmanları (m) | Mafsal Deplasmanları (m) | Mafsal Kesme Kuvvetleri (kN) |
|-----|-----------------------|--------------------------|------------------------------|
| | x doğrultusu | z doğrultusu | z doğrultusu |
| 24 | 0,00473312 | 0,00042193 | 42,19323 |
| 23 | 0,00373306 | 0,00042045 | 42,04486 |
| 22 | 0,00278608 | 0,00041226 | 41,22572 |
| 21 | 0,00209566 | 0,00039418 | 39,4184 |
| 20 | 0,00140891 | 0,00037003 | 37,00349 |
| 19 | 0,00110744 | 0,00034347 | 34,34739 |
| 18 | 0,00135169 | 0,00030734 | 30,73411 |
| 17 | 0,00178758 | 0,00025756 | 25,75636 |
| 16 | 0,00219396 | 0,00022641 | 22,6407 |
| 15 | 0,00254508 | 0,00019833 | 19,83281 |
| 14 | 0,0028113 | 0,00017269 | 17,26864 |
| 13 | 0,00296016 | 0,00016604 | 16,60437 |
| 12 | 0,00309829 | 0,00015004 | 15,00418 |
| 11 | 0,00321647 | 0,0001463 | 14,62979 |
| 10 | 0,00322558 | 0,00017688 | 17,68771 |
| 9 | 0,00312584 | 0,00019702 | 19,7019 |
| 8 | 0,00292341 | 0,00020116 | 20,11574 |
| 7 | 0,00264859 | 0,00019167 | 19,16678 |
| 6 | 0,00232285 | 0,00019615 | 19,6146 |
| 5 | 0,00196497 | 0,00020287 | 20,28742 |
| 4 | 0,00167727 | 0,00020233 | 20,23298 |
| 3 | 0,00133259 | 0,00019501 | 19,50103 |
| 2 | 0,00107006 | 0,00016313 | 16,31274 |
| 1 | 0,00112239 | 9,88938E-05 | 9,88938 |

**Çizelge A.46 : SF_0,95038_CHICHI_TAI1-E.AT2 deprem analizinde
mafsallı modelde çıkan sonuçlar.**

| Kat | | Göreli Katarası Ötelenme Oranı (%) | Kat Kesme Kuvvetleri (kN) | Perde Momentleri (kNm) |
|-----|-----|---------------------------------------|---------------------------|------------------------|
| 0 | alt | 0,003355429 | 1674,163 | 17014,054 |
| 1 | üst | 0,003355429 | 1674,163 | 11802,711 |
| 1 | alt | 0,008554286 | 1598,177 | 17014,054 |
| 2 | üst | 0,008554286 | 1598,177 | 7262,673 |
| 2 | alt | 0,011586 | 1410,587 | 11802,711 |
| 3 | üst | 0,011586 | 1410,587 | 5263,361 |
| 3 | alt | 0,012719143 | 1105,927 | 7262,673 |
| 4 | üst | 0,012719143 | 1105,927 | 5369,055 |
| 4 | alt | 0,012823714 | 885,5951 | 5263,361 |
| 5 | üst | 0,012823714 | 885,5951 | 6365,021 |
| 5 | alt | 0,012646 | 789,7265 | 5369,055 |
| 6 | üst | 0,012646 | 789,7265 | 7464,478 |
| 6 | alt | 0,011986 | 759,204 | 6365,021 |
| 7 | üst | 0,011986 | 759,204 | 7360,52 |
| 7 | alt | 0,012197143 | 670,4235 | 7464,478 |
| 8 | üst | 0,012197143 | 670,4235 | 7653,154 |
| 8 | alt | 0,01234 | 748,9491 | 7360,52 |
| 9 | üst | 0,01234 | 748,9491 | 8471,305 |
| 9 | alt | 0,011516571 | 771,4389 | 7653,154 |
| 10 | üst | 0,011516571 | 771,4389 | 9084,991 |
| 10 | alt | 0,009564 | 746,6972 | 8471,305 |
| 11 | üst | 0,009564 | 746,6972 | 9118,298 |
| 11 | alt | 0,008906921 | 730,2077 | 9084,991 |
| 12 | üst | 0,008906921 | 730,2077 | 8879,156 |
| 12 | alt | 0,010321805 | 702,6301 | 9118,298 |
| 13 | üst | 0,010321805 | 702,6301 | 10432,061 |
| 13 | alt | 0,01096 | 665,7184 | 8879,156 |
| 14 | üst | 0,01096 | 665,7184 | 11205,416 |
| 14 | alt | 0,012976286 | 617,9335 | 10432,061 |
| 15 | üst | 0,012976286 | 617,9335 | 11167,908 |
| 15 | alt | 0,014705714 | 602,7708 | 11205,416 |
| 16 | üst | 0,014705714 | 602,7708 | 10234,838 |
| 16 | alt | 0,017011714 | 646,5483 | 11167,908 |
| 17 | üst | 0,017011714 | 646,5483 | 8906,507 |
| 17 | alt | 0,019672857 | 630,3032 | 10234,838 |
| 18 | üst | 0,019672857 | 630,3032 | 9326,763 |
| 18 | alt | 0,022505714 | 662,9804 | 8906,507 |
| 19 | üst | 0,022505714 | 662,9804 | 9269,515 |
| 19 | alt | 0,024571143 | 591,9097 | 9326,763 |
| 20 | üst | 0,024571143 | 591,9097 | 8230,98 |
| 20 | alt | 0,026379143 | 592,7088 | 9269,515 |
| 21 | üst | 0,026379143 | 592,7088 | 6294,032 |
| 21 | alt | 0,027948857 | 747,7863 | 8230,98 |
| 22 | üst | 0,027948857 | 747,7863 | 3822,978 |
| 22 | alt | 0,028856571 | 722,0771 | 6294,032 |
| 23 | üst | 0,028856571 | 722,0771 | 1449,769 |
| 23 | alt | 0,029207429 | 458,824 | 3822,978 |
| 24 | üst | 0,029207429 | 458,824 | 1449,769 |

Çizelge A.47 : SF_0,95038_CHICHI_TAI1-E.AT2 AT2 deprem analizinde çelik yastıklı modelde oluşan deplasman ve kesme kuvvetleri.

| Kat | Kat deplasmanları (m) | Çelik Yastık Deplasmanları (m) | Çelik Y. Kesme Kuvvetleri (kN) |
|-----|-----------------------|--------------------------------|--------------------------------|
| | x doğrultusu | z doğrultusu | z doğrultusu |
| 24 | 0,00487481 | 0,00270369 | 31,03609 |
| 23 | 0,00376664 | 0,00268871 | 30,86413 |
| 22 | 0,00268418 | 0,00262179 | 30,09602 |
| 21 | 0,0017175 | 0,00248117 | 28,4818 |
| 20 | 0,00105802 | 0,00226153 | 25,96052 |
| 19 | 0,00100919 | 0,00198809 | 22,82159 |
| 18 | 0,00141613 | 0,00172807 | 19,83679 |
| 17 | 0,00194766 | 0,00143131 | 16,43021 |
| 16 | 0,00233072 | 0,00123721 | 14,20217 |
| 15 | 0,00256442 | 0,00119583 | 13,72713 |
| 14 | 0,0026567 | 0,00114575 | 13,15221 |
| 13 | 0,00279226 | 0,00101846 | 11,6911 |
| 12 | 0,00295665 | 0,00087442 | 10,03767 |
| 11 | 0,003119 | 0,00087925 | 10,09301 |
| 10 | 0,00319879 | 0,00105604 | 12,12243 |
| 9 | 0,00315919 | 0,00116927 | 13,4222 |
| 8 | 0,00302652 | 0,00118323 | 13,58247 |
| 7 | 0,00284996 | 0,00110678 | 12,70493 |
| 6 | 0,00257383 | 0,00110512 | 12,68582 |
| 5 | 0,00219708 | 0,00119721 | 13,74297 |
| 4 | 0,00175524 | 0,00121639 | 13,96312 |
| 3 | 0,00129685 | 0,00119191 | 13,68212 |
| 2 | 0,00108421 | 0,00099669 | 11,44122 |
| 1 | 0,00113141 | 0,00060737 | 6,97209 |

Çizelge A.48 : SF_0,95038_CHICHI_TAI1-E.AT2 deprem analizinde çelik yastıklı modelde çıkan sonuçlar.

| Kat | | Görelî Katarası Ötelenme Oranı (%) | Kat Kesme Kuvvetleri (kN) | Perde Momentleri (kNm) |
|-----|-----|---------------------------------------|---------------------------|------------------------|
| 0 | alt | 0,003562857 | 1628,672 | 18088,844 |
| 1 | üst | 0,003562857 | 1628,672 | 12444,418 |
| 1 | alt | 0,009041429 | 1548,052 | 18088,844 |
| 2 | üst | 0,009041429 | 1548,052 | 7530,224 |
| 2 | alt | 0,012228857 | 1398,017 | 12444,418 |
| 3 | üst | 0,012228857 | 1398,017 | 4971,28 |
| 3 | alt | 0,013356857 | 1168,999 | 7530,224 |
| 4 | üst | 0,013356857 | 1168,999 | 5634,135 |
| 4 | alt | 0,013269429 | 915,0044 | 4971,28 |
| 5 | üst | 0,013269429 | 915,0044 | 5994,677 |
| 5 | alt | 0,012719714 | 848,5226 | 5634,135 |
| 6 | üst | 0,012719714 | 848,5226 | 7072,662 |
| 6 | alt | 0,011144286 | 737,2307 | 5994,677 |
| 7 | üst | 0,011144286 | 737,2307 | 7728,456 |
| 7 | alt | 0,012356857 | 652,7623 | 7072,662 |
| 8 | üst | 0,012356857 | 652,7623 | 8653,415 |
| 8 | alt | 0,012655714 | 740,2299 | 7728,456 |
| 9 | üst | 0,012655714 | 740,2299 | 9477,87 |
| 9 | alt | 0,011864857 | 748,3373 | 8653,415 |
| 10 | üst | 0,011864857 | 748,3373 | 9542,834 |
| 10 | alt | 0,009985429 | 760,5778 | 9477,87 |
| 11 | üst | 0,009985429 | 760,5778 | 8859,741 |
| 11 | alt | 0,009469143 | 787,8638 | 9542,834 |
| 12 | üst | 0,009469143 | 787,8638 | 8450,438 |
| 12 | alt | 0,010802857 | 742,485 | 8859,741 |
| 13 | üst | 0,010802857 | 742,485 | 9919,334 |
| 13 | alt | 0,012678 | 708,8277 | 8450,438 |
| 14 | üst | 0,012678 | 708,8277 | 10741,958 |
| 14 | alt | 0,013697143 | 621,0887 | 9919,334 |
| 15 | üst | 0,013697143 | 621,0887 | 10794,911 |
| 15 | alt | 0,014274 | 544,2167 | 10741,958 |
| 16 | üst | 0,014274 | 544,2167 | 10551,691 |
| 16 | alt | 0,015170571 | 519,4091 | 10794,911 |
| 17 | üst | 0,015170571 | 519,4091 | 10449,576 |
| 17 | alt | 0,018726571 | 569,8053 | 10551,691 |
| 18 | üst | 0,018726571 | 569,8053 | 9739,001 |
| 18 | alt | 0,021973714 | 604,6292 | 10449,576 |
| 19 | üst | 0,021973714 | 604,6292 | 8978,234 |
| 19 | alt | 0,025249238 | 583,9371 | 9739,001 |
| 20 | üst | 0,025249238 | 583,9371 | 7967,794 |
| 20 | alt | 0,028164477 | 619,9905 | 8978,234 |
| 21 | üst | 0,028164477 | 619,9905 | 6136,78 |
| 21 | alt | 0,030219714 | 709,4904 | 7967,794 |
| 22 | üst | 0,030219714 | 709,4904 | 3758,188 |
| 22 | alt | 0,031397714 | 693,1566 | 6136,78 |
| 23 | üst | 0,031397714 | 693,1566 | 1442,007 |
| 23 | alt | 0,031845143 | 443,829 | 3758,188 |
| 24 | üst | 0,031845143 | 443,829 | 1442,007 |

Çizelge A.49 : SF_0.69161_CHICHI03_CHY070-E.AT2 deprem analizinde mafsallı modelde oluşan deplasman ve kesme kuvvetleri.

| Kat | Kat deplasmanları (m) | Mafsal Deplasmanları (m) | Mafsal Kesme Kuvvetleri (kN) |
|-----|-----------------------|--------------------------|------------------------------|
| | x doğrultusu | z doğrultusu | z doğrultusu |
| 24 | 0,00248423 | 0,00021432 | 21,43214 |
| 23 | 0,00195878 | 0,00021413 | 21,41291 |
| 22 | 0,00145067 | 0,00021193 | 21,19281 |
| 21 | 0,00094989 | 0,00020634 | 20,634 |
| 20 | 0,00052763 | 0,00019694 | 19,69411 |
| 19 | 0,00016979 | 0,00018334 | 18,33369 |
| 18 | 0,00051758 | 0,00016699 | 16,69936 |
| 17 | 0,00087529 | 0,00014641 | 14,64085 |
| 16 | 0,00119399 | 0,00012547 | 12,54708 |
| 15 | 0,00145798 | 0,00010492 | 10,49154 |
| 14 | 0,00165243 | 8,06912E-05 | 8,06912 |
| 13 | 0,00177671 | 5,29415E-05 | 5,29415 |
| 12 | 0,00184172 | 3,23488E-05 | 3,23488 |
| 11 | 0,00184782 | 3,92135E-05 | 3,92135 |
| 10 | 0,00178865 | 6,46135E-05 | 6,46135 |
| 9 | 0,00169761 | 8,56972E-05 | 8,56972 |
| 8 | 0,00155602 | 0,00010112 | 10,11219 |
| 7 | 0,00136707 | 0,00011027 | 11,02743 |
| 6 | 0,00113856 | 0,00011616 | 11,61602 |
| 5 | 0,00090402 | 0,00012048 | 12,04783 |
| 4 | 0,00067965 | 0,00011878 | 11,87807 |
| 3 | 0,00051629 | 0,00010687 | 10,687 |
| 2 | 0,00040713 | 8,37307E-05 | 8,37307 |
| 1 | 0,0003292 | 4,82407E-05 | 4,82407 |

**Çizelge A.50 : SF_0.69161_CHICHI03_CHY070-E.AT2 deprem analizinde
mafsallı modelde çıkan sonuçlar.**

| Kat | | Görelî Katarası Ötelenme Oranı (%) | Kat Kesme Kuvvetleri (kN) | Perde Momentleri (kNm) |
|-----|-----|---------------------------------------|------------------------------|------------------------|
| 0 | alt | 0,001601898 | 541,4206 | 7912,241 |
| 1 | üst | 0,001601898 | 541,4206 | 6038,661 |
| 1 | alt | 0,004255245 | 537,561 | 7912,241 |
| 2 | üst | 0,004255245 | 537,561 | 4209,793 |
| 2 | alt | 0,006097429 | 519,1935 | 6038,661 |
| 3 | üst | 0,006097429 | 519,1935 | 2777,543 |
| 3 | alt | 0,007172286 | 482,1566 | 4209,793 |
| 4 | üst | 0,007172286 | 482,1566 | 1932,117 |
| 4 | alt | 0,007549429 | 426,3038 | 2777,543 |
| 5 | üst | 0,007549429 | 426,3038 | 1135,657 |
| 5 | alt | 0,007428 | 363,3586 | 1932,117 |
| 6 | üst | 0,007428 | 363,3586 | 1856,578 |
| 6 | alt | 0,006985143 | 330,3658 | 1135,657 |
| 7 | üst | 0,006985143 | 330,3658 | 2766,763 |
| 7 | alt | 0,006516857 | 302,8477 | 1856,578 |
| 8 | üst | 0,006516857 | 302,8477 | 3408,599 |
| 8 | alt | 0,005657429 | 290,2723 | 2766,763 |
| 9 | üst | 0,005657429 | 290,2723 | 3888,601 |
| 9 | alt | 0,004414 | 258,3518 | 3408,599 |
| 10 | üst | 0,004414 | 258,3518 | 4377,047 |
| 10 | alt | 0,002829714 | 208,369 | 3888,601 |
| 11 | üst | 0,002829714 | 208,369 | 4656,264 |
| 11 | alt | 0,001971714 | 146,9246 | 4377,047 |
| 12 | üst | 0,001971714 | 146,9246 | 4815,174 |
| 12 | alt | 0,003073429 | 95,79202 | 4656,264 |
| 13 | üst | 0,003073429 | 95,79202 | 5024,565 |
| 13 | alt | 0,004975714 | 138,9745 | 4815,174 |
| 14 | üst | 0,004975714 | 138,9745 | 4980,42 |
| 14 | alt | 0,006711714 | 188,0138 | 5024,565 |
| 15 | üst | 0,006711714 | 188,0138 | 4697,226 |
| 15 | alt | 0,008186857 | 218,1707 | 4980,42 |
| 16 | üst | 0,008186857 | 218,1707 | 4323,549 |
| 16 | alt | 0,009694857 | 225,4324 | 4697,226 |
| 17 | üst | 0,009694857 | 225,4324 | 3979,815 |
| 17 | alt | 0,011106 | 234,3844 | 4323,549 |
| 18 | üst | 0,011106 | 234,3844 | 3550,289 |
| 18 | alt | 0,012362338 | 234,7172 | 3979,815 |
| 19 | üst | 0,012362338 | 234,7172 | 2975,307 |
| 19 | alt | 0,013416134 | 230,2333 | 3550,289 |
| 20 | üst | 0,013416134 | 230,2333 | 2276,693 |
| 20 | alt | 0,014209143 | 239,4534 | 2975,307 |
| 21 | üst | 0,014209143 | 239,4534 | 1526,064 |
| 21 | alt | 0,014731429 | 228,4011 | 2276,693 |
| 22 | üst | 0,014731429 | 228,4011 | 817,4976 |
| 22 | alt | 0,014997714 | 183,565 | 1526,064 |
| 23 | üst | 0,014997714 | 183,565 | 267,5267 |
| 23 | alt | 0,015079143 | 102,9985 | 817,4976 |
| 24 | üst | 0,015079143 | 102,9985 | 267,5267 |

Çizelge A.51 : SF_0.69161_CHICHI03_CHY070-E.AT2 deprem analizinde çelik yastıklı modelde oluşan deplasman ve kesme kuvvetleri.

| Kat | Kat deplasmanları (m) | Çelik Yastık Deplasmanları (m) | Celik Y. Kesme Kuvvetleri (kN) |
|-----|-----------------------|--------------------------------|--------------------------------|
| | x doğrultusu | z doğrultusu | z doğrultusu |
| 24 | 0,00263861 | 0,00140229 | 16,0971 |
| 23 | 0,00263866 | 0,00139797 | 16,04756 |
| 22 | 0,00152299 | 0,00137546 | 15,78909 |
| 21 | 0,00097948 | 0,0013251 | 15,21101 |
| 20 | 0,0005434 | 0,00124234 | 14,26107 |
| 19 | 0,00017085 | 0,00113616 | 13,04214 |
| 18 | 0,0005983 | 0,00101711 | 11,67561 |
| 17 | 0,00097762 | 0,00089353 | 10,257 |
| 16 | 0,00128735 | 0,00078242 | 8,98154 |
| 15 | 0,0015233 | 0,00066099 | 7,58762 |
| 14 | 0,00169388 | 0,0005148 | 5,90946 |
| 13 | 0,00183688 | 0,00034927 | 4,00928 |
| 12 | 0,00193946 | 0,00021643 | 2,48446 |
| 11 | 0,00197902 | 0,00024097 | 2,76619 |
| 10 | 0,00195614 | 0,00036689 | 4,21161 |
| 9 | 0,00187169 | 0,00047284 | 5,42781 |
| 8 | 0,00173114 | 0,00055233 | 6,34033 |
| 7 | 0,00153685 | 0,00061073 | 7,01063 |
| 6 | 0,00130156 | 0,00067474 | 7,74548 |
| 5 | 0,00103805 | 0,0007148 | 8,20529 |
| 4 | 0,00076442 | 0,00070839 | 8,13179 |
| 3 | 0,0005498 | 0,0006402 | 7,34901 |
| 2 | 0,00042182 | 0,00050218 | 5,76465 |
| 1 | 0,00033226 | 0,00028982 | 3,3269 |

Cizelge A.52 : SF_0.69161_CHICHI03_CHY070-E.AT2 deprem analizinde çelik yastıklı modelde çıkan sonuçlar.

| Kat | | Göreli Katarası Ötelenme Oranı (%) | Kat Kesme Kuvvetleri (kN) | Perde Momentleri (kNm) |
|-----|-----|------------------------------------|---------------------------|------------------------|
| 0 | alt | 0,001671772 | 569,2077 | 8259,912 |
| 1 | üst | 0,001671772 | 569,2077 | 6283,336 |
| 1 | alt | 0,004435085 | 563,2598 | 8259,912 |
| 2 | üst | 0,004435085 | 563,2598 | 4353,127 |
| 2 | alt | 0,006348857 | 540,9616 | 6283,336 |
| 3 | üst | 0,006348857 | 540,9616 | 2770,696 |
| 3 | alt | 0,007454857 | 498,5127 | 4353,127 |
| 4 | üst | 0,007454857 | 498,5127 | 1910,455 |
| 4 | alt | 0,007818286 | 437,1427 | 2770,696 |
| 5 | üst | 0,007818286 | 437,1427 | 1247,265 |
| 5 | alt | 0,007565429 | 364,3032 | 1910,455 |
| 6 | üst | 0,007565429 | 364,3032 | 1963,31 |
| 6 | alt | 0,006995143 | 336,9585 | 1247,265 |
| 7 | üst | 0,006995143 | 336,9585 | 2911,597 |
| 7 | alt | 0,006172 | 297,6216 | 1963,31 |
| 8 | üst | 0,006172 | 297,6216 | 3578,375 |
| 8 | alt | 0,005427714 | 273,4244 | 2911,597 |
| 9 | üst | 0,005427714 | 273,4244 | 4029,875 |
| 9 | alt | 0,004367714 | 249,1762 | 3578,375 |
| 10 | üst | 0,004367714 | 249,1762 | 4558,346 |
| 10 | alt | 0,003057429 | 209,6041 | 4029,875 |
| 11 | üst | 0,003057429 | 209,6041 | 4839,368 |
| 11 | alt | 0,002144 | 162,3417 | 4558,346 |
| 12 | üst | 0,002144 | 162,3417 | 4842,451 |
| 12 | alt | 0,003405714 | 116,2935 | 4839,368 |
| 13 | üst | 0,003405714 | 116,2935 | 4907,765 |
| 13 | alt | 0,005345429 | 148,062 | 4842,451 |
| 14 | üst | 0,005345429 | 148,062 | 4993,867 |
| 14 | alt | 0,007128857 | 189,7602 | 4907,765 |
| 15 | üst | 0,007128857 | 189,7602 | 4898,738 |
| 15 | alt | 0,008666286 | 211,4426 | 4993,867 |
| 16 | üst | 0,008666286 | 211,4426 | 4843,734 |
| 16 | alt | 0,009958857 | 216,3729 | 4898,738 |
| 17 | üst | 0,009958857 | 216,3729 | 4576,266 |
| 17 | alt | 0,011362571 | 216,5613 | 4843,734 |
| 18 | üst | 0,011362571 | 216,5613 | 4095,461 |
| 18 | alt | 0,012868718 | 225,8338 | 4576,266 |
| 19 | üst | 0,012868718 | 225,8338 | 3425,618 |
| 19 | alt | 0,014096571 | 248,2725 | 4095,461 |
| 20 | üst | 0,014096571 | 248,2725 | 2620,089 |
| 20 | alt | 0,015229714 | 264,8822 | 3425,618 |
| 21 | üst | 0,015229714 | 264,8822 | 1760,807 |
| 21 | alt | 0,015992 | 250,9375 | 2620,089 |
| 22 | üst | 0,015992 | 250,9375 | 953,0819 |
| 22 | alt | 0,016407714 | 201,1029 | 1760,807 |
| 23 | üst | 0,016407714 | 201,1029 | 321,3726 |
| 23 | alt | 0,016555429 | 112,5418 | 953,0819 |
| 24 | üst | 0,016555429 | 112,5418 | 321,3726 |

Çizelge A.53 : SF_1,094_COALINGA_C-SKH360.AT2 deprem analizinde mafsallı modelde oluşan deplasman ve kesme kuvvetleri.

| Kat | Kat deplasmanları (m) | Mafsal Deplasmanları (m) | Mafsal Kesme Kuvvetleri (kN) |
|-----|-----------------------|--------------------------|------------------------------|
| | x doğrultusu | z doğrultusu | z doğrultusu |
| 24 | 0,02028769 | 0,00038979 | 110,3216 |
| 23 | 0,01850763 | 0,00048853 | 110,2551 |
| 22 | 0,01676469 | 0,00053071 | 109,42 |
| 21 | 0,0151173 | 0,00052681 | 107,7508 |
| 20 | 0,01423565 | 0,0005286 | 104,0622 |
| 19 | 0,01393828 | 0,0005234 | 89,39828 |
| 18 | 0,01332263 | 0,00056186 | 77,7589 |
| 17 | 0,01234565 | 0,00058228 | 78,41118 |
| 16 | 0,01123805 | 0,00059176 | 77,52148 |
| 15 | 0,00993734 | 0,00066063 | 76,57263 |
| 14 | 0,00934869 | 0,00071384 | 77,63395 |
| 13 | 0,00904294 | 0,00073238 | 77,0243 |
| 12 | 0,00869612 | 0,00077024 | 73,23798 |
| 11 | 0,00833422 | 0,00077634 | 71,38397 |
| 10 | 0,00844105 | 0,00076573 | 66,06348 |
| 9 | 0,00839065 | 0,00077521 | 59,17564 |
| 8 | 0,00810917 | 0,00078411 | 58,22753 |
| 7 | 0,00758121 | 0,00077759 | 56,18605 |
| 6 | 0,00684462 | 0,00089398 | 52,33973 |
| 5 | 0,00594322 | 0,00104062 | 52,85983 |
| 4 | 0,00503343 | 0,00107751 | 52,68102 |
| 3 | 0,00468069 | 0,0010942 | 53,07141 |
| 2 | 0,00432369 | 0,00110255 | 48,85339 |
| 1 | 0,00409757 | 0,00110322 | 38,97923 |

Çizelge A.54 : SF_1,094_COALINGA_C-SKH360.AT2 deprem analizinde mafsallı modelde çıkan sonuçlar.

| Kat | | Göreli Katarası Ötelenme Oranı (%) | Kat Kesme Kuvvetleri (kN) | Perde Momentleri (kNm) |
|-----|-----|------------------------------------|---------------------------|------------------------|
| 0 | alt | 0,021849429 | 3529,567 | 31727,254 |
| 1 | üst | 0,021849429 | 3529,567 | 21266,167 |
| 1 | alt | 0,030856286 | 3117,792 | 31727,254 |
| 2 | üst | 0,030856286 | 3117,792 | 16512,241 |
| 2 | alt | 0,033874 | 2843,8 | 21266,167 |
| 3 | üst | 0,033874 | 2843,8 | 16167,902 |
| 3 | alt | 0,034407143 | 2670,176 | 16512,241 |
| 4 | üst | 0,034407143 | 2670,176 | 17885,429 |
| 4 | alt | 0,034786857 | 2026,352 | 16167,902 |
| 5 | üst | 0,034786857 | 2026,352 | 18867,608 |
| 5 | alt | 0,033740857 | 1854,834 | 17885,429 |
| 6 | üst | 0,033740857 | 1854,834 | 19431,303 |
| 6 | alt | 0,035010857 | 1699,375 | 18867,608 |
| 7 | üst | 0,035010857 | 1699,375 | 19827,061 |
| 7 | alt | 0,036841429 | 1957,99 | 19431,303 |
| 8 | üst | 0,036841429 | 1957,99 | 20040,81 |
| 8 | alt | 0,037906571 | 2203,449 | 19827,061 |
| 9 | üst | 0,037906571 | 2203,449 | 20446,31 |
| 9 | alt | 0,041046286 | 2246,512 | 20040,81 |
| 10 | üst | 0,041046286 | 2246,512 | 19928,782 |
| 10 | alt | 0,043470286 | 2206,638 | 20446,31 |
| 11 | üst | 0,043470286 | 2206,638 | 18071,088 |
| 11 | alt | 0,046643714 | 2313,766 | 19928,782 |
| 12 | üst | 0,046643714 | 2313,766 | 16715,592 |
| 12 | alt | 0,050381714 | 1946,302 | 18071,088 |
| 13 | üst | 0,050381714 | 1946,302 | 19112,726 |
| 13 | alt | 0,052414 | 2372,919 | 16715,592 |
| 14 | üst | 0,052414 | 2372,919 | 20535,739 |
| 14 | alt | 0,052768286 | 2099,231 | 19112,726 |
| 15 | üst | 0,052768286 | 2099,231 | 20483,52 |
| 15 | alt | 0,056602286 | 1658,111 | 20535,739 |
| 16 | üst | 0,056602286 | 1658,111 | 19747,868 |
| 16 | alt | 0,057788286 | 1803,994 | 20483,52 |
| 17 | üst | 0,057788286 | 1803,994 | 19319,89 |
| 17 | alt | 0,056827714 | 1920,551 | 19747,868 |
| 18 | üst | 0,056827714 | 1920,551 | 18473,169 |
| 18 | alt | 0,062939143 | 1711,952 | 19319,89 |
| 19 | üst | 0,062939143 | 1711,952 | 17894,634 |
| 19 | alt | 0,072918 | 1644,696 | 18473,169 |
| 20 | üst | 0,072918 | 1644,696 | 17193,072 |
| 20 | alt | 0,077163714 | 1568,309 | 17894,634 |
| 21 | üst | 0,077163714 | 1568,309 | 14526,942 |
| 21 | alt | 0,078741714 | 1586,473 | 17193,072 |
| 22 | üst | 0,078741714 | 1586,473 | 10272,744 |
| 22 | alt | 0,080213714 | 1778,293 | 14526,942 |
| 23 | üst | 0,080213714 | 1778,293 | 4292,322 |
| 23 | alt | 0,081458286 | 1297,451 | 10272,744 |
| 24 | üst | 0,081458286 | 1297,451 | 4292,322 |

Çizelge A.55 : SF_1,094_COALINGA_C-SKH360.AT2 deprem analizinde çelik yastıklı modelde oluşan deplasman ve kesme kuvvetleri.

| Kat | Kat deplasmanları (m) | Çelik Yastık Deplasmanları (m) | Çelik Y. Kesme Kuvvetleri (kN) |
|-----|-----------------------|--------------------------------|--------------------------------|
| | x doğrultusu | z doğrultusu | z doğrultusu |
| 24 | 0,01807778 | 0,00653347 | 74,99878 |
| 23 | 0,01561941 | 0,00649505 | 74,55784 |
| 22 | 0,01341829 | 0,00640542 | 73,52895 |
| 21 | 0,01202949 | 0,0062844 | 72,13974 |
| 20 | 0,0113413 | 0,00612591 | 70,32034 |
| 19 | 0,01062024 | 0,0057657 | 66,18544 |
| 18 | 0,01061698 | 0,00521943 | 59,91468 |
| 17 | 0,01094637 | 0,00458261 | 52,60458 |
| 16 | 0,0108255 | 0,0046894 | 53,83041 |
| 15 | 0,00975876 | 0,0050562 | 58,04102 |
| 14 | 0,00951808 | 0,00510023 | 58,54639 |
| 13 | 0,00921191 | 0,00489693 | 56,21266 |
| 12 | 0,00882403 | 0,00444622 | 51,03895 |
| 11 | 0,00842639 | 0,00397925 | 45,67847 |
| 10 | 0,00843548 | 0,00350435 | 40,22701 |
| 9 | 0,00834903 | 0,00341774 | 39,23277 |
| 8 | 0,00802988 | 0,00340772 | 39,11783 |
| 7 | 0,00746577 | 0,003292 | 37,7894 |
| 6 | 0,00669536 | 0,00307744 | 35,32645 |
| 5 | 0,00593526 | 0,00325329 | 37,34501 |
| 4 | 0,00527061 | 0,00321527 | 36,90857 |
| 3 | 0,00468761 | 0,00313245 | 35,95793 |
| 2 | 0,00431724 | 0,00285725 | 32,79886 |
| 1 | 0,00408828 | 0,00241655 | 27,74 |

Çizelge A.56 : SF_1,094_COALINGA_C-SKH360.AT2 deprem analizinde çelik yastıklı modelde çıkan sonuçlar.

| Kat | | Göreli Katarası Ötelenme Oranı (%) | Kat Kesme Kuvvetleri (kN) | Perde Momentleri (kNm) |
|-----|-----|------------------------------------|---------------------------|------------------------|
| 0 | alt | 0,021437429 | 3757,543 | 29279,928 |
| 1 | üst | 0,021437429 | 3757,543 | 20664,487 |
| 1 | alt | 0,029707714 | 3282,327 | 29279,928 |
| 2 | üst | 0,029707714 | 3282,327 | 16495,319 |
| 2 | alt | 0,033559714 | 2574,558 | 20664,487 |
| 3 | üst | 0,033559714 | 2574,558 | 16136,098 |
| 3 | alt | 0,034952571 | 2150,307 | 16495,319 |
| 4 | üst | 0,034952571 | 2150,307 | 16760,521 |
| 4 | alt | 0,036439714 | 2264,057 | 16136,098 |
| 5 | üst | 0,036439714 | 2264,057 | 18252,888 |
| 5 | alt | 0,034666571 | 2267,384 | 16760,521 |
| 6 | üst | 0,034666571 | 2267,384 | 17992,093 |
| 6 | alt | 0,035576571 | 1992,32 | 18252,888 |
| 7 | üst | 0,035576571 | 1992,32 | 18857,709 |
| 7 | alt | 0,037499714 | 2164,085 | 17992,093 |
| 8 | üst | 0,037499714 | 2164,085 | 20235,244 |
| 8 | alt | 0,038345714 | 1914,749 | 18857,709 |
| 9 | üst | 0,038345714 | 1914,749 | 21969,26 |
| 9 | alt | 0,039668571 | 1856,579 | 20235,244 |
| 10 | üst | 0,039668571 | 1856,579 | 20309,326 |
| 10 | alt | 0,042061714 | 1978,558 | 21969,26 |
| 11 | üst | 0,042061714 | 1978,558 | 18323,049 |
| 11 | alt | 0,047235714 | 2111,668 | 20309,326 |
| 12 | üst | 0,047235714 | 2111,668 | 17278,644 |
| 12 | alt | 0,052567143 | 1964,387 | 18323,049 |
| 13 | üst | 0,052567143 | 1964,387 | 19391,928 |
| 13 | alt | 0,055758857 | 1983,742 | 17278,644 |
| 14 | üst | 0,055758857 | 1983,742 | 20913,988 |
| 14 | alt | 0,056433143 | 1987,416 | 19391,928 |
| 15 | üst | 0,056433143 | 1987,416 | 19788,109 |
| 15 | alt | 0,054542857 | 2004,877 | 20913,988 |
| 16 | üst | 0,054542857 | 2004,877 | 19881,844 |
| 16 | alt | 0,053749143 | 2692,389 | 19788,109 |
| 17 | üst | 0,053749143 | 2692,389 | 17917,013 |
| 17 | alt | 0,053840286 | 1921,169 | 19881,844 |
| 18 | üst | 0,053840286 | 1921,169 | 18144,286 |
| 18 | alt | 0,064707429 | 1976,79 | 17917,013 |
| 19 | üst | 0,064707429 | 1976,79 | 17701,924 |
| 19 | alt | 0,073792571 | 3845,846 | 18144,286 |
| 20 | üst | 0,073792571 | 3845,846 | 16651,492 |
| 20 | alt | 0,075779714 | 1781,419 | 17701,924 |
| 21 | üst | 0,075779714 | 1781,419 | 14469,587 |
| 21 | alt | 0,077711714 | 1624,728 | 16651,492 |
| 22 | üst | 0,077711714 | 1624,728 | 11172,536 |
| 22 | alt | 0,080007143 | 1627,634 | 14469,587 |
| 23 | üst | 0,080007143 | 1627,634 | 5637,017 |
| 23 | alt | 0,080958 | 1614,701 | 11172,536 |
| 24 | üst | 0,080958 | 1614,701 | 5637,017 |

Çizelge A.57 : SF_1,266_BORAH_MS_TAN260.AT2 deprem analizinde mafsallı modelde oluşan deplasman ve kesme kuvvetleri.

| Kat | Kat deplasmanları (m) | Mafsal Deplasmanları (m) | Mafsal Kesme Kuvvetleri (kN) |
|-----|-----------------------|--------------------------|------------------------------|
| | x doğrultusu | z doğrultusu | z doğrultusu |
| 24 | 0,00498588 | 0,00011631 | 11,63055 |
| 23 | 0,00472012 | 0,00011524 | 11,52422 |
| 22 | 0,00448784 | 0,00011052 | 11,05234 |
| 21 | 0,00438945 | 0,00010376 | 10,37559 |
| 20 | 0,00426977 | 9,38182E-05 | 9,38182 |
| 19 | 0,00412837 | 8,44875E-05 | 8,44875 |
| 18 | 0,004023 | 8,02598E-05 | 8,02598 |
| 17 | 0,00389252 | 8,70249E-05 | 8,70249 |
| 16 | 0,00372785 | 9,10741E-05 | 9,10741 |
| 15 | 0,00356238 | 9,21665E-05 | 9,21665 |
| 14 | 0,00347247 | 8,86831E-05 | 8,86831 |
| 13 | 0,00337713 | 8,32453E-05 | 8,32453 |
| 12 | 0,00325487 | 7,38414E-05 | 7,38414 |
| 11 | 0,00310668 | 8,05599E-05 | 8,05599 |
| 10 | 0,00294704 | 8,38674E-05 | 8,38674 |
| 9 | 0,00280344 | 8,13557E-05 | 8,13557 |
| 8 | 0,00277981 | 7,26363E-05 | 7,26363 |
| 7 | 0,00279793 | 6,45979E-05 | 6,45979 |
| 6 | 0,00280133 | 5,80982E-05 | 5,80982 |
| 5 | 0,00278138 | 4,9064E-05 | 4,9064 |
| 4 | 0,00273459 | 5,2005E-05 | 5,2005 |
| 3 | 0,00270055 | 5,17032E-05 | 5,17032 |
| 2 | 0,0027154 | 4,36513E-05 | 4,36513 |
| 1 | 0,00275179 | 2,67536E-05 | 2,67536 |

**Çizelge A.58 : SF_1,266_BORAH_MS_TAN260.AT2 deprem analizinde
mafsallı modelde çıkan sonuçlar.**

| Kat | | Göreli Katarası Ötelenme Oranı (%) | Kat Kesme Kuvvetleri (kN) | Perde Momentleri (kNm) |
|-----|-----|---------------------------------------|---------------------------|------------------------|
| 0 | alt | 0,000929189 | 587,1503 | 4718,901 |
| 1 | üst | 0,000929189 | 587,1503 | 3247,355 |
| 1 | alt | 0,002351201 | 519,9245 | 4718,901 |
| 2 | üst | 0,002351201 | 519,9245 | 2007,155 |
| 2 | alt | 0,003178571 | 448,3613 | 3247,355 |
| 3 | üst | 0,003178571 | 448,3613 | 2143,371 |
| 3 | alt | 0,003462286 | 356,6091 | 2007,155 |
| 4 | üst | 0,003462286 | 356,6091 | 2507,477 |
| 4 | alt | 0,003396 | 229,6042 | 2143,371 |
| 5 | üst | 0,003396 | 229,6042 | 2945,892 |
| 5 | alt | 0,003702 | 182,6378 | 2507,477 |
| 6 | üst | 0,003702 | 182,6378 | 3007,369 |
| 6 | alt | 0,004276286 | 223,3139 | 2945,892 |
| 7 | üst | 0,004276286 | 223,3139 | 2695,205 |
| 7 | alt | 0,004785714 | 276,851 | 3007,369 |
| 8 | üst | 0,004785714 | 276,851 | 2129,708 |
| 8 | alt | 0,005510286 | 295,1415 | 2695,205 |
| 9 | üst | 0,005510286 | 295,1415 | 1979,582 |
| 9 | alt | 0,005924 | 331,6142 | 2129,708 |
| 10 | üst | 0,005924 | 331,6142 | 2230,072 |
| 10 | alt | 0,005941143 | 312,052 | 1979,582 |
| 11 | üst | 0,005941143 | 312,052 | 2515,739 |
| 11 | alt | 0,005618 | 229,2163 | 2230,072 |
| 12 | üst | 0,005618 | 229,2163 | 2520,281 |
| 12 | alt | 0,005340286 | 207,0749 | 2515,739 |
| 13 | üst | 0,005340286 | 207,0749 | 2397,205 |
| 13 | alt | 0,005807143 | 265,8692 | 2520,281 |
| 14 | üst | 0,005807143 | 265,8692 | 2255,512 |
| 14 | alt | 0,006196571 | 304,284 | 2397,205 |
| 15 | üst | 0,006196571 | 304,284 | 1849,181 |
| 15 | alt | 0,006262 | 324,5412 | 2255,512 |
| 16 | üst | 0,006262 | 324,5412 | 1904,283 |
| 16 | alt | 0,006115429 | 282,1152 | 1849,181 |
| 17 | üst | 0,006115429 | 282,1152 | 2677,682 |
| 17 | alt | 0,005781143 | 238,543 | 1904,283 |
| 18 | üst | 0,005781143 | 238,543 | 3095,724 |
| 18 | alt | 0,005894857 | 176,4644 | 2677,682 |
| 19 | üst | 0,005894857 | 176,4644 | 3077,235 |
| 19 | alt | 0,006496 | 134,7517 | 3095,724 |
| 20 | üst | 0,006496 | 134,7517 | 2731,548 |
| 20 | alt | 0,007203429 | 220,4141 | 3077,235 |
| 21 | üst | 0,007203429 | 220,4141 | 2393,846 |
| 21 | alt | 0,007747714 | 249,8344 | 2731,548 |
| 22 | üst | 0,007747714 | 249,8344 | 1620,716 |
| 22 | alt | 0,008214571 | 271,6841 | 2393,846 |
| 23 | üst | 0,008214571 | 271,6841 | 676,729 |
| 23 | alt | 0,008433429 | 195,6039 | 1620,716 |
| 24 | üst | 0,008433429 | 195,6039 | 676,729 |

Çizelge A.59 : SF_1,266_BORAH_MS_TAN260.AT2 deprem analizinde çelik yastıklı modelde oluşan deplasman ve kesme kuvvetleri.

| Kat | Kat deplasmanları (m) | Çelik Yastık Deplasmanları (m) | Çelik Y. Kesme Kuvvetleri (kN) |
|-----|-----------------------|--------------------------------|--------------------------------|
| | x doğrultusu | z doğrultusu | z doğrultusu |
| 24 | 0,00499316 | 0,00075483 | 8,66485 |
| 23 | 0,00472793 | 0,00074804 | 8,58689 |
| 22 | 0,00452247 | 0,00071955 | 8,25986 |
| 21 | 0,00440013 | 0,00066091 | 7,58666 |
| 20 | 0,0043089 | 0,00057198 | 6,56591 |
| 19 | 0,0042476 | 0,00054016 | 6,20059 |
| 18 | 0,00414533 | 0,00054199 | 6,22161 |
| 17 | 0,00400312 | 0,00053546 | 6,14668 |
| 16 | 0,00382781 | 0,00057067 | 6,55077 |
| 15 | 0,00363479 | 0,00058911 | 6,76254 |
| 14 | 0,00353581 | 0,00058841 | 6,75444 |
| 13 | 0,00342734 | 0,00055869 | 6,41328 |
| 12 | 0,00330154 | 0,0005085 | 5,8372 |
| 11 | 0,00314995 | 0,0004919 | 5,64662 |
| 10 | 0,00297795 | 0,000524 | 6,01511 |
| 9 | 0,00290485 | 0,00051527 | 5,91489 |
| 8 | 0,00282842 | 0,00046356 | 5,32125 |
| 7 | 0,00281147 | 0,00040913 | 4,69651 |
| 6 | 0,00280637 | 0,00036469 | 4,18635 |
| 5 | 0,00280411 | 0,00029294 | 3,36267 |
| 4 | 0,00279757 | 0,00030386 | 3,48808 |
| 3 | 0,00278503 | 0,00030093 | 3,45445 |
| 2 | 0,00276985 | 0,00025602 | 2,93887 |
| 1 | 0,00276862 | 0,00015713 | 1,80373 |

Çizelge A.60 : SF_1,266_BORAH_MS_TAN260.AT2 deprem analizinde çelik yastıklı modelde çıkan sonuçlar.

| Kat | | Göreli Katarası Ötelenme Oranı (%) | Kat Kesme Kuvvetleri (kN) | Perde Momentleri (kNm) |
|-----|-----|---------------------------------------|---------------------------|------------------------|
| 0 | alt | 0,000941287 | 588,1271 | 4764,993 |
| 1 | üst | 0,000941287 | 588,1271 | 3288,982 |
| 1 | alt | 0,002389855 | 520,5516 | 4764,993 |
| 2 | üst | 0,002389855 | 520,5516 | 2032,901 |
| 2 | alt | 0,003205143 | 450,3598 | 3288,982 |
| 3 | üst | 0,003205143 | 450,3598 | 2275,035 |
| 3 | alt | 0,003469429 | 356,1247 | 2032,901 |
| 4 | üst | 0,003469429 | 356,1247 | 2689,896 |
| 4 | alt | 0,003441143 | 231,4958 | 2275,035 |
| 5 | üst | 0,003441143 | 231,4958 | 3212,798 |
| 5 | alt | 0,003890571 | 178,7362 | 2689,896 |
| 6 | üst | 0,003890571 | 178,7362 | 3243,55 |
| 6 | alt | 0,004578 | 229,2261 | 3212,798 |
| 7 | üst | 0,004578 | 229,2261 | 2785,875 |
| 7 | alt | 0,004970857 | 276,7767 | 3243,55 |
| 8 | üst | 0,004970857 | 276,7767 | 2182,035 |
| 8 | alt | 0,005799429 | 315,651 | 2785,875 |
| 9 | üst | 0,005799429 | 315,651 | 1890,371 |
| 9 | alt | 0,006166 | 327,5812 | 2182,035 |
| 10 | üst | 0,006166 | 327,5812 | 2255,272 |
| 10 | alt | 0,006057429 | 305,4017 | 1890,371 |
| 11 | üst | 0,006057429 | 305,4017 | 2666,798 |
| 11 | alt | 0,005611143 | 220,8731 | 2255,272 |
| 12 | üst | 0,005611143 | 220,8731 | 2684,912 |
| 12 | alt | 0,006204571 | 166,8971 | 2666,798 |
| 13 | üst | 0,006204571 | 166,8971 | 2369,851 |
| 13 | alt | 0,006693143 | 238,3892 | 2684,912 |
| 14 | üst | 0,006693143 | 238,3892 | 2139,341 |
| 14 | alt | 0,006876857 | 294,2502 | 2369,851 |
| 15 | üst | 0,006876857 | 294,2502 | 1674,561 |
| 15 | alt | 0,006731429 | 319,806 | 2139,341 |
| 16 | üst | 0,006731429 | 319,806 | 1905,461 |
| 16 | alt | 0,006447429 | 281,7647 | 1674,561 |
| 17 | üst | 0,006447429 | 281,7647 | 2636,416 |
| 17 | alt | 0,006338571 | 241,5752 | 1905,461 |
| 18 | üst | 0,006338571 | 241,5752 | 3076,504 |
| 18 | alt | 0,006425429 | 179,4649 | 2636,416 |
| 19 | üst | 0,006425429 | 179,4649 | 3080,471 |
| 19 | alt | 0,006418 | 127,5667 | 3076,504 |
| 20 | üst | 0,006418 | 127,5667 | 2858,091 |
| 20 | alt | 0,007561143 | 215,1765 | 3080,471 |
| 21 | üst | 0,007561143 | 215,1765 | 2402,217 |
| 21 | alt | 0,008400571 | 255,4835 | 2858,091 |
| 22 | üst | 0,008400571 | 255,4835 | 1629,657 |
| 22 | alt | 0,008892 | 272,1618 | 2402,217 |
| 23 | üst | 0,008892 | 272,1618 | 681,4629 |
| 23 | alt | 0,009082857 | 196,0835 | 1629,657 |
| 24 | üst | 0,009082857 | 196,0835 | 681,4629 |

Çizelge A.61 : SF_1,0421_CHICHI03_TCU087-N.AT2 deprem analizinde mafsallı modelde oluşan deplasman ve kesme kuvvetleri.

| Kat | Kat deplasmanları (m) | Mafsal Deplasmanları (m) | Mafsal Kesme Kuvvetleri (kN) |
|-----|-----------------------|--------------------------|------------------------------|
| | x doğrultusu | z doğrultusu | z doğrultusu |
| 24 | 0,00098471 | 9,48272E-05 | 9,48272 |
| 23 | 0,00075333 | 9,39246E-05 | 9,39246 |
| 22 | 0,00053819 | 9,01587E-05 | 9,01587 |
| 21 | 0,0003556 | 8,30452E-05 | 8,30452 |
| 20 | 0,00023331 | 7,37811E-05 | 7,37811 |
| 19 | 0,00015773 | 6,70117E-05 | 6,70117 |
| 18 | 0,00021278 | 6,36679E-05 | 6,36679 |
| 17 | 0,00031207 | 5,66764E-05 | 5,66764 |
| 16 | 0,00042918 | 5,08656E-05 | 5,08656 |
| 15 | 0,00052876 | 4,35579E-05 | 4,35579 |
| 14 | 0,00059707 | 3,40644E-05 | 3,40644 |
| 13 | 0,00063431 | 2,54422E-05 | 2,54422 |
| 12 | 0,00066649 | 2,19249E-05 | 2,19249 |
| 11 | 0,00069069 | 1,97597E-05 | 1,97597 |
| 10 | 0,00068585 | 3,14053E-05 | 3,14053 |
| 9 | 0,00065411 | 3,86334E-05 | 3,86334 |
| 8 | 0,00060288 | 4,31807E-05 | 4,31807 |
| 7 | 0,00054436 | 4,37586E-05 | 4,37586 |
| 6 | 0,00047697 | 4,18079E-05 | 4,18079 |
| 5 | 0,00041035 | 4,14048E-05 | 4,14048 |
| 4 | 0,00034797 | 3,98827E-05 | 3,98827 |
| 3 | 0,00028038 | 3,90713E-05 | 3,90713 |
| 2 | 0,00022115 | 3,32232E-05 | 3,32232 |
| 1 | 0,00023337 | 2,07018E-05 | 2,07018 |

Çizelge A.62 : SF_1,0421_CHICHI03_TCU087-N.AT2 deprem analizinde mafsallı modelde çıkan sonuçlar.

| Kat | | Göreli Katarası Ötelenme Oranı (%) | Kat Kesme Kuvvetleri (kN) | Perde Momentleri (kNm) |
|-----|-----|------------------------------------|---------------------------|------------------------|
| 0 | alt | 0,000709256 | 388,0834 | 3679,922 |
| 1 | üst | 0,000709256 | 388,0834 | 2373,615 |
| 1 | alt | 0,001738277 | 374,427 | 3679,922 |
| 2 | üst | 0,001738277 | 374,427 | 1414,397 |
| 2 | alt | 0,002291445 | 328,4848 | 2373,615 |
| 3 | üst | 0,002291445 | 328,4848 | 1353,377 |
| 3 | alt | 0,002480571 | 248,4963 | 1414,397 |
| 4 | üst | 0,002480571 | 248,4963 | 1558,068 |
| 4 | alt | 0,002504571 | 174,5068 | 1353,377 |
| 5 | üst | 0,002504571 | 174,5068 | 1477,923 |
| 5 | alt | 0,002620571 | 157,3476 | 1558,068 |
| 6 | üst | 0,002620571 | 157,3476 | 1602,334 |
| 6 | alt | 0,002690286 | 201,33 | 1477,923 |
| 7 | üst | 0,002690286 | 201,33 | 1445,168 |
| 7 | alt | 0,002812571 | 231,6439 | 1602,334 |
| 8 | üst | 0,002812571 | 231,6439 | 1357,752 |
| 8 | alt | 0,002597714 | 218,6246 | 1445,168 |
| 9 | üst | 0,002597714 | 218,6246 | 1583,503 |
| 9 | alt | 0,002230571 | 204,8812 | 1357,752 |
| 10 | üst | 0,002230571 | 204,8812 | 1885,261 |
| 10 | alt | 0,001606571 | 173,6298 | 1583,503 |
| 11 | üst | 0,001606571 | 173,6298 | 2247,456 |
| 11 | alt | 0,001478 | 114,9186 | 1885,261 |
| 12 | üst | 0,001478 | 114,9186 | 2406,884 |
| 12 | alt | 0,001587143 | 97,81075 | 2247,456 |
| 13 | üst | 0,001587143 | 97,81075 | 2493,625 |
| 13 | alt | 0,002144857 | 139,8926 | 2406,884 |
| 14 | üst | 0,002144857 | 139,8926 | 2268,996 |
| 14 | alt | 0,002682857 | 171,2455 | 2493,625 |
| 15 | üst | 0,002682857 | 171,2455 | 2073,432 |
| 15 | alt | 0,003175143 | 197,6703 | 2268,996 |
| 16 | üst | 0,003175143 | 197,6703 | 1938,77 |
| 16 | alt | 0,003619143 | 213,1606 | 2073,432 |
| 17 | üst | 0,003619143 | 213,1606 | 1928,688 |
| 17 | alt | 0,004198987 | 192,4242 | 1938,77 |
| 18 | üst | 0,004198987 | 192,4242 | 1961,04 |
| 18 | alt | 0,004545298 | 158,9554 | 1928,688 |
| 19 | üst | 0,004545298 | 158,9554 | 1999,933 |
| 19 | alt | 0,004997143 | 128,1824 | 1961,04 |
| 20 | üst | 0,004997143 | 128,1824 | 1825,194 |
| 20 | alt | 0,005595143 | 126,4367 | 1999,933 |
| 21 | üst | 0,005595143 | 126,4367 | 1412,424 |
| 21 | alt | 0,006143429 | 165,4886 | 1825,194 |
| 22 | üst | 0,006143429 | 165,4886 | 863,392 |
| 22 | alt | 0,006503714 | 163,324 | 1412,424 |
| 23 | üst | 0,006503714 | 163,324 | 329,4778 |
| 23 | alt | 0,006652571 | 104,8304 | 863,392 |
| 24 | üst | 0,006652571 | 104,8304 | 329,4778 |

Çizelge A.63 : SF_1,0421_CHICHI03_TCU087-N.AT2 deprem analizinde çelik yastıklı modelde oluşan deplasman ve kesme kuvvetleri.

| Kat | Kat deplasmanları (m) | Çelik Yastık Deplasmanları (m) | Çelik Y. Kesme Kuvvetleri (kN) |
|-----|-----------------------|--------------------------------|--------------------------------|
| | x doğrultusu | z doğrultusu | z doğrultusu |
| 24 | 0,00111943 | 0,00064442 | 7,39743 |
| 23 | 0,00085285 | 0,00063853 | 7,32982 |
| 22 | 0,00059258 | 0,00061496 | 7,05922 |
| 21 | 0,00040827 | 0,00056885 | 6,52988 |
| 20 | 0,00027503 | 0,00050208 | 5,76345 |
| 19 | 0,00016691 | 0,00043304 | 4,97097 |
| 18 | 0,00027285 | 0,00042631 | 4,89371 |
| 17 | 0,00036696 | 0,00040071 | 4,59984 |
| 16 | 0,00046463 | 0,00035891 | 4,11999 |
| 15 | 0,00059266 | 0,0003102 | 3,56086 |
| 14 | 0,0006925 | 0,00023949 | 2,74917 |
| 13 | 0,00075546 | 0,00017454 | 2,00357 |
| 12 | 0,00077927 | 0,00014392 | 1,65212 |
| 11 | 0,00076464 | 0,00014103 | 1,6189 |
| 10 | 0,00071364 | 0,00020104 | 2,30778 |
| 9 | 0,00065976 | 0,00024331 | 2,79299 |
| 8 | 0,00060716 | 0,00028338 | 3,25298 |
| 7 | 0,00056843 | 0,0002942 | 3,37714 |
| 6 | 0,00052723 | 0,00027442 | 3,15013 |
| 5 | 0,00046589 | 0,00027549 | 3,16241 |
| 4 | 0,00038887 | 0,00029663 | 3,40507 |
| 3 | 0,00030578 | 0,00028335 | 3,25262 |
| 2 | 0,00022833 | 0,00023058 | 2,64691 |
| 1 | 0,00023259 | 0,00013622 | 1,56369 |

Çizelge A.64 : SF_1,0421_CHICHI03_TCU087-N.AT2 deprem analizinde çelik yastıklı modelde çıkan sonuçlar.

| Kat | Göreli Katarası Ötelenme Oranı (%) | Kat Kesme Kuvvetleri (kN) | Perde Momentleri (kNm) |
|-----|------------------------------------|---------------------------|------------------------|
| 0 | alt | 0,000790617 | 383,1323 |
| 1 | üst | 0,000790617 | 383,1323 |
| 1 | alt | 0,002061074 | 371,3406 |
| 2 | üst | 0,002061074 | 371,3406 |
| 2 | alt | 0,002864594 | 328,3121 |
| 3 | üst | 0,002864594 | 328,3121 |
| 3 | alt | 0,003212571 | 278,8821 |
| 4 | üst | 0,003212571 | 278,8821 |
| 4 | alt | 0,003144857 | 228,9895 |
| 5 | üst | 0,003144857 | 228,9895 |
| 5 | alt | 0,002836 | 172,4143 |
| 6 | üst | 0,002836 | 172,4143 |
| 6 | alt | 0,003181429 | 217,6611 |
| 7 | üst | 0,003181429 | 217,6611 |
| 7 | alt | 0,003226857 | 251,2701 |
| 8 | üst | 0,003226857 | 251,2701 |
| 8 | alt | 0,00294 | 237,2606 |
| 9 | üst | 0,00294 | 237,2606 |
| 9 | alt | 0,002432857 | 207,8799 |
| 10 | üst | 0,002432857 | 207,8799 |
| 10 | alt | 0,001900857 | 181,69 |
| 11 | üst | 0,001900857 | 181,69 |
| 11 | alt | 0,001624 | 124,6442 |
| 12 | üst | 0,001624 | 124,6442 |
| 12 | alt | 0,001846286 | 105,1911 |
| 13 | üst | 0,001846286 | 105,1911 |
| 13 | alt | 0,002352857 | 140,9004 |
| 14 | üst | 0,002352857 | 140,9004 |
| 14 | alt | 0,003217143 | 173,9891 |
| 15 | üst | 0,003217143 | 173,9891 |
| 15 | alt | 0,003900857 | 210,1646 |
| 16 | üst | 0,003900857 | 210,1646 |
| 16 | alt | 0,004396 | 213,4604 |
| 17 | üst | 0,004396 | 213,4604 |
| 17 | alt | 0,004811885 | 182,8944 |
| 18 | üst | 0,004811885 | 182,8944 |
| 18 | alt | 0,004997829 | 159,5551 |
| 19 | üst | 0,004997829 | 159,5551 |
| 19 | alt | 0,00558167 | 131,0411 |
| 20 | üst | 0,00558167 | 131,0411 |
| 20 | alt | 0,006426571 | 155,8913 |
| 21 | üst | 0,006426571 | 155,8913 |
| 21 | alt | 0,007071429 | 189,6946 |
| 22 | üst | 0,007071429 | 189,6946 |
| 22 | alt | 0,007466571 | 176,6318 |
| 23 | üst | 0,007466571 | 176,6318 |
| 23 | alt | 0,007628 | 110,2775 |
| 24 | üst | 0,007628 | 110,2775 |

Çizelge A.65 : SF_1,0453_CHICHI05_TTN002-N.AT2 deprem analizinde mafsallı modelde oluşan deplasman ve kesme kuvvetleri.

| Kat | Kat deplasmanları (m) | Mafsal Deplasmanları (m) | Mafsal Kesme Kuvvetleri (kN) |
|-----|-----------------------|--------------------------|------------------------------|
| | x doğrultusu | z doğrultusu | z doğrultusu |
| 24 | 0,00078992 | 9,16804E-05 | 9,16804 |
| 23 | 0,00056942 | 9,00198E-05 | 9,00198 |
| 22 | 0,00038749 | 8,3824E-05 | 8,3824 |
| 21 | 0,0002909 | 7,25794E-05 | 7,25794 |
| 20 | 0,00021735 | 5,86491E-05 | 5,86491 |
| 19 | 0,00021272 | 5,06918E-05 | 5,06918 |
| 18 | 0,00027801 | 5,11303E-05 | 5,11303 |
| 17 | 0,00031124 | 5,46483E-05 | 5,46483 |
| 16 | 0,00033597 | 5,40347E-05 | 5,40347 |
| 15 | 0,00037205 | 4,70392E-05 | 4,70392 |
| 14 | 0,00046734 | 4,31876E-05 | 4,31876 |
| 13 | 0,00052876 | 3,72586E-05 | 3,72586 |
| 12 | 0,00054887 | 3,27236E-05 | 3,27236 |
| 11 | 0,00053165 | 3,77038E-05 | 3,77038 |
| 10 | 0,00049279 | 3,77982E-05 | 3,77982 |
| 9 | 0,00048316 | 3,71883E-05 | 3,71883 |
| 8 | 0,00047252 | 3,80517E-05 | 3,80517 |
| 7 | 0,00044444 | 4,51581E-05 | 4,51581 |
| 6 | 0,00041905 | 4,52058E-05 | 4,52058 |
| 5 | 0,00040472 | 3,88213E-05 | 3,88213 |
| 4 | 0,00037159 | 3,53227E-05 | 3,53227 |
| 3 | 0,00033244 | 4,02169E-05 | 4,02169 |
| 2 | 0,00031662 | 3,86737E-05 | 3,86737 |
| 1 | 0,00031155 | 2,62878E-05 | 2,62878 |

Çizelge A.66 : SF_1,0453_CHICHI05_TTN002-N.AT2 deprem analizinde mafsallı modelde çıkan sonuçlar.

| Kat | Göreli Katarası Ötelenme Oranı (%) | Kat Kesme Kuvvetleri (kN) | Perde Momentleri (kNm) |
|-----|------------------------------------|---------------------------|------------------------|
| 0 | alt | 0,000919343 | 610,2272 |
| 1 | üst | 0,000919343 | 610,2272 |
| 1 | alt | 0,002142928 | 575,9627 |
| 2 | üst | 0,002142928 | 575,9627 |
| 2 | alt | 0,002535714 | 459,3409 |
| 3 | üst | 0,002535714 | 459,3409 |
| 3 | alt | 0,002413429 | 302,3421 |
| 4 | üst | 0,002413429 | 302,3421 |
| 4 | alt | 0,002233714 | 247,984 |
| 5 | üst | 0,002233714 | 247,984 |
| 5 | alt | 0,002771429 | 262,1396 |
| 6 | üst | 0,002771429 | 262,1396 |
| 6 | alt | 0,002992 | 313,2172 |
| 7 | üst | 0,002992 | 313,2172 |
| 7 | alt | 0,002760571 | 290,1101 |
| 8 | üst | 0,002760571 | 290,1101 |
| 8 | alt | 0,002342709 | 266,614 |
| 9 | üst | 0,002342709 | 266,614 |
| 9 | alt | 0,002388572 | 285,769 |
| 10 | üst | 0,002388572 | 285,769 |
| 10 | alt | 0,002554727 | 304,2068 |
| 11 | üst | 0,002554727 | 304,2068 |
| 11 | alt | 0,002345071 | 252,1119 |
| 12 | üst | 0,002345071 | 252,1119 |
| 12 | alt | 0,002226571 | 199,5501 |
| 13 | üst | 0,002226571 | 199,5501 |
| 13 | alt | 0,002592857 | 257,3509 |
| 14 | üst | 0,002592857 | 257,3509 |
| 14 | alt | 0,002816286 | 276,9841 |
| 15 | üst | 0,002816286 | 276,9841 |
| 15 | alt | 0,00343 | 299,9484 |
| 16 | üst | 0,00343 | 299,9484 |
| 16 | alt | 0,003682689 | 266,2837 |
| 17 | üst | 0,003682689 | 266,2837 |
| 17 | alt | 0,003569231 | 279,1661 |
| 18 | üst | 0,003569231 | 279,1661 |
| 18 | alt | 0,003351321 | 278,5536 |
| 19 | üst | 0,003351321 | 278,5536 |
| 19 | alt | 0,003842491 | 195,2732 |
| 20 | üst | 0,003842491 | 195,2732 |
| 20 | alt | 0,004637421 | 184,3761 |
| 21 | üst | 0,004637421 | 184,3761 |
| 21 | alt | 0,005500286 | 216,8199 |
| 22 | üst | 0,005500286 | 216,8199 |
| 22 | alt | 0,006074571 | 245,1396 |
| 23 | üst | 0,006074571 | 245,1396 |
| 23 | alt | 0,006324 | 173,456 |
| 24 | üst | 0,006324 | 173,456 |

Çizelge A.67 : SF_1,0453_CHICHI05_TTN002-N.AT2 deprem analizinde çelik yastıklı modelde oluşan deplasman ve kesme kuvvetleri.

| Kat | Kat deplasmanları (m) | Çelik Yastık Deplasmanları (m) | Çelik Y. Kesme Kuvvetleri (kN) |
|-----|-----------------------|--------------------------------|--------------------------------|
| | x doğrultusu | z doğrultusu | z doğrultusu |
| 24 | 0,00079448 | 0,00053529 | 6,14464 |
| 23 | 0,00057622 | 0,00052543 | 6,03145 |
| 22 | 0,00038311 | 0,00049073 | 5,63314 |
| 21 | 0,00027884 | 0,00044481 | 5,10599 |
| 20 | 0,00021815 | 0,00039239 | 4,50427 |
| 19 | 0,00019863 | 0,00032655 | 3,74849 |
| 18 | 0,00029088 | 0,00029144 | 3,34554 |
| 17 | 0,00036624 | 0,00031459 | 3,61119 |
| 16 | 0,00040152 | 0,00031519 | 3,61816 |
| 15 | 0,00040322 | 0,00027952 | 3,20861 |
| 14 | 0,0004339 | 0,00024875 | 2,85544 |
| 13 | 0,00049658 | 0,00021144 | 2,42713 |
| 12 | 0,00051812 | 0,0002022 | 2,32108 |
| 11 | 0,0005005 | 0,0002249 | 2,58166 |
| 10 | 0,00049636 | 0,00022686 | 2,60416 |
| 9 | 0,00050304 | 0,00022811 | 2,61851 |
| 8 | 0,00049117 | 0,00022649 | 2,59995 |
| 7 | 0,00047311 | 0,00025304 | 2,90474 |
| 6 | 0,00045844 | 0,00024643 | 2,82882 |
| 5 | 0,00041143 | 0,00021602 | 2,47969 |
| 4 | 0,00035504 | 0,00022868 | 2,6251 |
| 3 | 0,00033204 | 0,00025604 | 2,9391 |
| 2 | 0,00031638 | 0,00023321 | 2,67701 |
| 1 | 0,0003127 | 0,00015926 | 1,82817 |

**Çizelge A.68 : SF_1,0453_CHICHI05_TTN002-N.AT2 deprem analizinde
çelik yastıklı modelde çıkan sonuçlar.**

| Kat | Göreli Katarası Ötelenme Oranı (%) | Kat Kesme Kuvvetleri (kN) | Perde Momentleri (kNm) |
|-----|---------------------------------------|------------------------------|------------------------|
| 0 | 0,000964055 | 644,6501 | 5128,677 |
| 1 | 0,000964055 | 644,6501 | 2914,827 |
| 1 | 0,00224023 | 608,4058 | 5128,677 |
| 2 | 0,00224023 | 608,4058 | 1382,492 |
| 2 | 0,002749429 | 485,9239 | 2914,827 |
| 3 | 0,002749429 | 485,9239 | 1765,5 |
| 3 | 0,002699143 | 320,7114 | 1382,492 |
| 4 | 0,002699143 | 320,7114 | 2038,161 |
| 4 | 0,002301714 | 231,0173 | 1765,5 |
| 5 | 0,002301714 | 231,0173 | 2203,261 |
| 5 | 0,002566 | 251,3509 | 2038,161 |
| 6 | 0,002566 | 251,3509 | 2164,259 |
| 6 | 0,002840857 | 313,246 | 2203,261 |
| 7 | 0,002840857 | 313,246 | 2152,243 |
| 7 | 0,002699429 | 299,5729 | 2164,259 |
| 8 | 0,002699429 | 299,5729 | 2038,078 |
| 8 | 0,002574 | 267,0214 | 2152,243 |
| 9 | 0,002574 | 267,0214 | 2103,947 |
| 9 | 0,002458286 | 285,098 | 2038,078 |
| 10 | 0,002458286 | 285,098 | 2399,899 |
| 10 | 0,00262363 | 311,4955 | 2103,947 |
| 11 | 0,00262363 | 311,4955 | 2333,617 |
| 11 | 0,002385072 | 262,4374 | 2399,899 |
| 12 | 0,002385072 | 262,4374 | 2624,652 |
| 12 | 0,002320857 | 206,3697 | 2333,617 |
| 13 | 0,002320857 | 206,3697 | 2767,466 |
| 13 | 0,002548857 | 248,7942 | 2624,652 |
| 14 | 0,002548857 | 248,7942 | 2344,075 |
| 14 | 0,00288 | 264,9578 | 2767,466 |
| 15 | 0,00288 | 264,9578 | 2428,953 |
| 15 | 0,003413714 | 313,1236 | 2344,075 |
| 16 | 0,003413714 | 313,1236 | 2580,337 |
| 16 | 0,00358665 | 281,3001 | 2428,953 |
| 17 | 0,00358665 | 281,3001 | 2815,092 |
| 17 | 0,003400508 | 288,8541 | 2580,337 |
| 18 | 0,003400508 | 288,8541 | 2708,175 |
| 18 | 0,003584059 | 284,7975 | 2815,092 |
| 19 | 0,003584059 | 284,7975 | 2554,9 |
| 19 | 0,004300444 | 203,771 | 2708,175 |
| 20 | 0,004300444 | 203,771 | 2605,649 |
| 20 | 0,005004774 | 189,4833 | 2554,9 |
| 21 | 0,005004774 | 189,4833 | 2269,746 |
| 21 | 0,005568 | 220,2479 | 2605,649 |
| 22 | 0,005568 | 220,2479 | 1524,384 |
| 22 | 0,006039143 | 260,2118 | 2269,746 |
| 23 | 0,006039143 | 260,2118 | 643,9068 |
| 23 | 0,006288286 | 189,2019 | 1524,384 |
| 24 | 0,006288286 | 189,2019 | 643,9068 |

Çizelge A.69 : SF_1,0521_CHICHI05_TTN002-W.AT2 deprem analizinde mafsallı modelde oluşan deplasman ve kesme kuvvetleri.

| Kat | Kat deplasmanları (m) | Mafsal Deplasmanları (m) | Mafsal Kesme Kuvvetleri (kN) |
|-----|-----------------------|--------------------------|------------------------------|
| | x doğrultusu | z doğrultusu | z doğrultusu |
| 24 | 0,00143097 | 0,00012073 | 12,07272 |
| 23 | 0,00113833 | 0,00011988 | 11,98785 |
| 22 | 0,00088203 | 0,0001162 | 11,62049 |
| 21 | 0,00066243 | 0,00011025 | 11,02496 |
| 20 | 0,00044193 | 0,00010484 | 10,4841 |
| 19 | 0,00022633 | 0,0000980401 | 9,80401 |
| 18 | 0,00040617 | 0,0000893531 | 8,93531 |
| 17 | 0,00059739 | 0,000081876 | 8,1876 |
| 16 | 0,00074965 | 0,0000722972 | 7,22972 |
| 15 | 0,00086127 | 0,0000603936 | 6,03936 |
| 14 | 0,00096835 | 0,0000482814 | 4,82814 |
| 13 | 0,00105619 | 0,0000376046 | 3,76046 |
| 12 | 0,00110378 | 0,0000274133 | 2,74133 |
| 11 | 0,00111312 | 0,0000325206 | 3,25206 |
| 10 | 0,00108765 | 0,0000403269 | 4,03269 |
| 9 | 0,00102959 | 0,0000449965 | 4,49965 |
| 8 | 0,00094384 | 0,0000517583 | 5,17583 |
| 7 | 0,00084417 | 0,0000574103 | 5,74103 |
| 6 | 0,00074917 | 0,0000588542 | 5,88542 |
| 5 | 0,00063863 | 0,0000603635 | 6,03635 |
| 4 | 0,00051543 | 0,0000599045 | 5,99045 |
| 3 | 0,00039763 | 0,0000566101 | 5,66101 |
| 2 | 0,00030952 | 0,0000468509 | 4,68509 |
| 1 | 0,00024555 | 0,0000283855 | 2,83855 |

Çizelge A.70 : SF_1,0521_CHICHI05_TTN002-W.AT2 deprem analizinde mafsallı modelde çıkan sonuçlar.

| Kat | | Göreli Katarası Öteleme Oranı (%) | Kat Kesme Kuvvetleri (kN) | Perde Momentleri (kNm) |
|-----|-----|-----------------------------------|---------------------------|------------------------|
| 0 | alt | 0,000956904 | 435,7907 | 4853,707 |
| 1 | üst | 0,000956904 | 435,7907 | 3368,575 |
| 1 | alt | 0,002437096 | 415,9325 | 4853,707 |
| 2 | üst | 0,002437096 | 415,9325 | 2132,849 |
| 2 | alt | 0,003314857 | 365,0908 | 3368,575 |
| 3 | üst | 0,003314857 | 365,0908 | 1686,289 |
| 3 | alt | 0,003680857 | 289,4158 | 2132,849 |
| 4 | üst | 0,003680857 | 289,4158 | 1512,259 |
| 4 | alt | 0,003763714 | 253,2703 | 1686,289 |
| 5 | üst | 0,003763714 | 253,2703 | 1351,755 |
| 5 | alt | 0,003721429 | 273,9763 | 1512,259 |
| 6 | üst | 0,003721429 | 273,9763 | 1467,969 |
| 6 | alt | 0,003643714 | 264,2636 | 1351,755 |
| 7 | üst | 0,003643714 | 264,2636 | 1809,648 |
| 7 | alt | 0,003406571 | 230,3437 | 1467,969 |
| 8 | üst | 0,003406571 | 230,3437 | 2236,494 |
| 8 | alt | 0,002960571 | 225,7692 | 1809,648 |
| 9 | üst | 0,002960571 | 225,7692 | 2360,754 |
| 9 | alt | 0,002529429 | 205,7833 | 2236,494 |
| 10 | üst | 0,002529429 | 205,7833 | 2651,89 |
| 10 | alt | 0,002168571 | 232,2057 | 2360,754 |
| 11 | üst | 0,002168571 | 232,2057 | 2892,064 |
| 11 | alt | 0,001602 | 212,1682 | 2651,89 |
| 12 | üst | 0,001602 | 212,1682 | 2841,318 |
| 12 | alt | 0,002205429 | 170,147 | 2892,064 |
| 13 | üst | 0,002205429 | 170,147 | 2835,92 |
| 13 | alt | 0,002970857 | 198,059 | 2841,318 |
| 14 | üst | 0,002970857 | 198,059 | 3007,622 |
| 14 | alt | 0,003884857 | 190,7521 | 2835,92 |
| 15 | üst | 0,003884857 | 190,7521 | 2860,526 |
| 15 | alt | 0,004637429 | 184,4437 | 3007,622 |
| 16 | üst | 0,004637429 | 184,4437 | 2747,685 |
| 16 | alt | 0,005412857 | 207,6726 | 2860,526 |
| 17 | üst | 0,005412857 | 207,6726 | 2584,318 |
| 17 | alt | 0,005926857 | 228,0785 | 2747,685 |
| 18 | üst | 0,005926857 | 228,0785 | 2463,643 |
| 18 | alt | 0,006651237 | 220,4976 | 2584,318 |
| 19 | üst | 0,006651237 | 220,4976 | 2397,247 |
| 19 | alt | 0,007136296 | 196,6392 | 2463,643 |
| 20 | üst | 0,007136296 | 196,6392 | 2192,404 |
| 20 | alt | 0,007618286 | 175,039 | 2397,247 |
| 21 | üst | 0,007618286 | 175,039 | 1728,022 |
| 21 | alt | 0,007983429 | 201,358 | 2192,404 |
| 22 | üst | 0,007983429 | 201,358 | 1095,162 |
| 22 | alt | 0,008320286 | 203,6267 | 1728,022 |
| 23 | üst | 0,008320286 | 203,6267 | 451,0911 |
| 23 | alt | 0,008465714 | 139,1572 | 1095,162 |
| 24 | üst | 0,008465714 | 139,1572 | 451,0911 |

Çizelge A.71 : SF_1,0521_CHICHI05_TTN002-W.AT2 deprem
 analizinde çelik yastıklı modelde oluşan deplasman ve kesme kuvvetleri.

| Kat | Kat deplasmanları (m) | Çelik Yastık Deplasmanları (m) | Çelik Y. Kesme Kuvvetleri (kN) |
|-----|-----------------------|--------------------------------|--------------------------------|
| | x doğrultusu | z doğrultusu | z doğrultusu |
| 24 | 0,0015263 | 0,00075557 | 8,67327 |
| 23 | 0,00122108 | 0,00074993 | 8,60861 |
| 22 | 0,00092424 | 0,00072762 | 8,35249 |
| 21 | 0,00068551 | 0,00068537 | 7,86751 |
| 20 | 0,0004586 | 0,00062748 | 7,20296 |
| 19 | 0,00023872 | 0,00058396 | 6,70338 |
| 18 | 0,00043385 | 0,00055433 | 6,36329 |
| 17 | 0,00061284 | 0,00050685 | 5,81819 |
| 16 | 0,00075717 | 0,00044261 | 5,08083 |
| 15 | 0,0009022 | 0,0003686 | 4,23123 |
| 14 | 0,00101904 | 0,00029322 | 3,36588 |
| 13 | 0,001096 | 0,00021054 | 2,4168 |
| 12 | 0,00116034 | 0,00016558 | 1,90075 |
| 11 | 0,00118801 | 0,00020147 | 2,31267 |
| 10 | 0,00117987 | 0,00024682 | 2,83329 |
| 9 | 0,0011397 | 0,00028333 | 3,25238 |
| 8 | 0,00107488 | 0,0003397 | 3,8995 |
| 7 | 0,00099273 | 0,00037079 | 4,25636 |
| 6 | 0,0008884 | 0,0003969 | 4,55606 |
| 5 | 0,00076372 | 0,00039111 | 4,48961 |
| 4 | 0,00062448 | 0,00037432 | 4,29689 |
| 3 | 0,00048232 | 0,00036055 | 4,13881 |
| 2 | 0,00035379 | 0,00029871 | 3,42898 |
| 1 | 0,0002596 | 0,00018009 | 2,06731 |

Çizelge A.72 : SF_1,0521_CHICHI05_TTN002-W.AT2 deprem analizinde çelik yastıklı modelde çıkan sonuçlar.

| Kat | | Görelî Katarası Ötelenme Oranı (%) | Kat Kesme Kuvvetleri (kN) | Perde Momentleri (kNm) |
|-----|-----|------------------------------------|---------------------------|------------------------|
| 0 | alt | 0,001051784 | 455,4139 | 5311,984 |
| 1 | üst | 0,001051784 | 455,4139 | 3727,135 |
| 1 | alt | 0,00269393 | 439,457 | 5311,984 |
| 2 | üst | 0,00269393 | 439,457 | 2326,237 |
| 2 | alt | 0,003672 | 392,4068 | 3727,135 |
| 3 | üst | 0,003672 | 392,4068 | 1903,603 |
| 3 | alt | 0,004061714 | 315,1368 | 2326,237 |
| 4 | üst | 0,004061714 | 315,1368 | 1679,166 |
| 4 | alt | 0,004146 | 256,5719 | 1903,603 |
| 5 | üst | 0,004146 | 256,5719 | 1345,806 |
| 5 | alt | 0,004349143 | 260,0739 | 1679,166 |
| 6 | üst | 0,004349143 | 260,0739 | 1512,335 |
| 6 | alt | 0,004212571 | 263,8798 | 1345,806 |
| 7 | üst | 0,004212571 | 263,8798 | 1784,852 |
| 7 | alt | 0,003849714 | 248,4745 | 1512,335 |
| 8 | üst | 0,003849714 | 248,4745 | 2186,369 |
| 8 | alt | 0,003372 | 215,7057 | 1784,852 |
| 9 | üst | 0,003372 | 215,7057 | 2572,269 |
| 9 | alt | 0,002747714 | 208,9797 | 2186,369 |
| 10 | üst | 0,002747714 | 208,9797 | 2887,532 |
| 10 | alt | 0,002361429 | 236,7744 | 2572,269 |
| 11 | üst | 0,002361429 | 236,7744 | 2990,109 |
| 11 | alt | 0,001752571 | 219,7086 | 2887,532 |
| 12 | üst | 0,001752571 | 219,7086 | 2921,096 |
| 12 | alt | 0,002145429 | 175,0371 | 2990,109 |
| 13 | üst | 0,002145429 | 175,0371 | 3141,017 |
| 13 | alt | 0,003034286 | 199,618 | 2921,096 |
| 14 | üst | 0,003034286 | 199,618 | 3125,556 |
| 14 | alt | 0,003913714 | 186,4076 | 3141,017 |
| 15 | üst | 0,003913714 | 186,4076 | 3002,628 |
| 15 | alt | 0,004798571 | 172,9454 | 3125,556 |
| 16 | üst | 0,004798571 | 172,9454 | 2661,368 |
| 16 | alt | 0,005648286 | 198,7755 | 3002,628 |
| 17 | üst | 0,005648286 | 198,7755 | 2597,303 |
| 17 | alt | 0,006288857 | 204,7684 | 2661,368 |
| 18 | üst | 0,006288857 | 204,7684 | 2414,719 |
| 18 | alt | 0,00672056 | 206,9909 | 2597,303 |
| 19 | üst | 0,00672056 | 206,9909 | 2299,649 |
| 19 | alt | 0,007168038 | 192,6997 | 2414,719 |
| 20 | üst | 0,007168038 | 192,6997 | 2101,726 |
| 20 | alt | 0,007818571 | 165,4063 | 2299,649 |
| 21 | üst | 0,007818571 | 165,4063 | 1662,209 |
| 21 | alt | 0,008402571 | 187,2136 | 2101,726 |
| 22 | üst | 0,008402571 | 187,2136 | 1058,867 |
| 22 | alt | 0,008762 | 191,558 | 1662,209 |
| 23 | üst | 0,008762 | 191,558 | 444,8669 |
| 23 | alt | 0,008912286 | 132,8055 | 1058,867 |
| 24 | üst | 0,008912286 | 132,8055 | 444,8669 |

**Çizelge A.73 : SF_1,1641_ITALY_A-AUL000.AT2 deprem analizinde
mafsallı modelde oluşan deplasman ve kesme kuvvetleri.**

| Kat | Kat deplasmanları (m) | Mafsal Deplasmanları (m) | Mafsal Kesme Kuvvetleri (kN) |
|-----|-----------------------|--------------------------|------------------------------|
| | x doğrultusu | z doğrultusu | z doğrultusu |
| 24 | 0,06700385 | 0,00223373 | 223,3726 |
| 23 | 0,06447069 | 0,00223237 | 223,2372 |
| 22 | 0,06198661 | 0,00221457 | 221,4566 |
| 21 | 0,05966135 | 0,00217563 | 217,5634 |
| 20 | 0,05734287 | 0,00212308 | 212,3082 |
| 19 | 0,05501147 | 0,00206731 | 206,7308 |
| 18 | 0,05294448 | 0,00200413 | 200,4131 |
| 17 | 0,05085519 | 0,00188914 | 188,9142 |
| 16 | 0,04873062 | 0,00171169 | 171,1685 |
| 15 | 0,04660707 | 0,00148749 | 148,7493 |
| 14 | 0,04464869 | 0,00118641 | 118,6405 |
| 13 | 0,04270257 | 0,00103217 | 103,2174 |
| 12 | 0,04075411 | 0,00096565 | 96,56517 |
| 11 | 0,04034135 | 0,00093544 | 93,54353 |
| 10 | 0,04018323 | 0,00100639 | 100,6392 |
| 9 | 0,03992765 | 0,00106487 | 106,487 |
| 8 | 0,03959565 | 0,00112653 | 112,6529 |
| 7 | 0,03920581 | 0,0011635 | 116,3502 |
| 6 | 0,03876748 | 0,00116735 | 116,7346 |
| 5 | 0,03829926 | 0,00113174 | 113,1742 |
| 4 | 0,03795418 | 0,00105719 | 105,7186 |
| 3 | 0,03766055 | 0,00100373 | 100,3731 |
| 2 | 0,03740074 | 0,00092347 | 92,34738 |
| 1 | 0,03721225 | 0,00078136 | 78,13634 |

**Çizelge A.74 : SF_1,1641_ITALY_A-AUL000.AT2 deprem analizinde
mafsallı modelde çıkan sonuçlar.**

| Kat | | Göreli Katarası Ötelenme Oranı (%) | Kat Kesme Kuvvetleri (kN) | Perde Momentleri (kNm) |
|-----|-----|---------------------------------------|------------------------------|------------------------|
| 0 | alt | 0,033501714 | 4530,28 | 33039,831 |
| 1 | üst | 0,033501714 | 4530,28 | 25558,139 |
| 1 | alt | 0,057955143 | 2884,377 | 33039,831 |
| 2 | üst | 0,057955143 | 2884,377 | 22120,39 |
| 2 | alt | 0,064232857 | 2589,224 | 25558,139 |
| 3 | üst | 0,064232857 | 2589,224 | 21031,275 |
| 3 | alt | 0,067698286 | 2700,609 | 22120,39 |
| 4 | üst | 0,067698286 | 2700,609 | 17166,636 |
| 4 | alt | 0,071895714 | 2622,593 | 21031,275 |
| 5 | üst | 0,071895714 | 2622,593 | 18585,95 |
| 5 | alt | 0,074390571 | 2362,662 | 17166,636 |
| 6 | üst | 0,074390571 | 2362,662 | 19254,891 |
| 6 | alt | 0,074507143 | 2718,038 | 18585,95 |
| 7 | üst | 0,074507143 | 2718,038 | 19402,427 |
| 7 | alt | 0,073928857 | 2576,885 | 19254,891 |
| 8 | üst | 0,073928857 | 2576,885 | 19483,162 |
| 8 | alt | 0,071791143 | 1964,025 | 19402,427 |
| 9 | üst | 0,071791143 | 1964,025 | 21229,548 |
| 9 | alt | 0,067804857 | 2639,095 | 19483,162 |
| 10 | üst | 0,067804857 | 2639,095 | 21154,439 |
| 10 | alt | 0,065727429 | 3346,354 | 21229,548 |
| 11 | üst | 0,065727429 | 3346,354 | 22311,372 |
| 11 | alt | 0,069352571 | 3321,731 | 21154,439 |
| 12 | üst | 0,069352571 | 3321,731 | 21846,555 |
| 12 | alt | 0,074239143 | 3048,821 | 22311,372 |
| 13 | üst | 0,074239143 | 3048,821 | 22252,045 |
| 13 | alt | 0,091469714 | 2402,269 | 21846,555 |
| 14 | üst | 0,091469714 | 2402,269 | 21639,757 |
| 14 | alt | 0,109658571 | 3046,769 | 22252,045 |
| 15 | üst | 0,109658571 | 3046,769 | 20733,635 |
| 15 | alt | 0,126463143 | 1904,004 | 21639,757 |
| 16 | üst | 0,126463143 | 1904,004 | 19663,828 |
| 16 | alt | 0,142619429 | 2111,291 | 20733,635 |
| 17 | üst | 0,142619429 | 2111,291 | 18116,112 |
| 17 | alt | 0,149218571 | 2052,091 | 19663,828 |
| 18 | üst | 0,149218571 | 2052,091 | 17259,768 |
| 18 | alt | 0,152722 | 2159,314 | 18116,112 |
| 19 | üst | 0,152722 | 2159,314 | 15369,815 |
| 19 | alt | 0,156440286 | 1757,007 | 17259,768 |
| 20 | üst | 0,156440286 | 1757,007 | 15121,352 |
| 20 | alt | 0,159857143 | 1798,434 | 15369,815 |
| 21 | üst | 0,159857143 | 1798,434 | 14869,519 |
| 21 | alt | 0,164046857 | 2117,947 | 15121,352 |
| 22 | üst | 0,164046857 | 2117,947 | 10995,384 |
| 22 | alt | 0,167046857 | 1742,386 | 14869,519 |
| 23 | üst | 0,167046857 | 1742,386 | 5309,217 |
| 23 | alt | 0,168223143 | 1607,965 | 10995,384 |
| 24 | üst | 0,168223143 | 1607,965 | 5309,217 |

**Çizelge A.75 : SF_1,1641_ITALY_A-AUL000.AT2 deprem analizinde
çelik yastıklı modelde oluşan deplasman ve kesme kuvvetleri.**

| Kat | Kat deplasmanları (m) | Çelik Yastık Deplasmanları (m) | Çelik Y. Kesme Kuvvetleri (kN) |
|-----|-----------------------|--------------------------------|--------------------------------|
| | x doğrultusu | z doğrultusu | z doğrultusu |
| 24 | 0,09513907 | 0,01327521 | 152,3884 |
| 23 | 0,08965045 | 0,01328433 | 152,4931 |
| 22 | 0,08425638 | 0,01326228 | 152,24 |
| 21 | 0,07903788 | 0,01317711 | 151,2623 |
| 20 | 0,07423398 | 0,01300225 | 149,255 |
| 19 | 0,06952453 | 0,01279755 | 146,9052 |
| 18 | 0,06585684 | 0,01253134 | 143,8494 |
| 17 | 0,06426327 | 0,01221527 | 140,2212 |
| 16 | 0,06270749 | 0,01185852 | 136,1259 |
| 15 | 0,06085215 | 0,01156499 | 132,7565 |
| 14 | 0,05845012 | 0,01133836 | 130,155 |
| 13 | 0,05555463 | 0,0110296 | 126,6106 |
| 12 | 0,0524596 | 0,01039093 | 119,2792 |
| 11 | 0,04934745 | 0,00976139 | 112,0526 |
| 10 | 0,04634811 | 0,00954858 | 109,6098 |
| 9 | 0,04306901 | 0,00927471 | 106,466 |
| 8 | 0,04062394 | 0,00897345 | 103,0077 |
| 7 | 0,04009673 | 0,00890275 | 102,1962 |
| 6 | 0,03949954 | 0,00870847 | 99,96597 |
| 5 | 0,03887716 | 0,00839976 | 96,4223 |
| 4 | 0,03831406 | 0,00810773 | 93,06996 |
| 3 | 0,03784027 | 0,00764433 | 87,75053 |
| 2 | 0,03746109 | 0,00701617 | 80,53981 |
| 1 | 0,03721548 | 0,00508715 | 58,39625 |

**Çizelge A.76 : SF_1,1641_ITALY_A-AUL000.AT2 deprem analizinde
çelik yastıklı modelde çıkan sonuçlar.**

| Kat | | Göreli Katarası Öteleme Oranı (%) | Kat Kesme Kuvvetleri (kN) | Perde Momentleri (kNm) |
|-----|-----|--------------------------------------|---------------------------|------------------------|
| 0 | alt | 0,041763714 | 4542,167 | 35332,246 |
| 1 | üst | 0,041763714 | 4542,167 | 28962,566 |
| 1 | alt | 0,087551429 | 2917,313 | 35332,246 |
| 2 | üst | 0,087551429 | 2917,313 | 25579,991 |
| 2 | alt | 0,09666 | 2386,226 | 28962,566 |
| 3 | üst | 0,09666 | 2386,226 | 24893,198 |
| 3 | alt | 0,103169714 | 2079,796 | 25579,991 |
| 4 | üst | 0,103169714 | 2079,796 | 23930,351 |
| 4 | alt | 0,108086 | 1851 | 24893,198 |
| 5 | üst | 0,108086 | 1851 | 26137,019 |
| 5 | alt | 0,111124571 | 1807,001 | 23930,351 |
| 6 | üst | 0,111124571 | 1807,001 | 26267,336 |
| 6 | alt | 0,112967714 | 2361,68 | 26137,019 |
| 7 | üst | 0,112967714 | 2361,68 | 25361,966 |
| 7 | alt | 0,114113429 | 1650,268 | 26267,336 |
| 8 | üst | 0,114113429 | 1650,268 | 23604,777 |
| 8 | alt | 0,114364 | 1660,433 | 25361,966 |
| 9 | üst | 0,114364 | 1660,433 | 21771,831 |
| 9 | alt | 0,117043143 | 1738,256 | 23604,777 |
| 10 | üst | 0,117043143 | 1738,256 | 20882,259 |
| 10 | alt | 0,128078 | 1460,436 | 21771,831 |
| 11 | üst | 0,128078 | 1460,436 | 21054,771 |
| 11 | alt | 0,13385 | 1357,888 | 20882,259 |
| 12 | üst | 0,13385 | 1357,888 | 21853,353 |
| 12 | alt | 0,140295429 | 2248,019 | 21054,771 |
| 13 | üst | 0,140295429 | 2248,019 | 21011,766 |
| 13 | alt | 0,1467 | 1461,214 | 21853,353 |
| 14 | üst | 0,1467 | 1461,214 | 21536,624 |
| 14 | alt | 0,151856857 | 1396,6 | 21011,766 |
| 15 | üst | 0,151856857 | 1396,6 | 21131,523 |
| 15 | alt | 0,160381714 | 1524,499 | 21536,624 |
| 16 | üst | 0,160381714 | 1524,499 | 19946,61 |
| 16 | alt | 0,165755714 | 1377,198 | 21131,523 |
| 17 | üst | 0,165755714 | 1377,198 | 16685,67 |
| 17 | alt | 0,168534857 | 1749,352 | 19946,61 |
| 18 | üst | 0,168534857 | 1749,352 | 15745,556 |
| 18 | alt | 0,170415143 | 1945,714 | 16685,67 |
| 19 | üst | 0,170415143 | 1945,714 | 14523,463 |
| 19 | alt | 0,171698571 | 1713,485 | 15745,556 |
| 20 | üst | 0,171698571 | 1713,485 | 12236,072 |
| 20 | alt | 0,17313 | 1693,437 | 14523,463 |
| 21 | üst | 0,17313 | 1693,437 | 9497,476 |
| 21 | alt | 0,174430286 | 1601,348 | 12236,072 |
| 22 | üst | 0,174430286 | 1601,348 | 7406,266 |
| 22 | alt | 0,175212857 | 1133,218 | 9497,476 |
| 23 | üst | 0,175212857 | 1133,218 | 4951,328 |
| 23 | alt | 0,175440571 | 1606,026 | 7406,266 |
| 24 | üst | 0,175440571 | 1606,026 | 4951,328 |

Çizelge A.77 : SF_1,1993_LANDERS_PLCO90.AT2 deprem analizinde mafsallı modelde oluşan deplasman ve kesme kuvvetleri.

| Kat | Kat deplasmanları (m) | Mafsal Deplasmanları (m) | Mafsal Kesme Kuvvetleri (kN) |
|-----|-----------------------|--------------------------|------------------------------|
| | x doğrultusu | z doğrultusu | z doğrultusu |
| 24 | 0,16101977 | 7,70748E-05 | 45,55673 |
| 23 | 0,1600297 | 0,0001416 | 45,64052 |
| 22 | 0,15903873 | 0,0001939 | 45,64179 |
| 21 | 0,15804933 | 0,00023488 | 45,46663 |
| 20 | 0,15706604 | 0,00026545 | 44,99515 |
| 19 | 0,15609505 | 0,00028567 | 44,12176 |
| 18 | 0,15514368 | 0,00029615 | 42,78384 |
| 17 | 0,15421997 | 0,00029852 | 40,947 |
| 16 | 0,15333221 | 0,00029364 | 38,95308 |
| 15 | 0,15248855 | 0,00028145 | 36,71271 |
| 14 | 0,1516966 | 0,00026575 | 34,12578 |
| 13 | 0,15096306 | 0,00028291 | 31,37587 |
| 12 | 0,15029349 | 0,00031376 | 28,29113 |
| 11 | 0,14969203 | 0,00034126 | 26,5752 |
| 10 | 0,14916123 | 0,00036713 | 28,14535 |
| 9 | 0,148702 | 0,00038953 | 29,36446 |
| 8 | 0,14831355 | 0,00040947 | 29,85184 |
| 7 | 0,14799347 | 0,00042784 | 29,61479 |
| 6 | 0,14773787 | 0,00044122 | 28,56697 |
| 5 | 0,14754154 | 0,00044995 | 26,54495 |
| 4 | 0,1473982 | 0,00045467 | 23,48804 |
| 3 | 0,14730067 | 0,00045642 | 19,38954 |
| 2 | 0,14724116 | 0,00045641 | 14,1597 |
| 1 | 0,14721155 | 0,00045557 | 7,70748 |

**Çizelge A.78 : SF_1,1993_LANDERS_PLC090.AT2 deprem analizinde
mafsallı modelde çıkan sonuçlar.**

| Kat | Görelî Katarası Ötelenme Oranı (%) | Kat Kesme Kuvvetleri (kN) | Perde Momentleri (kNm) |
|-----|---------------------------------------|---------------------------|------------------------|
| 0 | alt | 0,002620925 | 604,8468 |
| 1 | üst | 0,002620925 | 604,8468 |
| 1 | alt | 0,007319075 | 594,5204 |
| 2 | üst | 0,007319075 | 594,5204 |
| 2 | alt | 0,011216 | 572,7486 |
| 3 | üst | 0,011216 | 572,7486 |
| 3 | alt | 0,01433 | 550,8518 |
| 4 | üst | 0,01433 | 550,8518 |
| 4 | alt | 0,016766571 | 534,7521 |
| 5 | üst | 0,016766571 | 534,7521 |
| 5 | alt | 0,018512857 | 527,9459 |
| 6 | üst | 0,018512857 | 527,9459 |
| 6 | alt | 0,019601714 | 490,859 |
| 7 | üst | 0,019601714 | 490,859 |
| 7 | alt | 0,020095429 | 413,3607 |
| 8 | üst | 0,020095429 | 413,3607 |
| 8 | alt | 0,020126 | 370,495 |
| 9 | üst | 0,020126 | 370,495 |
| 9 | alt | 0,019646 | 329,9423 |
| 10 | üst | 0,019646 | 329,9423 |
| 10 | alt | 0,018858571 | 281,4172 |
| 11 | üst | 0,018858571 | 281,4172 |
| 11 | alt | 0,019874857 | 229,3361 |
| 12 | üst | 0,019874857 | 229,3361 |
| 12 | alt | 0,022111714 | 219,2836 |
| 13 | üst | 0,022111714 | 219,2836 |
| 13 | alt | 0,024176571 | 252,624 |
| 14 | üst | 0,024176571 | 252,624 |
| 14 | alt | 0,026056857 | 269,0955 |
| 15 | üst | 0,026056857 | 269,0955 |
| 15 | alt | 0,027798286 | 265,5976 |
| 16 | üst | 0,027798286 | 265,5976 |
| 16 | alt | 0,029238286 | 270,6942 |
| 17 | üst | 0,029238286 | 270,6942 |
| 17 | alt | 0,030629429 | 282,1376 |
| 18 | üst | 0,030629429 | 282,1376 |
| 18 | alt | 0,031767429 | 286,351 |
| 19 | üst | 0,031767429 | 286,351 |
| 19 | alt | 0,032576571 | 290,5583 |
| 20 | üst | 0,032576571 | 290,5583 |
| 20 | alt | 0,033087429 | 289,453 |
| 21 | üst | 0,033087429 | 289,453 |
| 21 | alt | 0,033349429 | 311,5838 |
| 22 | üst | 0,033349429 | 311,5838 |
| 22 | alt | 0,033428 | 274,7236 |
| 23 | üst | 0,033428 | 274,7236 |
| 23 | alt | 0,033406 | 164,4913 |
| 24 | üst | 0,033406 | 164,4913 |

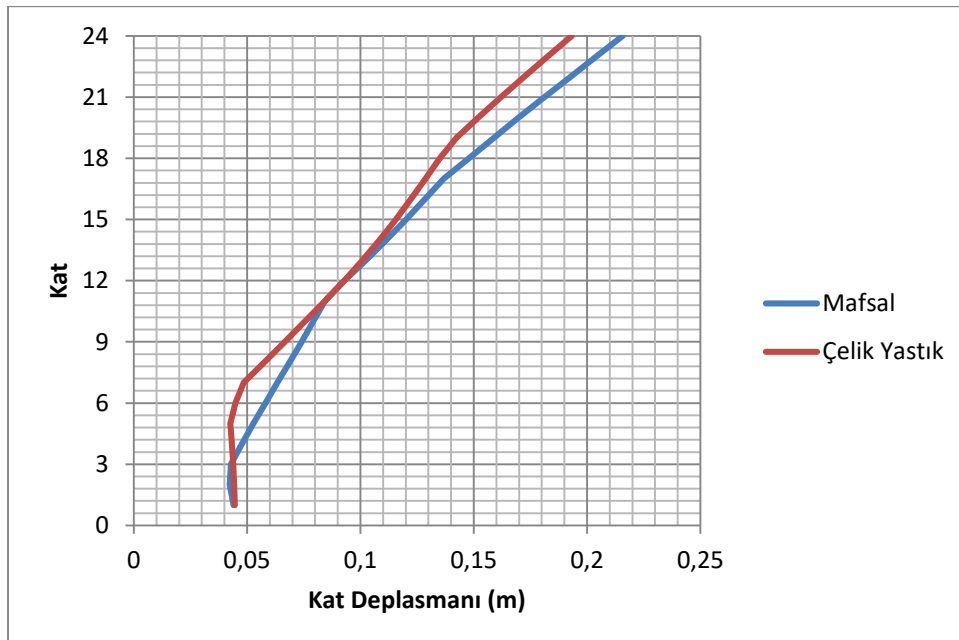
**Çizelge A.79 : SF_1,1993_LANDERS_PLCO90.AT2 deprem analizinde
çelik yastıklı modelde oluşan deplasman ve kesme kuvvetleri.**

| Kat | Kat deplasmanları (m) | Çelik Yastık Deplasmanları (m) | Çelik Y. Kesme Kuvvetleri (kN) |
|-----|-----------------------|--------------------------------|--------------------------------|
| | x doğrultusu | z doğrultusu | z doğrultusu |
| 24 | 0,1554087 | 0,00289699 | 33,25506 |
| 23 | 0,15469575 | 0,00289896 | 33,27768 |
| 22 | 0,15398319 | 0,00289315 | 33,21098 |
| 21 | 0,15327369 | 0,00287165 | 32,96415 |
| 20 | 0,15257162 | 0,00282897 | 32,47421 |
| 19 | 0,15188275 | 0,00276189 | 31,70416 |
| 18 | 0,15121387 | 0,00266921 | 30,64028 |
| 17 | 0,15057243 | 0,00255148 | 29,28882 |
| 16 | 0,1499662 | 0,00241068 | 27,67257 |
| 15 | 0,14940283 | 0,00224991 | 25,82708 |
| 14 | 0,14888946 | 0,00207309 | 23,7974 |
| 13 | 0,14843231 | 0,00191038 | 21,92961 |
| 12 | 0,14803633 | 0,00184391 | 21,16657 |
| 11 | 0,14770482 | 0,0018524 | 21,26403 |
| 10 | 0,14743918 | 0,00185173 | 21,25636 |
| 9 | 0,14723867 | 0,0018396 | 21,1171 |
| 8 | 0,14710031 | 0,00180459 | 20,71523 |
| 7 | 0,14701886 | 0,00174274 | 20,00516 |
| 6 | 0,14698687 | 0,00166213 | 19,07989 |
| 5 | 0,14699491 | 0,00153206 | 17,58682 |
| 4 | 0,14703184 | 0,00134764 | 15,46984 |
| 3 | 0,1470851 | 0,00110489 | 12,68326 |
| 2 | 0,14714106 | 0,00080078 | 9,19232 |
| 1 | 0,14718544 | 0,00043304 | 4,97099 |

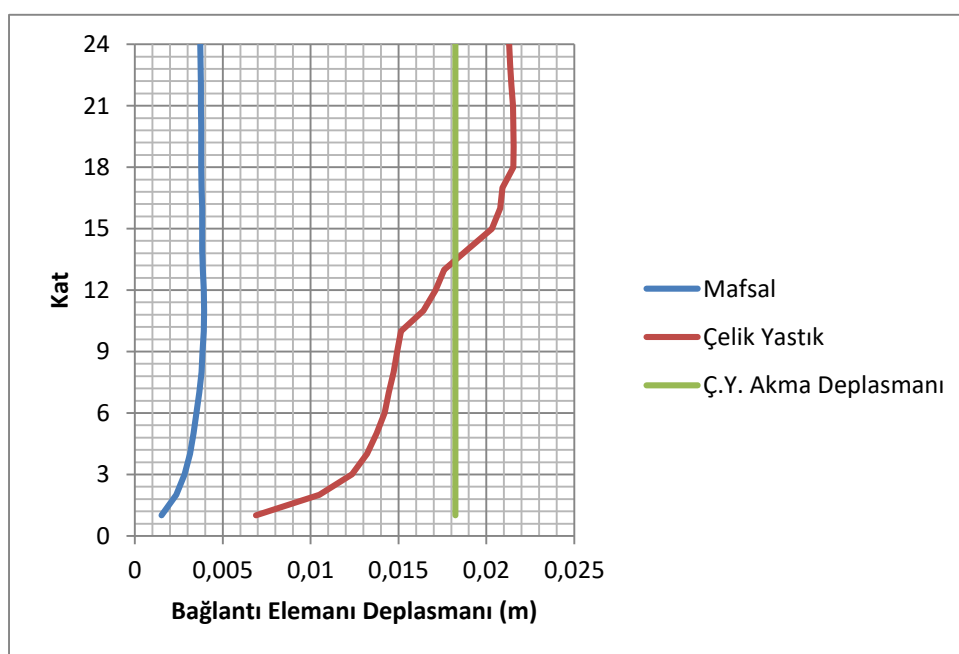
**Çizelge A.80 : SF_1,1993_LANDERS_PLCO90.AT2 deprem analizinde
çelik yastıklı modelde çıkan sonuçlar.**

| Kat | | Göreli Katarası Ötelenme Oranı (%) | Kat Kesme Kuvvetleri (kN) | Perde Momentleri (kNm) |
|-----|-----|---------------------------------------|------------------------------|------------------------|
| 0 | alt | 0,002545289 | 480,7359 | 12117,009 |
| 1 | üst | 0,002545289 | 480,7359 | 10456,279 |
| 1 | alt | 0,007146711 | 477,5709 | 12117,009 |
| 2 | üst | 0,007146711 | 477,5709 | 8824,651 |
| 2 | alt | 0,011026286 | 469,4358 | 10456,279 |
| 3 | üst | 0,011026286 | 469,4358 | 7236,465 |
| 3 | alt | 0,014203714 | 455,4283 | 8824,651 |
| 4 | üst | 0,014203714 | 455,4283 | 5917,617 |
| 4 | alt | 0,016707714 | 434,0822 | 7236,465 |
| 5 | üst | 0,016707714 | 434,0822 | 4906,507 |
| 5 | alt | 0,018576 | 404,6239 | 5917,617 |
| 6 | üst | 0,018576 | 404,6239 | 4664,668 |
| 6 | alt | 0,019857714 | 373,155 | 4906,507 |
| 7 | üst | 0,019857714 | 373,155 | 4935,558 |
| 7 | alt | 0,020830571 | 325,988 | 4664,668 |
| 8 | üst | 0,020830571 | 325,988 | 5110,015 |
| 8 | alt | 0,021473714 | 288,825 | 4935,558 |
| 9 | üst | 0,021473714 | 288,825 | 5310,811 |
| 9 | alt | 0,021842 | 253,522 | 5110,015 |
| 10 | üst | 0,021842 | 253,522 | 5408,124 |
| 10 | alt | 0,022038857 | 220,1878 | 5310,811 |
| 11 | üst | 0,022038857 | 220,1878 | 5450,564 |
| 11 | alt | 0,022141429 | 195,9796 | 5408,124 |
| 12 | üst | 0,022141429 | 195,9796 | 5385,688 |
| 12 | alt | 0,02267 | 192,8849 | 5450,564 |
| 13 | üst | 0,02267 | 192,8849 | 5253,935 |
| 13 | alt | 0,024391714 | 224,1173 | 5385,688 |
| 14 | üst | 0,024391714 | 224,1173 | 5003,038 |
| 14 | alt | 0,026556286 | 248,4908 | 5253,935 |
| 15 | üst | 0,026556286 | 248,4908 | 4632,684 |
| 15 | alt | 0,028561429 | 251,3881 | 5003,038 |
| 16 | üst | 0,028561429 | 251,3881 | 4152,147 |
| 16 | alt | 0,030354857 | 224,5649 | 4632,684 |
| 17 | üst | 0,030354857 | 224,5649 | 3935,706 |
| 17 | alt | 0,031896 | 222,3648 | 4152,147 |
| 18 | üst | 0,031896 | 222,3648 | 3830,455 |
| 18 | alt | 0,033155143 | 233,8663 | 3935,706 |
| 19 | üst | 0,033155143 | 233,8663 | 3489,75 |
| 19 | alt | 0,034118286 | 233,533 | 3830,455 |
| 20 | üst | 0,034118286 | 233,533 | 2898,236 |
| 20 | alt | 0,034788 | 251,2813 | 3489,75 |
| 21 | üst | 0,034788 | 251,2813 | 2100,911 |
| 21 | alt | 0,035188571 | 276,8634 | 2898,236 |
| 22 | üst | 0,035188571 | 276,8634 | 1217,378 |
| 22 | alt | 0,035368571 | 247,7723 | 2100,911 |
| 23 | üst | 0,035368571 | 247,7723 | 437,4814 |
| 23 | alt | 0,035401714 | 150,1501 | 1217,378 |
| 24 | üst | 0,035401714 | 150,1501 | 437,4814 |

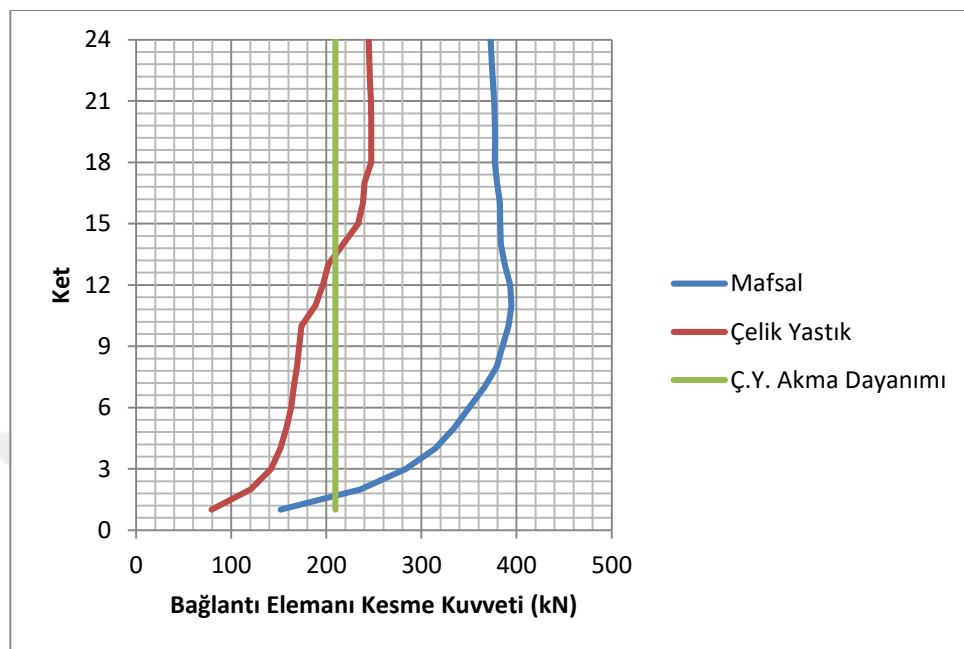
EK-B: Deprem Analizi Sonuçlarının Grafikleri



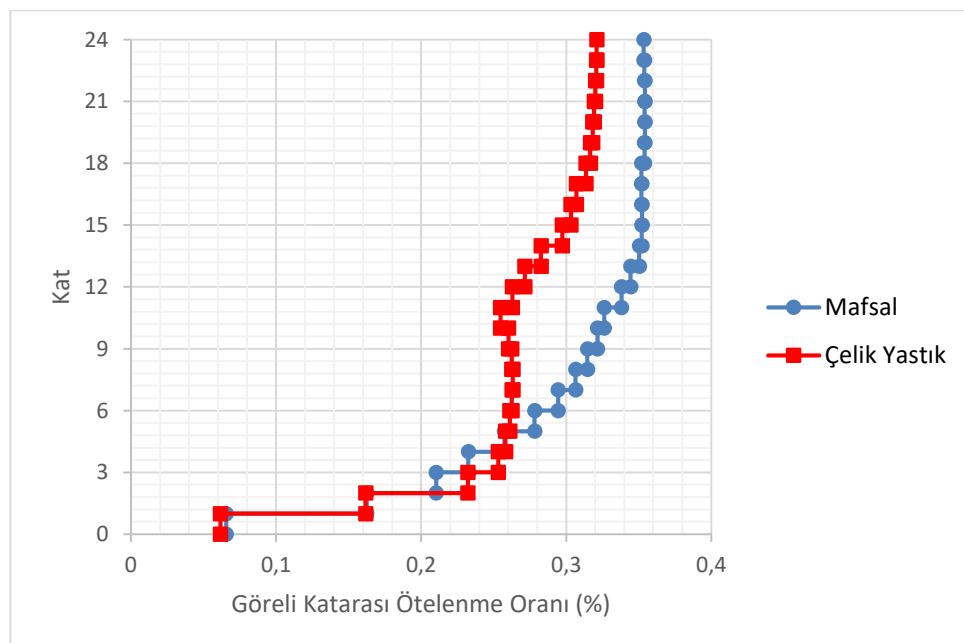
Şekil B.1 : SF_0,9096_CHICHI06_TCU139-E.AT2 deprem analizinde modellerde oluşan kat deplasmanları.



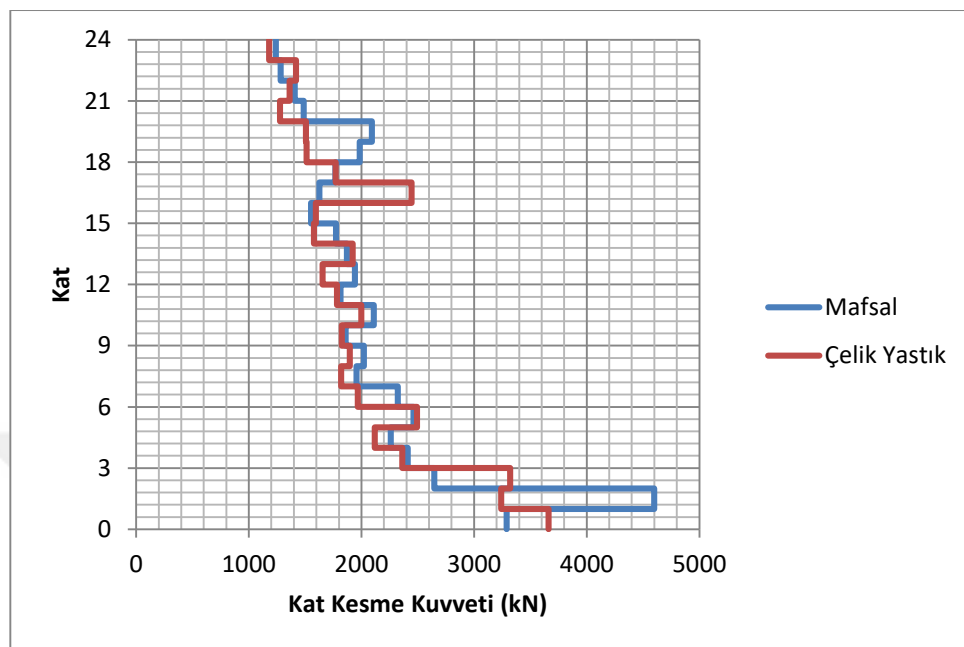
Şekil B.2 : SF_0,9096_CHICHI06_TCU139-E.AT2 deprem analizinde modellerde oluşan bağlantı elemanı deplasmanları.



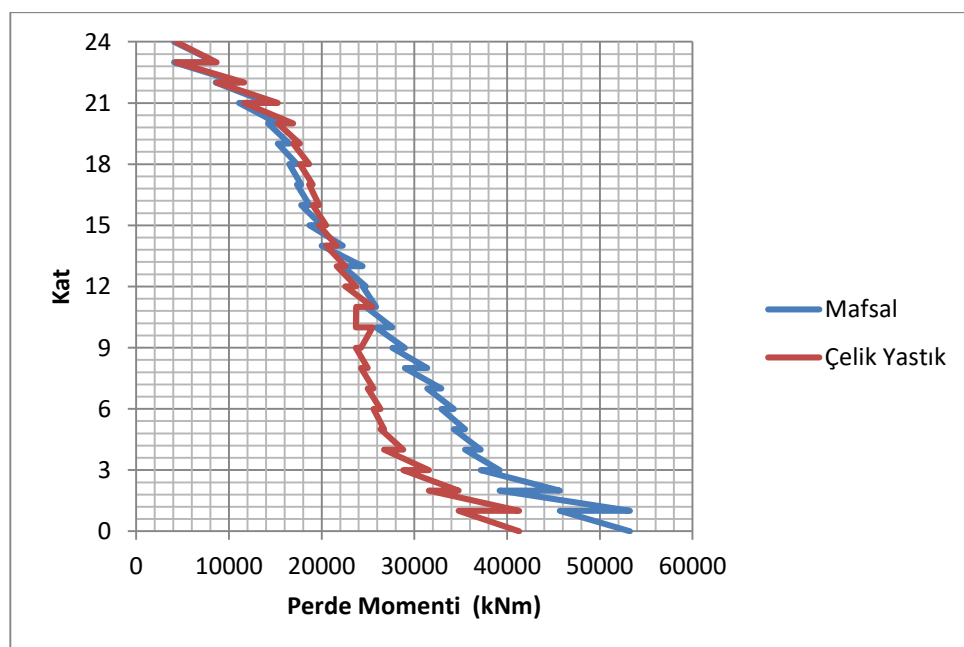
Şekil B.3 : SF_0,9096_CHICHI06_TCU139-E.AT2 deprem analizinde modellerde oluşan bağlantı elemanı kesme kuvvetleri.



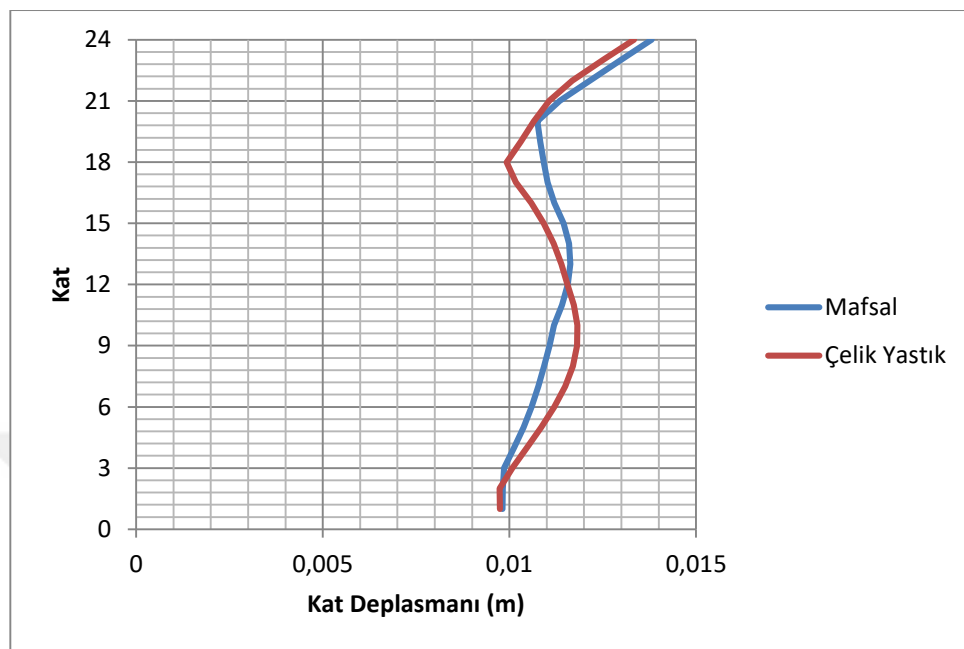
Şekil B.4 : SF_0,9096_CHICHI06_TCU139-E.AT2 deprem analizinde modellerde oluşan göreli kat ötelenme oranları.



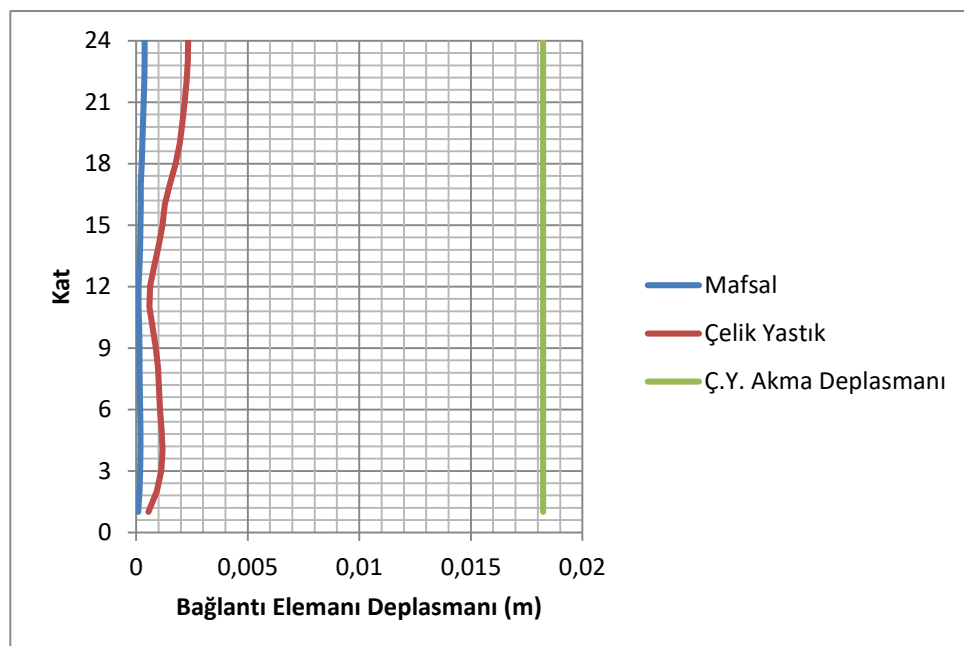
Şekil B.5 : SF_0,9096_CHICHI06_TCU139-E.AT2 deprem analizinde modellerde oluşan kat kesme kuvvetleri.



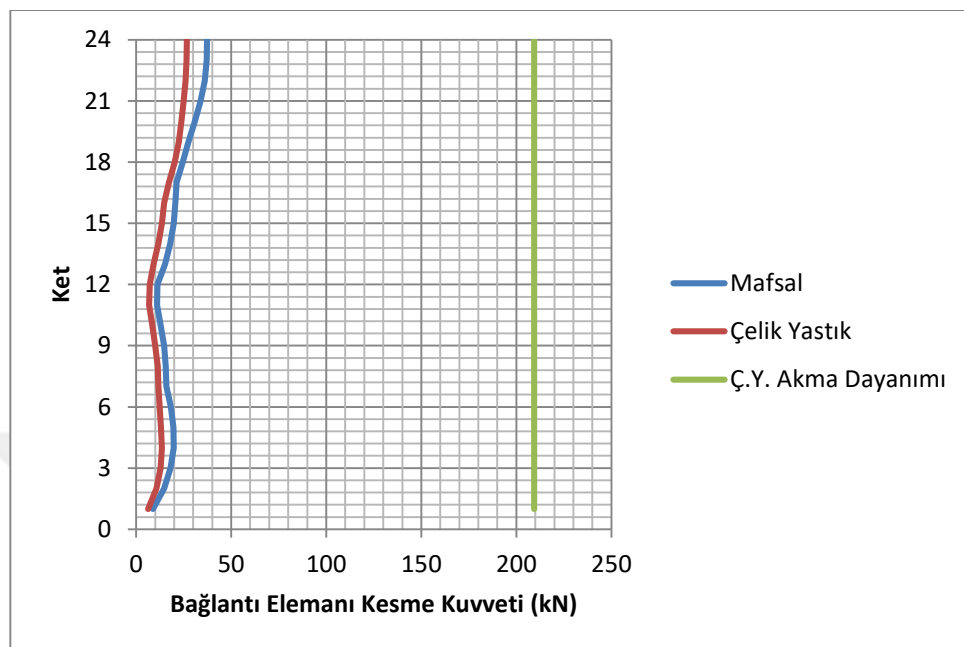
Şekil B.6 : SF_0,9096_CHICHI06_TCU139-E.AT2 deprem analizinde modellerde oluşan perde momentleri.



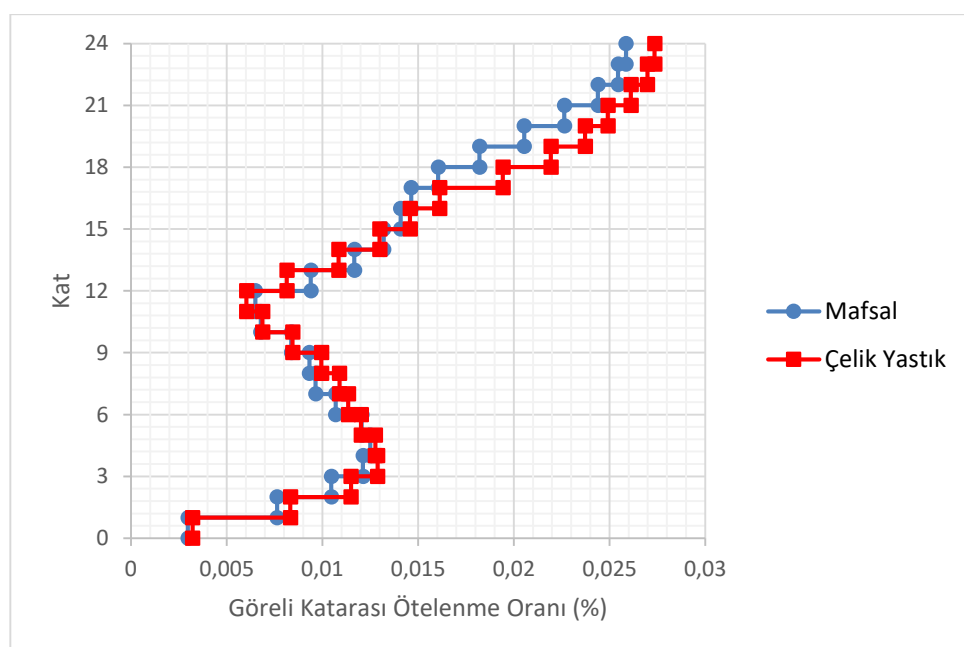
Şekil B.7 : SF_0,9134_IMPVAL_F-WSM180.AT2 deprem analizinde modellerde oluşan kat deplasmanları.



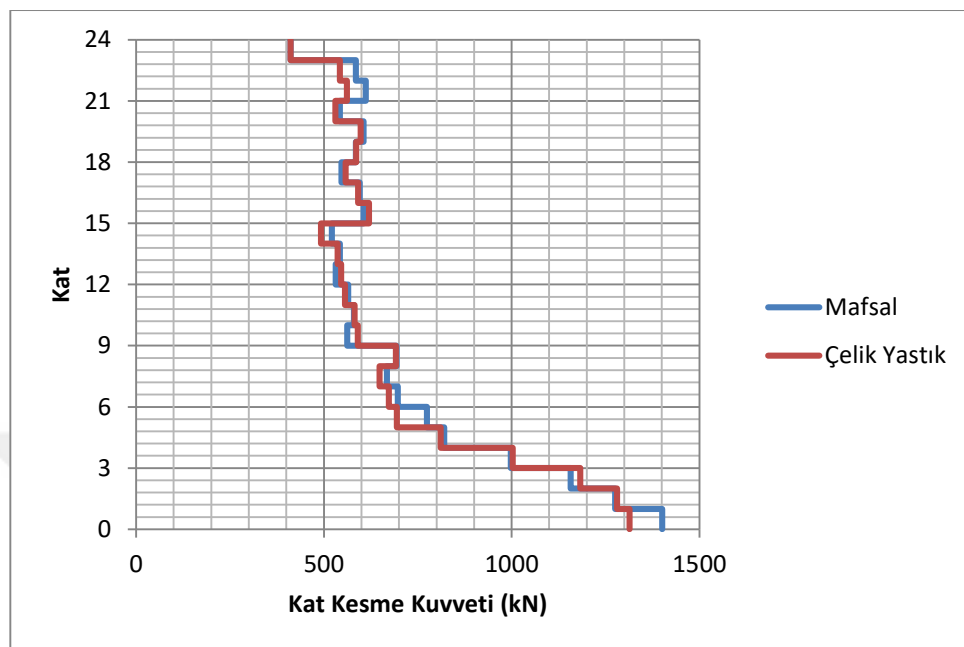
Şekil B.8 : SF_0,9134_IMPVAL_F-WSM180.AT2 deprem analizinde modellerde oluşan bağlantı elemanı deplasmanları.



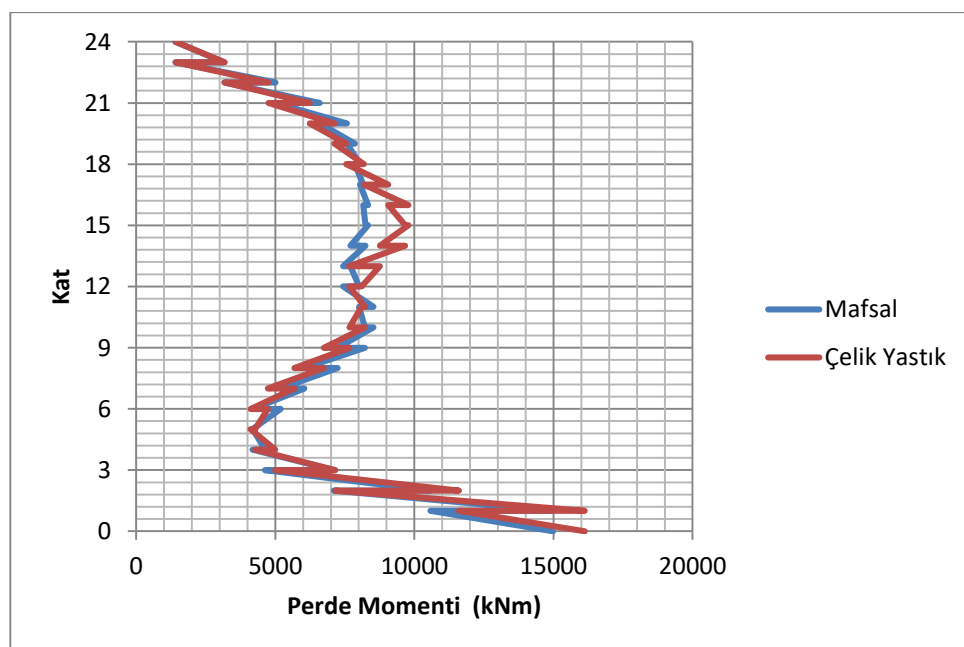
Şekil B.9 : SF_0,9134_IMPVALL_F-WSM180.AT2 deprem analizinde modellerde oluşan bağlantı elemanı kesme kuvvetleri.



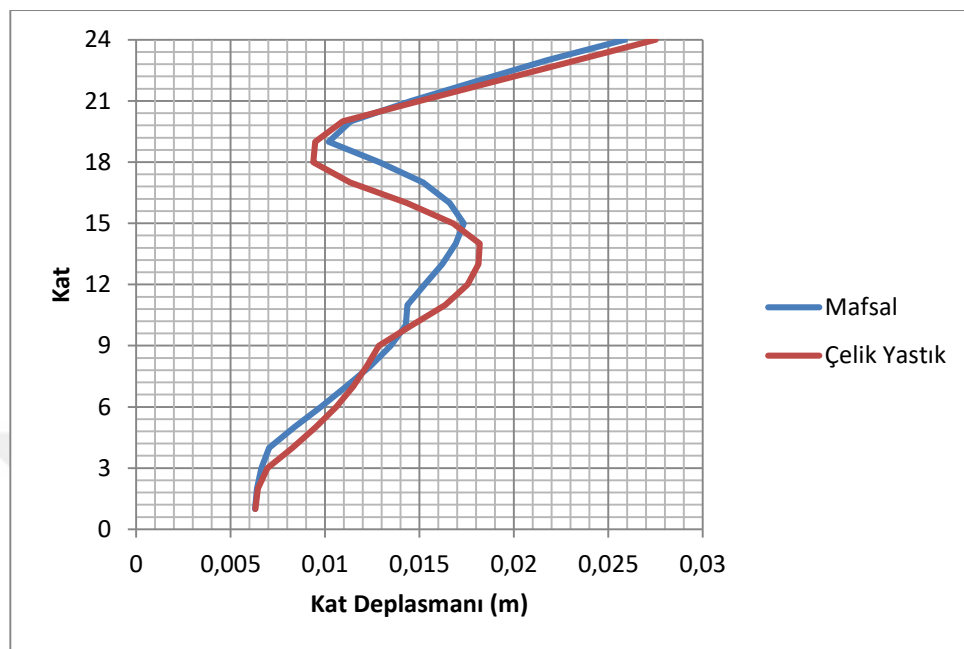
Şekil B.10 : SF_0,9134_IMPVALL_F-WSM180.AT2 deprem analizinde modellerde oluşan göreli kat ötelenme oranları.



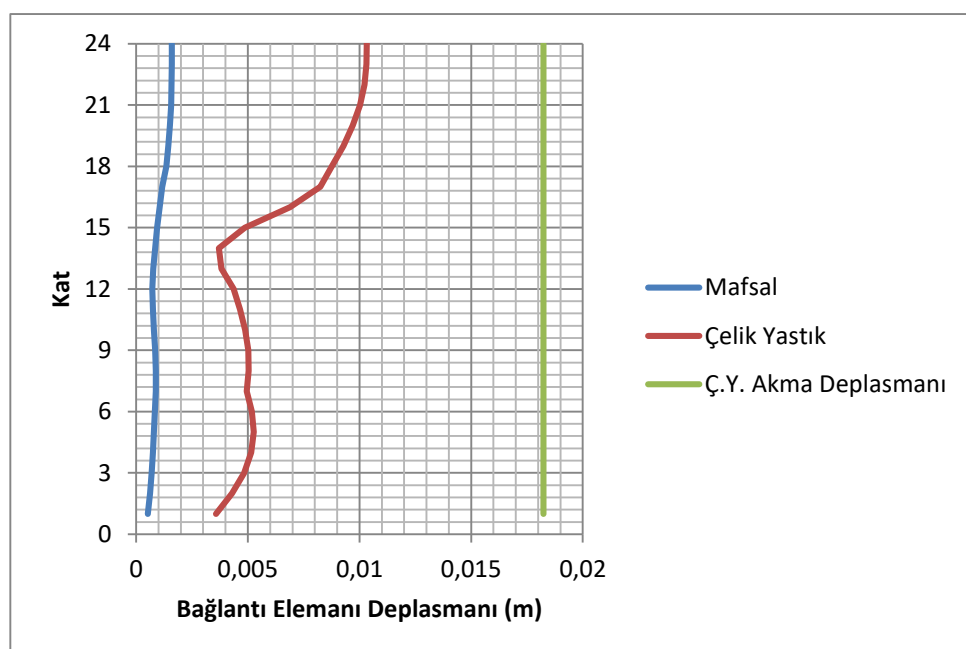
Şekil B.11 : SF_0,9134_IMPVAL_F-WSM180.AT2 deprem analizinde modellerde oluşan kat kesme kuvvetleri.



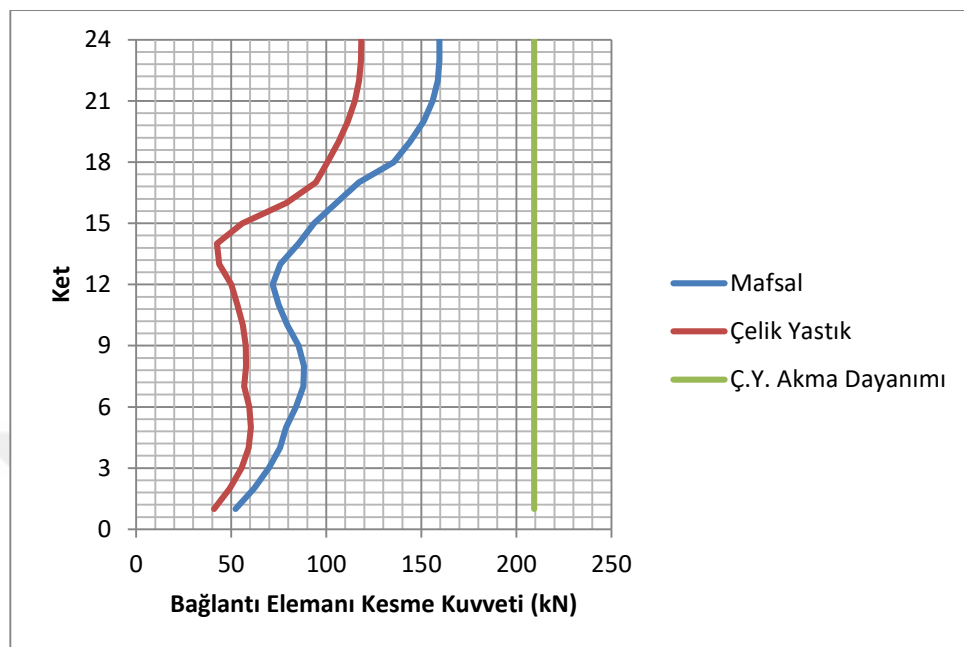
Şekil B.12 : SF_0,9134_IMPVAL_F-WSM180.AT2 deprem analizinde modellerde oluşan perde momentleri.



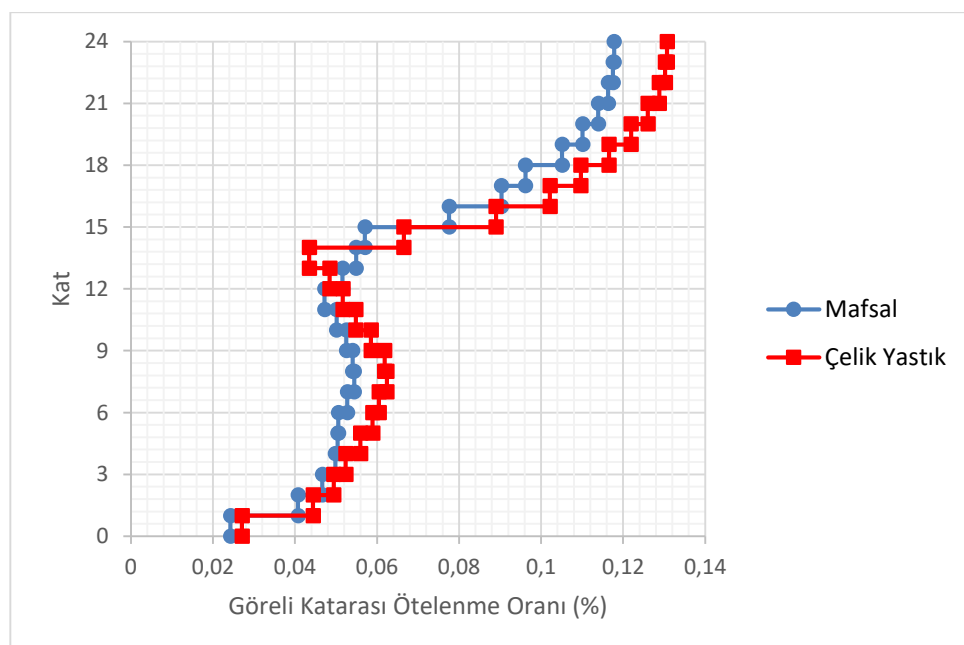
Şekil B.13 : SF_0,60116_NORTHR_SMV180.AT2 deprem analizinde modellerde oluşan kat deplasmanları.



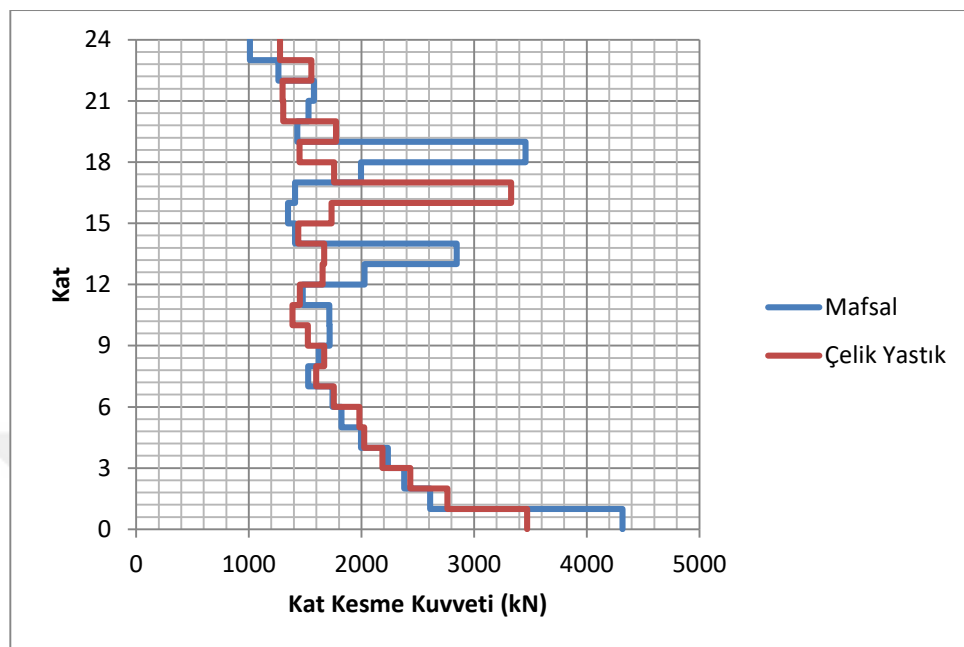
Şekil B.14 : SF_0,60116_NORTHR_SMV180.AT2 deprem analizinde modellerde oluşan bağlantı elemanı deplasmanları.



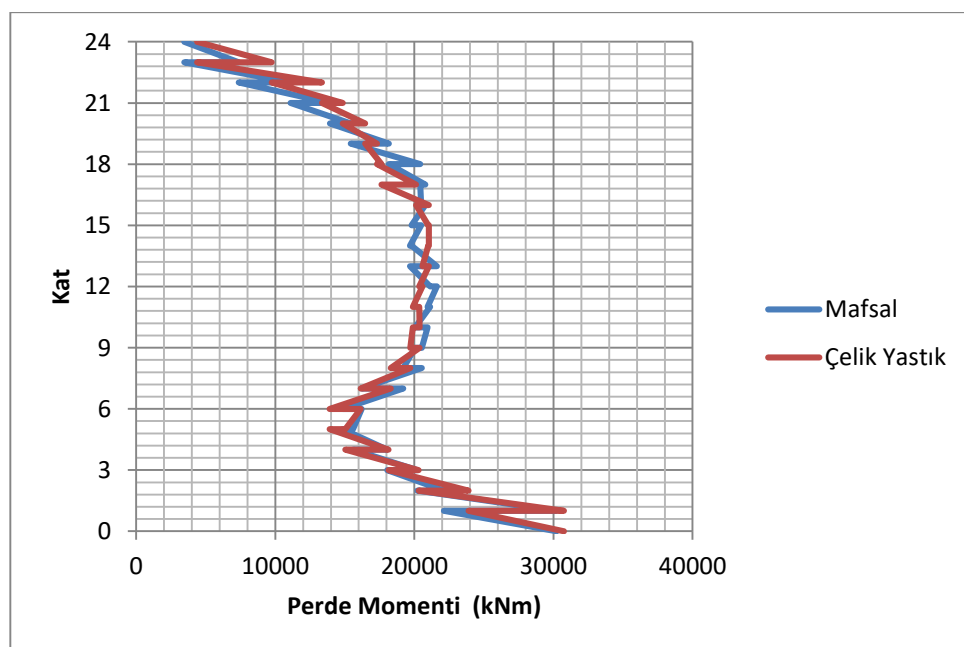
Şekil B.15 : SF_0,60116_NORTHR_SMV180.AT2 deprem analizinde modellerde oluşan bağlantı elemanı kesme kuvvetleri.



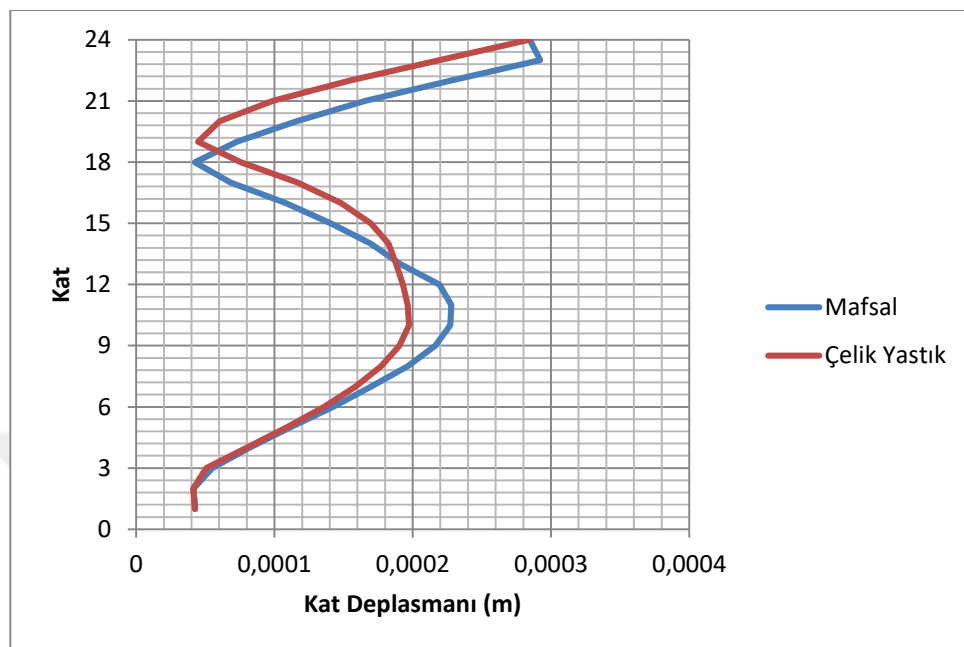
Şekil B.16 : SF_0,60116_NORTHR_SMV180.AT2 deprem analizinde modellerde oluşan göreli kat ötelenme oranları.



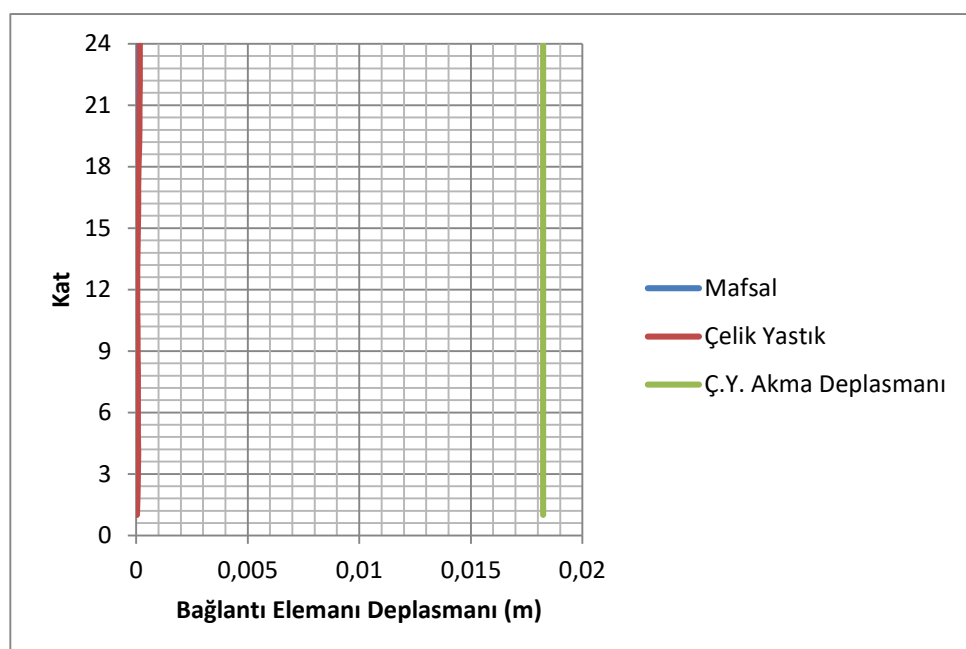
Şekil B.17 : SF_0,60116_NORTHR_SMV180.AT2 deprem analizinde modellerde oluşan kat kesme kuvvetleri.



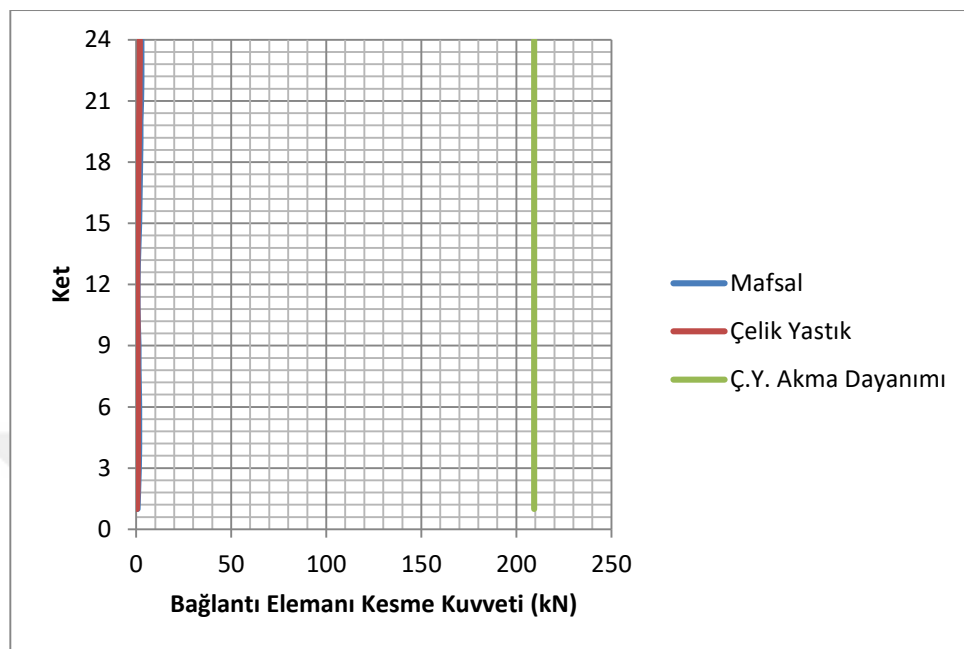
Şekil B.18 : SF_0,60116_NORTHR_SMV180.AT2 deprem analizinde modellerde oluşan perde momentleri.



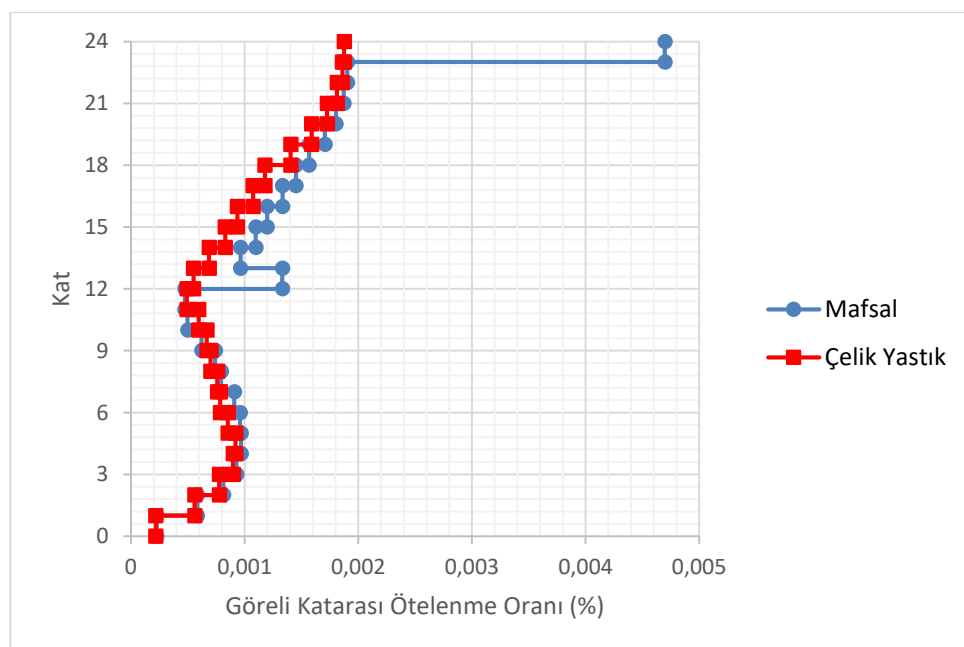
Şekil B.19 : SF_0,77259_CHICHI02_TTN027-N.AT2 deprem analizinde modellerde oluşan kat deplasmanları.



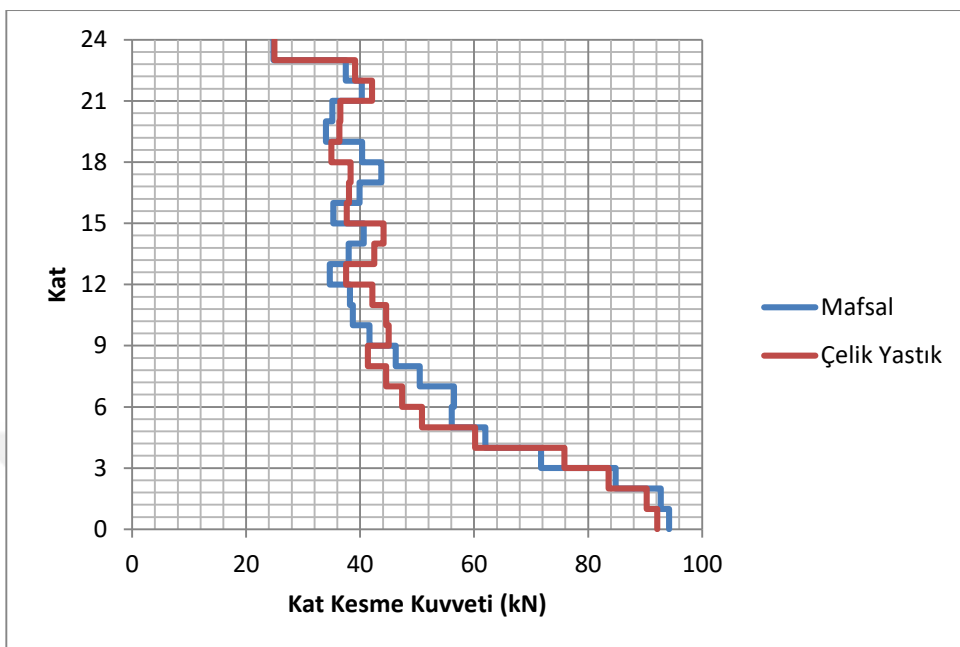
Şekil B.20 : SF_0,77259_CHICHI02_TTN027-N.AT2 deprem analizinde modellerde oluşan bağlantı elemanı deplasmanları.



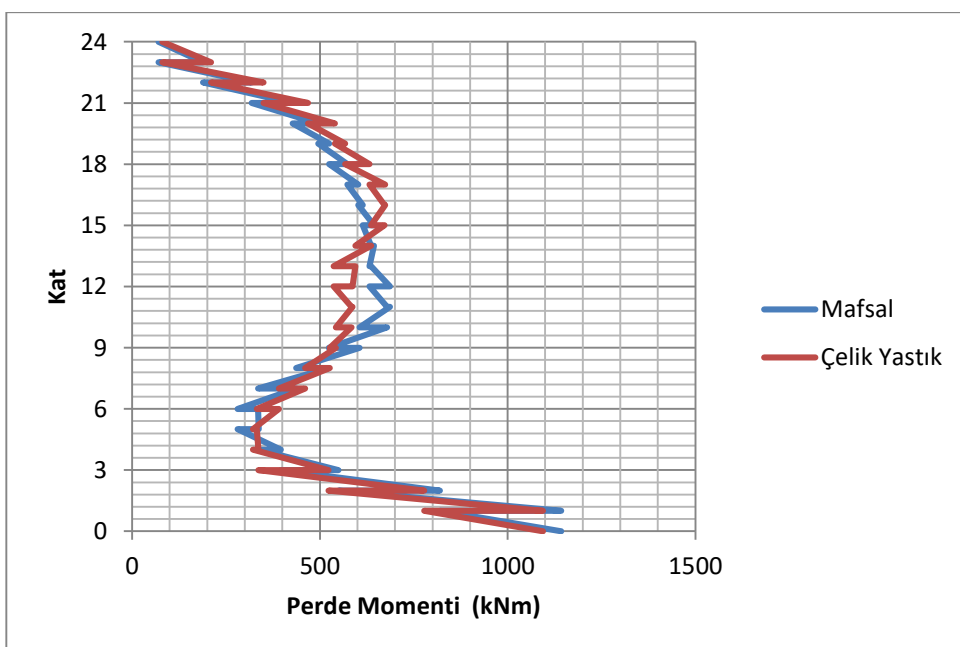
Şekil B.21 : SF_0,77259_CHICHI02_TTN027-N.AT2 deprem analizinde modellerde oluşan bağlantı elemanı kesme kuvvetleri.



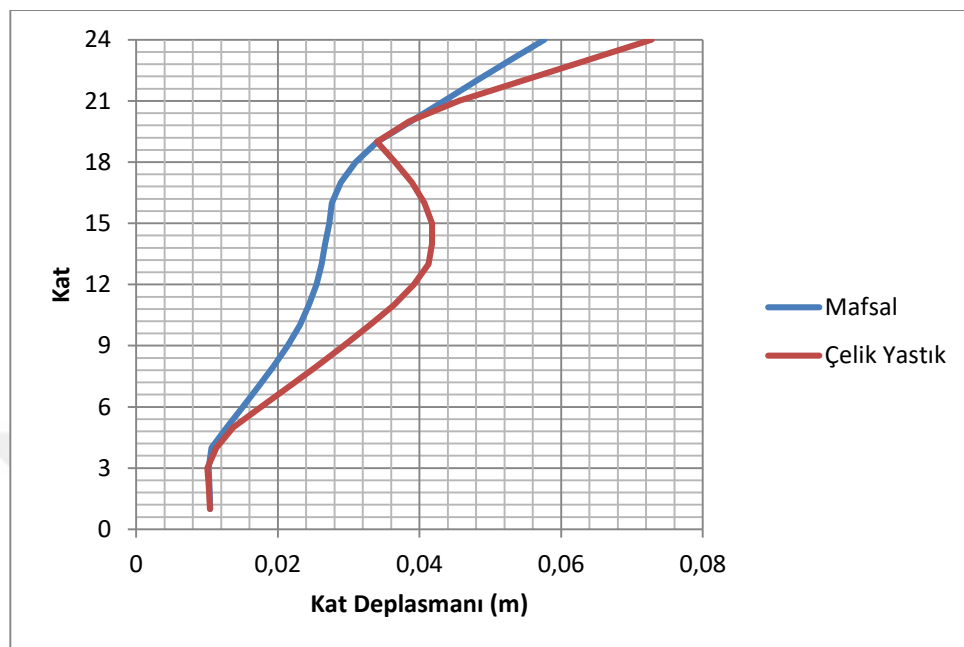
Şekil B.22 : SF_0,77259_CHICHI02_TTN027-N.AT2 deprem analizinde modellerde oluşan göreli kat ötelenme oranları.



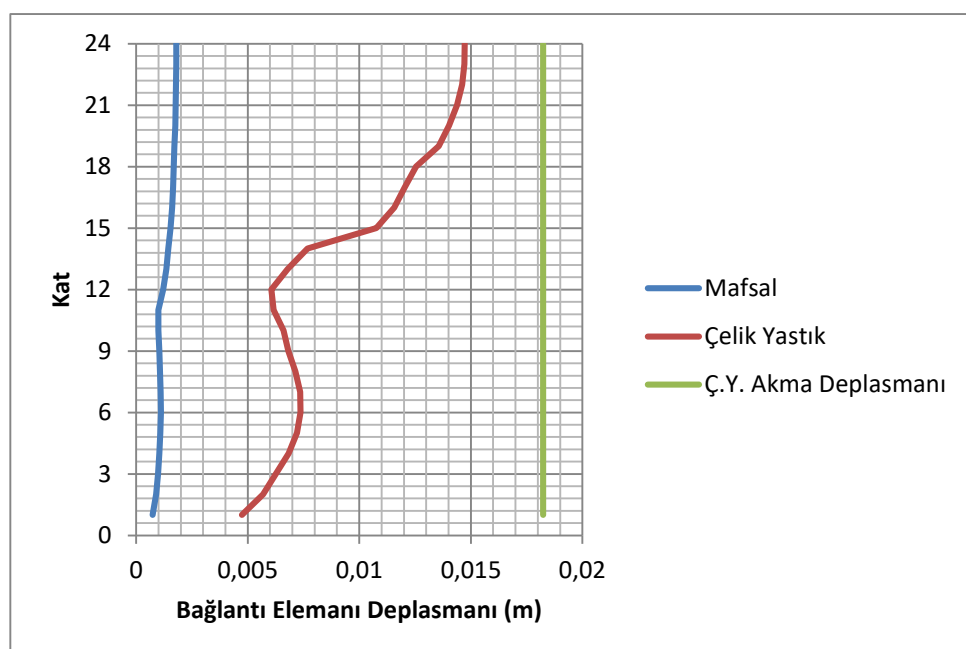
Şekil B.23 : SF_0,77259_CHICHI02_TTN027-N.AT2 deprem analizinde modellerde oluşan kat kesme kuvvetleri.



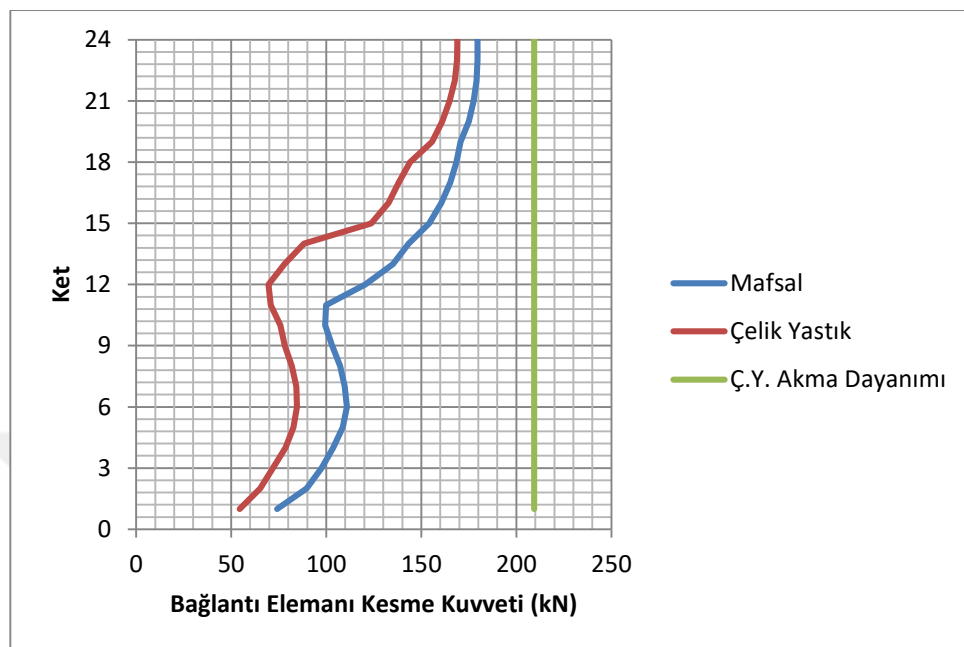
Şekil B.24 : SF_0,77259_CHICHI02_TTN027-N.AT2 deprem analizinde modellerde oluşan perde momentleri.



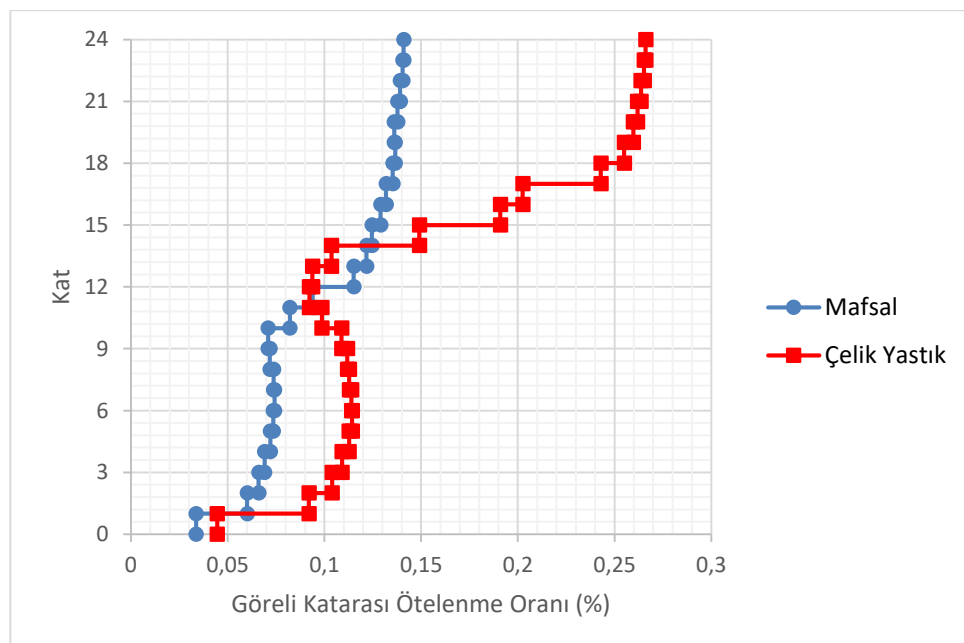
Şekil B.25 : SF_0,79704_ITALY_A-MER000.AT2 deprem analizinde modellerde oluşan kat deplasmanları.



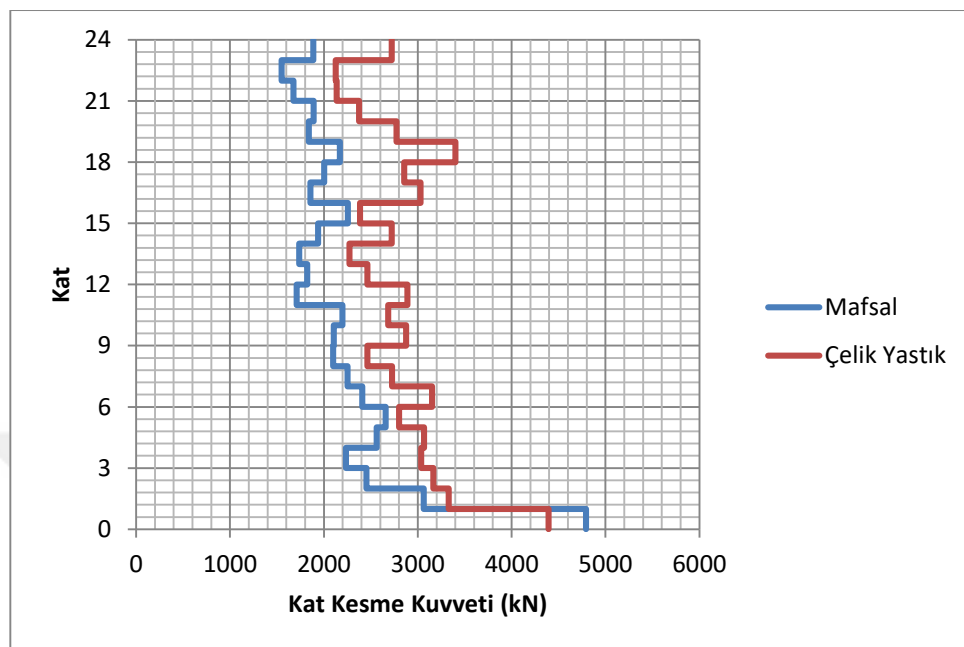
Şekil B.26 : SF_0,79704_ITALY_A-MER000.AT2 deprem analizinde modellerde oluşan bağlantı elemanı deplasmanları.



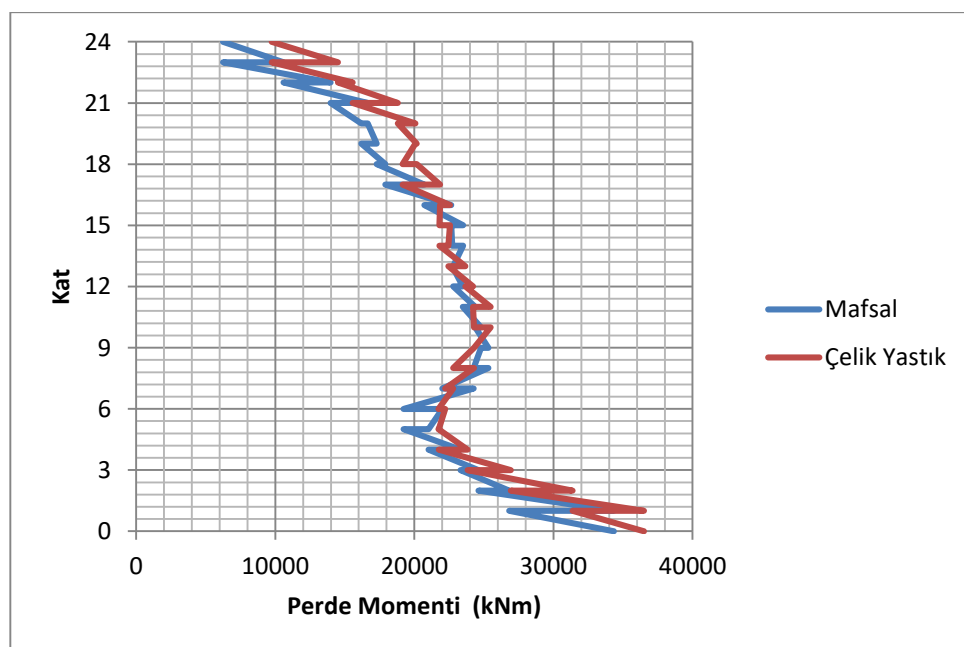
Şekil B.27 : SF_0,79704_ITALY_A-MER000.AT2 deprem analizinde modellerde oluşan bağlantı elemanı kesme kuvvetleri.



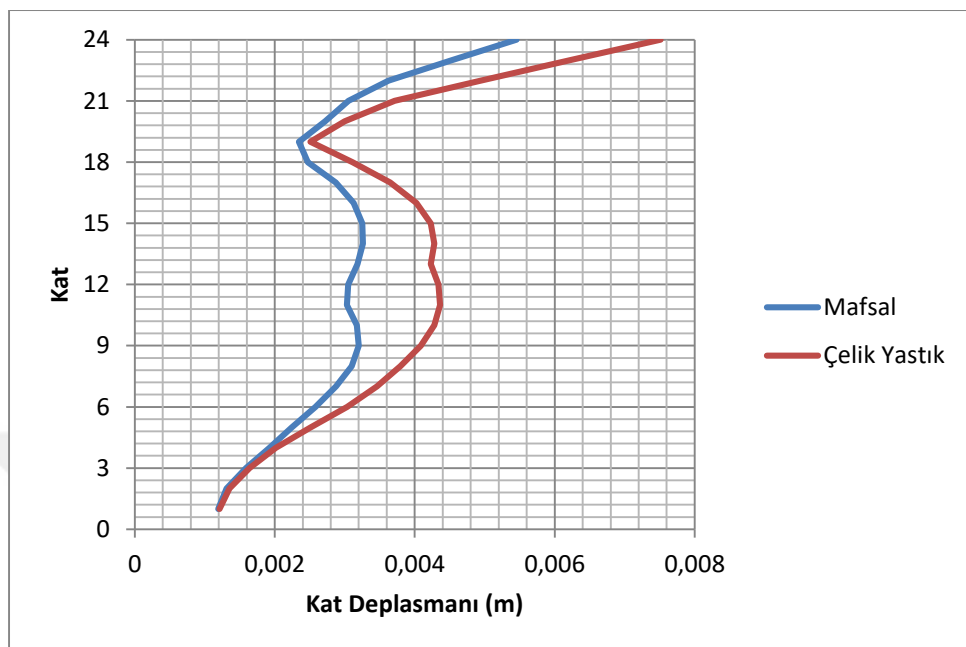
Şekil B.28 : SF_0,79704_ITALY_A-MER000.AT2 deprem analizinde modellerde oluşan göreli kat ötelenme oranları.



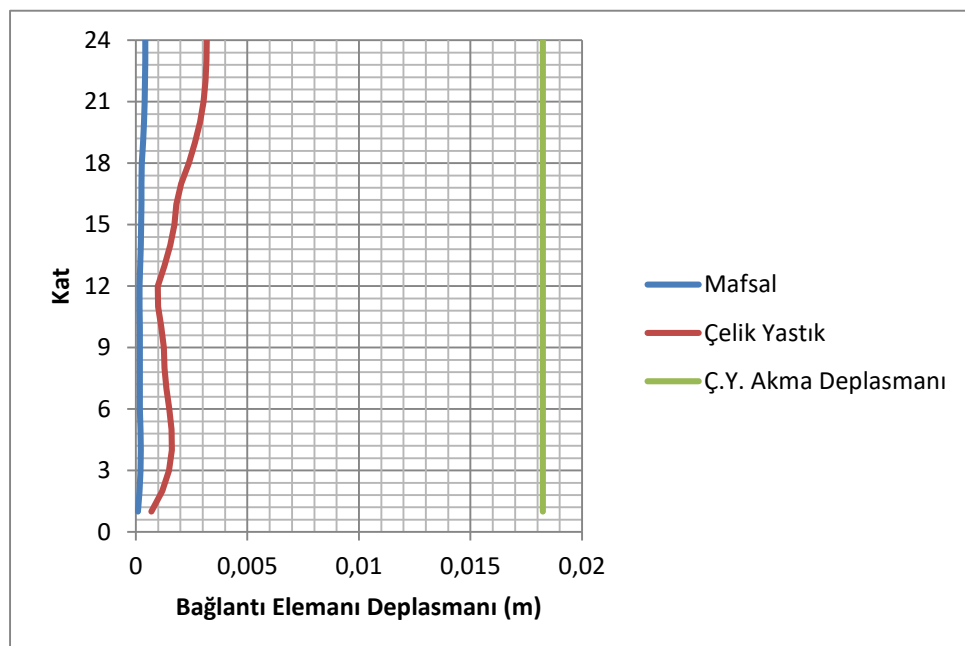
Şekil B.29 : SF_0,79704_ITALY_A-MER000.AT2 deprem analizinde modellerde oluşan kat kesme kuvvetleri.



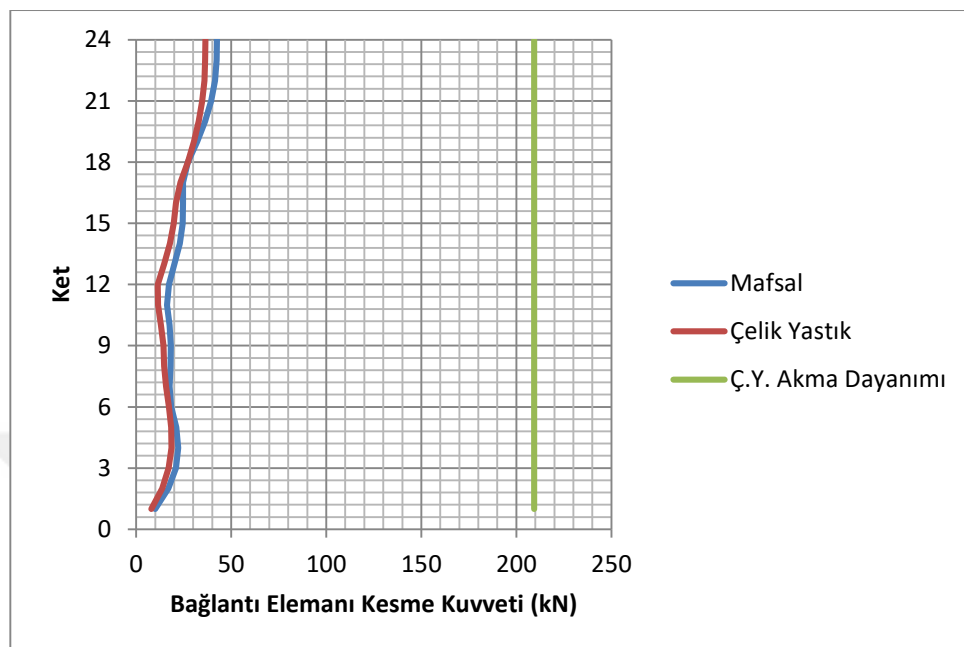
Şekil B.30 : SF_0,79704_ITALY_A-MER000.AT2 deprem analizinde modellerde oluşan perde momentleri.



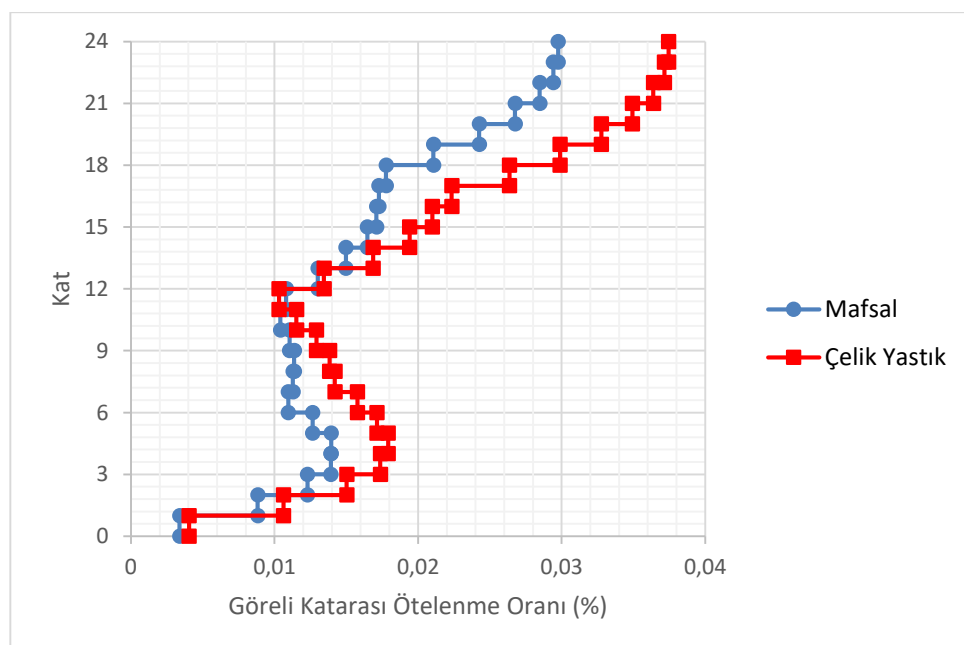
Şekil B.31 : SF_0,80771_LIVERMOR_B-DVD156.AT2 deprem analizinde modellerde oluşan kat deplasmanları.



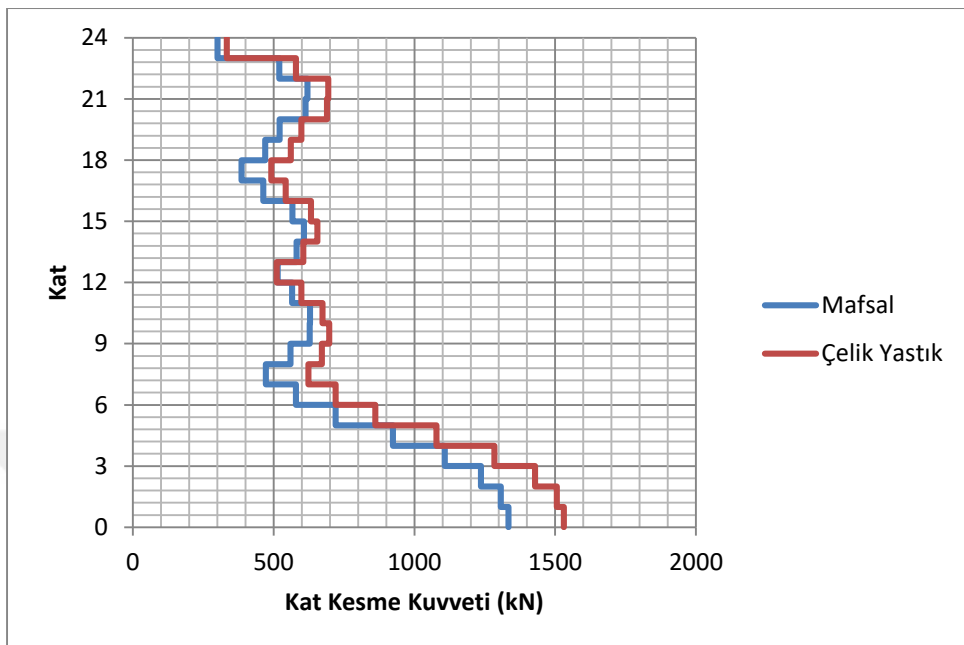
Şekil B.32 : SF_0,80771_LIVERMOR_B-DVD156.AT2 deprem analizinde modellerde oluşan bağlantı elemanı deplasmanları.



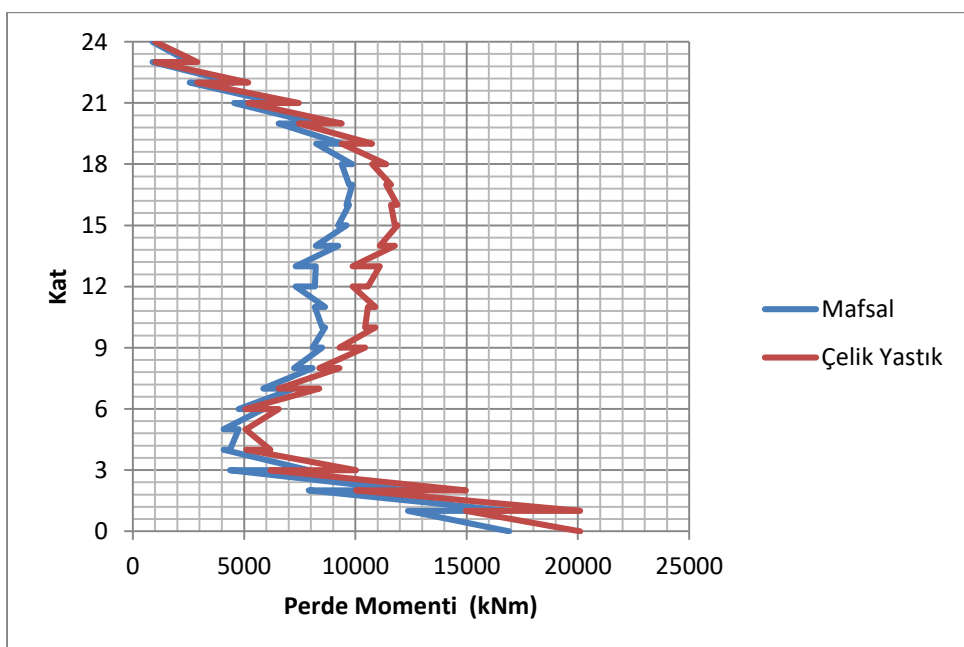
Şekil B.33 : SF_0,80771_LIVERMOR_B-DVD156.AT2 deprem analizinde modellerde oluşan bağlantı elemanı kesme kuvvetleri.



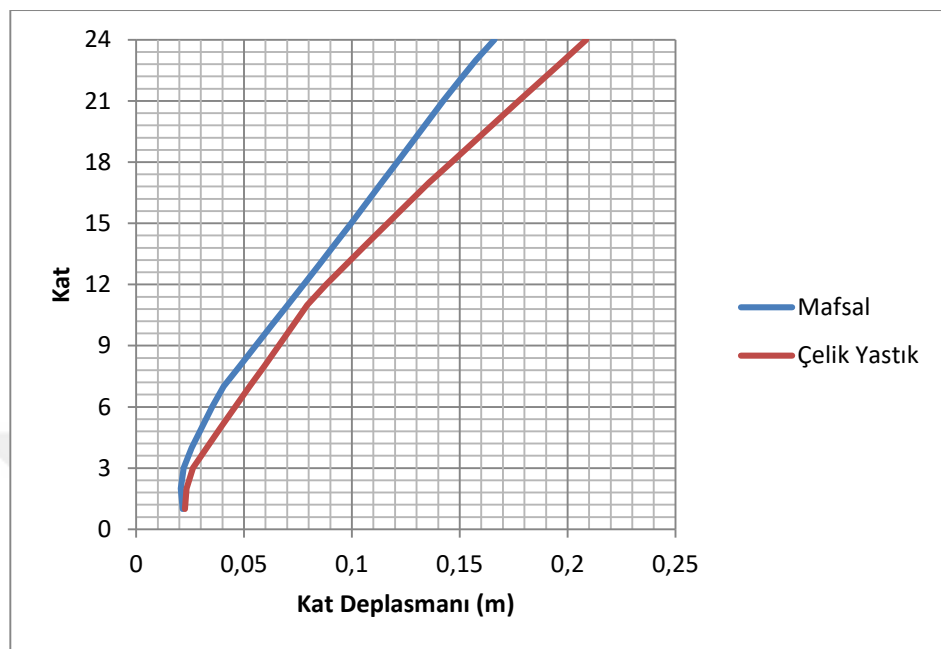
Şekil B.34 : SF_0,80771_LIVERMOR_B-DVD156.AT2 deprem analizinde modellerde oluşan göreli kat ötelenme oranları.



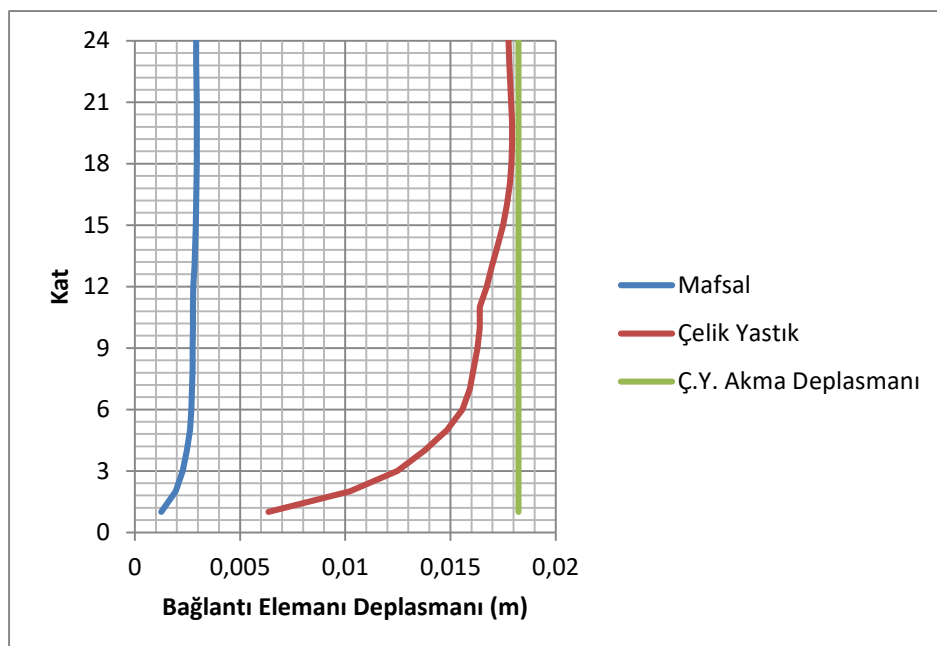
Şekil B.35 : SF_0,80771_LIVERMOR_B-DVD156.AT2 deprem analizinde modellerde oluşan kat kesme kuvvetleri.



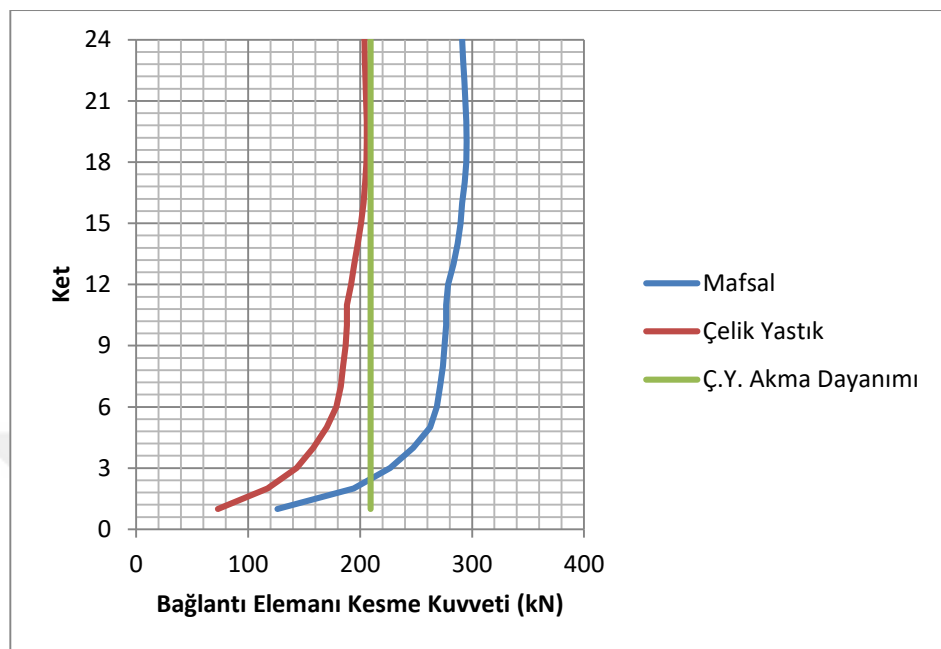
Şekil B.36 : SF_0,80771_LIVERMOR_B-DVD156.AT2 deprem analizinde modellerde oluşan perde momentleri.



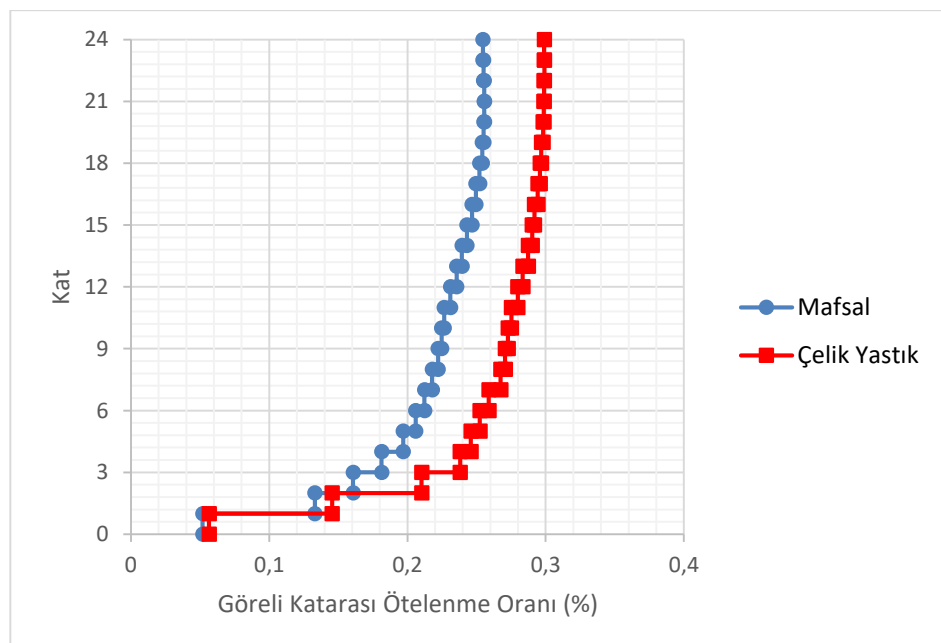
Şekil B.37 : SF_0,83335_CHICHI06_TCU119-E.AT2 deprem analizinde modellerde oluşan kat deplasmanları.



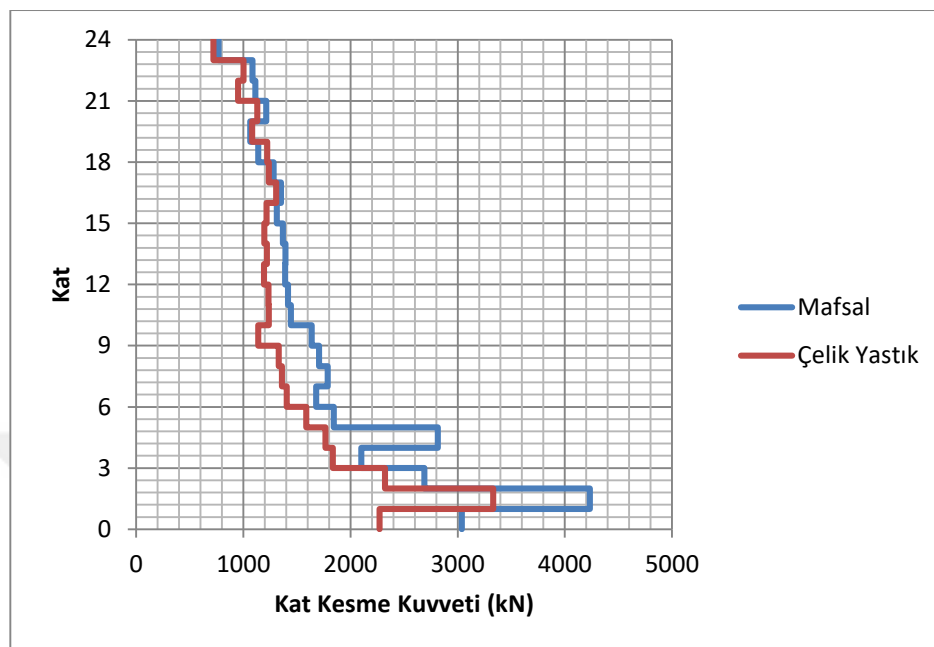
Şekil B.38 : SF_0,83335_CHICHI06_TCU119-E.AT2 deprem analizinde modellerde oluşan bağlantı elemanı deplasmanları.



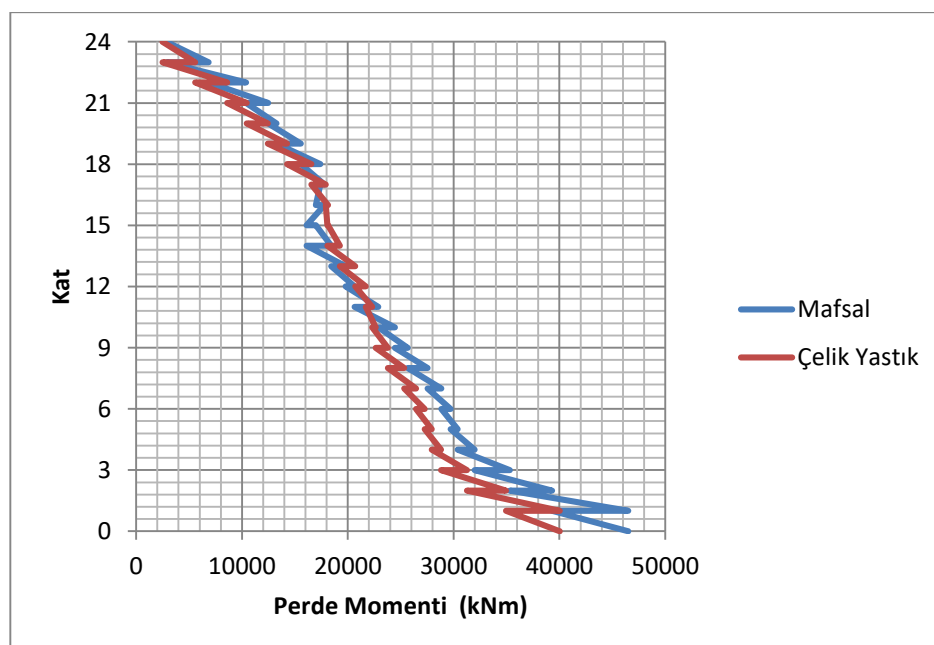
Şekil B.39 : SF_0,83335_CHICHI06_TCU119-E.AT2 deprem analizinde modellerde oluşan bağlantı elemanı kesme kuvvetleri.



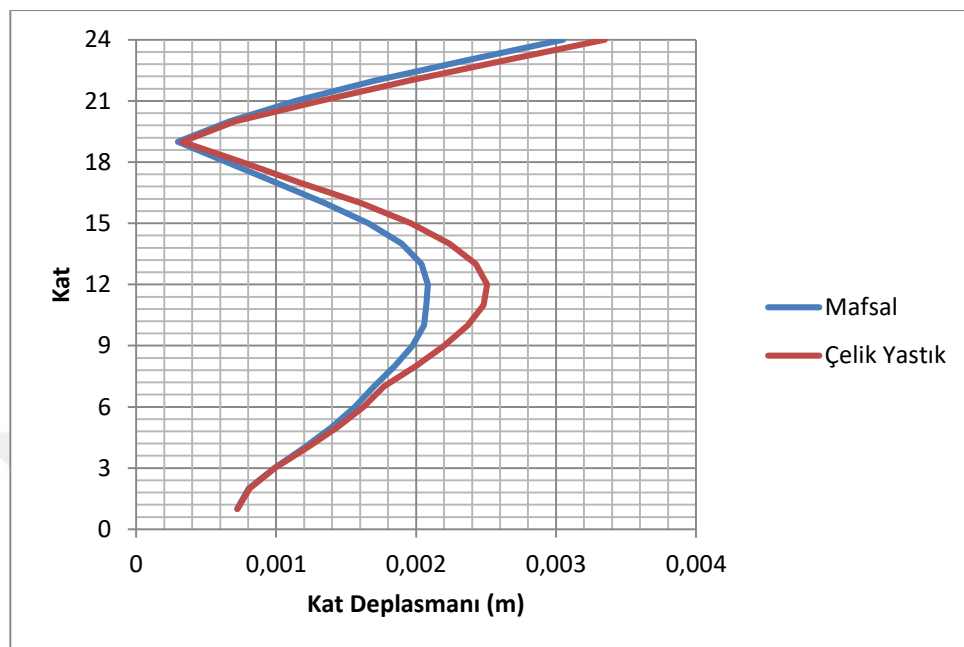
Şekil B.40 : SF_0,83335_CHICHI06_TCU119-E.AT2 deprem analizinde modellerde oluşan göreli kat ötelenme oranları.



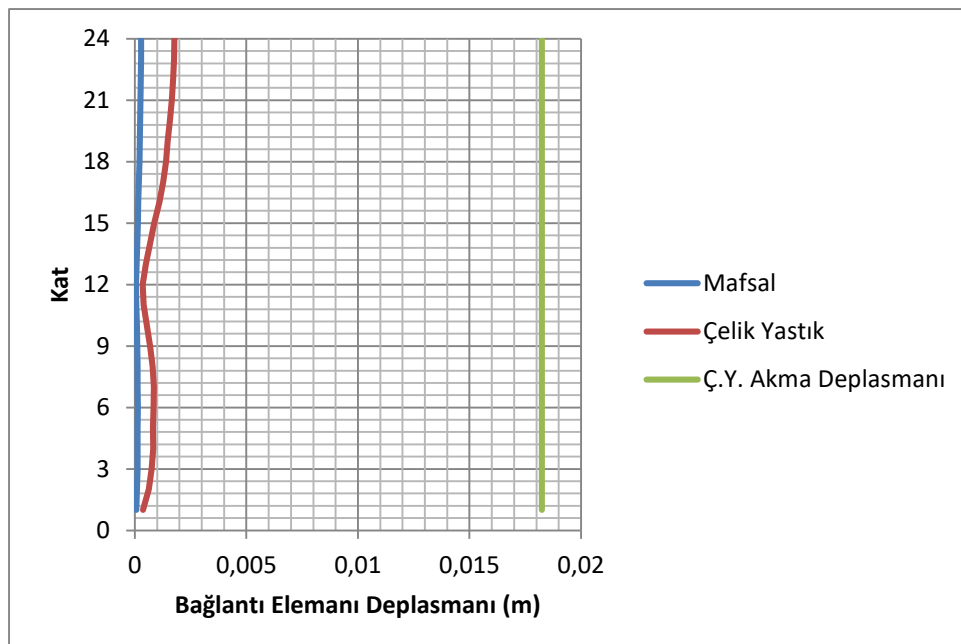
Şekil B.41 : SF_0,83335_CHICHI06_TCU119-E.AT2 deprem analizinde modellerde oluşan kat kesme kuvvetleri.



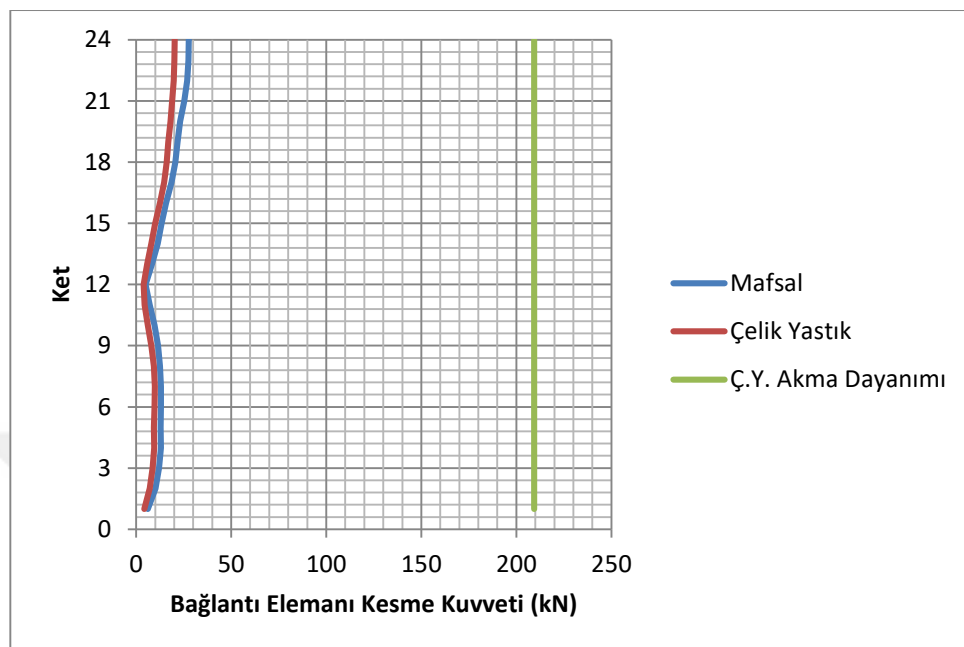
Şekil B.42 : SF_0,83335_CHICHI06_TCU119-E.AT2 deprem analizinde modellerde oluşan perde momentleri.



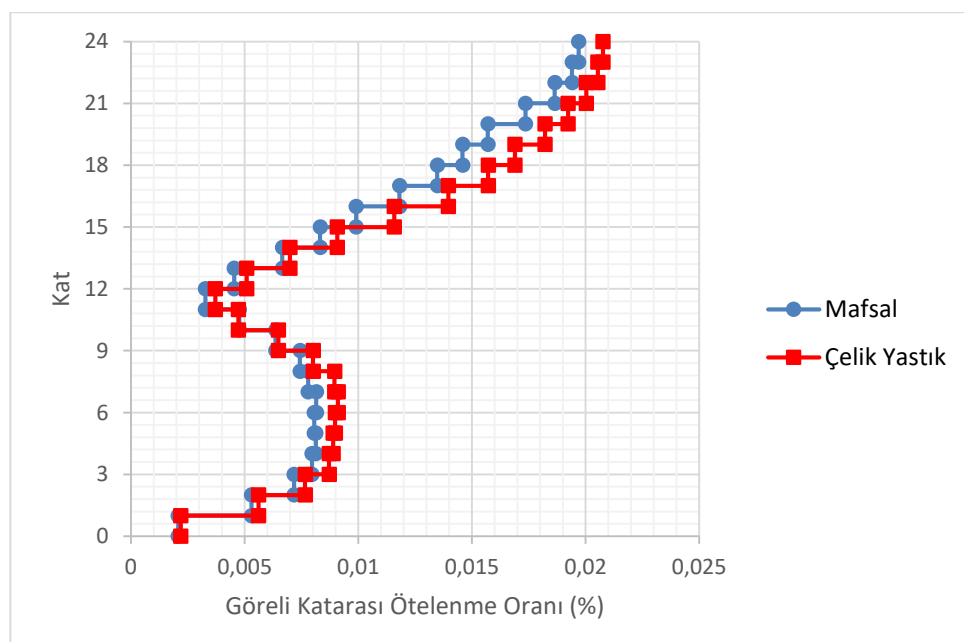
Şekil B.43 : SF_0,84063_MAMMOTH_H-MGE000.AT2 deprem analizinde modellerde oluşan kat deplasmanları.



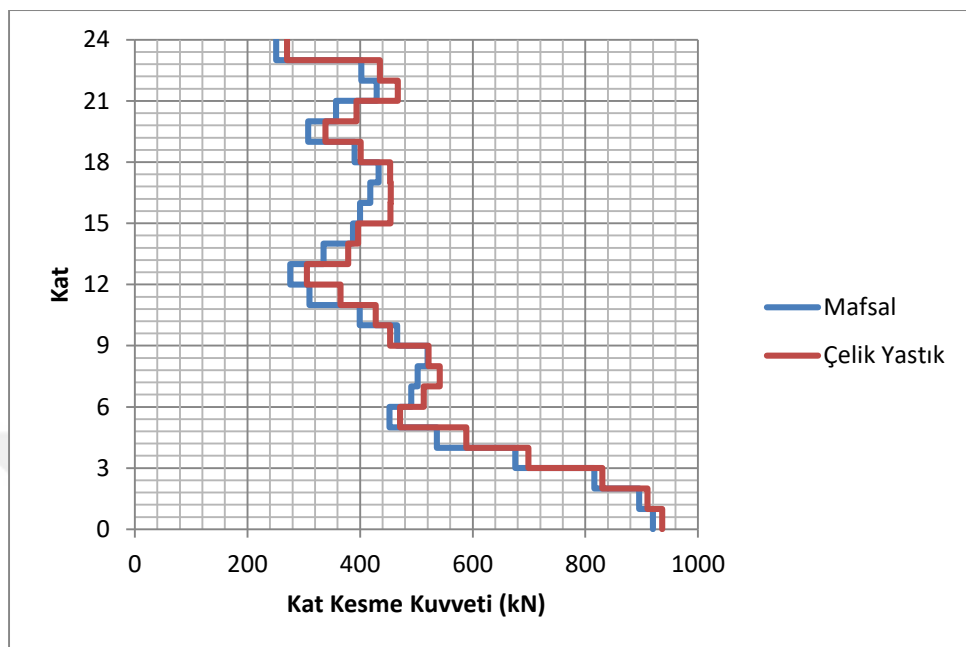
Şekil B.44 : SF_0,84063_MAMMOTH_H-MGE000.AT2 deprem analizinde modellerde oluşan bağlantı elemani deplasmanları.



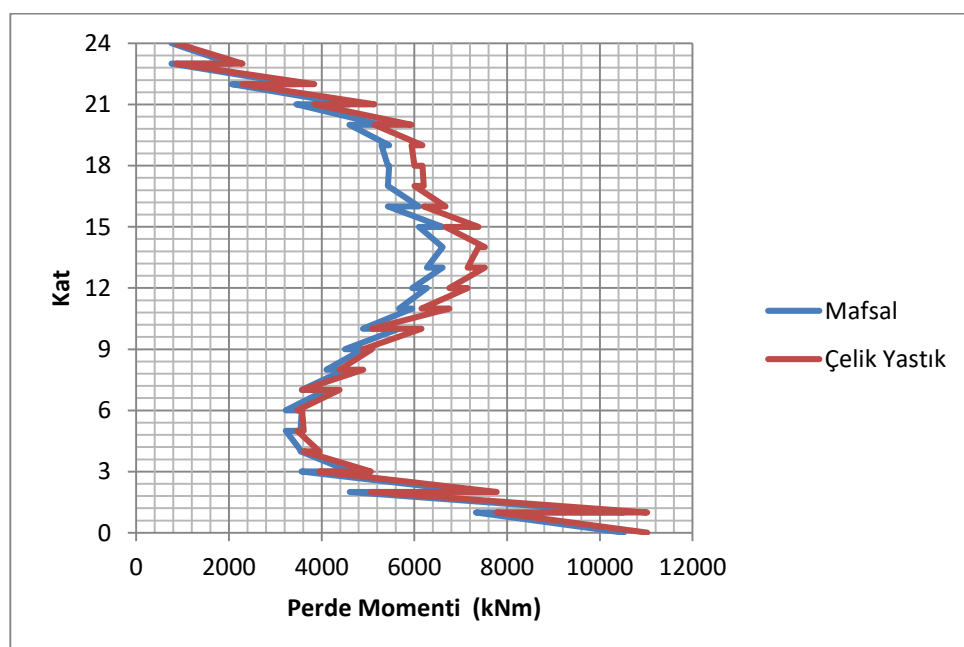
Şekil B.45 : SF_0,84063_MAMMOTH_H-MGE000.AT2 deprem analizinde modellerde oluşan bağlantı elemanı kesme kuvvetleri.



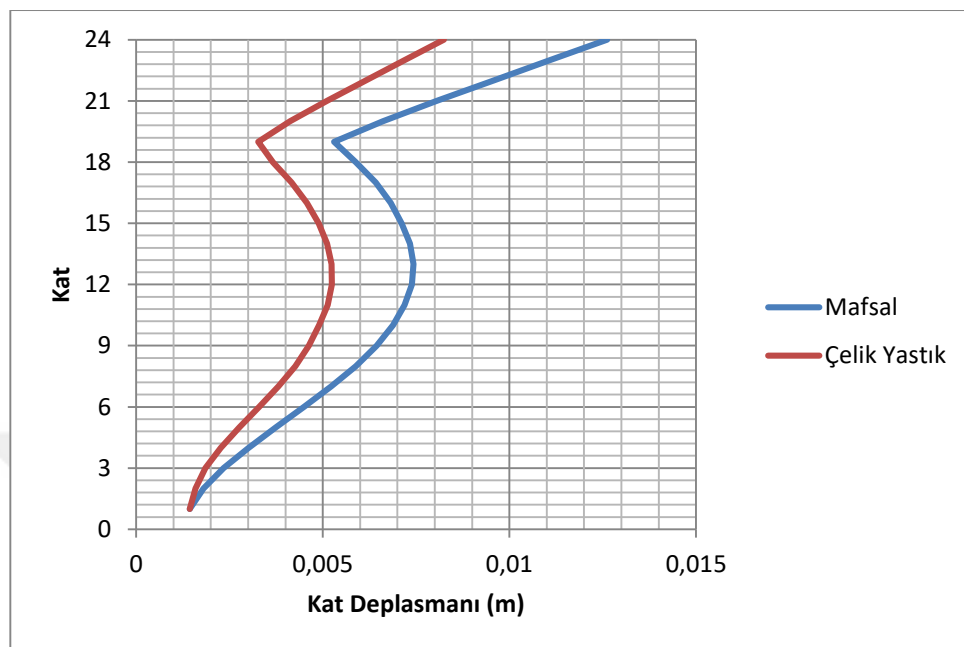
Şekil B.46 : SF_0,84063_MAMMOTH_H-MGE000.AT2 deprem analizinde modellerde oluşan göreli kat ötelenme oranları.



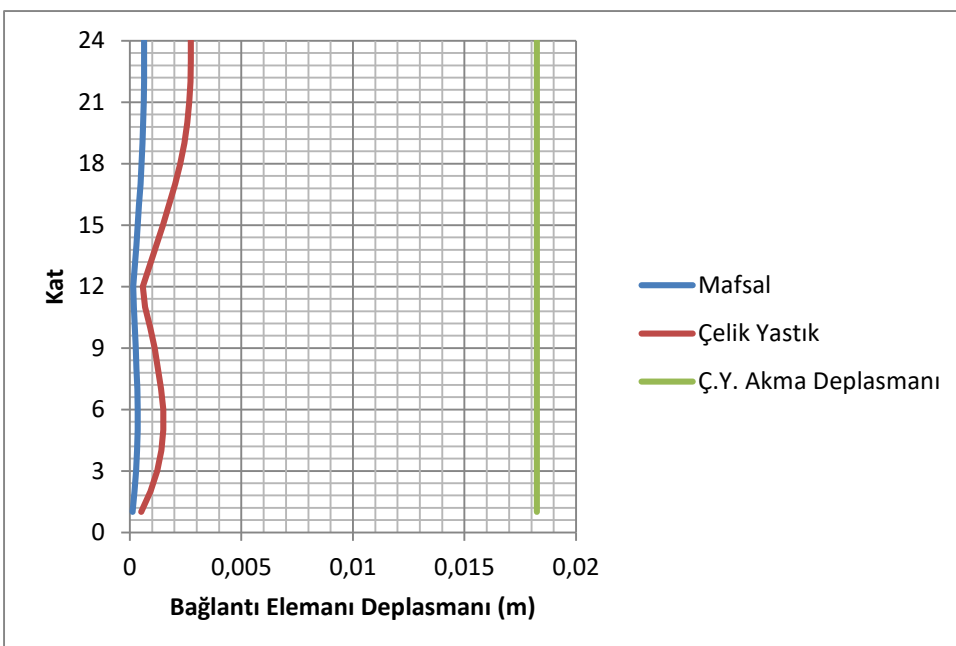
Şekil B.47 : SF_0,84063_MAMMOTH_H-MGE000.AT2 deprem analizinde modellerde oluşan kat kesme kuvvetleri.



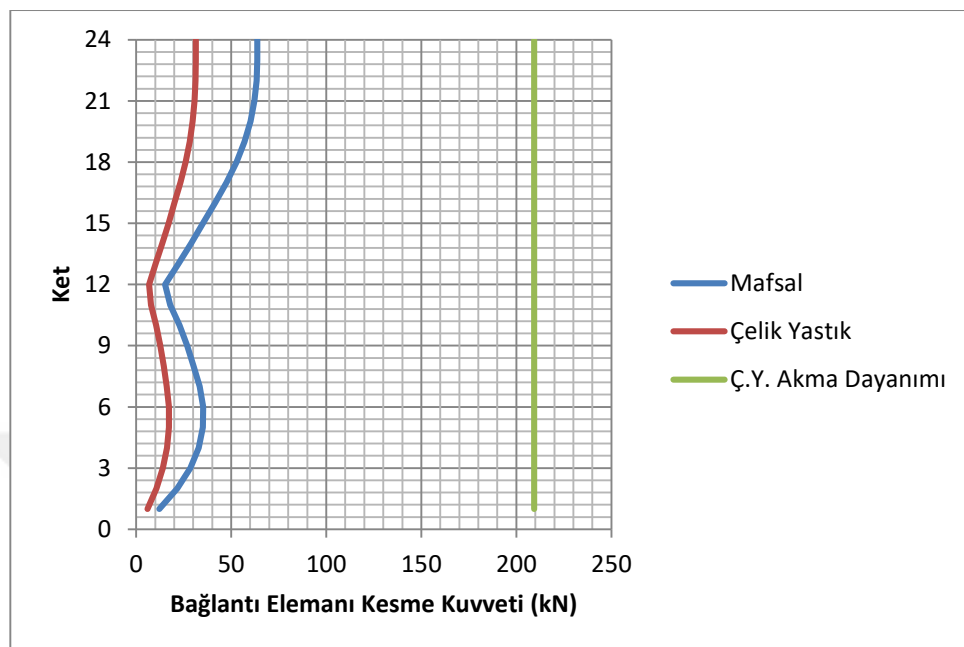
Şekil B.48 : SF_0,84063_MAMMOTH_H-MGE000.AT2 deprem analizinde modellerde oluşan perde momentleri.



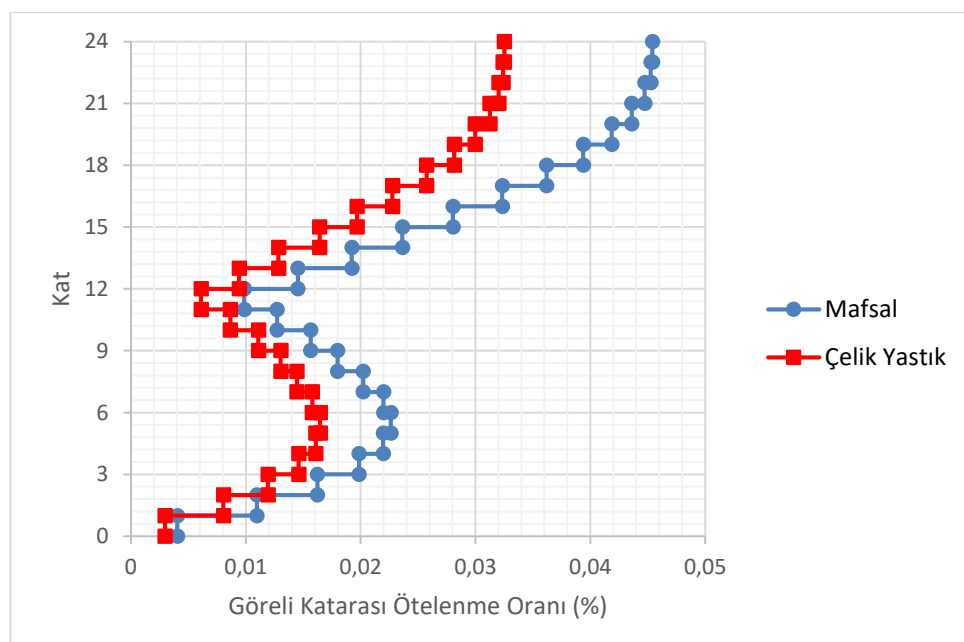
Şekil B.49 : SF_0,85377_NORTH392_TEMPL000.AT2 deprem analizinde modellerde oluşan kat deplasmanları.



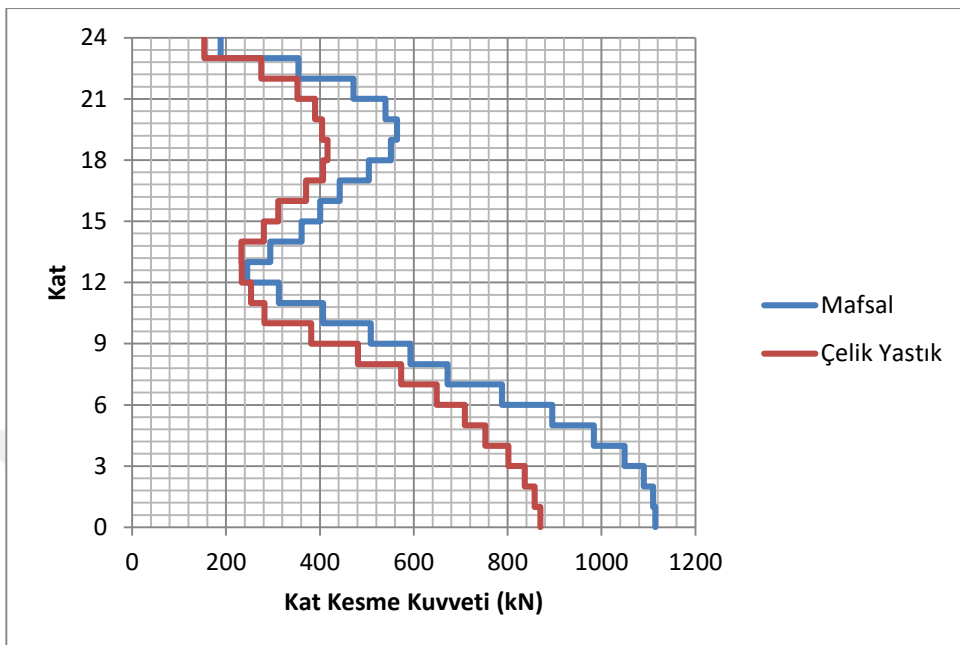
Şekil B.50 : SF_0,85377_NORTH392_TEMPL000.AT2 deprem analizinde modellerde oluşan bağlantı elemanı deplasmanları.



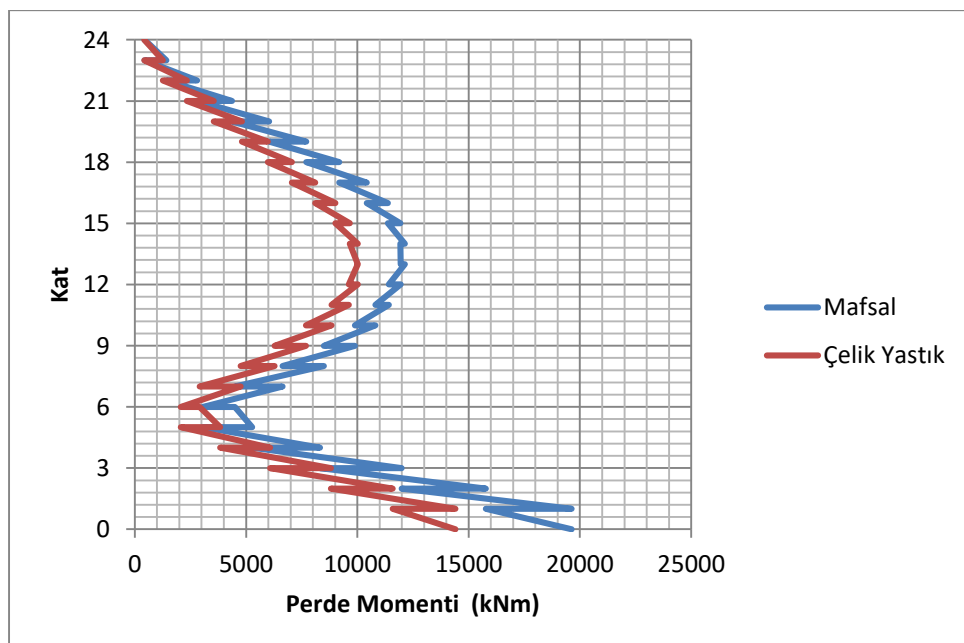
Şekil B.51 : SF_0,85377_NORTH392_TEMPL000.AT2 deprem analizinde modellerde oluşan bağlantı elemanı kesme kuvvetleri.



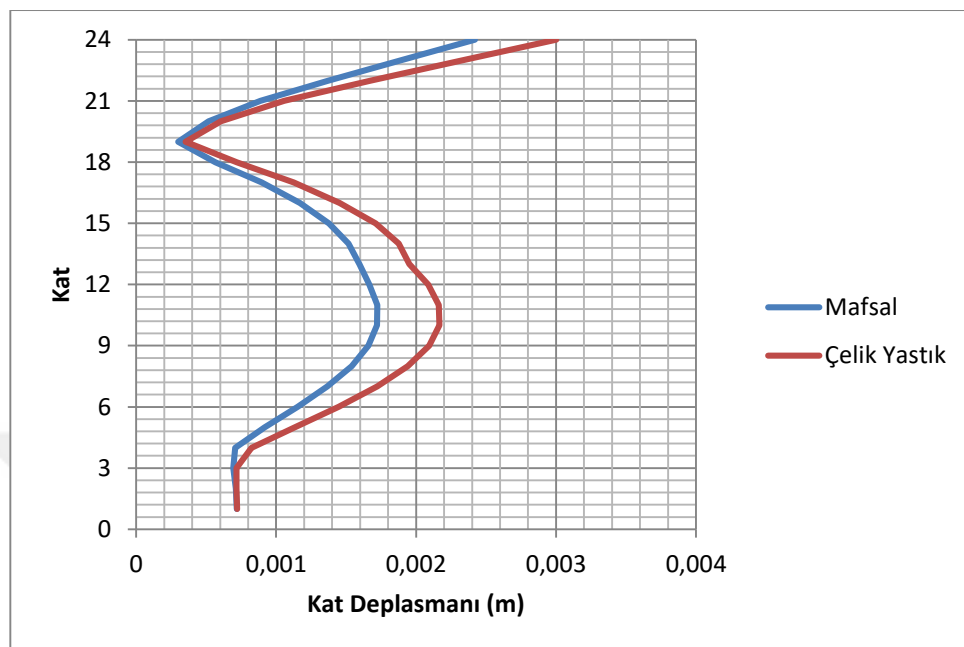
Şekil B.52 : SF_0,85377_NORTH392_TEMPL000.AT2 deprem analizinde modellerde oluşan göreli kat ötelenme oranları.



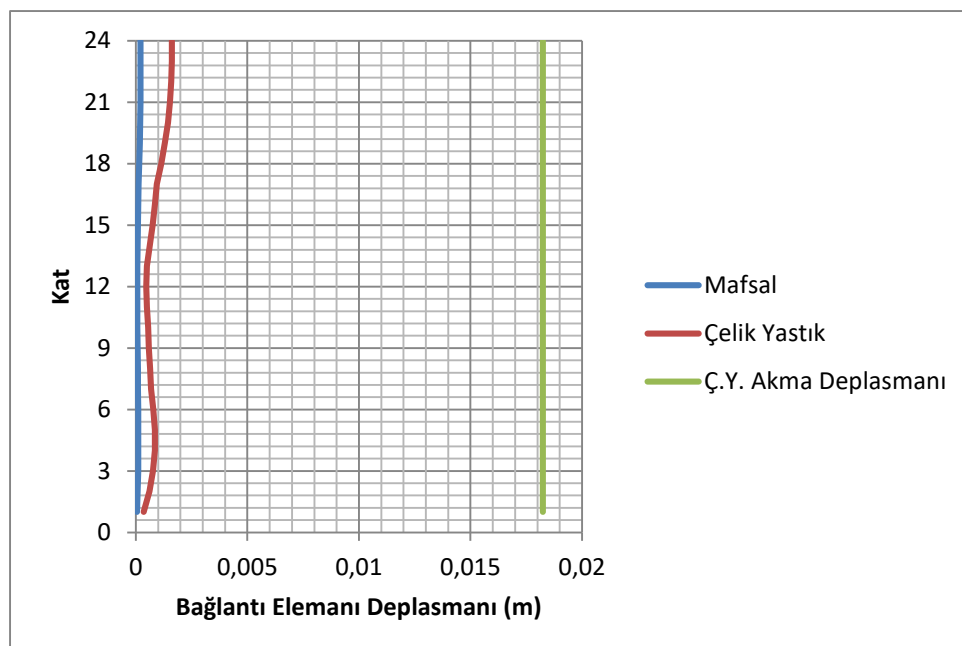
Şekil B.53 : SF_0,85377_NORTH392_TEMPL000.AT2 deprem analizinde modellerde oluşan kat kesme kuvvetleri.



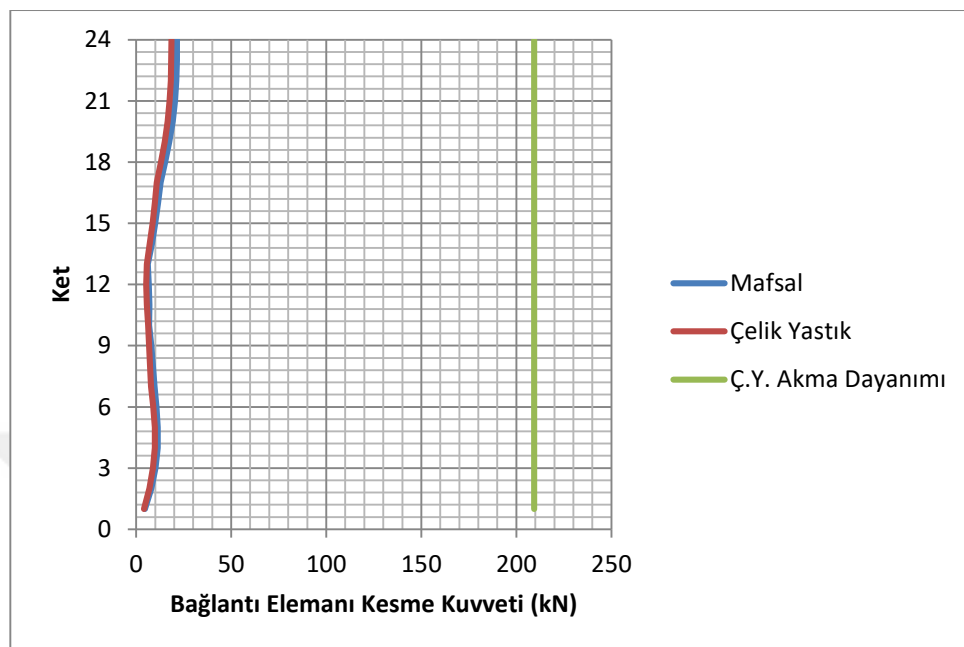
Şekil B.54 : SF_0,85377_NORTH392_TEMPL000.AT2 deprem analizinde modellerde oluşan perde momentleri.



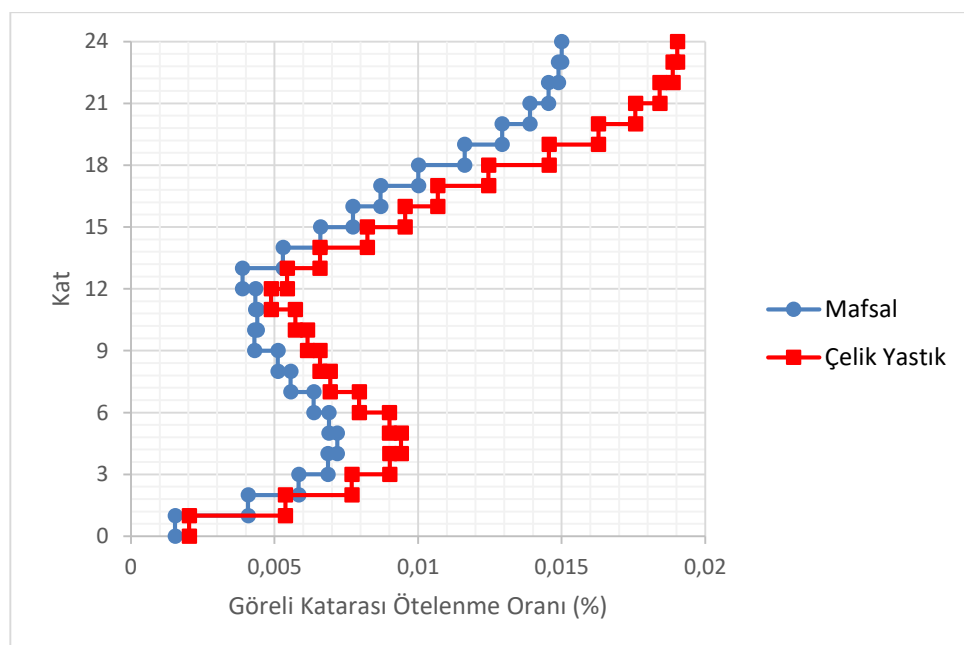
Şekil B.55 : SF_0,87729_KOZANI_FLR--L.AT2 deprem analizinde modellerde oluşan kat deplasmanları.



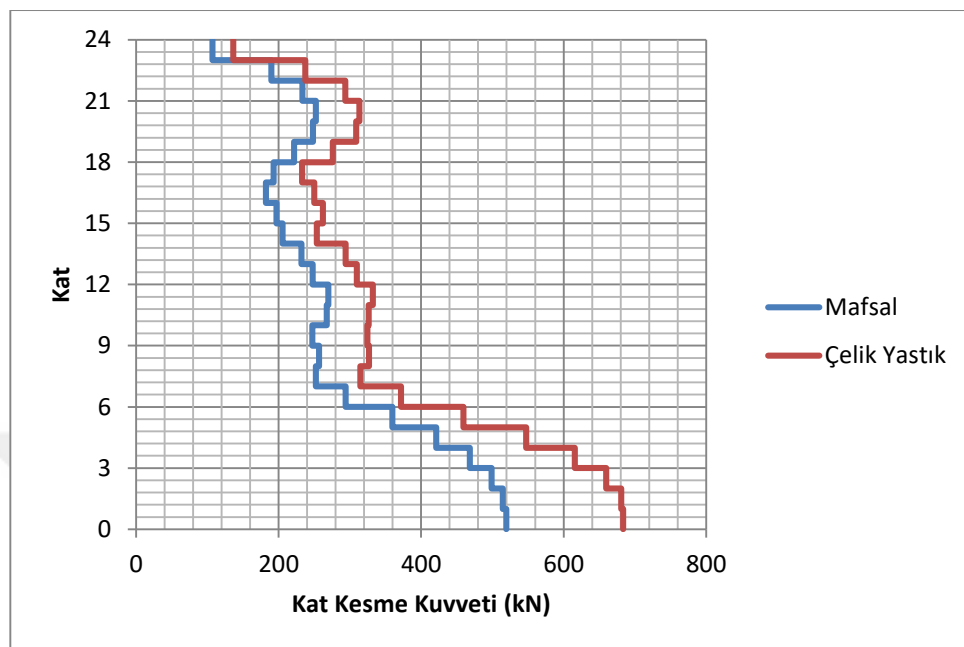
Şekil B.56 : SF_0,87729_KOZANI_FLR--L.AT2 deprem analizinde modellerde oluşan bağlantı elemanı deplasmanları.



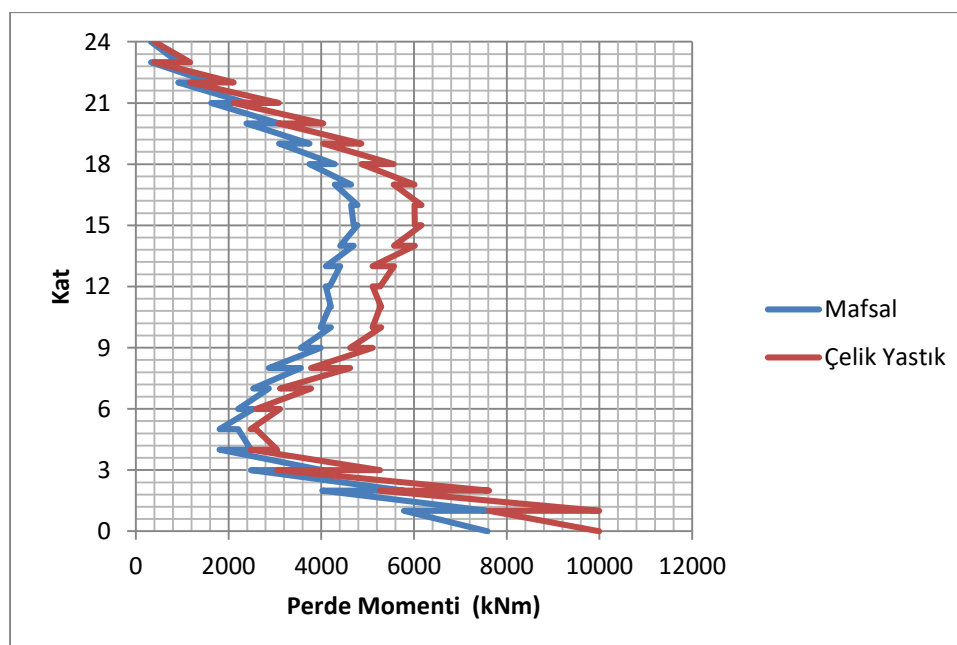
Şekil B.57 : SF_0,87729_KOZANI_FLR--L.AT2 deprem analizinde modellerde oluşan bağlantı elemanı kesme kuvvetleri.



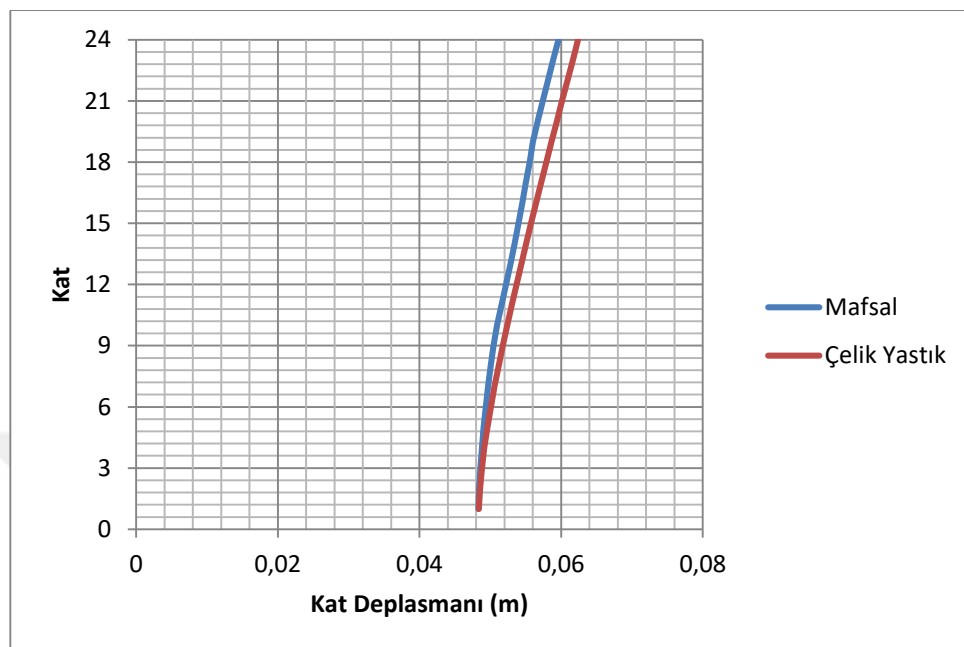
Şekil B.58 : SF_0,87729_KOZANI_FLR--L.AT2 deprem analizinde modellerde oluşan göreli kat ötelenme oranları.



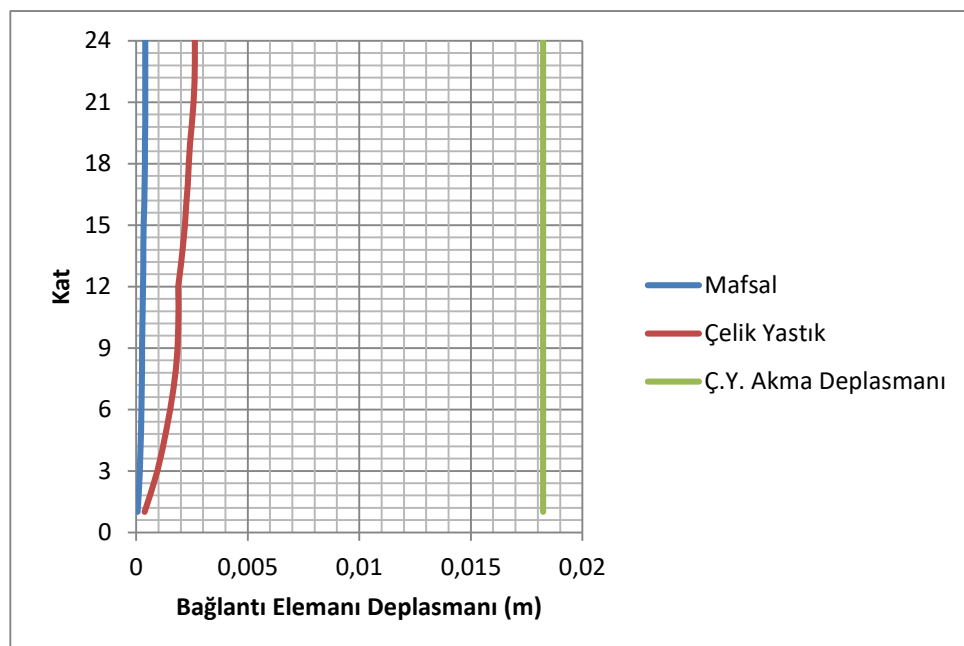
Şekil B.59 : SF_0,87729_KOZANI_FLR--L.AT2 deprem analizinde modellerde oluşan kat kesme kuvvetleri.



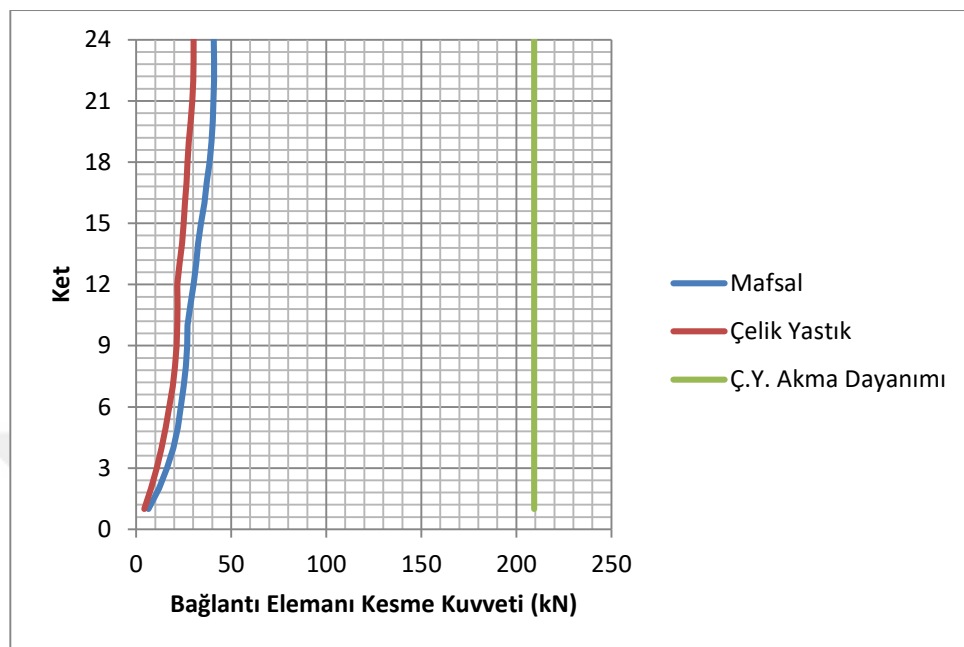
Şekil B.60 : SF_0,87729_KOZANI_FLR--L.AT2 deprem analizinde modellerde oluşan perde momentleri.



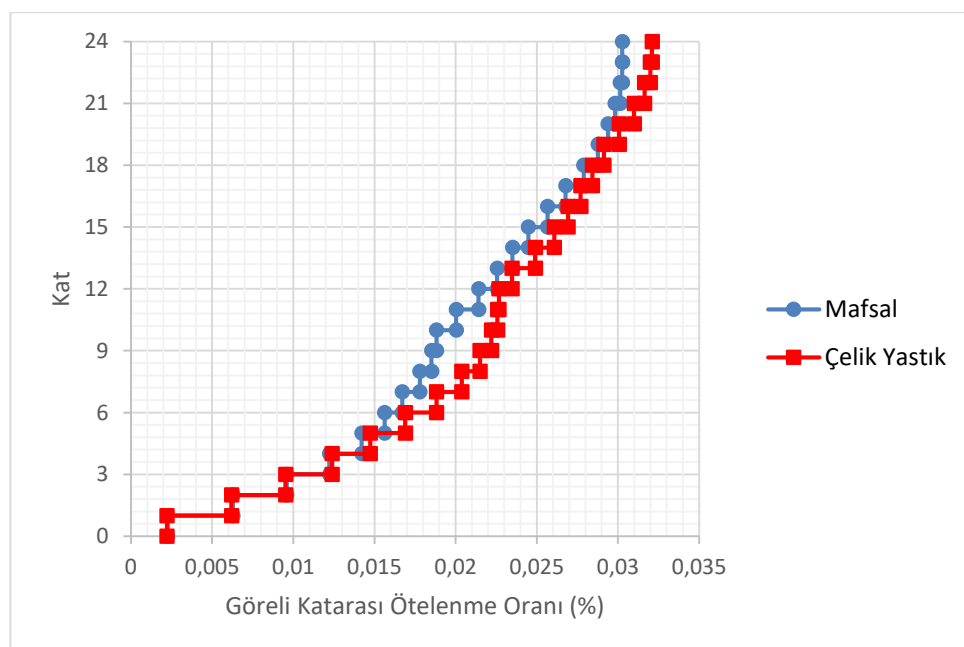
Şekil B.61 : SF_0,93555_NORTHR_ATB090.AT2 deprem analizinde modellerde oluşan kat deplasmanları.



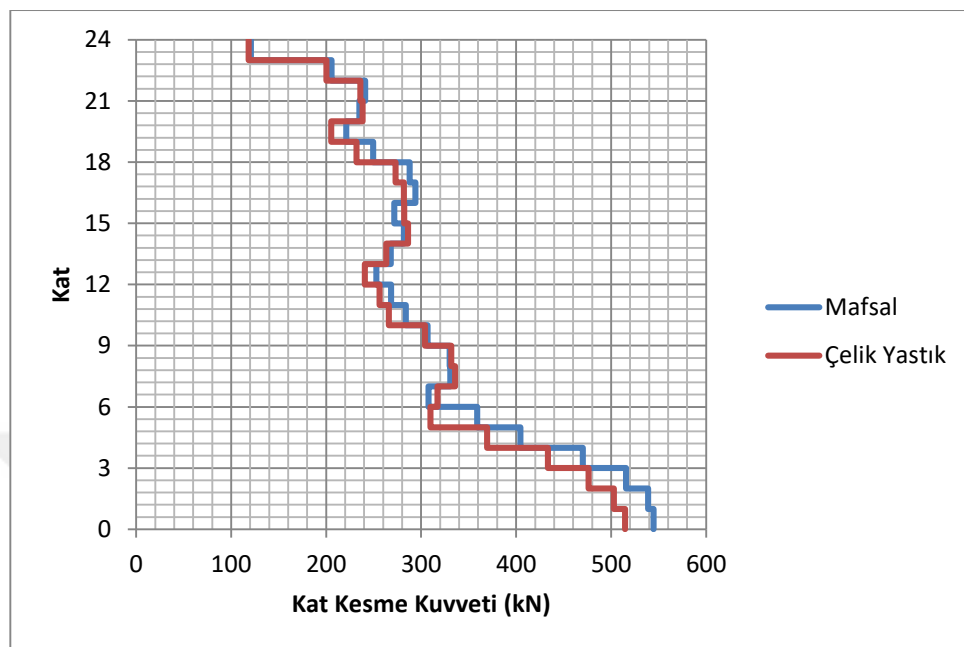
Şekil B.62 : SF_0,93555_NORTHR_ATB090.AT2 deprem analizinde modellerde oluşan bağlantı elemanı deplasmanları.



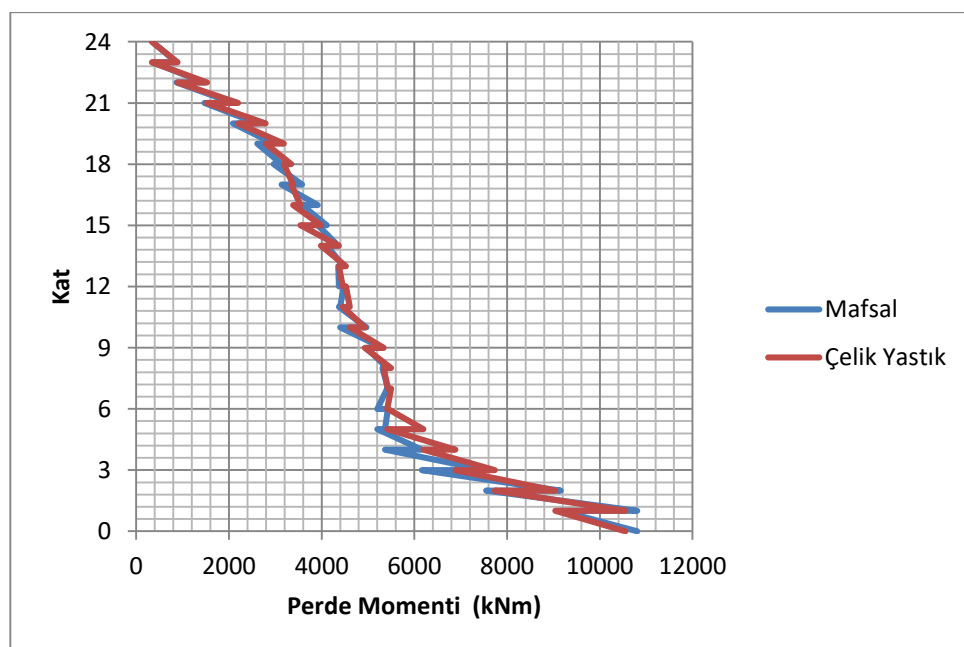
Şekil B.63 : SF_0,93555_NORTHR_ATB090.AT2 deprem analizinde modellerde oluşan bağlantı elemanı kesme kuvvetleri.



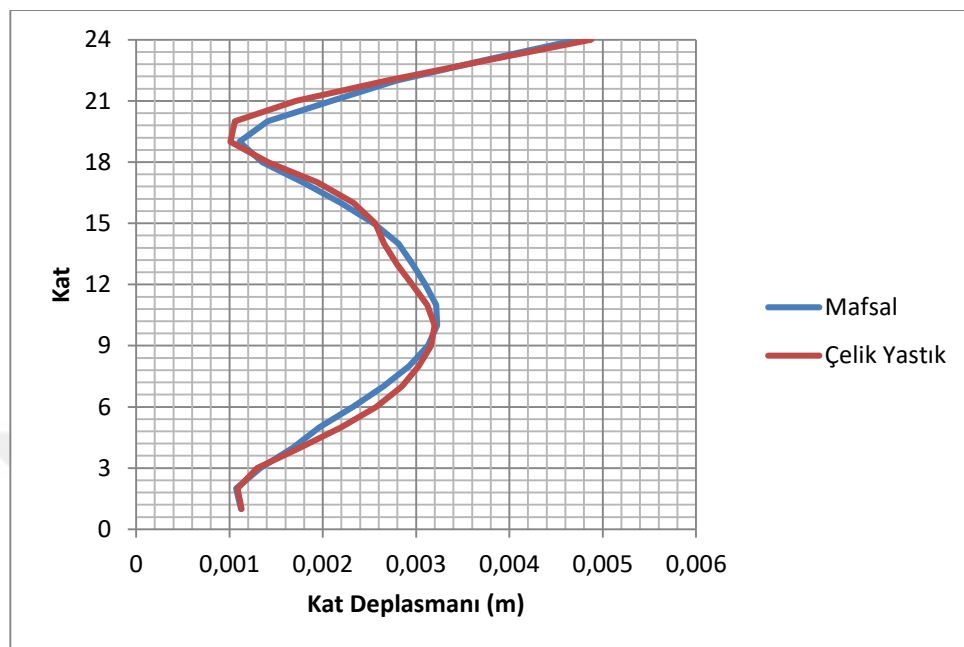
Şekil B.64 : SF_0,93555_NORTHR_ATB090.AT2 deprem analizinde modellerde oluşan göreli kat ötelenme oranları.



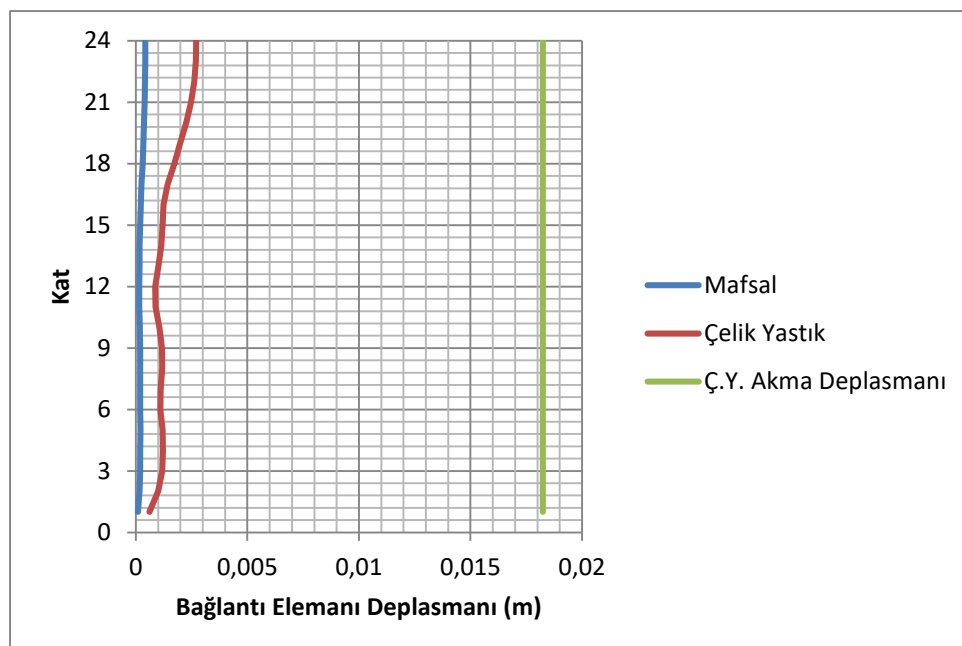
Şekil B.65 : SF_0,93555_NORTHR_ATB090.AT2 deprem analizinde modellerde oluşan kat kesme kuvvetleri.



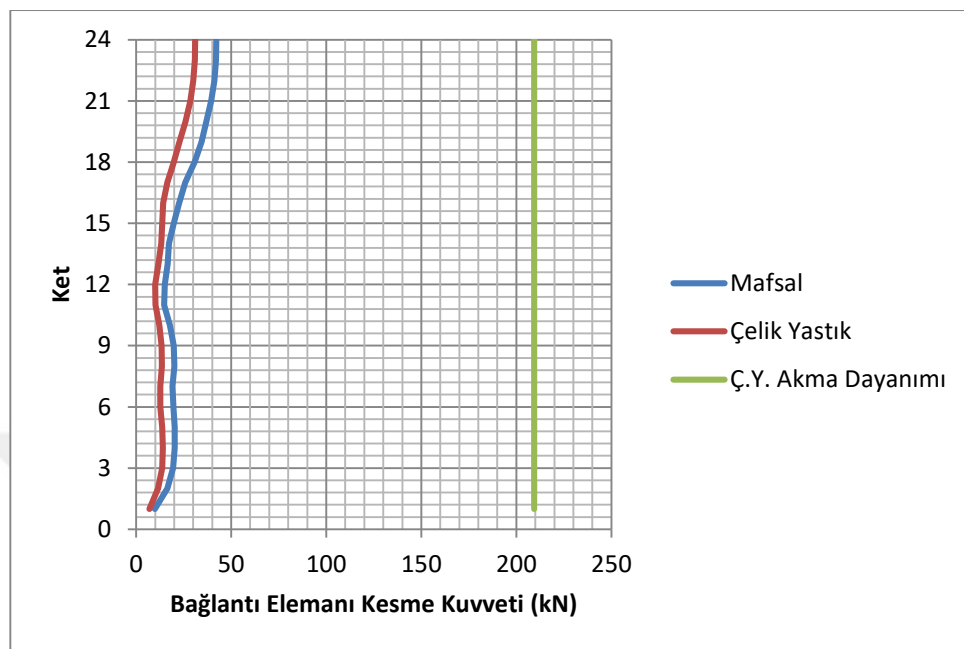
Şekil B.66 : SF_0,93555_NORTHR_ATB090.AT2 deprem analizinde modellerde oluşan perde momentleri.



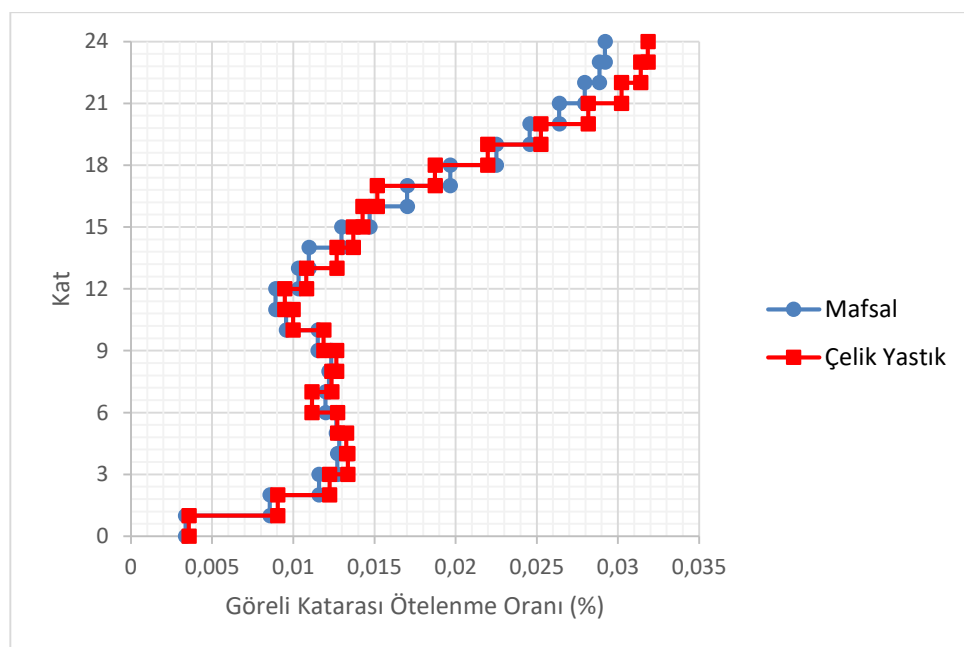
Şekil B.67 : SF_0,95038_CHICHI_TAI1-E.AT2 deprem analizinde modellerde oluşan kat deplasmanları.



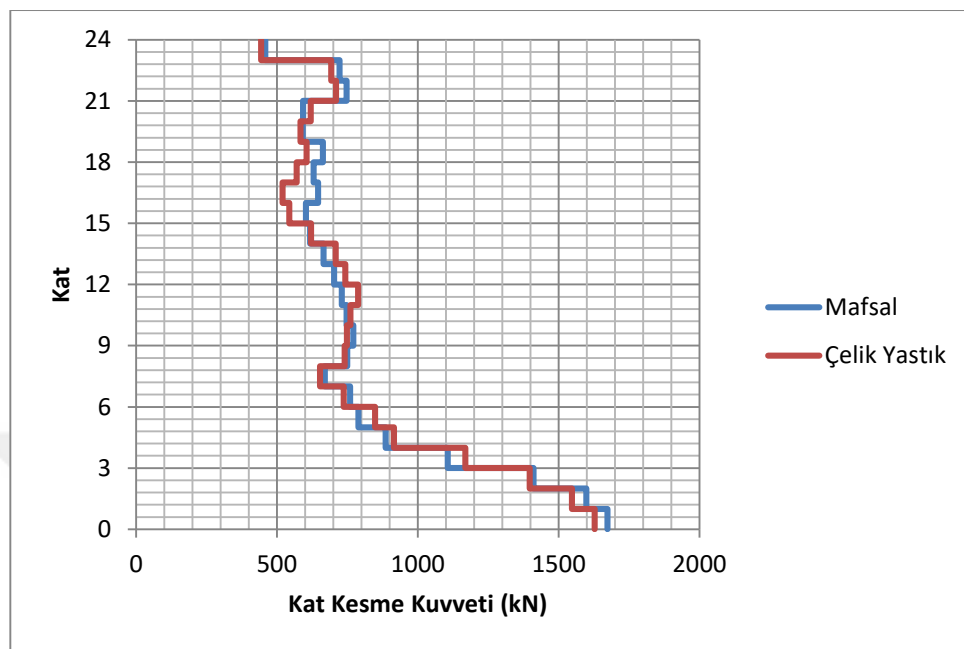
Şekil B.68 : SF_0,95038_CHICHI_TAI1-E.AT2 deprem analizinde modellerde oluşan bağlantı elemanı deplasmanları.



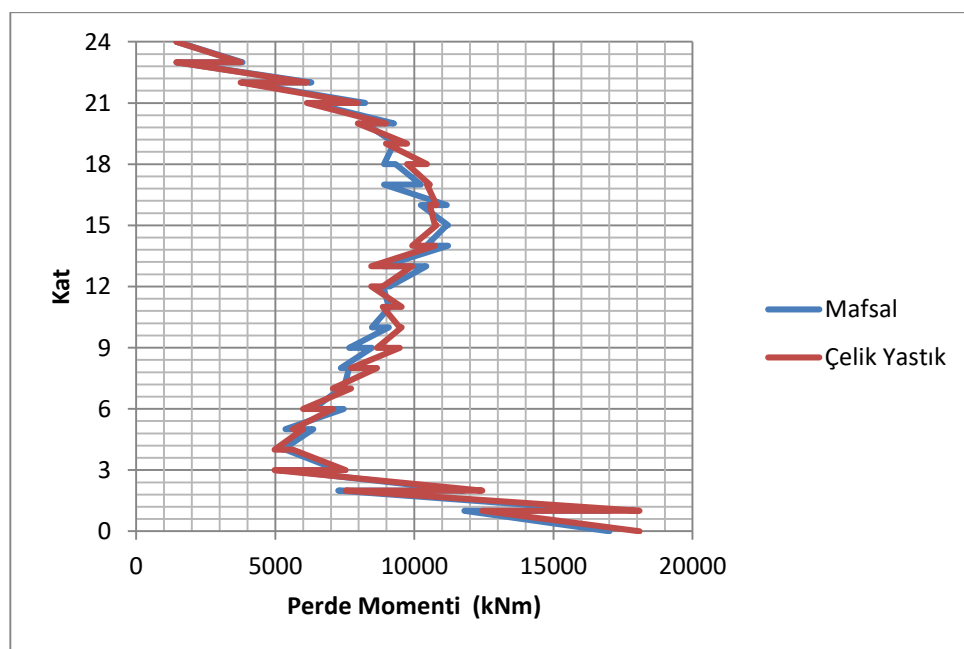
Şekil B.69 : SF_0,95038_CHICHI_TAI1-E.AT2 deprem analizinde modellerde oluşan bağlantı elemanı kesme kuvvetleri.



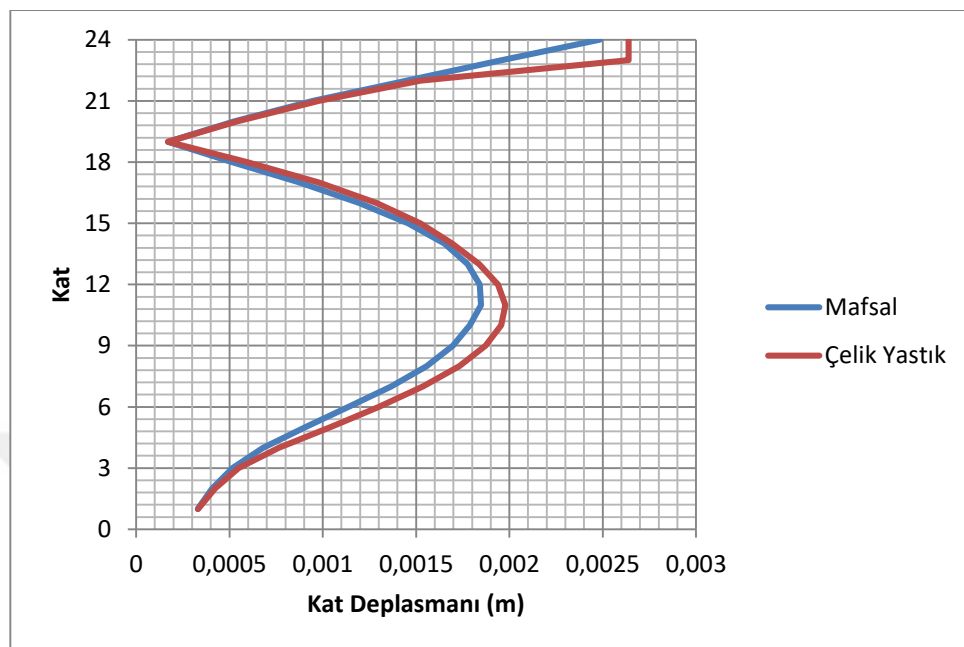
Şekil B.70 : SF_0,95038_CHICHI_TAI1-E.AT2 deprem analizinde modellerde oluşan göreli kat ötelenme oranları.



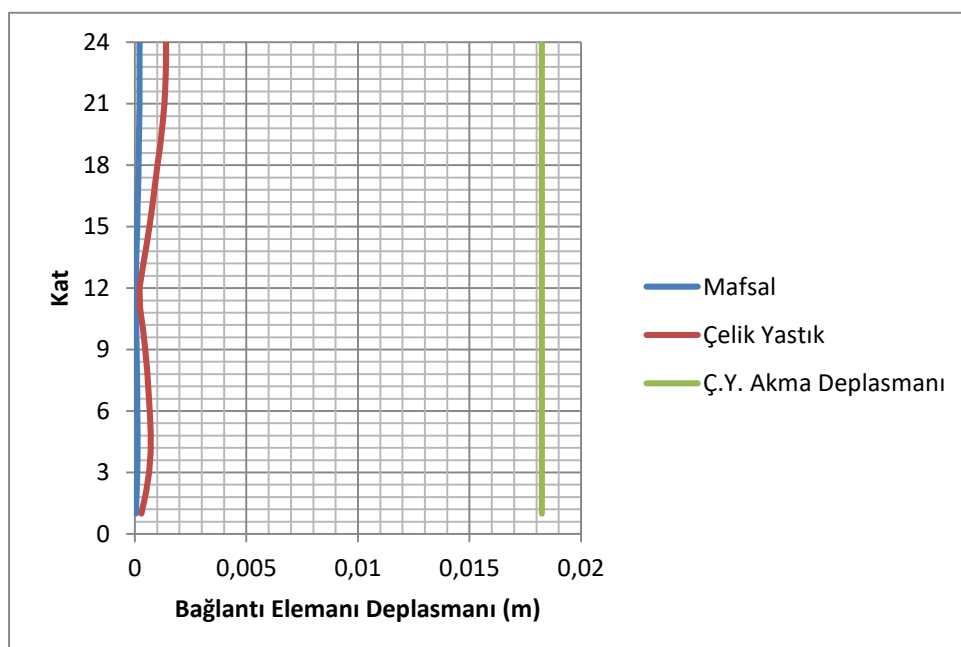
Şekil B.71 : SF_0,95038_CHICHI_TAI1-E.AT2 deprem analizinde modellerde oluşan kat kesme kuvvetleri.



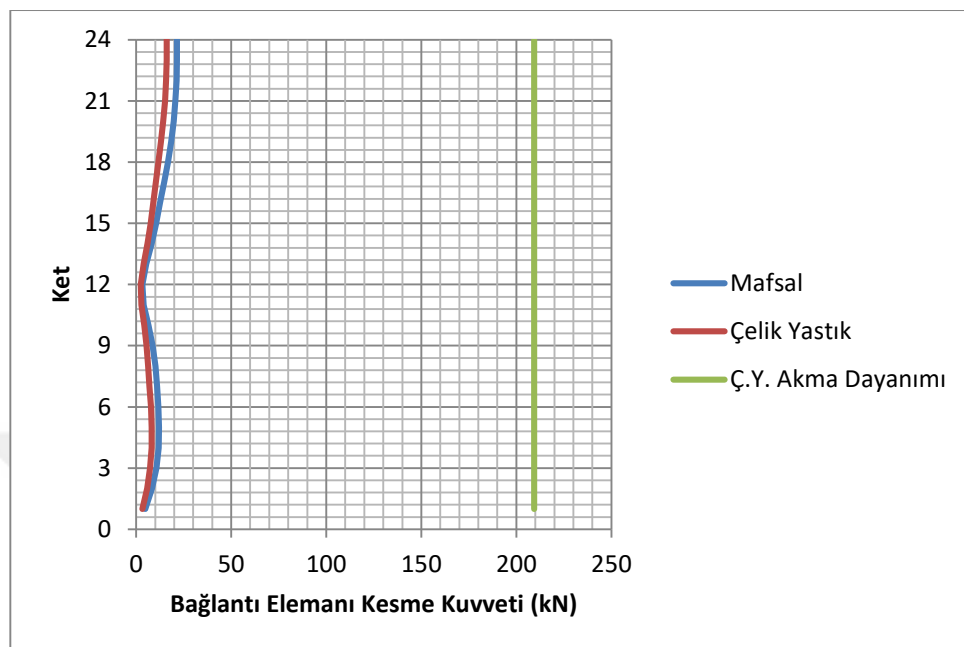
Şekil B.72 : SF_0,95038_CHICHI_TAI1-E.AT2 deprem analizinde modellerde oluşan perde momentleri.



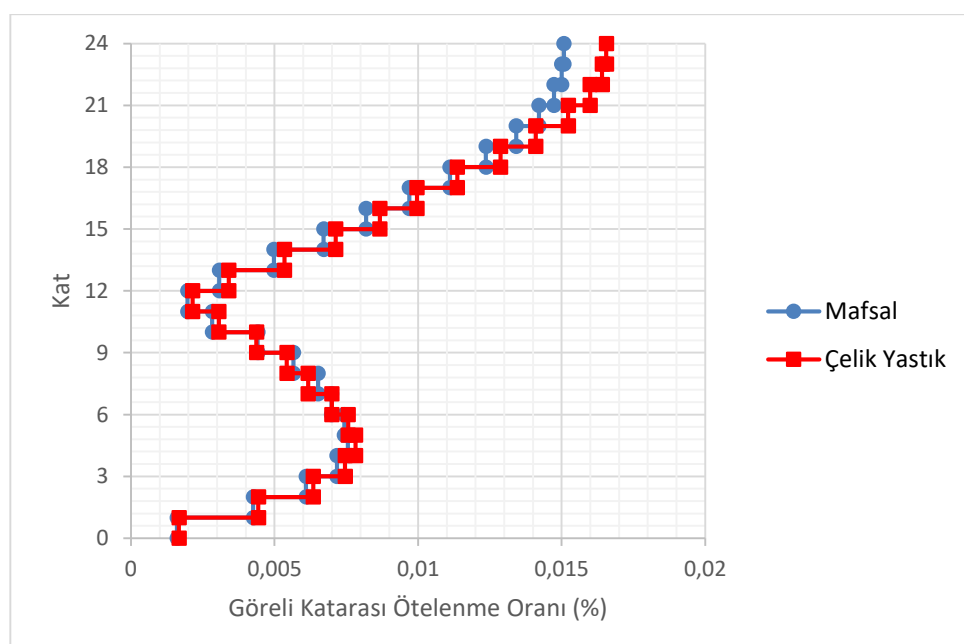
Şekil B.73 : SF_0.69161_CHICHI03_CHY070-E.AT2 deprem analizinde modellerde oluşan kat deplasmanları.



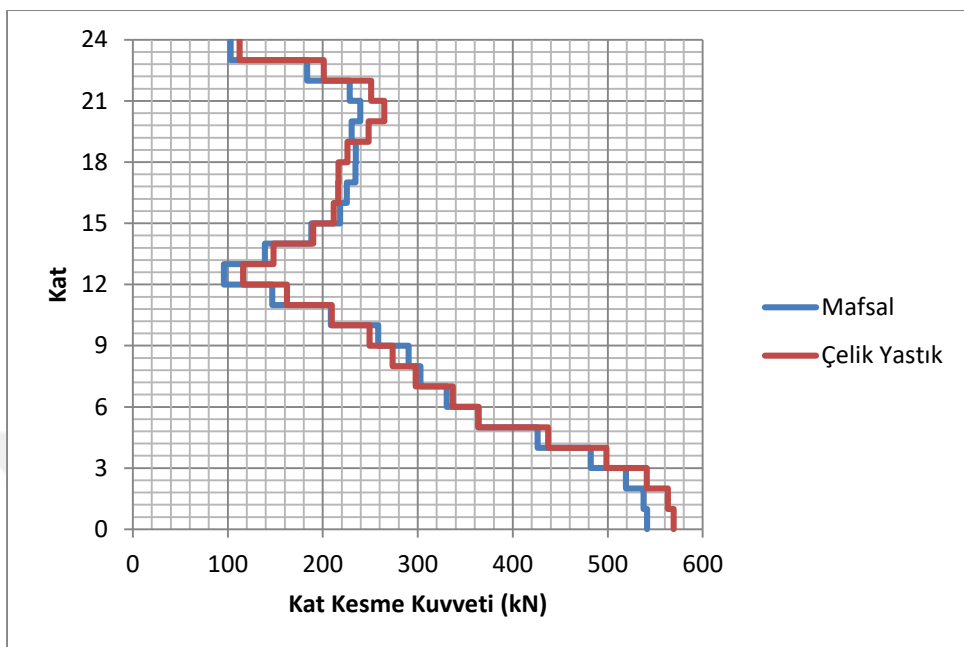
Şekil B.74 : SF_0.69161_CHICHI03_CHY070-E.AT2 deprem analizinde modellerde oluşan bağlantı elemanı deplasmanları.



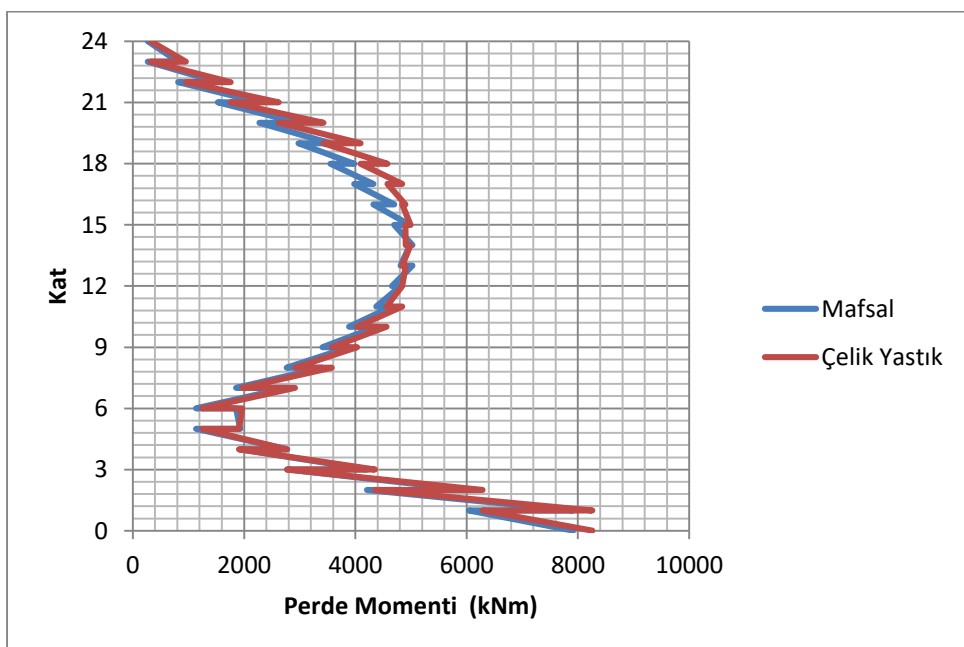
Şekil B.75 : SF_0.69161_CHICHI03_CHY070-E.AT2 deprem analizinde modellerde oluşan bağlantı elemanı kesme kuvvetleri.



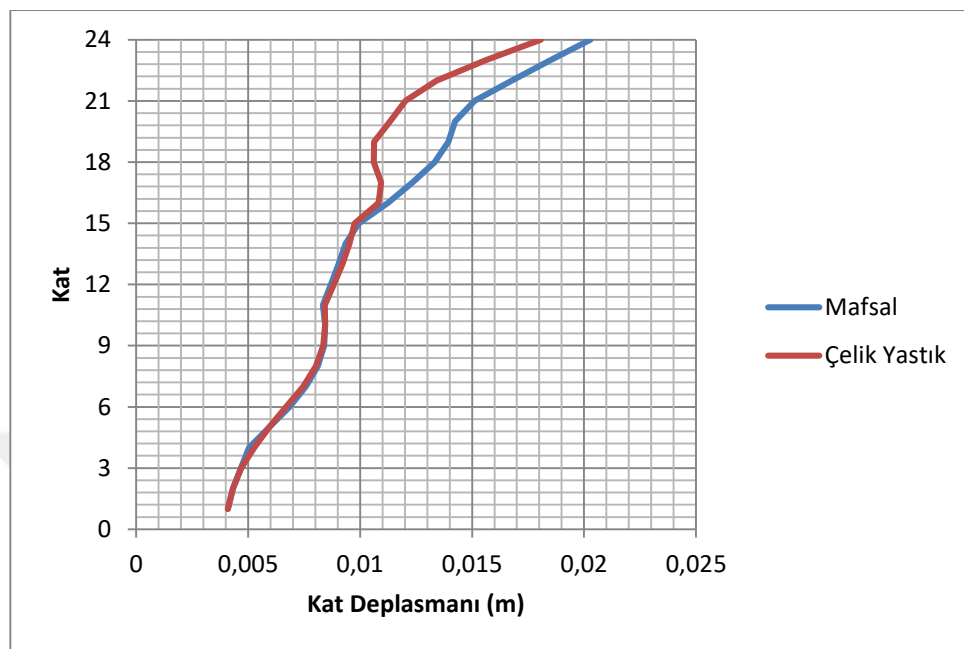
Şekil B.76 : SF_0.69161_CHICHI03_CHY070-E.AT2 deprem analizinde modellerde oluşan göreli kat ötelenme oranları.



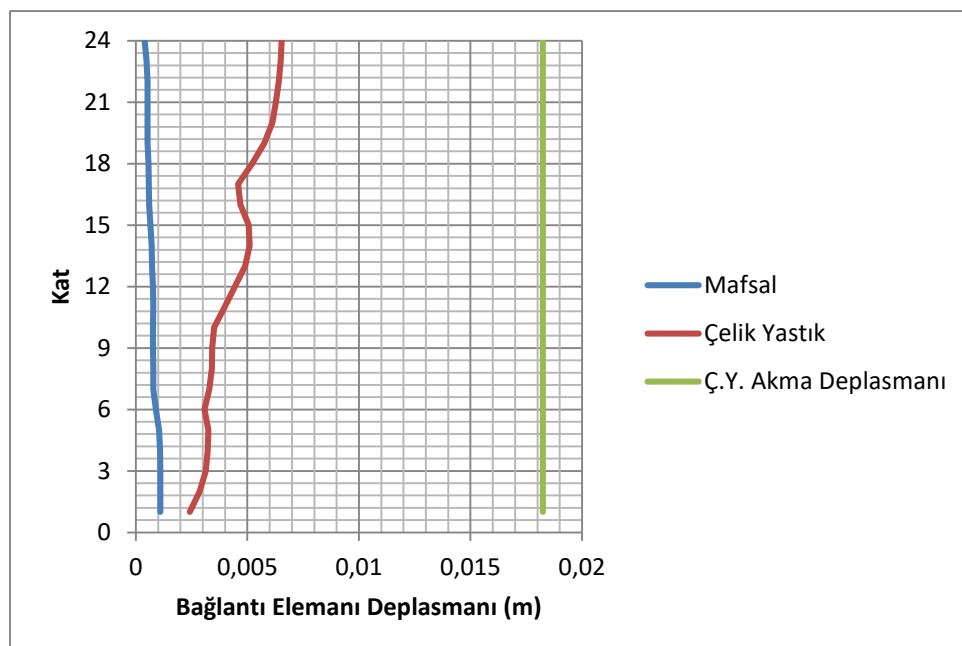
Şekil B.77 : SF_0.69161_CHICHI03_CHY070-E.AT2 deprem analizinde modellerde oluşan kat kesme kuvvetleri.



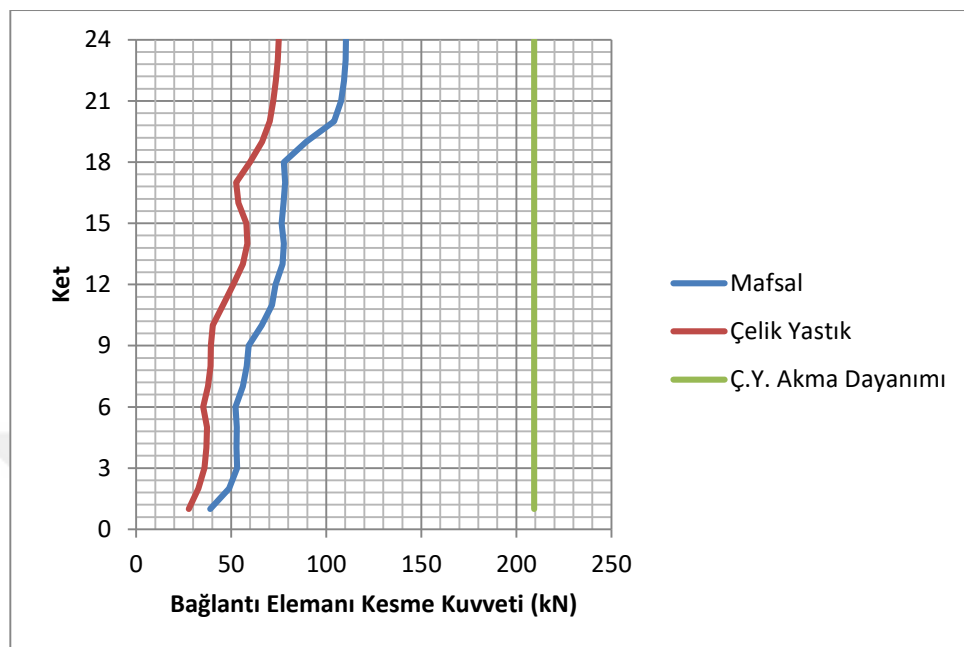
Şekil B.78 : SF_0.69161_CHICHI03_CHY070-E.AT2 deprem analizinde modellerde oluşan perde momentleri.



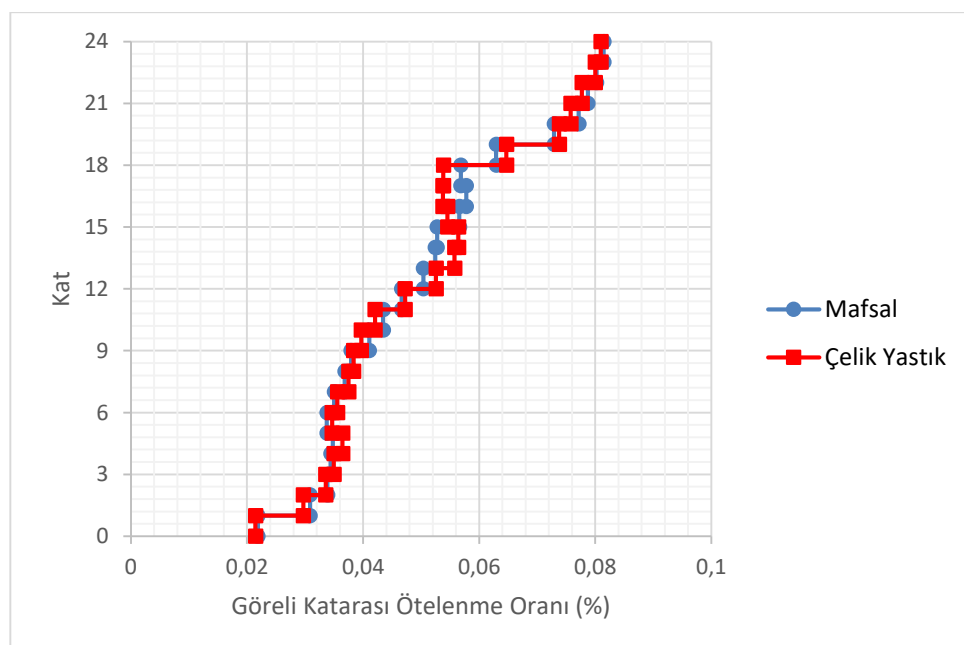
Şekil B.79 : SF_1,094_COALINGA_C-SKH360.AT2 deprem analizinde modellerde oluşan kat deplasmanları.



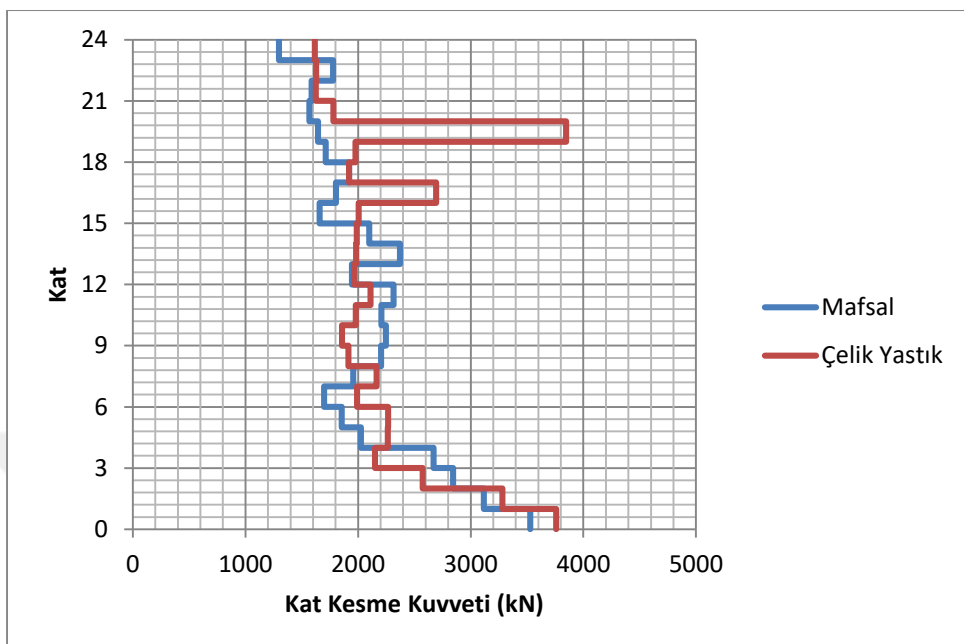
Şekil B.80 : SF_1,094_COALINGA_C-SKH360.AT2 deprem analizinde modellerde oluşan bağlantı elemanı deplasmanları.



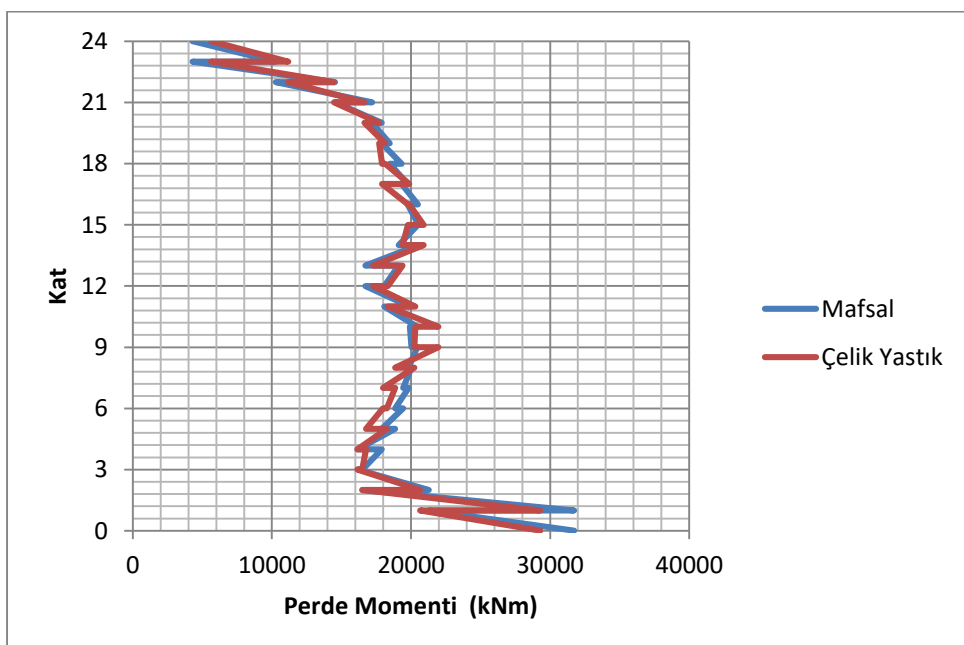
Şekil B.81 : SF_1,094_COALINGA_C-SKH360.AT2 deprem analizinde modellerde oluşan bağlantı elemanı kesme kuvvetleri.



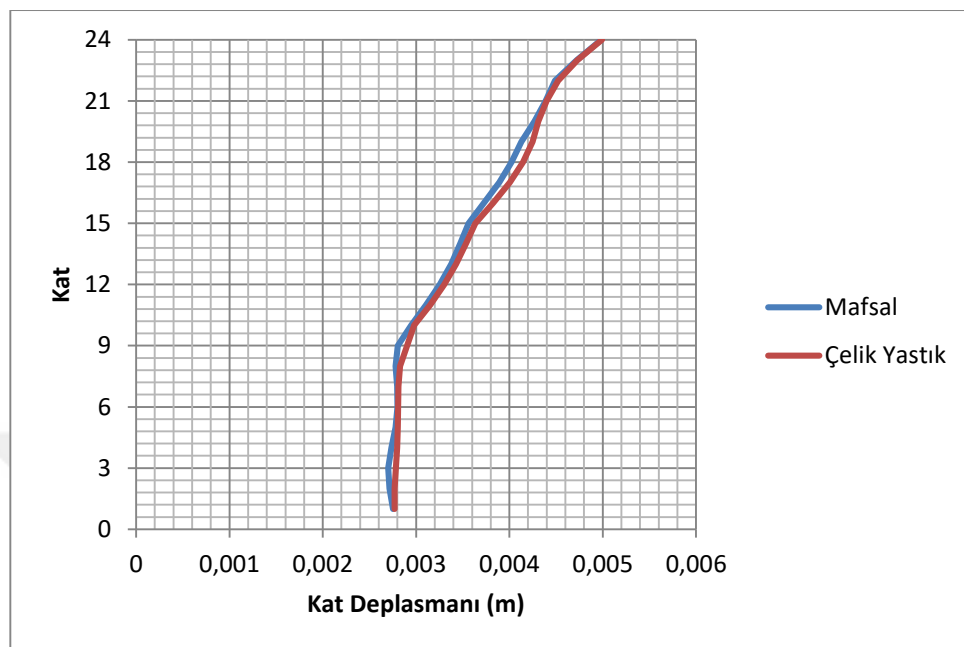
Şekil B.82 : SF_1,094_COALINGA_C-SKH360.AT2 deprem analizinde modellerde oluşan göreli kat ötelenme oranları.



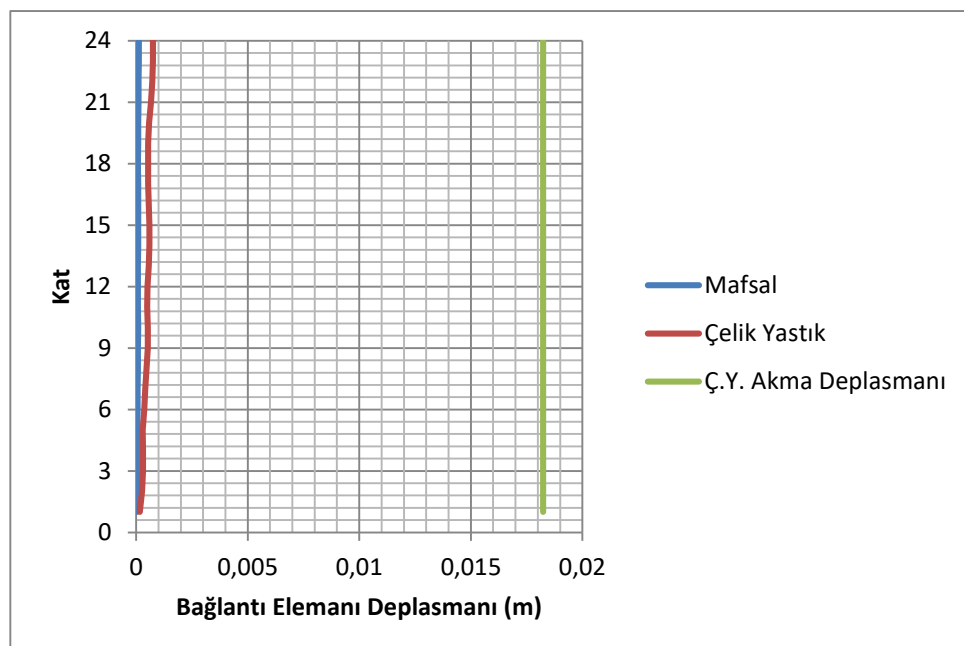
Şekil B.83 : SF_1,094_COALINGA_C-SKH360.AT2 deprem analizinde modellerde oluşan kat kesme kuvvetleri.



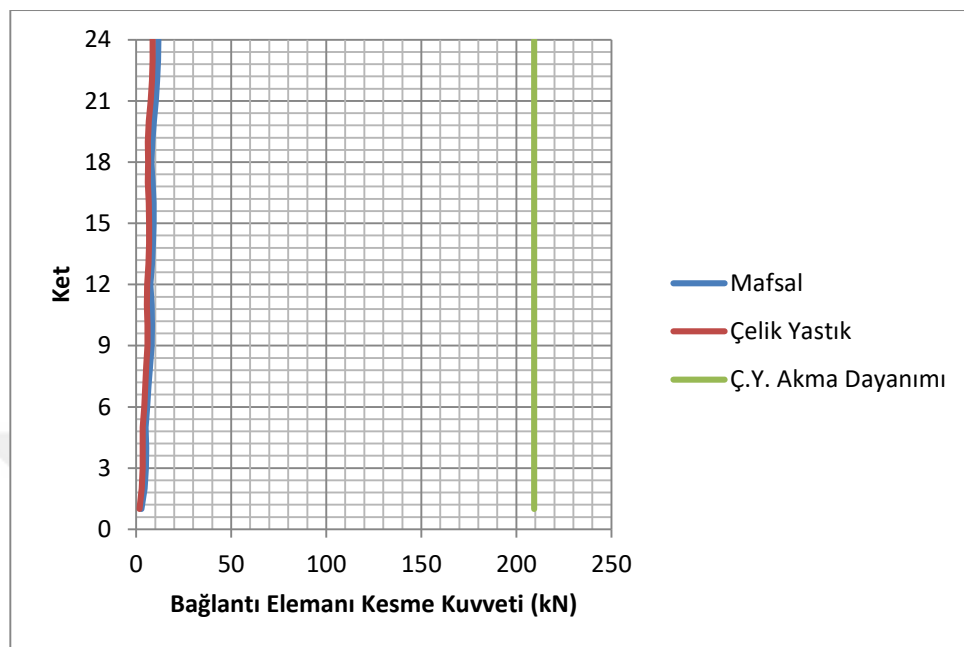
Şekil B.84 : SF_1,094_COALINGA_C-SKH360.AT2 deprem analizinde modellerde oluşan perde momentleri.



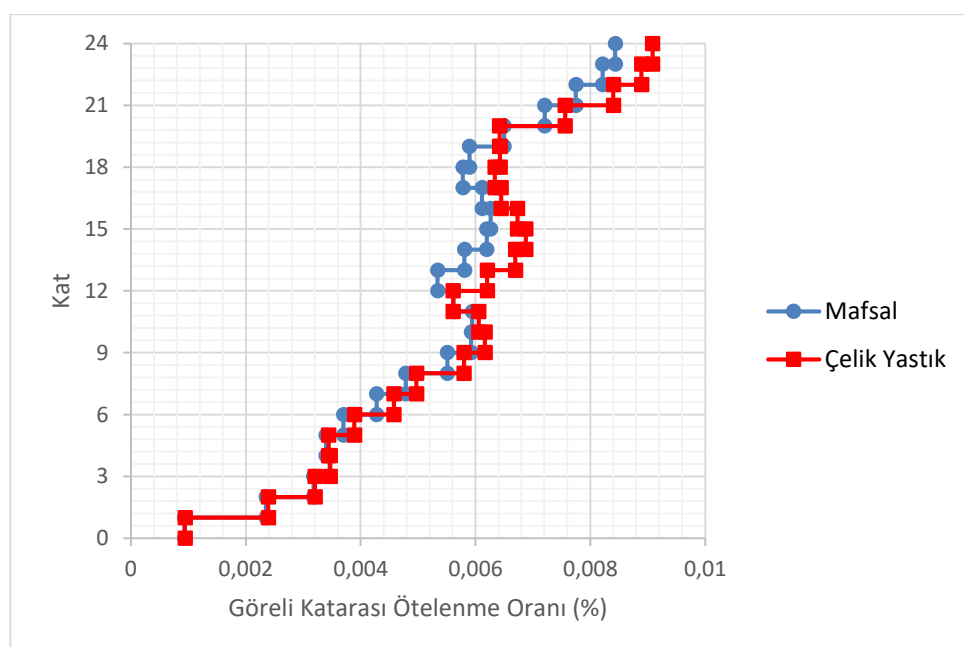
Şekil B.85 : SF_1,266_BORAH_MS_TAN260.AT2 deprem analizinde modellerde oluşan kat deplasmanları.



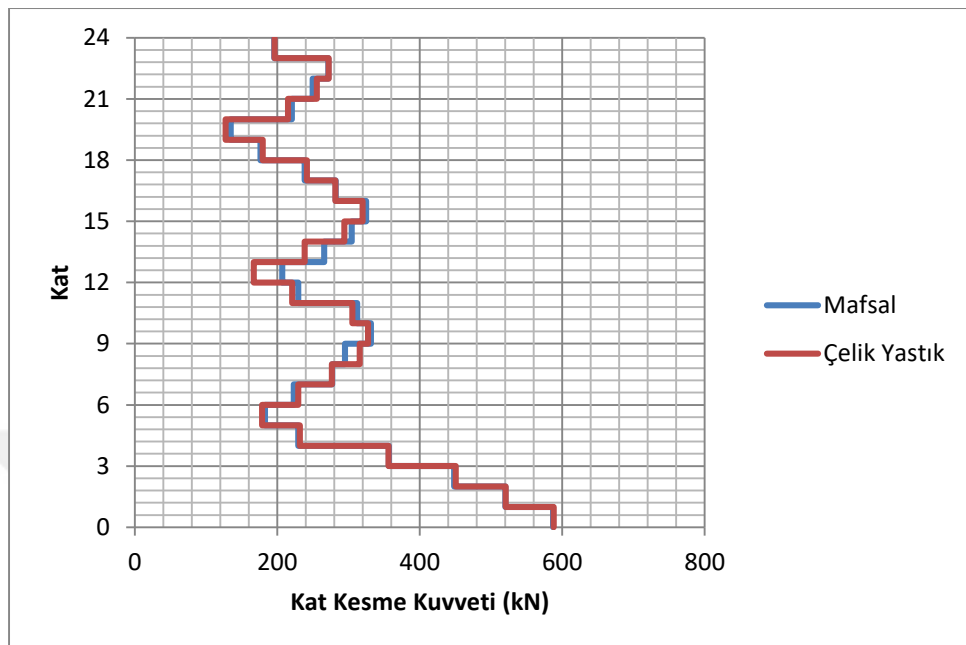
Şekil B.86 : SF_1,266_BORAH_MS_TAN260.AT2 deprem analizinde modellerde oluşan bağlantı elemanı deplasmanları.



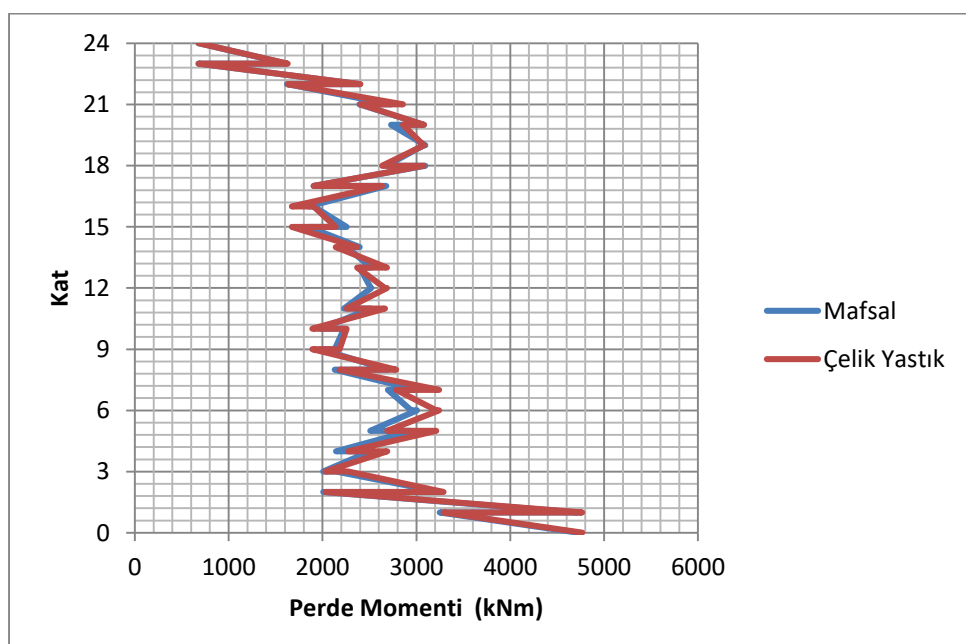
Şekil B.87 : SF_1,266_BORAH_MS_TAN260.AT2 deprem analizinde modellerde oluşan bağlantı elemanı kesme kuvvetleri.



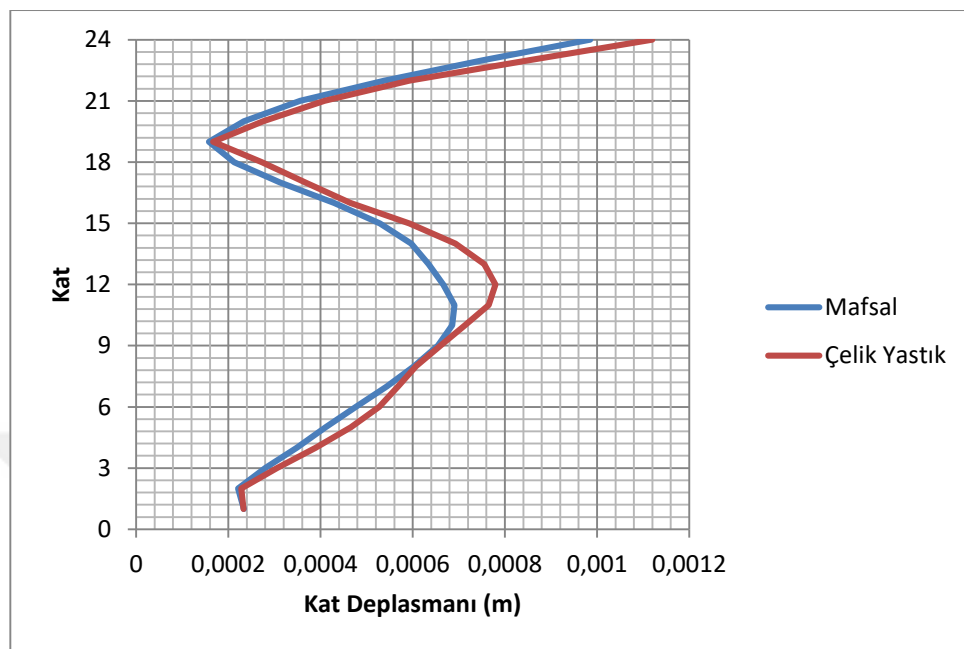
Şekil B.88 : SF_1,266_BORAH_MS_TAN260.AT2 deprem analizinde modellerde oluşan göreli kat ötelenme oranları.



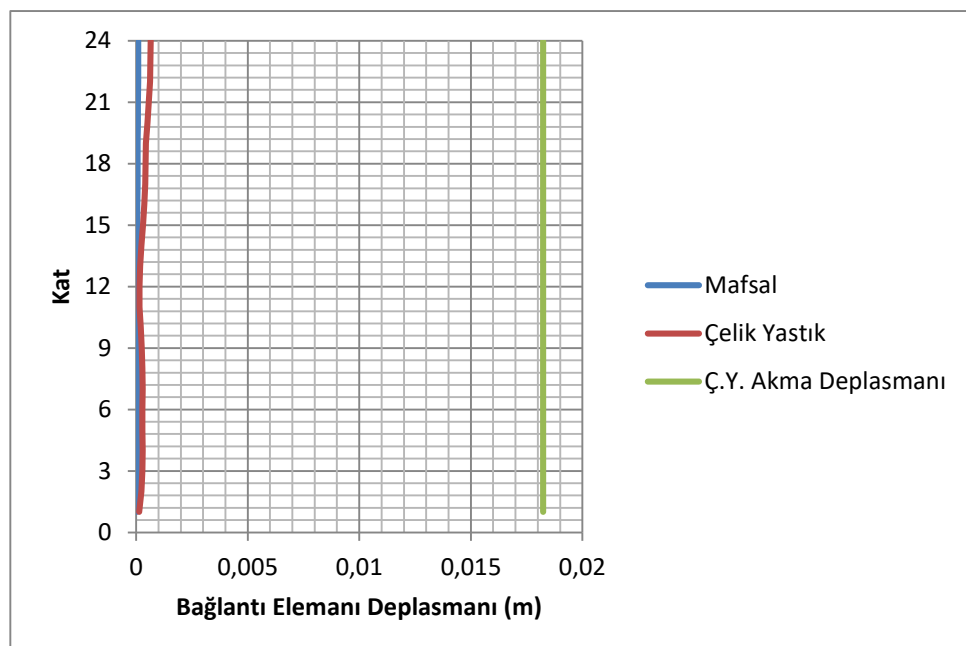
Şekil B.89 : SF_1,266_BORAH_MS_TAN260.AT2 deprem analizinde modellerde oluşan kat kesme kuvvetleri.



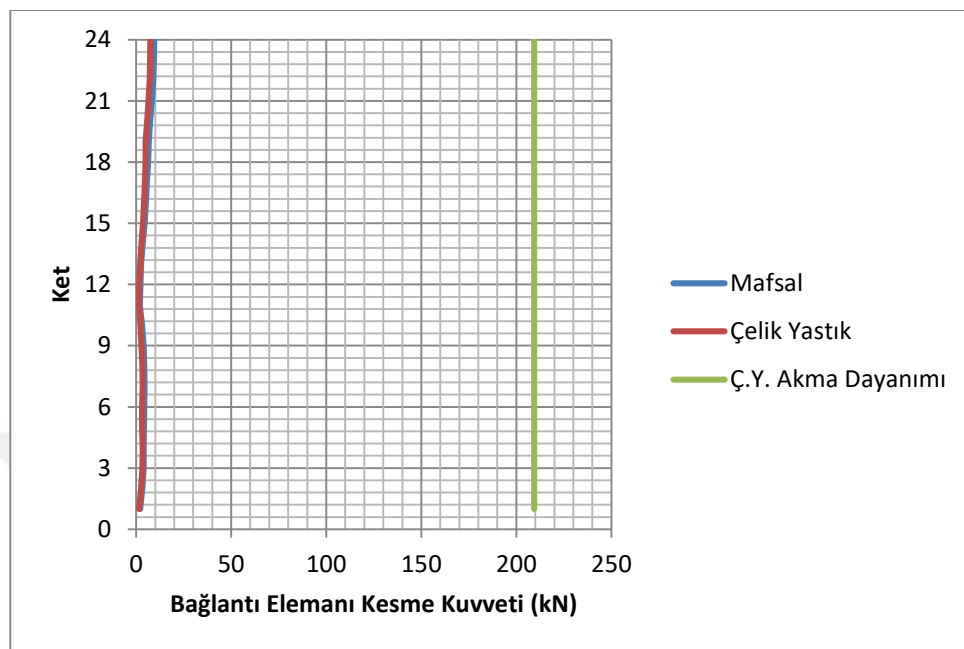
Şekil B.90 : SF_1,266_BORAH_MS_TAN260.AT2 deprem analizinde modellerde oluşan perde momentleri.



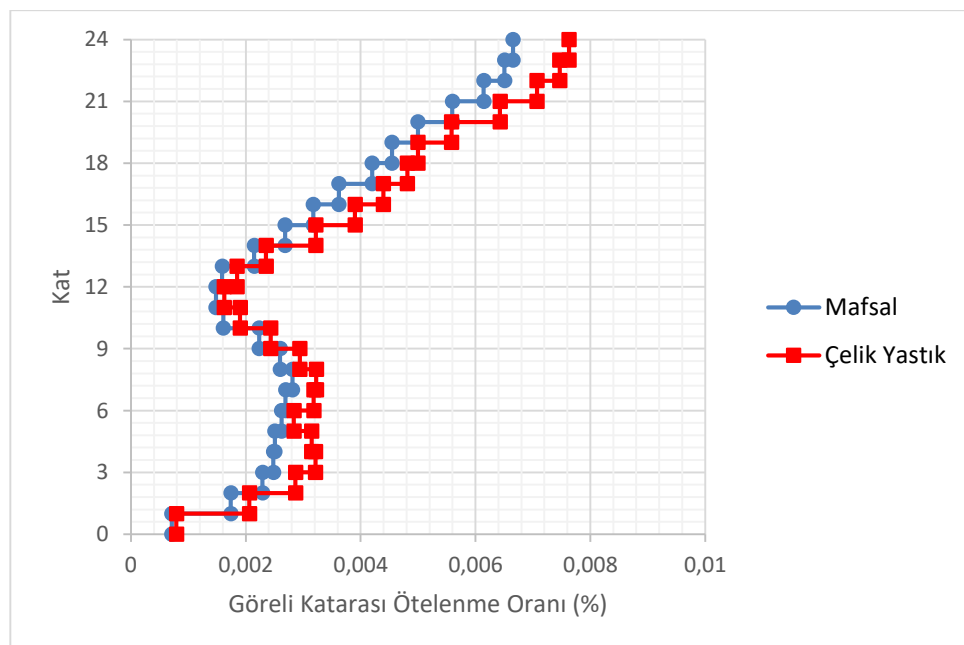
Şekil B.91 : SF_1,0421_CHICHI03_TCU087-N.AT2 deprem analizinde modellerde oluşan kat deplasmanları.



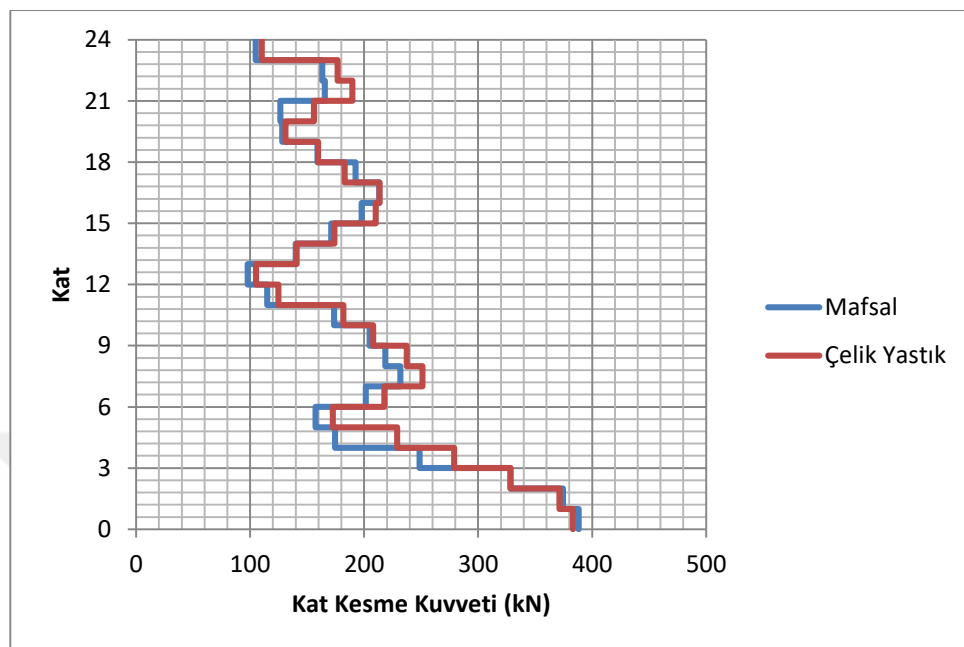
Şekil B.92 : SF_1,0421_CHICHI03_TCU087-N.AT2 deprem analizinde modellerde oluşan bağlantı elemanı deplasmanları.



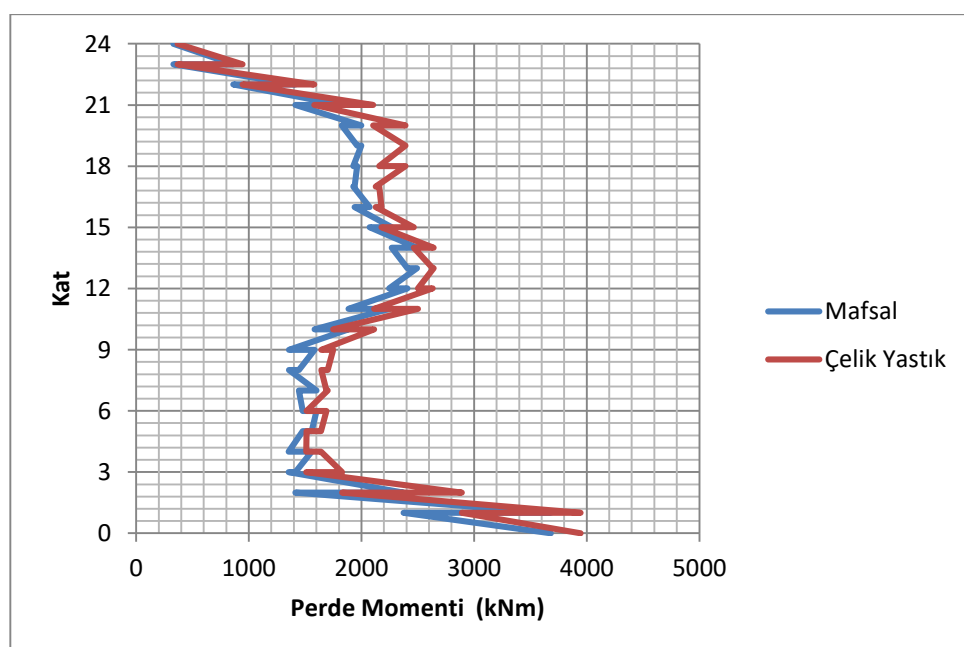
Şekil B.93 : SF_1,0421_CHICHI03_TCU087-N.AT2 deprem analizinde modellerde oluşan bağlantı elemanı kesme kuvvetleri.



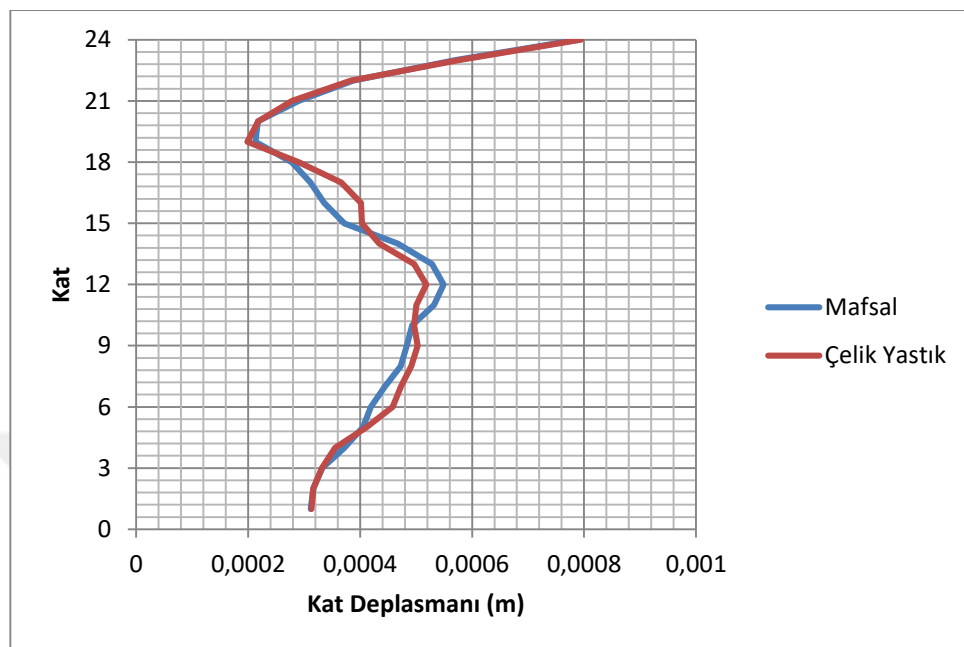
Şekil B.94 : SF_1,0421_CHICHI03_TCU087-N.AT2 deprem analizinde modellerde oluşan göreli kat ötelenme oranları.



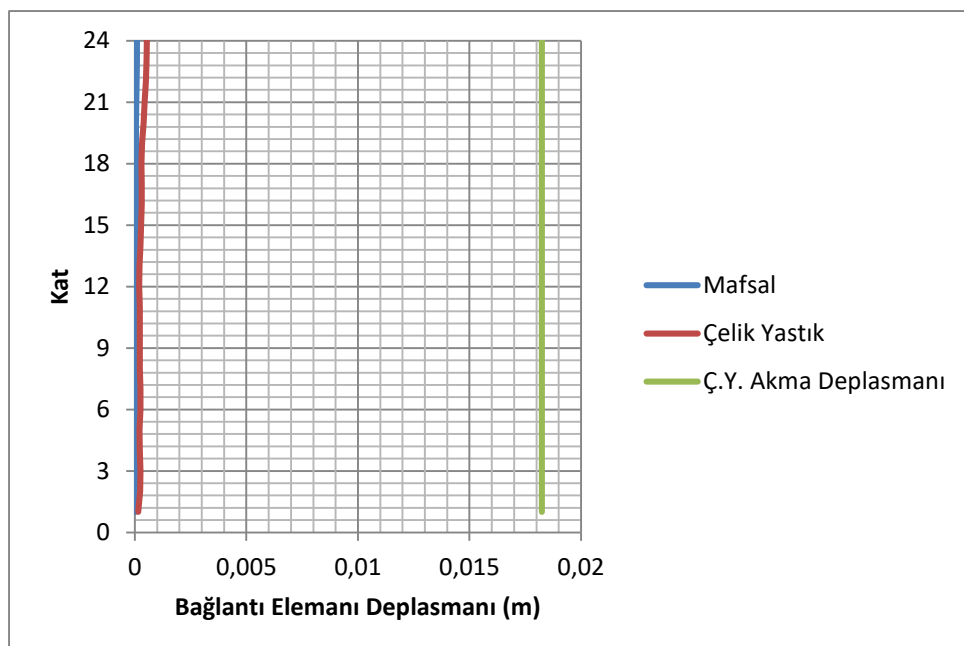
Şekil B.95 : SF_1,0421_CHICHI03_TCU087-N.AT2 deprem analizinde modellerde oluşan kat kesme kuvvetleri.



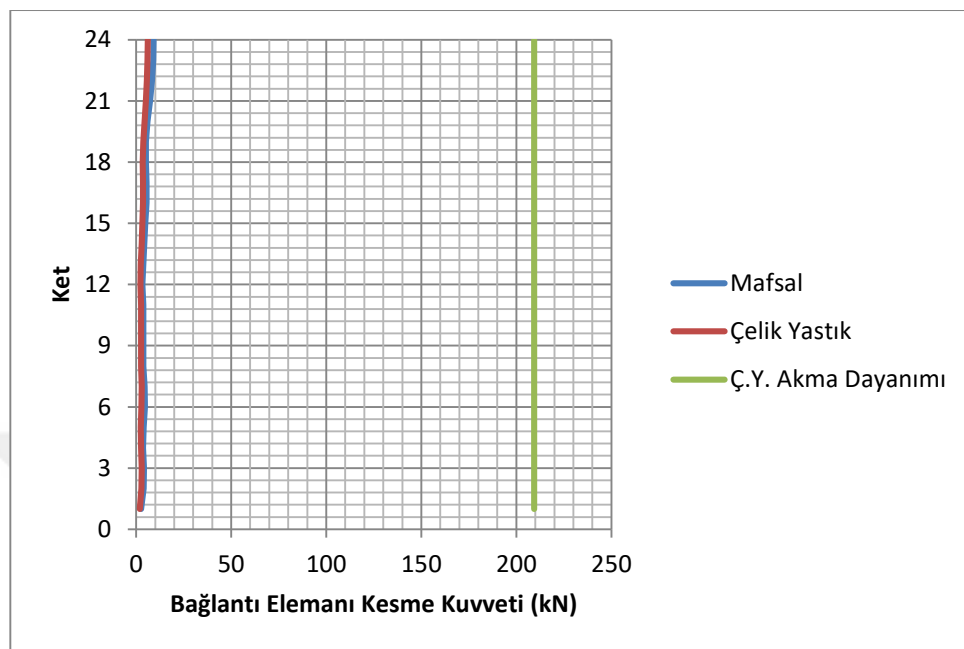
Şekil B.96 : SF_1,0421_CHICHI03_TCU087-N.AT2 deprem analizinde modellerde oluşan perde momentleri.



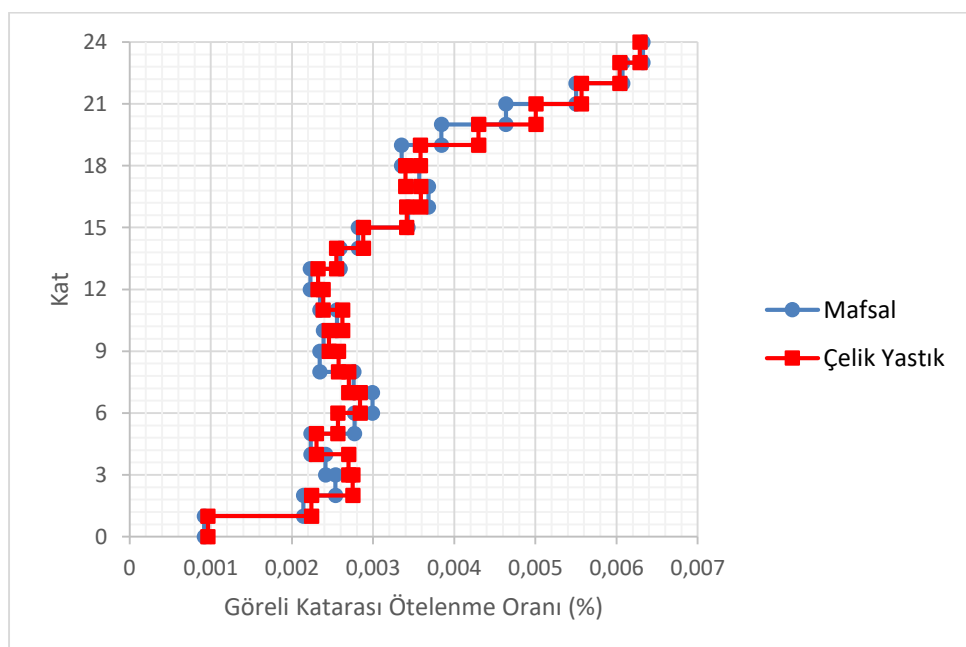
Şekil B.97 : SF_1,0453_CHICHI05_TTN002-N.AT2 deprem analizinde modellerde oluşan kat deplasmanları.



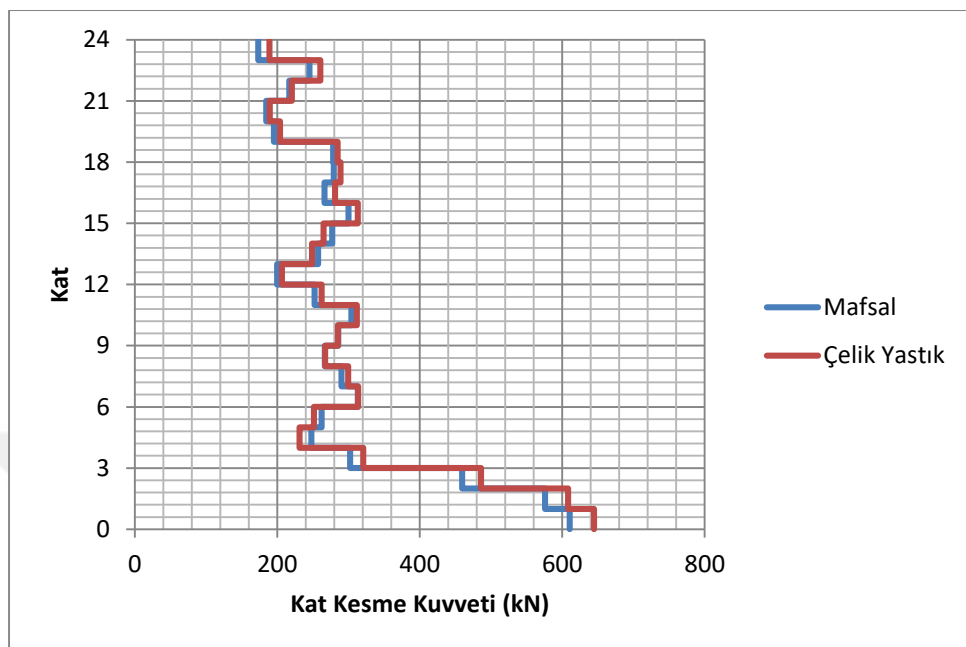
Şekil B.98 : SF_1,0453_CHICHI05_TTN002-N.AT2 deprem analizinde modellerde oluşan bağlantı elemanı deplasmanları.



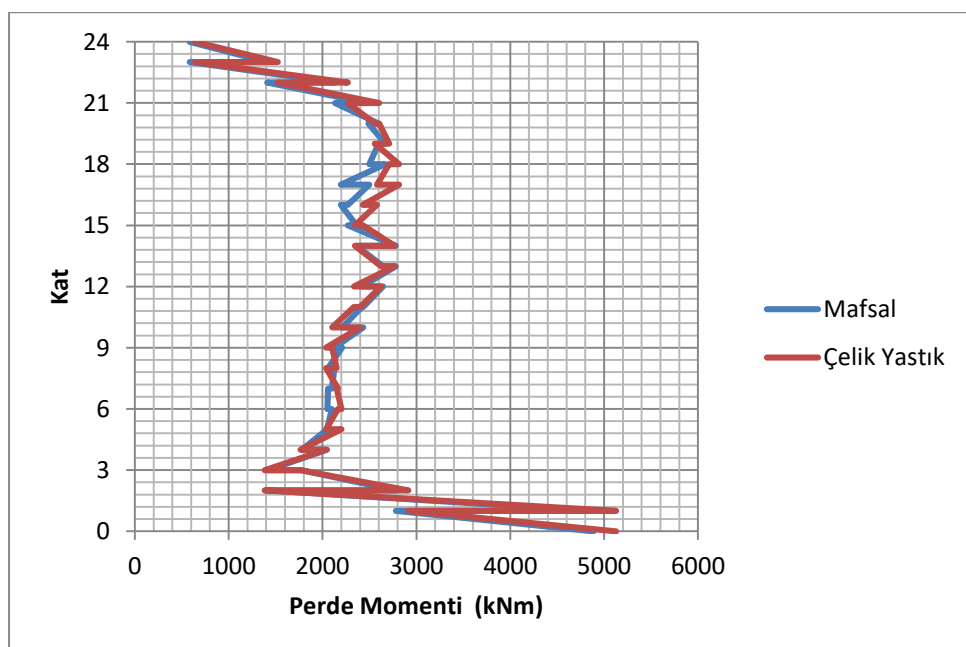
Şekil B.99 : SF_1,0453_CHICHI05_TTN002-N.AT2 deprem analizinde modellerde oluşan bağlantı elemanı kesme kuvvetleri.



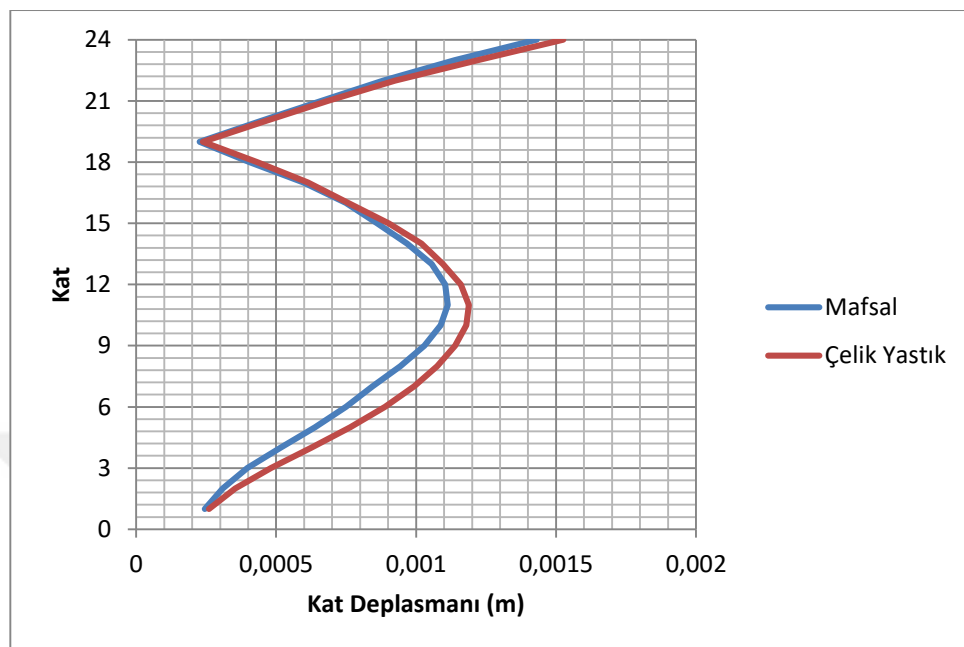
Şekil B.100 : SF_1,0453_CHICHI05_TTN002-N.AT2 deprem analizinde modellerde oluşan göreli kat ötelenme oranları.



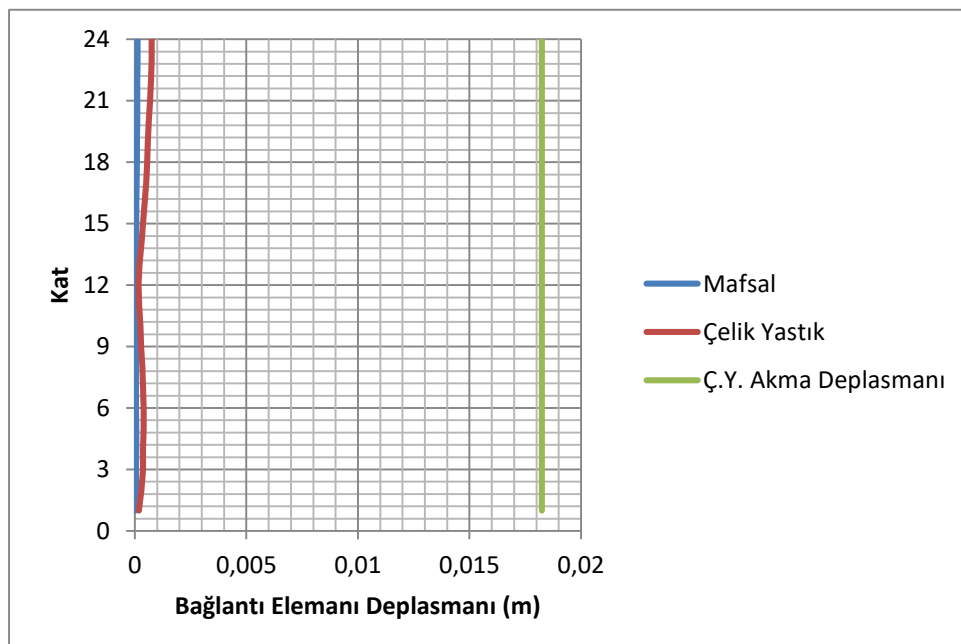
Şekil B.101 : SF_1,0453_CHICHI05_TTN002-N.AT2 deprem analizinde modellerde oluşan kat kesme kuvvetleri.



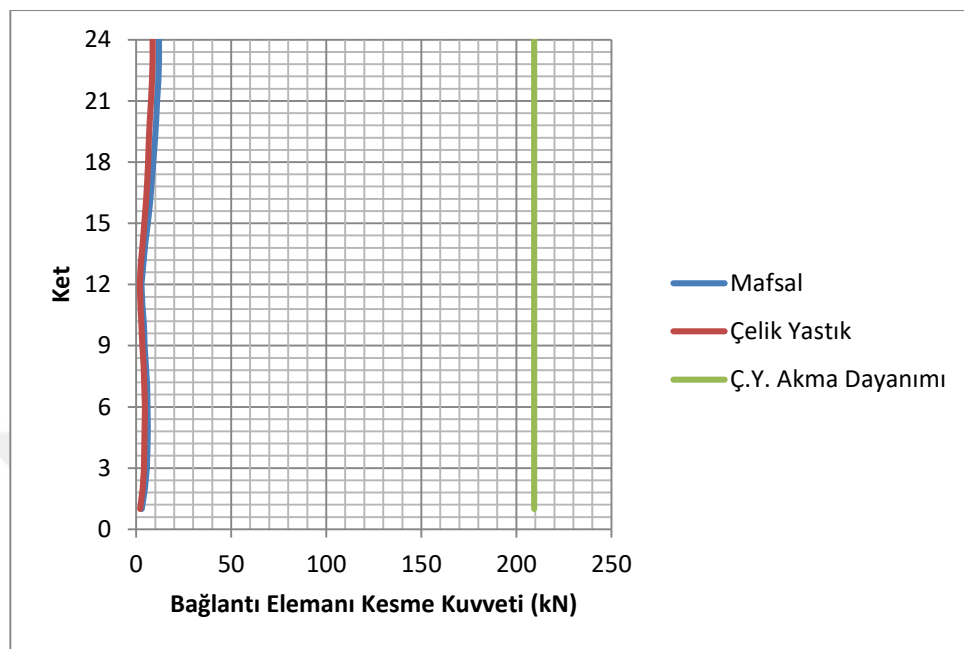
Şekil B.102 : SF_1,0453_CHICHI05_TTN002-N.AT2 deprem analizinde modellerde oluşan perde momentleri.



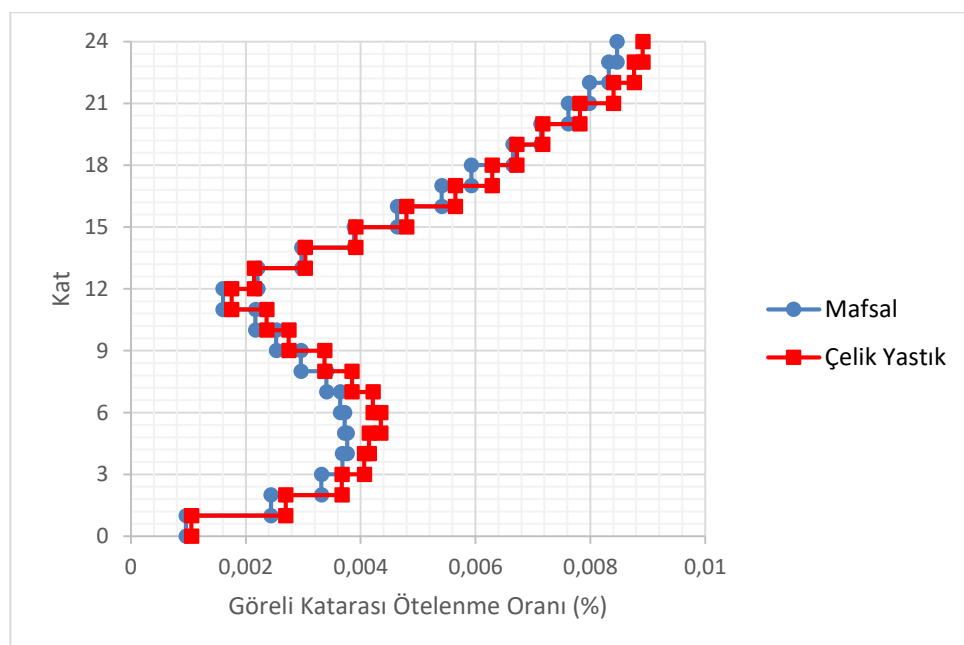
Şekil B.103 : SF_1,0521_CHICHI05_TTN002-W.AT2 deprem analizinde modellerde oluşan kat deplasmanları.



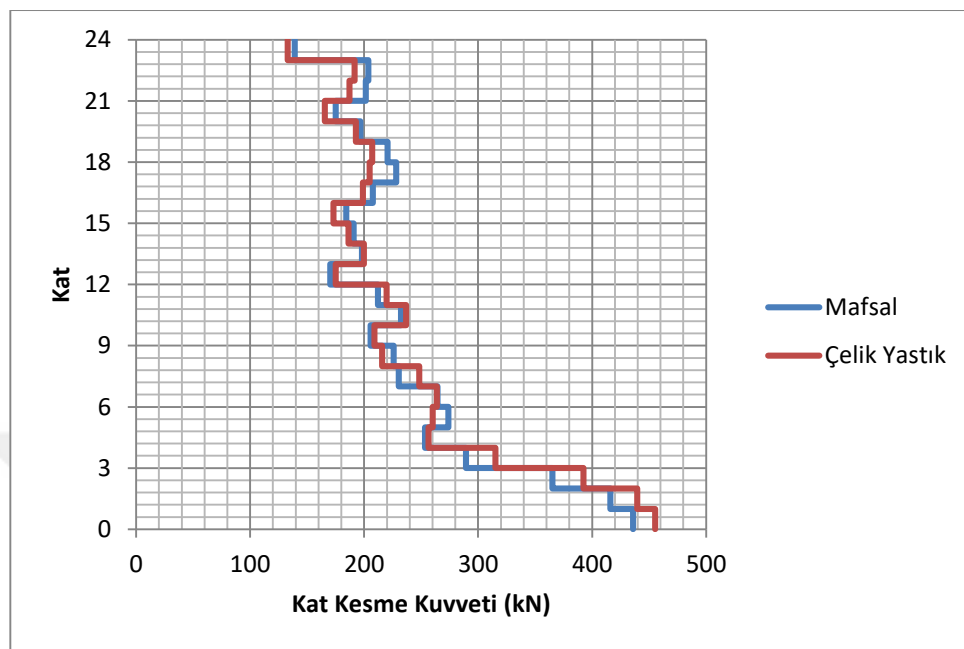
Şekil B.104 : SF_1,0521_CHICHI05_TTN002-W.AT2 deprem analizinde modellerde oluşan bağlantı elemanı deplasmanları.



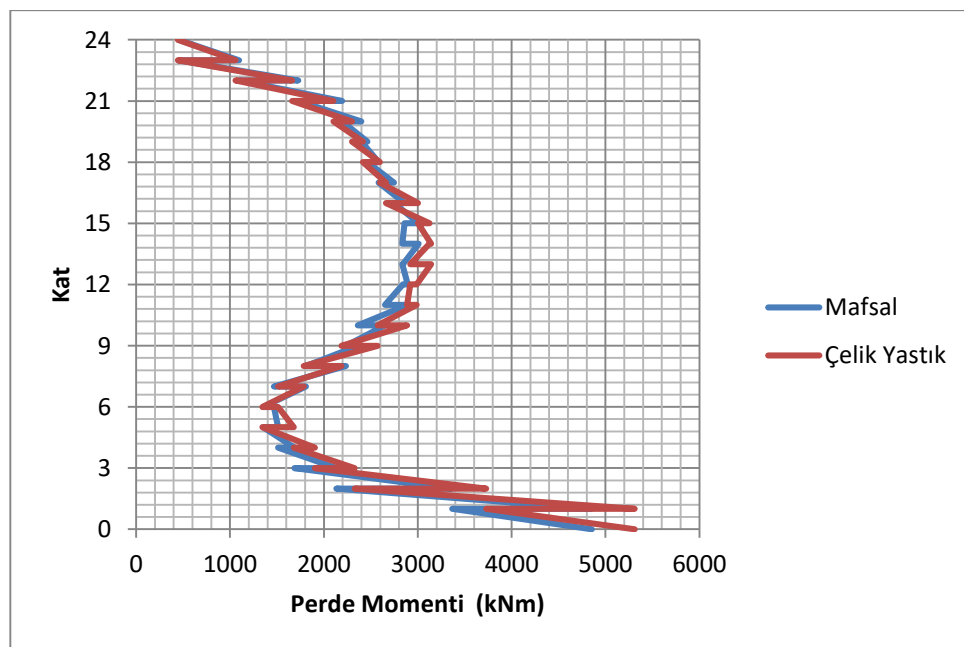
Şekil B.105 : SF_1,0521_CHICHI05_TTN002-W.AT2 deprem analizinde modellerde oluşan bağlantı elemanı kesme kuvvetleri.



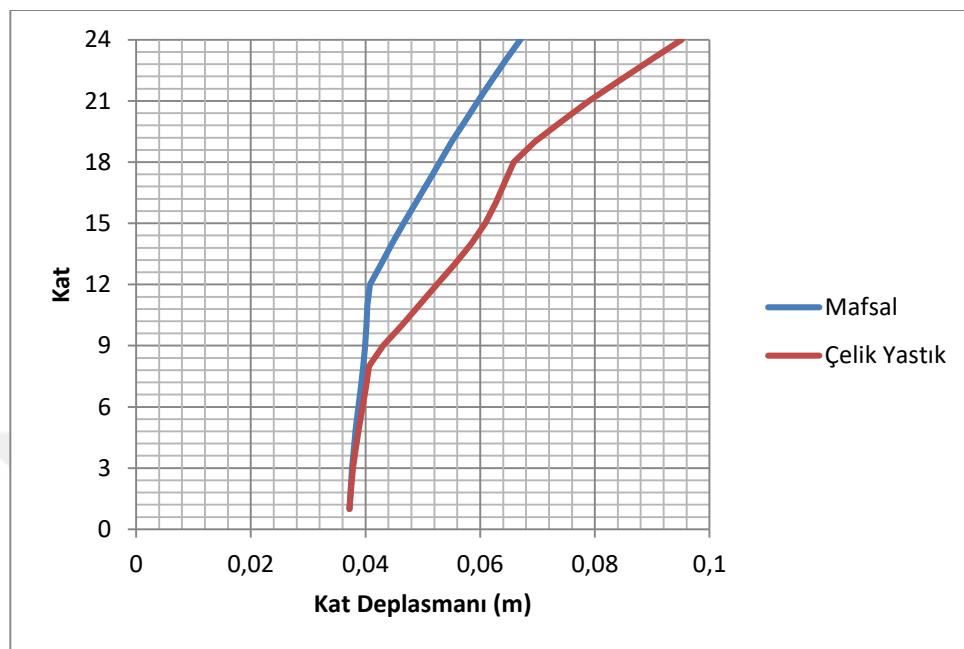
Şekil B.106 : SF_1,0521_CHICHI05_TTN002-W.AT2 deprem analizinde modellerde oluşan göreli kat ötelenme oranları.



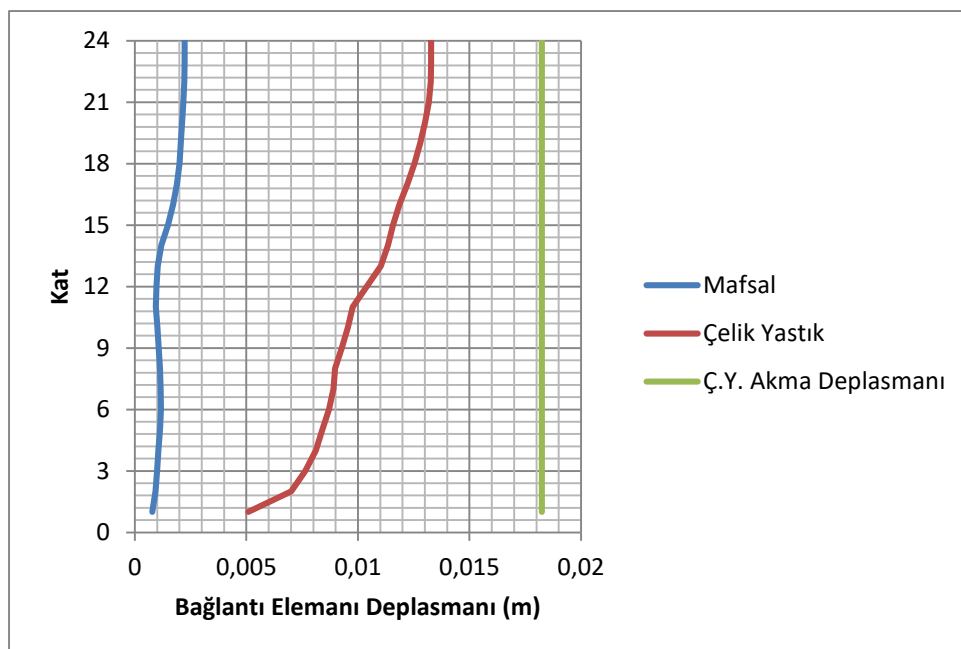
Şekil B.107 : SF_1,0521_CHICHI05_TTN002-W.AT2 deprem analizinde modellerde oluşan kat kesme kuvvetleri.



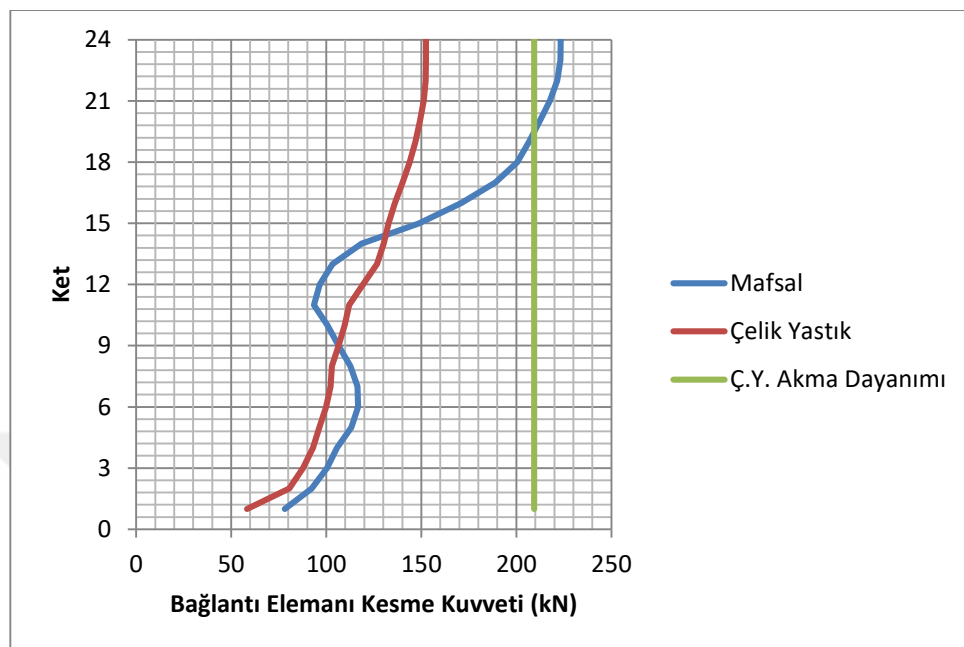
Şekil B.108 : SF_1,0521_CHICHI05_TTN002-W.AT2 deprem analizinde modellerde oluşan perde momentleri.



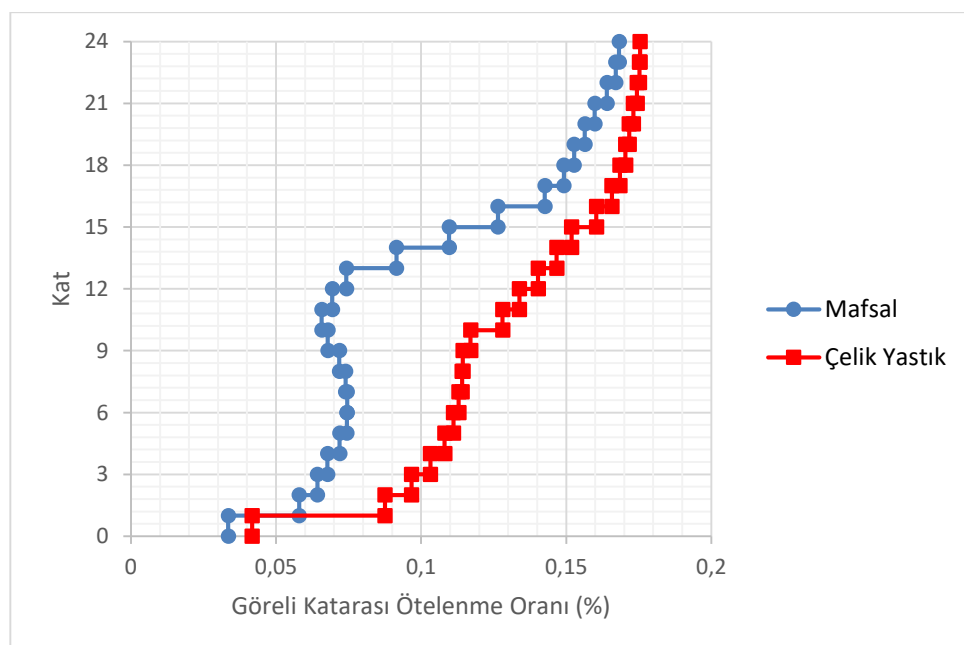
Şekil B.109 : SF_1,1641_ITALY_A-AUL000.AT2 deprem analizinde modellerde oluşan kat deplasmanları.



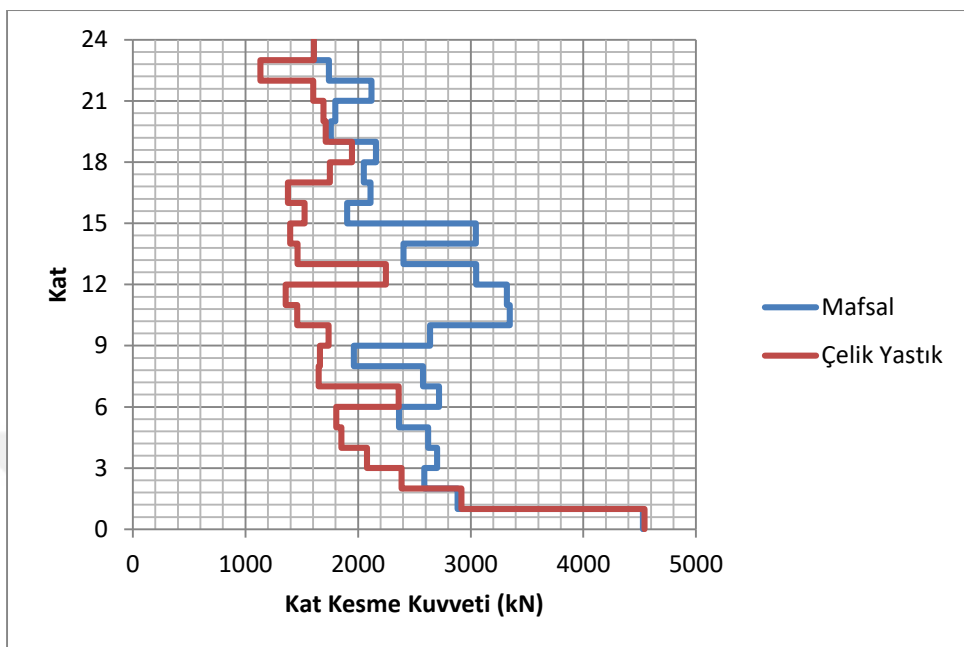
Şekil B.110 : SF_1,1641_ITALY_A-AUL000.AT2 deprem analizinde modellerde oluşan bağlantı elemanı deplasmanları.



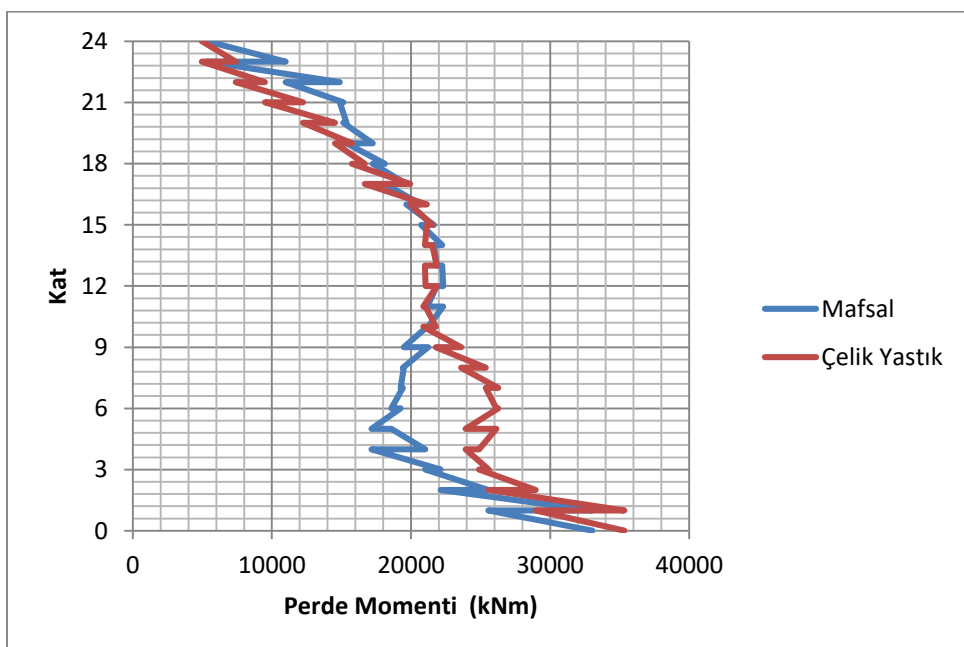
Şekil B.111 : SF_1,1641_ITALY_A-AUL000.AT2 deprem analizinde modellerde oluşan bağlantı elemanı kesme kuvvetleri.



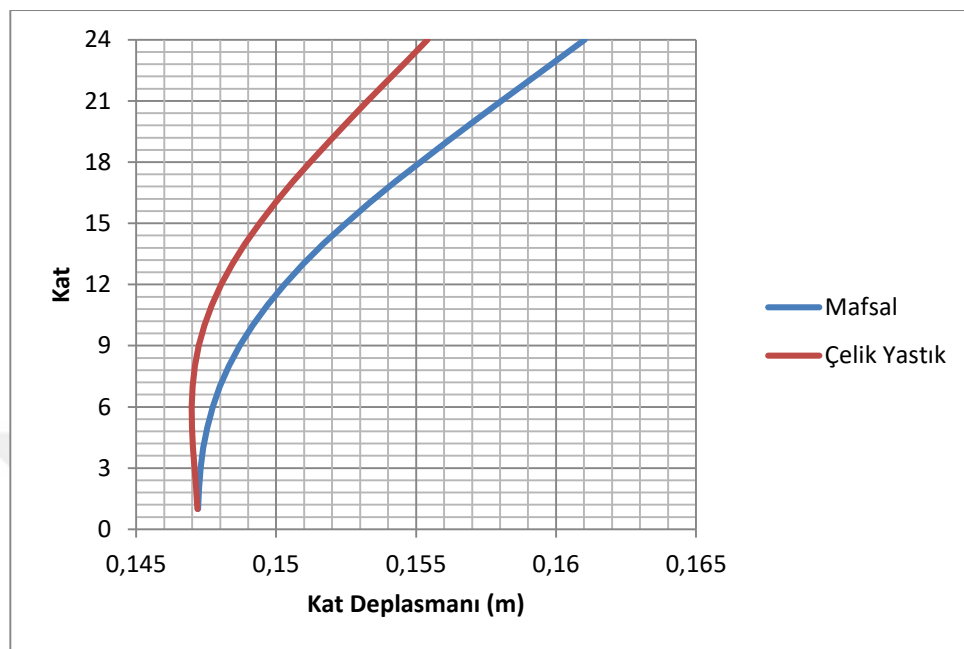
Şekil B.112 : SF_1,1641_ITALY_A-AUL000.AT2 deprem analizinde modellerde oluşan göreli kat ötelenme oranları.



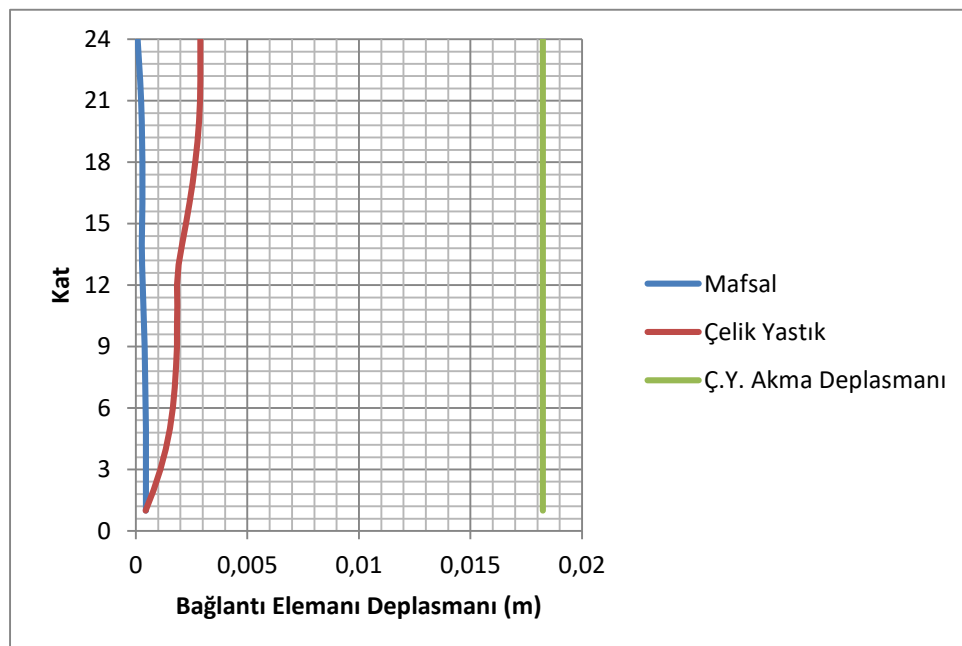
Şekil B.113 : SF_1,1641_ITALY_A-AUL000.AT2 deprem analizinde modellerde oluşan kat kesme kuvvetleri.



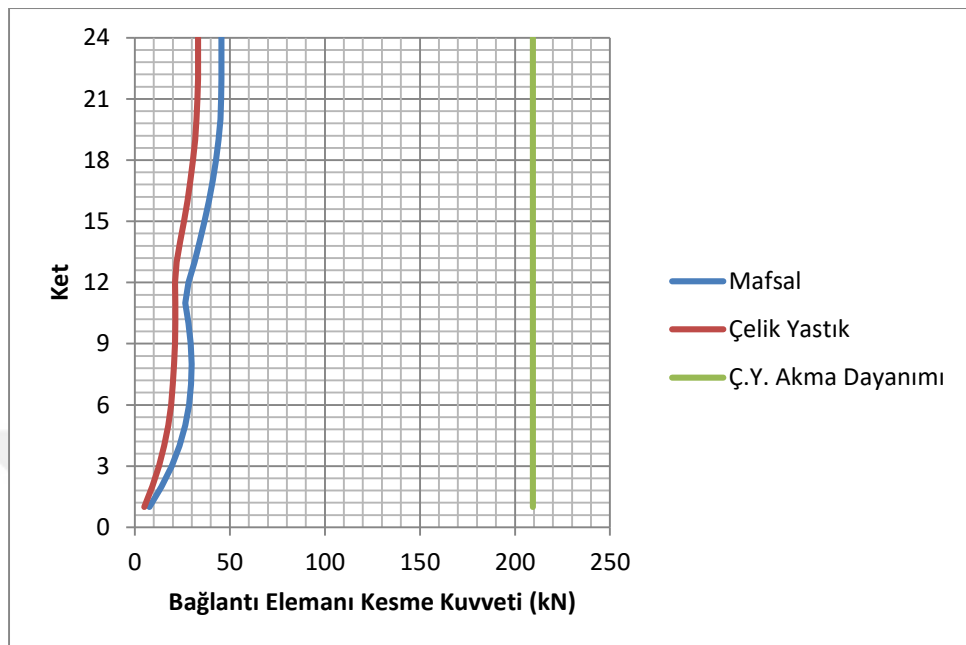
Şekil B.114 : SF_1,1641_ITALY_A-AUL000.AT2 deprem analizinde modellerde oluşan perde momentleri.



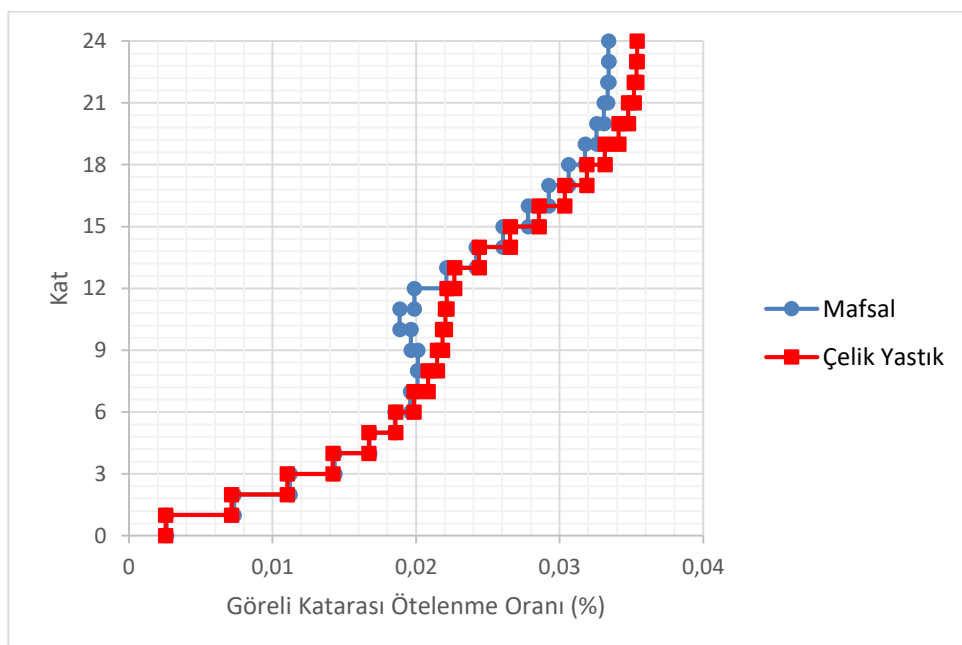
Şekil B.115 : SF_1,1993_LANDERS_PLC090.AT2 deprem analizinde modellerde oluşan kat deplasmanları.



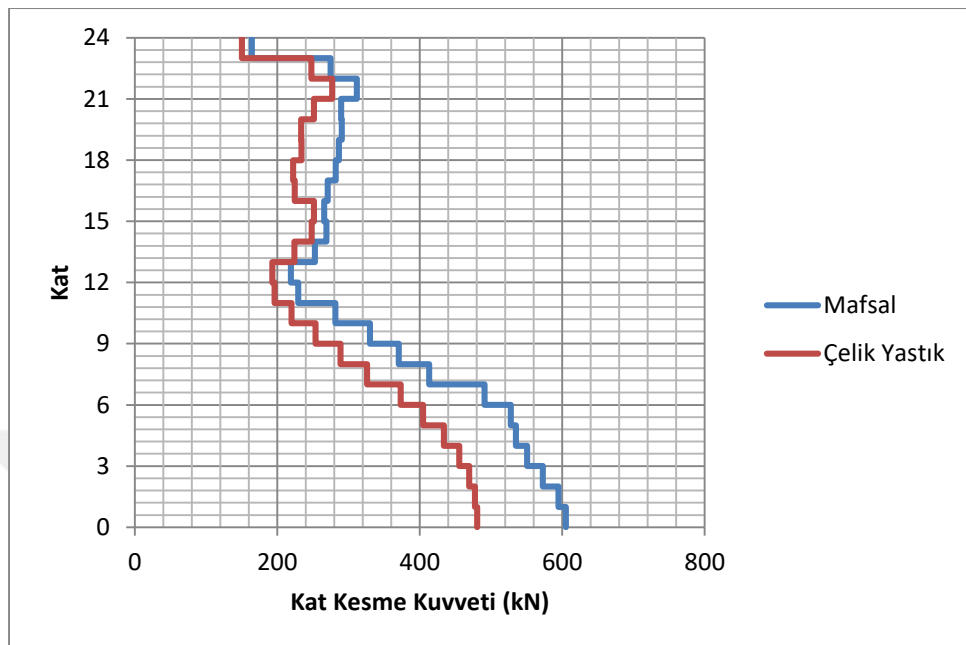
Şekil B.116 : SF_1,1993_LANDERS_PLC090.AT2 deprem analizinde modellerde oluşan bağlantı elemanı deplasmanları.



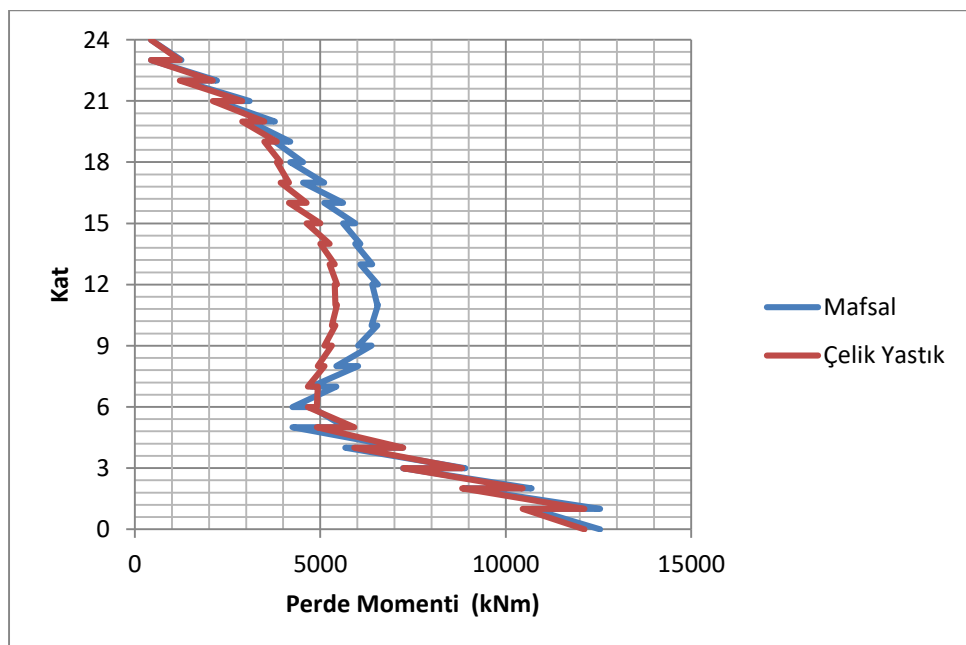
Şekil B.117 : SF_1,1993_LANDERS_PLC090.AT2 deprem analizinde modellerde oluşan bağlantı elemanı kesme kuvvetleri.



Şekil B.118 : SF_1,1993_LANDERS_PLC090.AT2 deprem analizinde modellerde oluşan göreli kat ötelenme oranları.



Şekil B.119 : SF_1,1993_LANDERS_PLC090.AT2 deprem analizinde modellerde oluşan kat kesme kuvvetleri.



Şekil B.120 : SF_1,1993_LANDERS_PLC090.AT2 deprem analizinde modellerde oluşan perde momentleri.

ÖZGEÇMİŞ



Ad Soyad: Serhan ALTUN

Doğum Yeri ve Tarihi: İSTANBUL – 20.06.1993

Lisans: Okan Üniversitesi